

آیا جزوه را از سایت ما دانلود کرده اید؟

کتابخانه الکترونیکی PNUEB

پیام نوری ها بستاپید

مزایای عضویت در کتابخانه PNUEB :

دانلود رایگان و نامحدود خلاصه درس و جزوه

دانلود رایگان و نامحدود حل المسائل و راهنمای

دانلود کتابچه نمونه سوالات دروس مختلف پیام نور با جواب

WWW.PNUEB.COM

کتابچه نمونه سوالات چیست:

سایت ما اقتدار دارد برای اولین بار در ایران توانسته است کتابچه نمونه سوالات تمام دروس پیام نور که هر یک حاوی تمامی آزمون های برگزار شده پیام نور (تمامی نیمسالهای موجود **حتی امکان** با جواب) را در یک فایل به نام کتابچه جمع آوری کند و هر ترم نیز آن را آپدیت نماید.

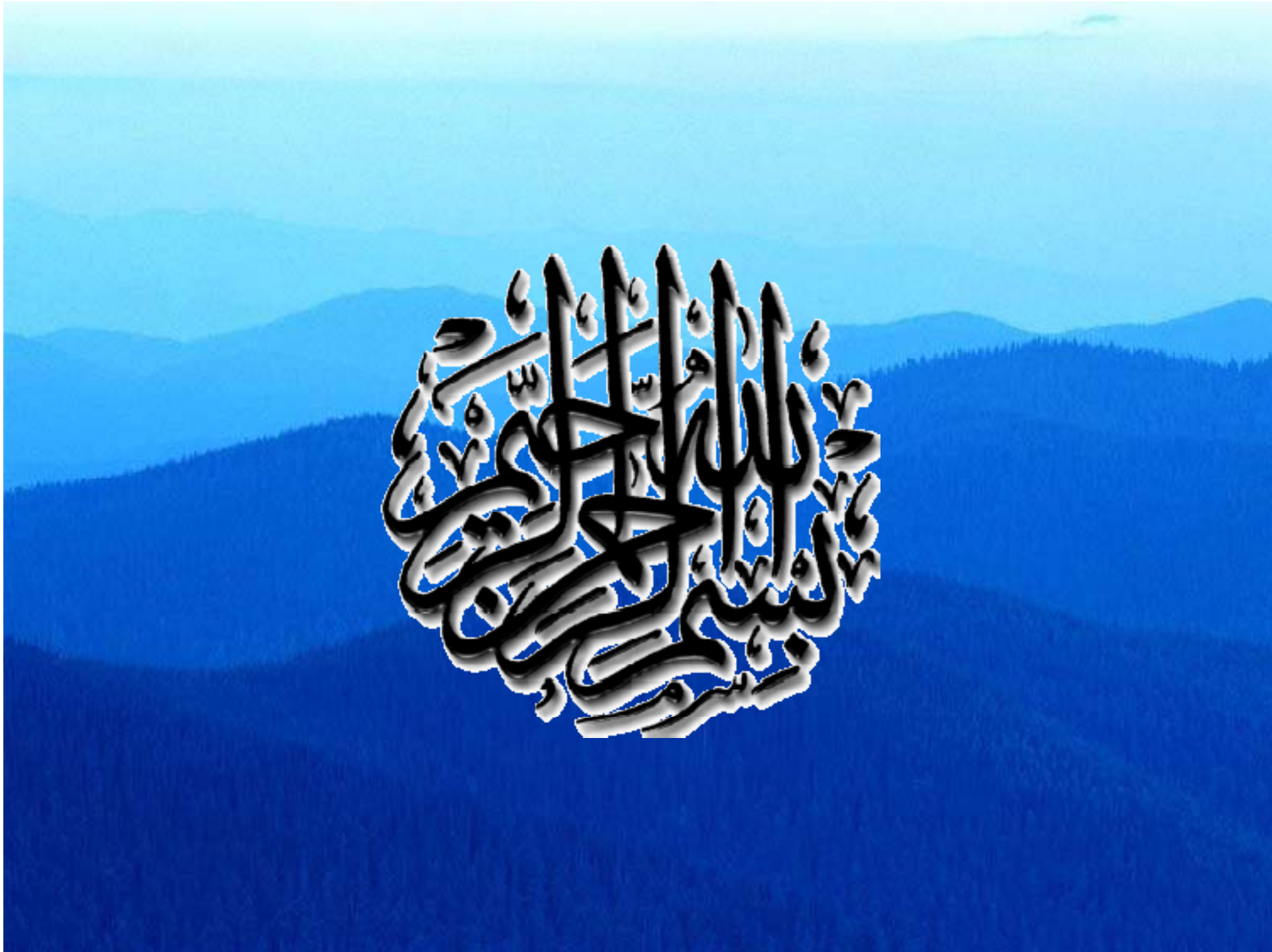
مراحل ساخت یک کتابچه نمونه سوال

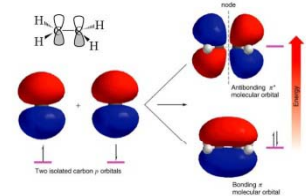
(برای آشنایی با رحالت بسیار زیاد تولید آن در هر ترم) :

دسته بندی فایلها - سرچ بر اساس کد درس - چسباندن سوال و جواب - پیدا کردن یک درس در نیمسالهای مختلف و چسباندن به کتابچه همان درس - چسباندن نیمسالهای مختلف یک درس به یکدیگر - وارد کردن اطلاعات تک تک نیمسالها در سایت - آپلود کتابچه و خیلی موارد دیگر.

همچنین با توجه به تغییرات کدهای درسی دانشگاه (ستثنایات زیادی در سافت کتابچه بوجود می آید که کار سافت کتابچه را بسیار پیچیده می کند .

الله
بِسْمِ اللّٰهِ الرَّحْمٰنِ الرَّحِيْمِ





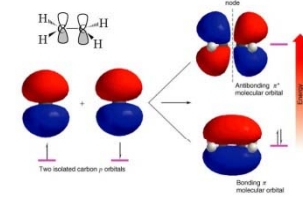
درس شیمی تجزیه دستگاهی

نام منبع: کتاب شیمی تجزیه دستگاهی تالیف Christian

(ترجمه سید احمد میر شکرایی)

تعداد واحد: ۳

تهیه کننده: مهران جوانبخت (دکتری شیمی تجزیه)



مقدمه اي بر روش هاي طيف بيني

طيف بيني **Uv-Vis**

طيف بيني مادون قرمز و رaman

طيف سنجي جذب اتمي، نشر اتمي و فلورسانس اتمي

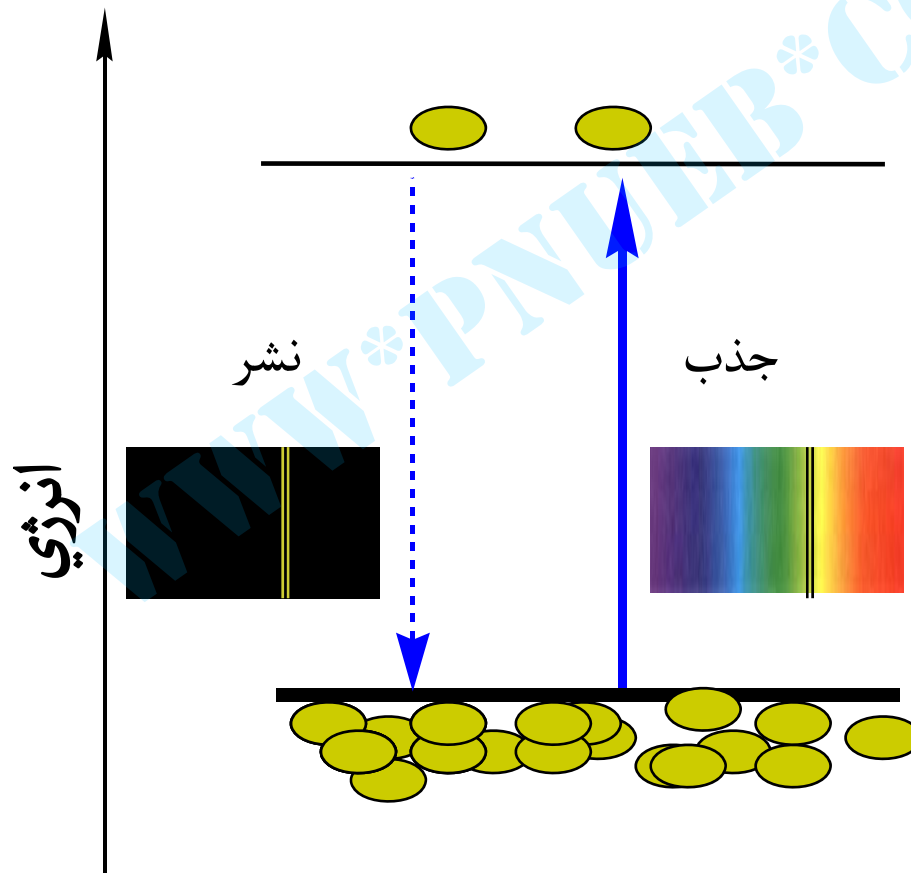
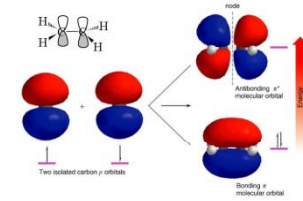
طيف بيني رزونанс مغناطيسي هسته

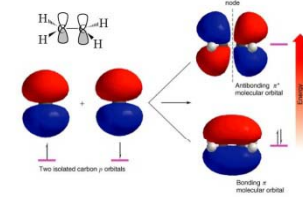
طيف سنجي جرمي

کروماتوگرافی فاز مایع و فاز جامد

کروماتوگرافی گازی

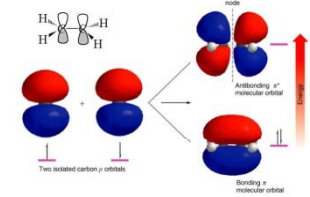
مقدمه ای بر روش‌های طیف بینی





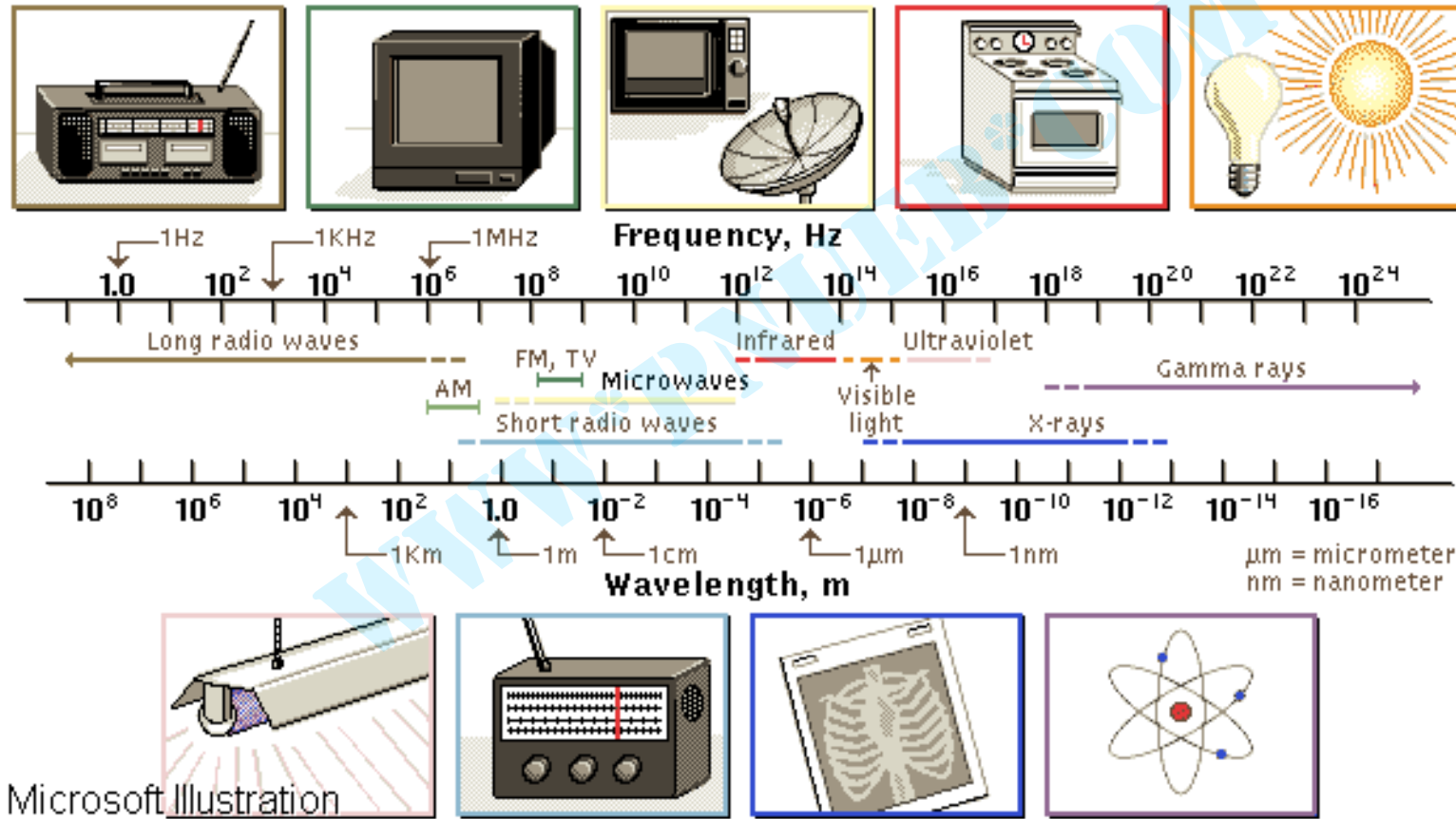
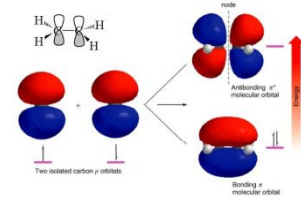
- مقدمه
- مبانی تئوری
- ساختمان دستگاههای طیف سنجی
- فیلتر
- منشور
- تکفام ساز
- آشکار ساز
- طیف بینی تبدیل فوریه
- تجزیه های کمی

هدف از این فصل

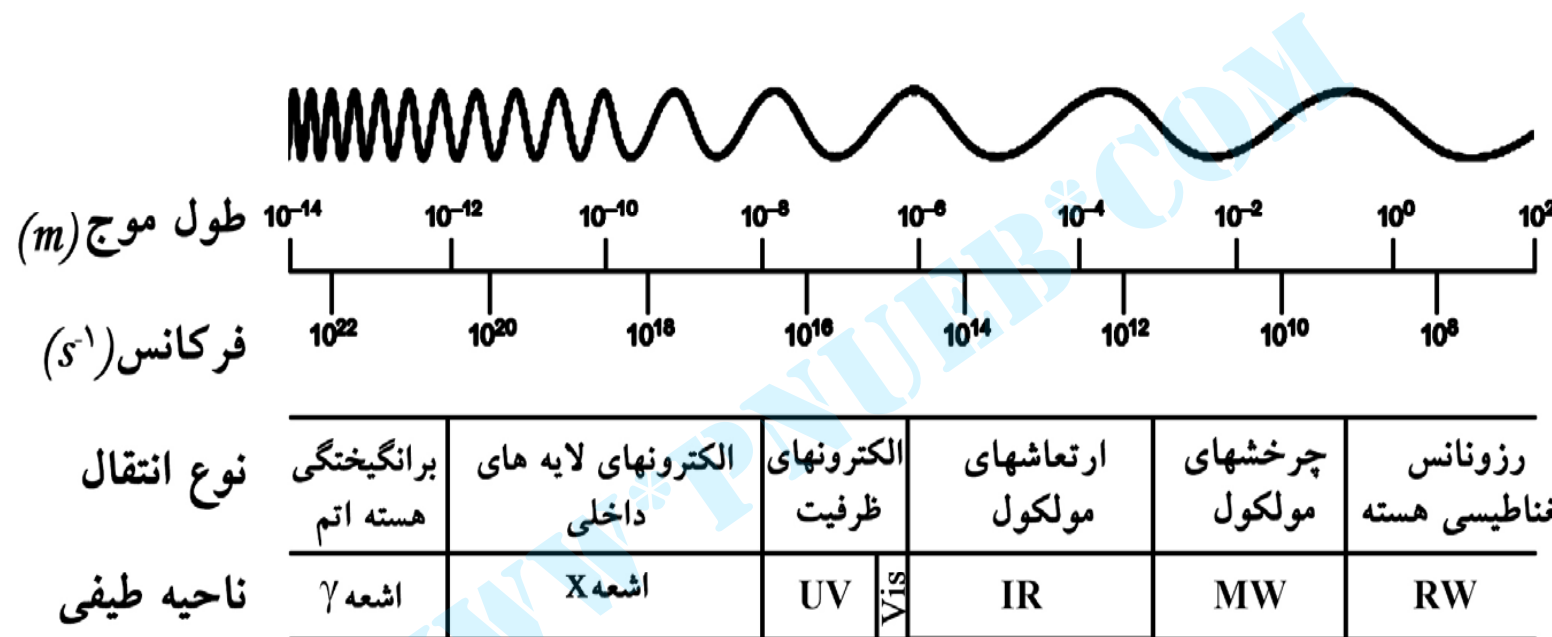
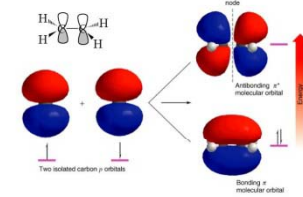


- آشنایی با محدوده فرکانس و طول موج تابش‌های مختلف الکترو مغناطیسی
- کاربرد امواج الکترو مغناطیس در طیف بینی و طیف سنجی
- شرح مختصر مهمترین روش‌های طیف بینی
- آشنایی کلی با دستگاه‌های طیف سنج

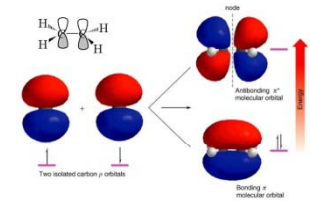
امواج الكترومغناطيس



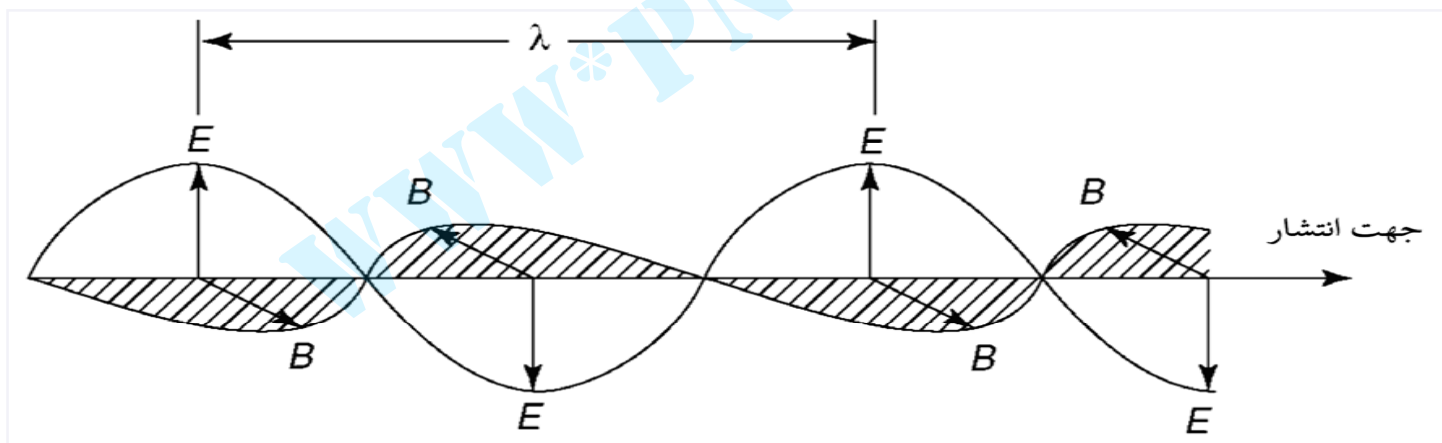
امواج الکترومغناطیس



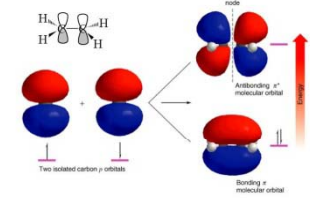
میدانهای الکتریکی و مغناطیسی نور الکترومغناطیس



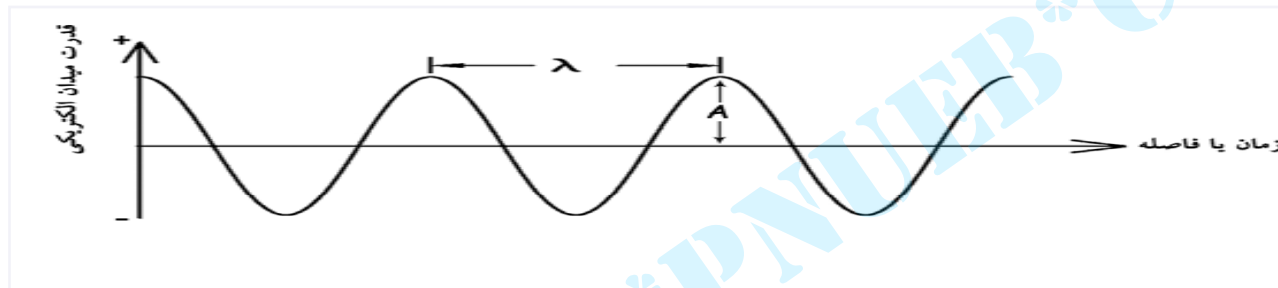
نمایش یک شعاع تک فام؛ میدانهای الکتریکی و مغناطیسی وجهت انتشار آنها



انرژی امواج الکترومغناطیس



نمایش دو بعدی بردار الکتریکی



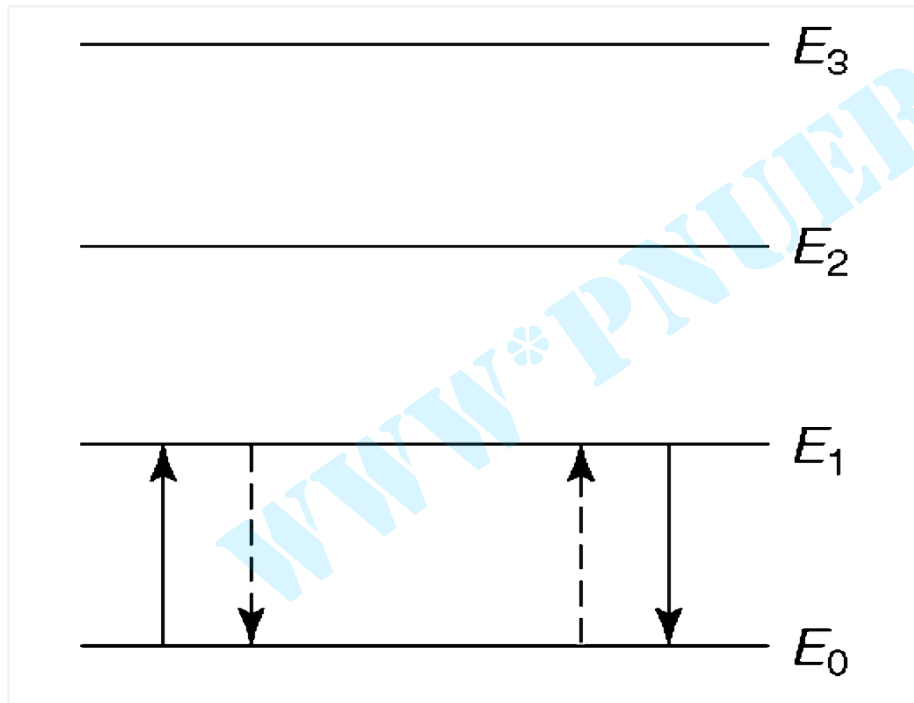
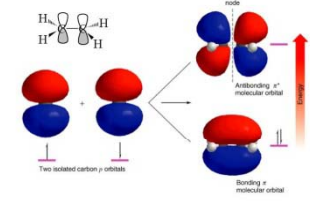
$$C = \lambda v$$

$$C = 99725/2 \times 10^{-8} \text{ m/s}$$

$$\text{Energy} = h\nu = hc/\lambda$$

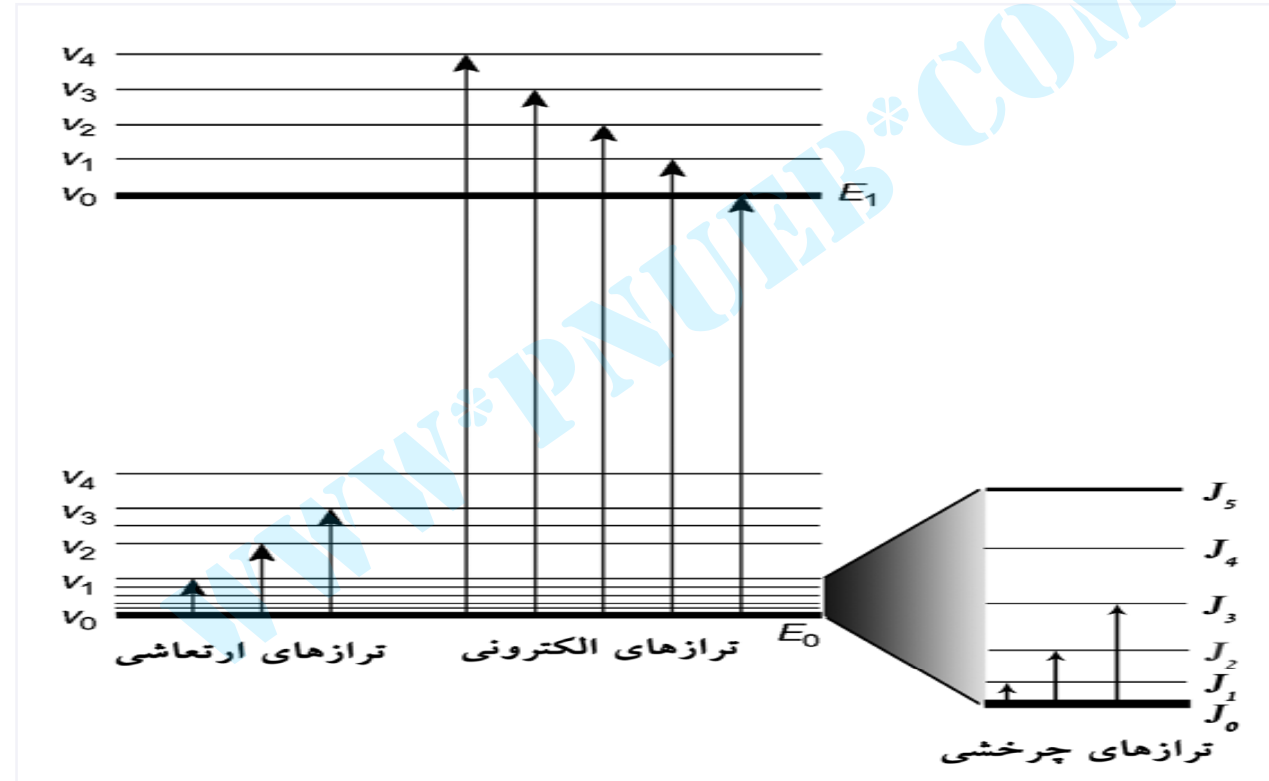
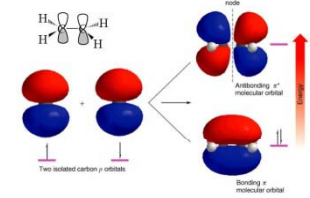
$$h = 6/626 \times 10^{-34} \text{ Js}$$

سطح کوانتیده انرژی

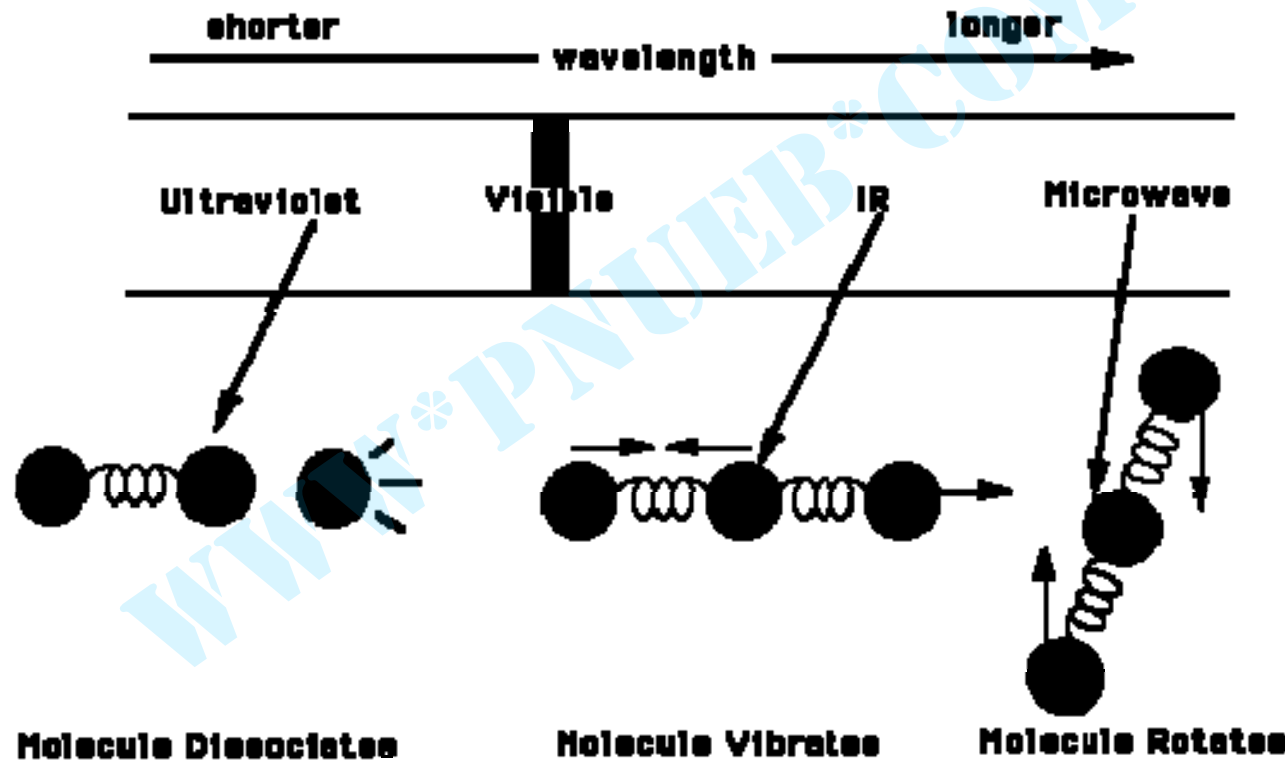
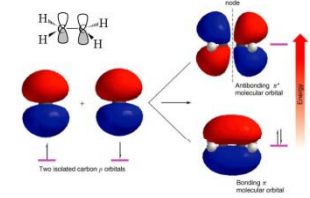


$$\nu = \frac{E_1 - E_0}{h}$$

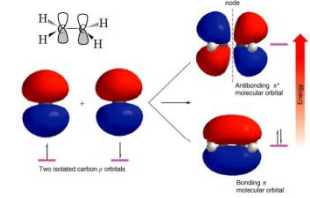
ترازهای چرخشی ، ارتعاشی و الکترونی یک مولکول



ترازهای چرخشی ، ارتعاشی و الکترونی یک مولکول



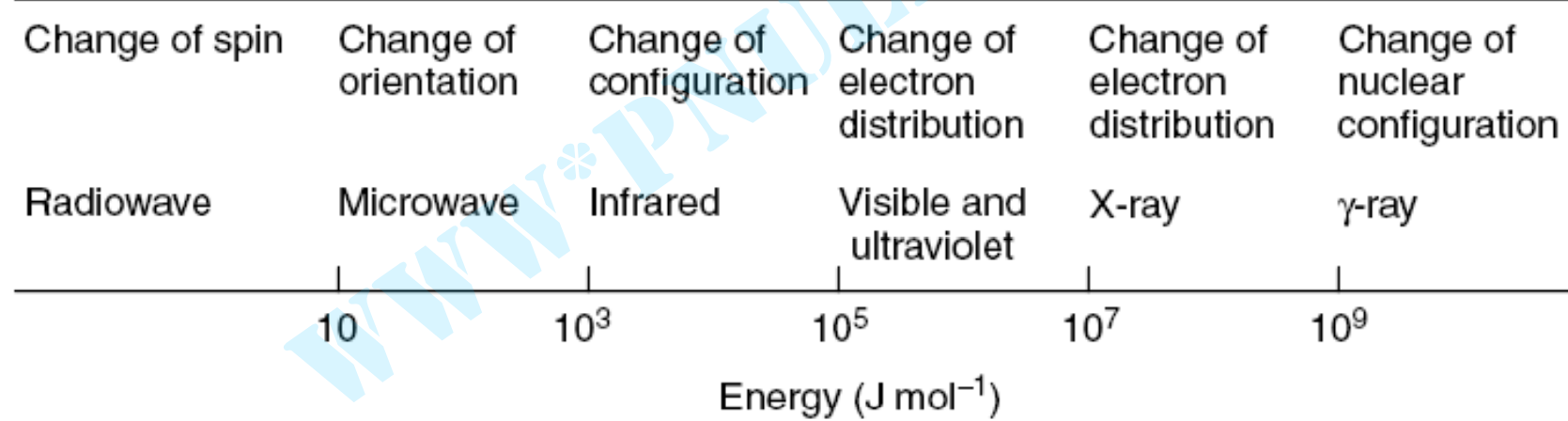
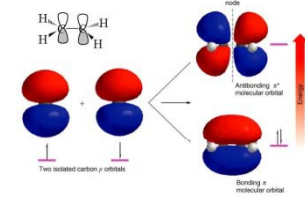
انواع روش‌های طیف بینی



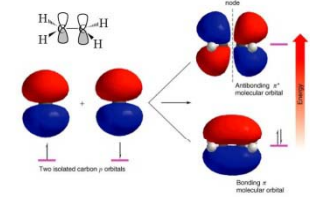
Absorption
Emission
Scattering

- جذبی
- نشری
- پراکندگی

روشهای طیف بینی و حالتهای انرژی



ساختمان دستگاههای طیف سنجی



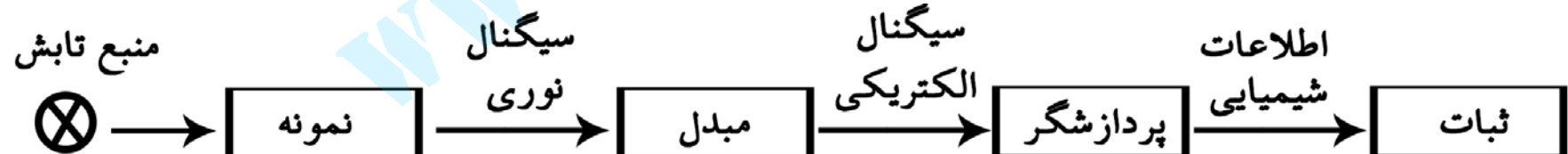
□ منبع تابش

□ مونوکروماتور

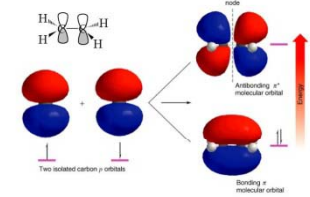
□ آشکارساز

□ پردازشگر

□ ثبات

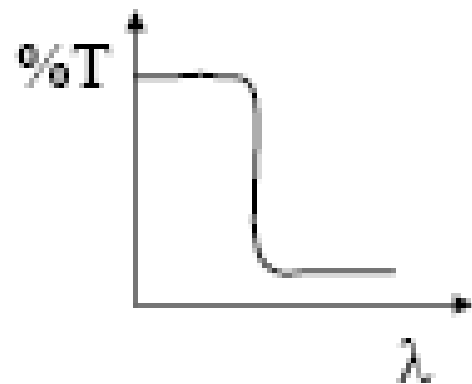


فیلترها

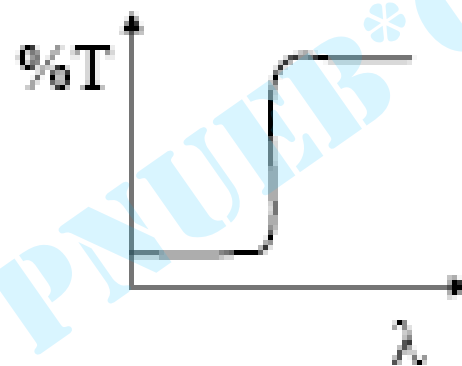


فیلترهای جذبی

Short pass filter

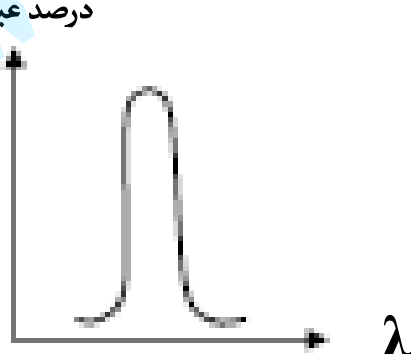


Long pass filter

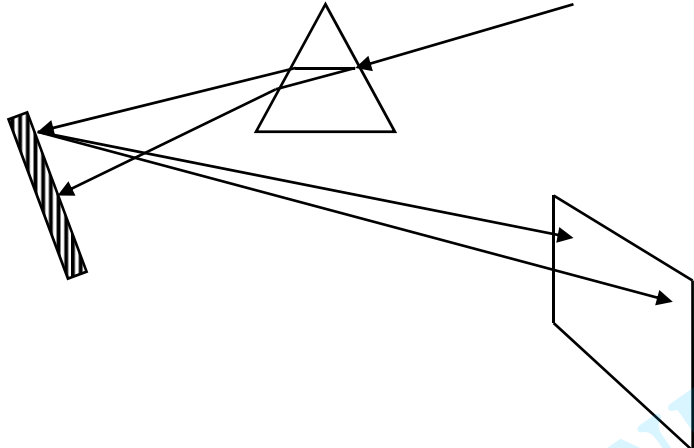
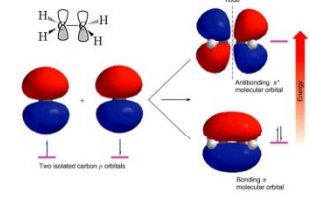


فیلترهای تداخلی

درصد عبور



منشور

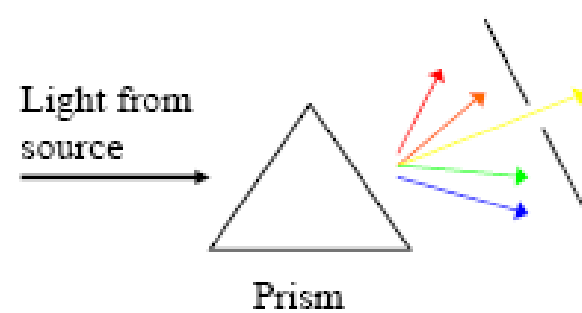


$$\frac{n_2}{n_1} = \frac{\sin \phi_1}{\sin \phi_2}$$

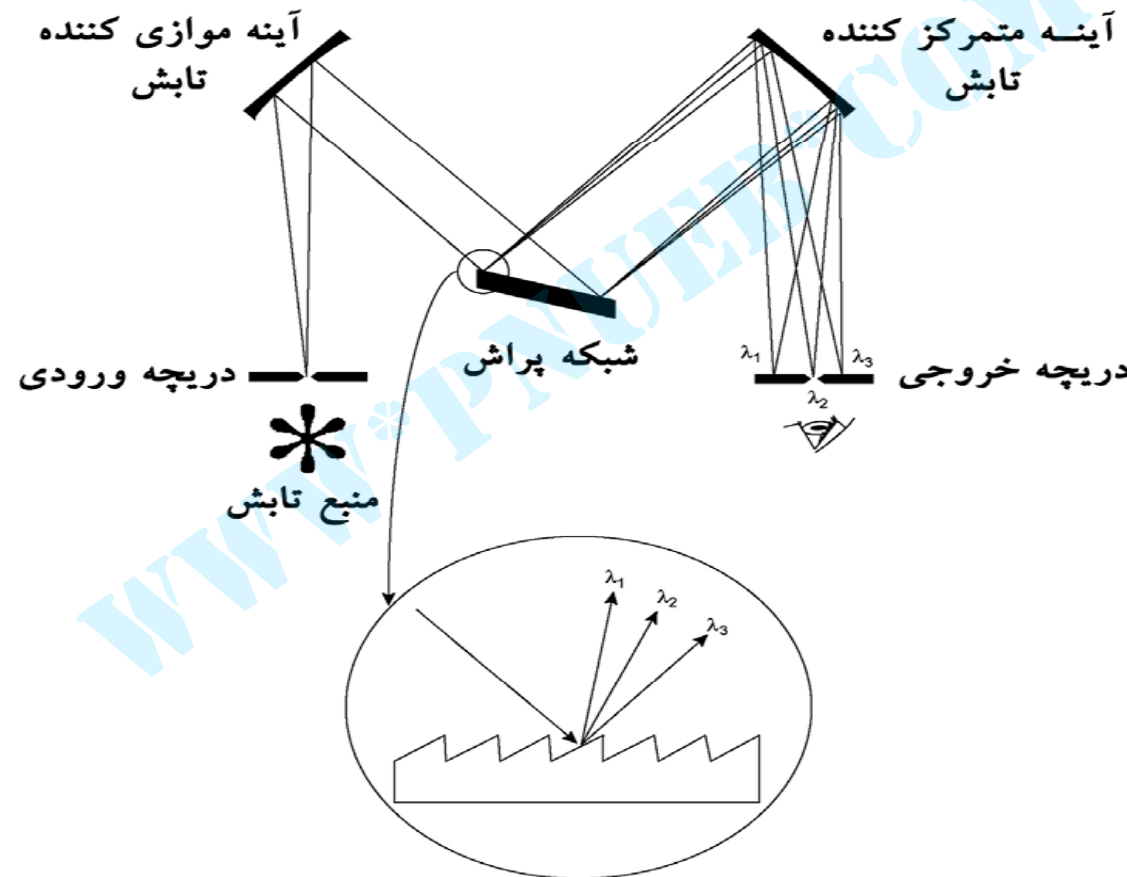
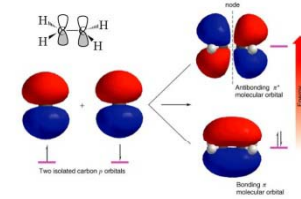
پاشندگی منشور

$$\frac{d\phi}{d\lambda} = \frac{d\phi}{dn} \times \frac{dn}{d\lambda}$$

- Φ_1 : زاویه برخورد
- Φ_2 : زاویه شکست
- n_1 : ضریب شکست محیط خارجی
- n_2 : ضریب شکست منشور

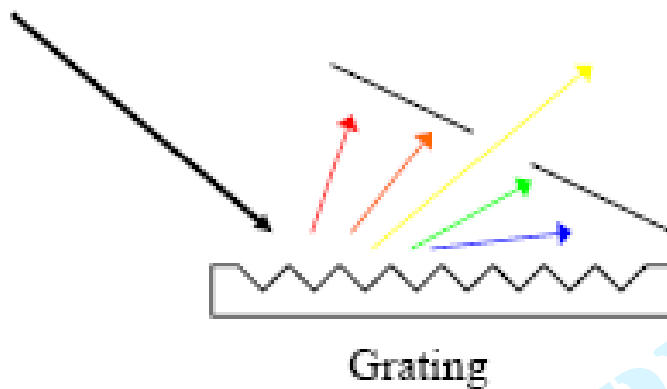
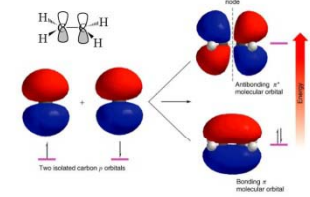


مسیر نوری در یک تکفام ساز



Grating

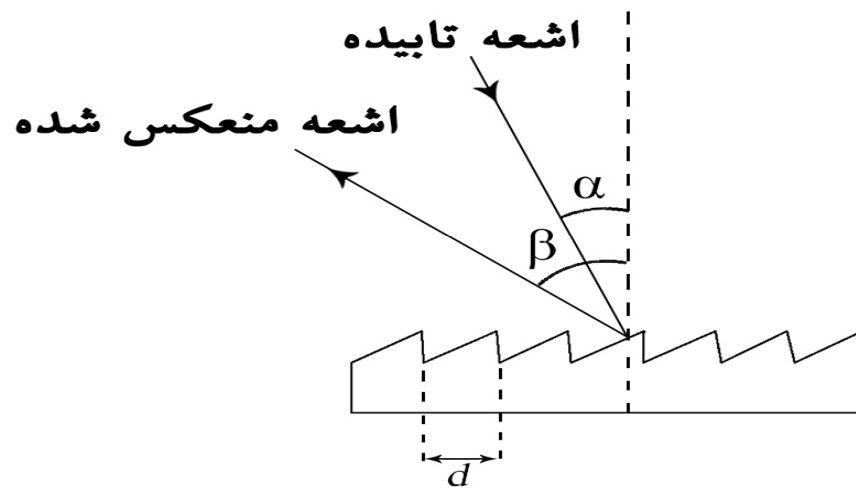
شبکه



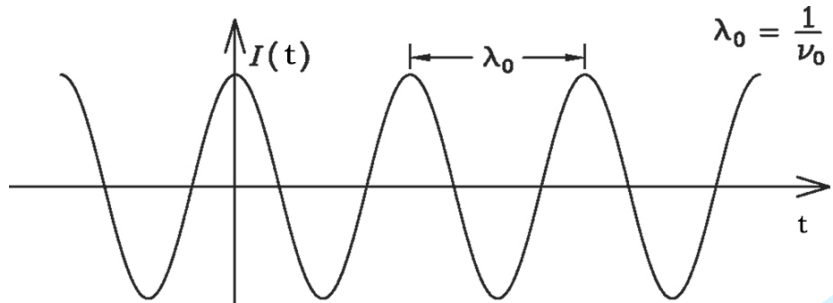
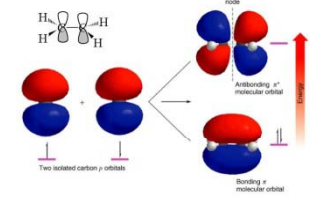
$$n\lambda = d (\sin i + \sin r)$$

یک نوع شبکه انعکاسی

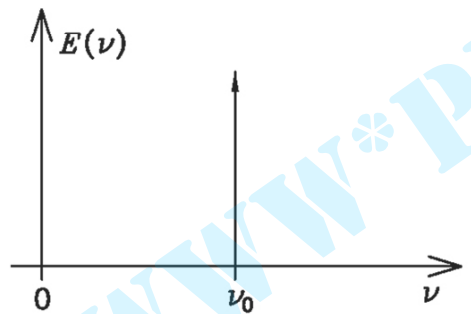
نرمال شبکه



تبدیل فوریه



طیف حوزه زمانی



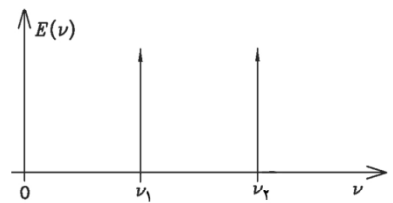
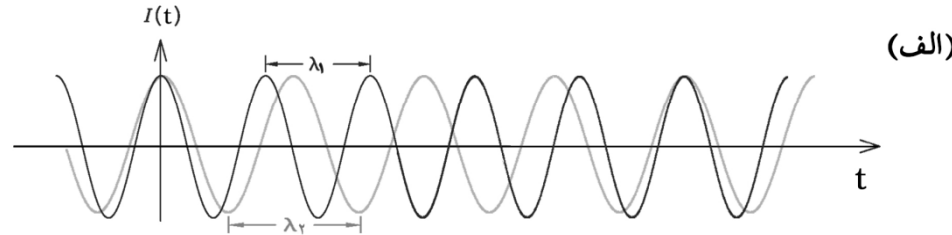
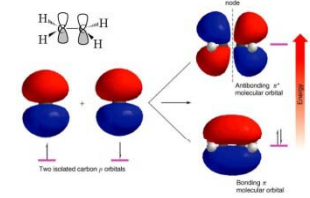
طیف حوزه فرکانسی

$$I_{(x)} = \int_{-\infty}^{\infty} \beta_{(\lambda)} \cos(\varepsilon \pi x \bar{v} d\bar{v})$$

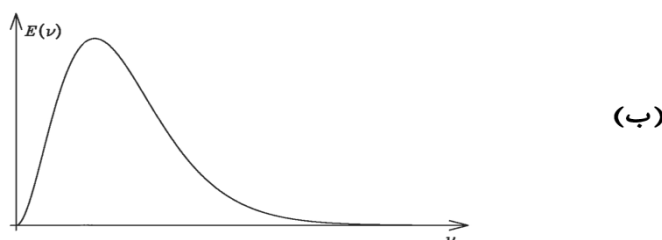
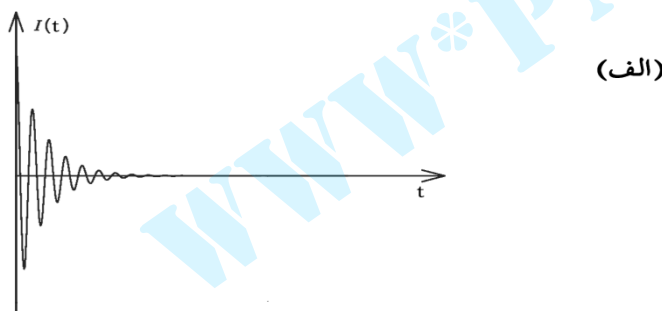
زوج‌های تبدیل فوریه

$$\beta_{(\bar{v})} = \int_{-\infty}^{\infty} I_{(x)} \cos(\varepsilon \pi x \bar{v}) dx$$

تبديل فوريه

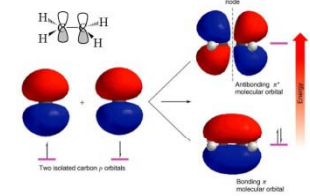


طيف حوزه زمانی و حوزه فرکانسي
برای يك شعاع تابش شامل دو طول موج λ_1 و λ_2



تدالن نما(الف) و طيف معمولي
(ب) برای يك منبع چند فام

مزایای طیف تبدیل فوریه



+ بهبود نسبت سیگنال به نویز (**S/N**)

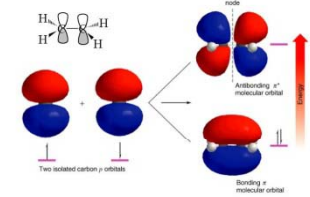
این مزیت که به بهبود نسبت سیگنال به نویز (**S/N**) در واحد زمان مربوط می‌شود و با ریشه دوم تعداد معدل گیریهای انجام شده متناسب است

$$\left(\frac{S}{N} \right)_{FT} = \frac{nS}{\sqrt{n} N} = \sqrt{n} \left(\frac{S}{N} \right)_{(\text{پاسنده})}$$

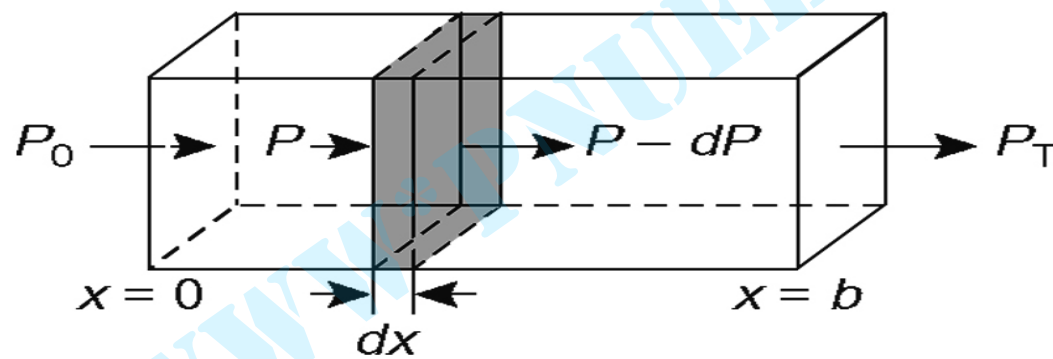
+ افزایش سرعت، دقیقیت و قدرت تفکیک

از آنجایی که در دستگاههای تبدیل فوریه (**FT**) نیازی به دریچه‌های ورودی و خروجی و شبکه پراش نیست، تمام توان منع می‌تواند به طور پیوسته به نمونه تابانده شود، بنابراین سرعت، دقیقیت و قدرت تفکیک افزایش می‌یابد.

تجزیه‌های کمی



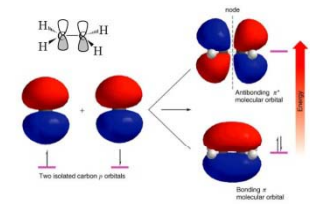
قانون بیر-لامبرت



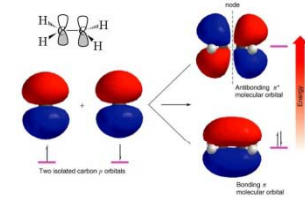
$$A = \epsilon b c$$



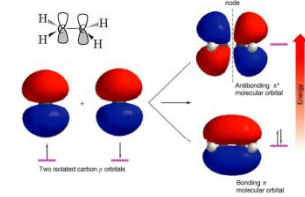
طیف بینی Uv-Vis



هدف از این فصل



- آشنایی کامل با طیف بینی جذبی ماورای بنفش- مرئی
- آشنایی با مکانیزم و انواع روش‌های طیف نور سنجی
- آشنایی با دستگاه‌های طیف سنج
- کاربرد طیف بینی UV-VIS در تجزیه های کیفی و کمی



مقدمه

جذب مولکولی

انتقالهای الکترونی

گروههای رنگساز و رنگیار

قانون بیر

انحراف از قانون بیر

کاربرد طیف نورسنج

Uv-Vis دستگاههایی در طیف بینی

منابع تابش

مونوکروماتور

سولولای نمونه

آشکارساز

فتوتکلیر کننده

فتووتولانی

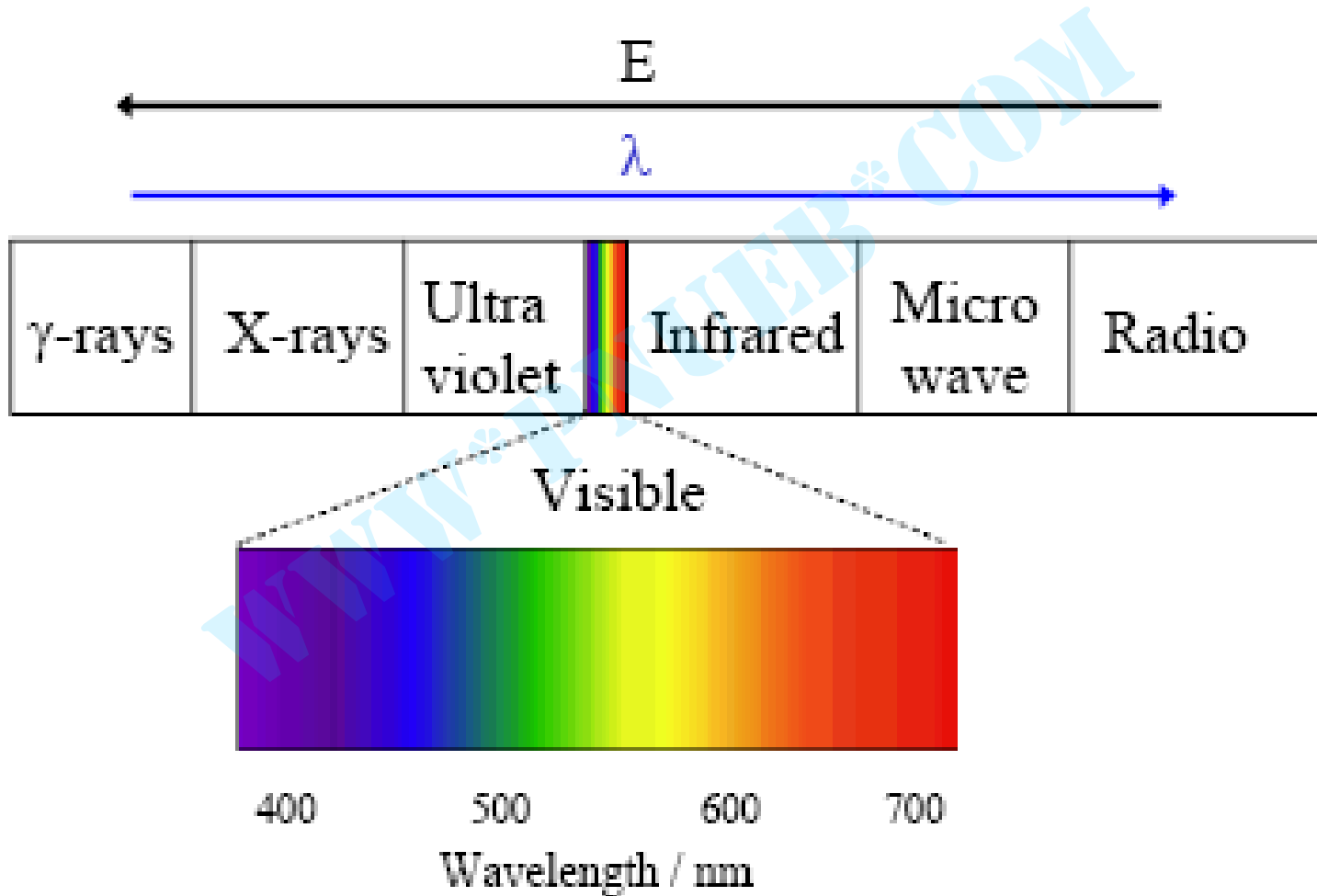
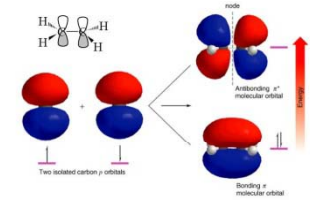
فتولون

طیف نورسنجهای تک پرتوی

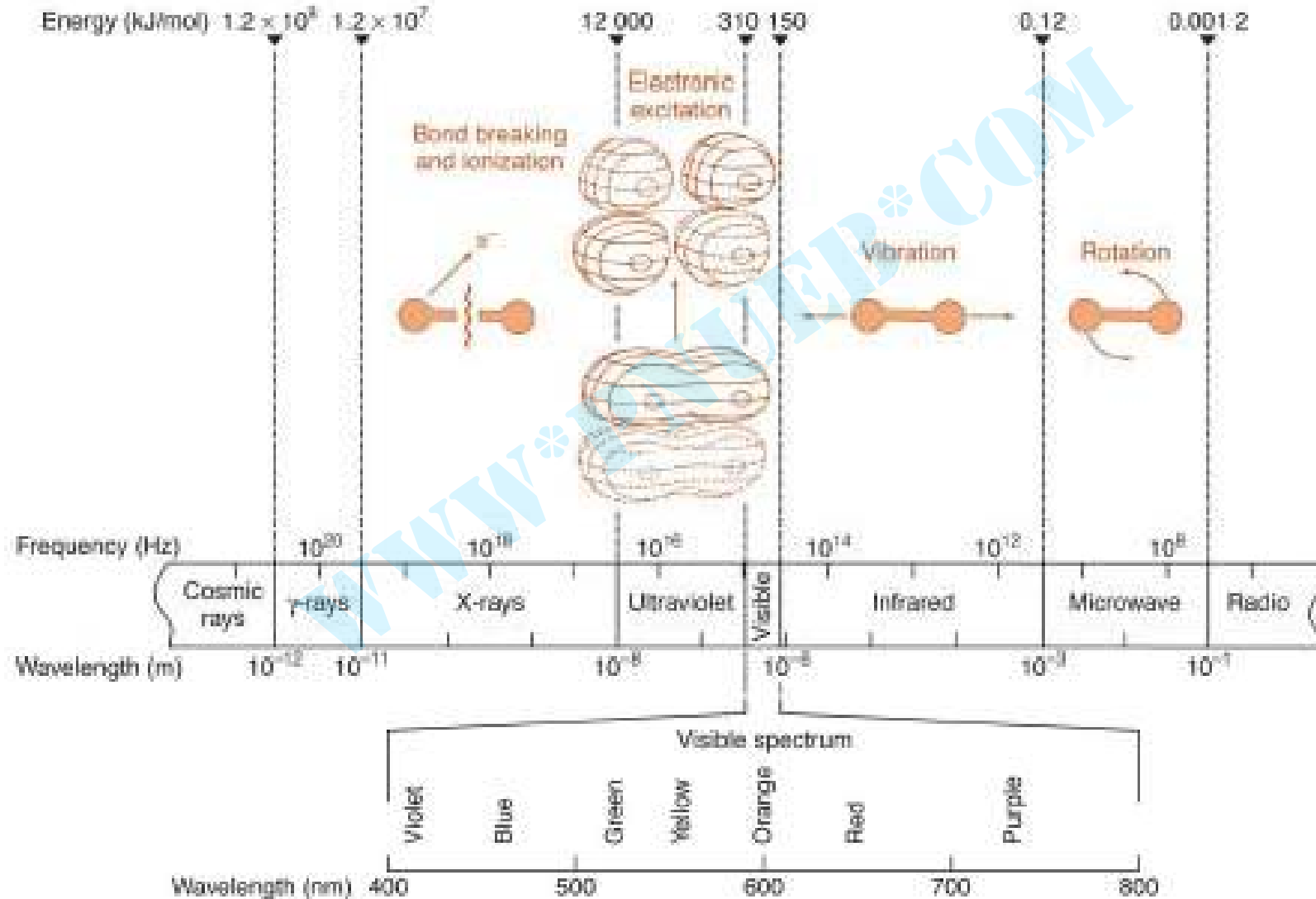
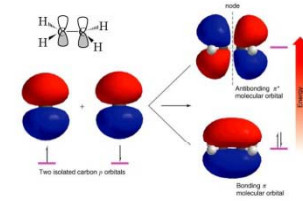
طیف نورسنجهای دو پرتوی

فوتومتر

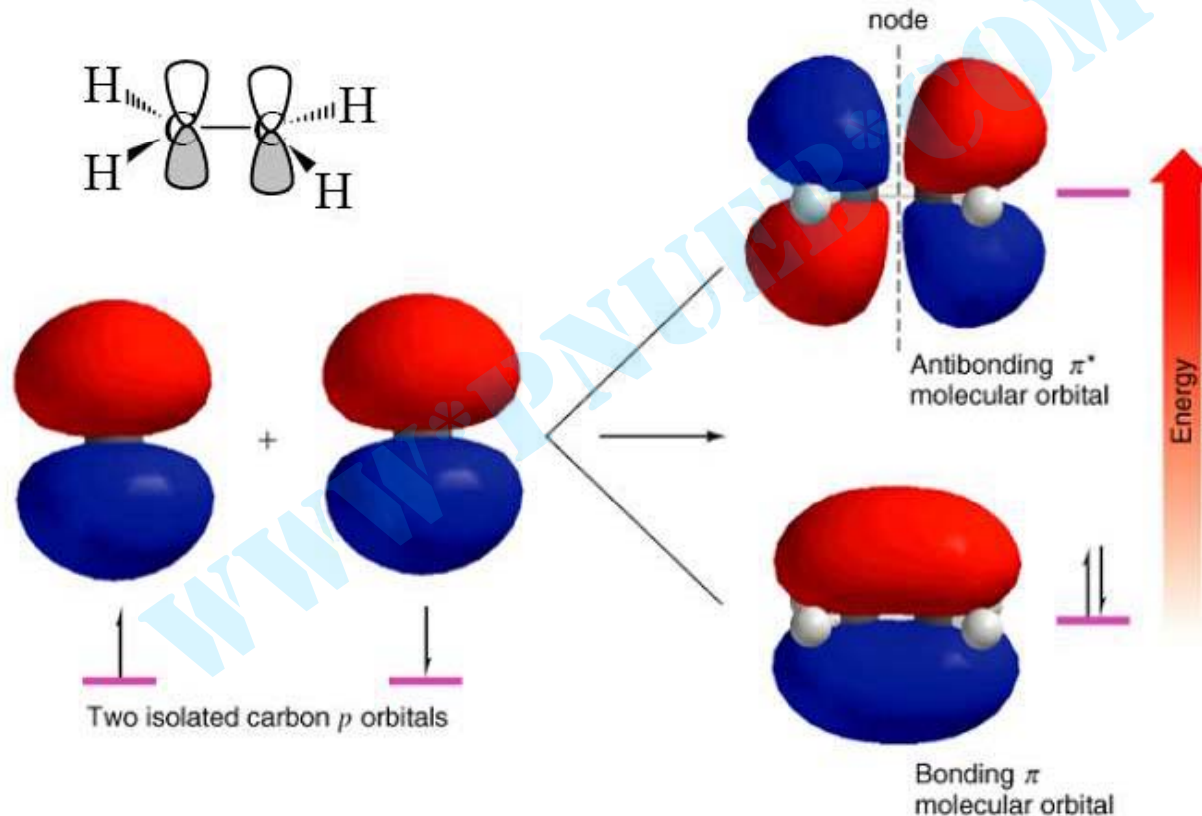
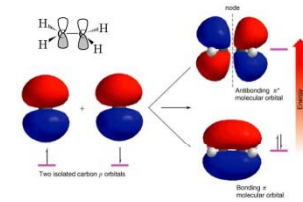
تابش الكترومغناطيس



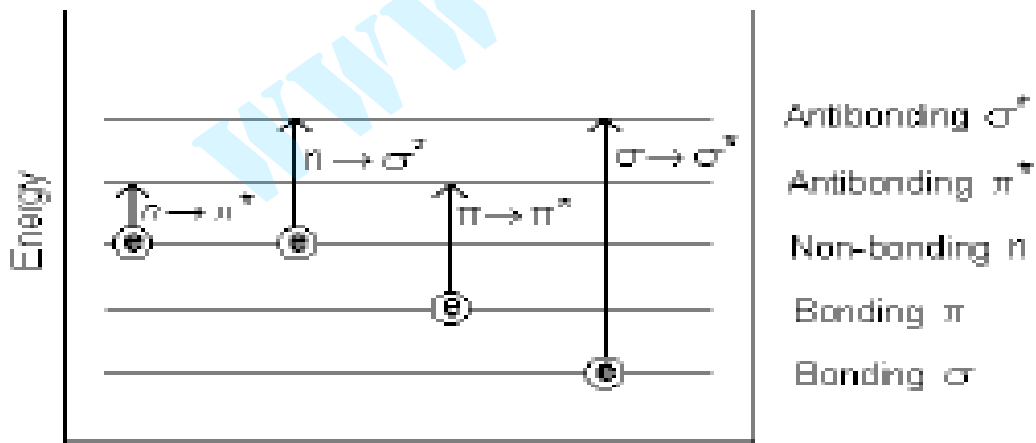
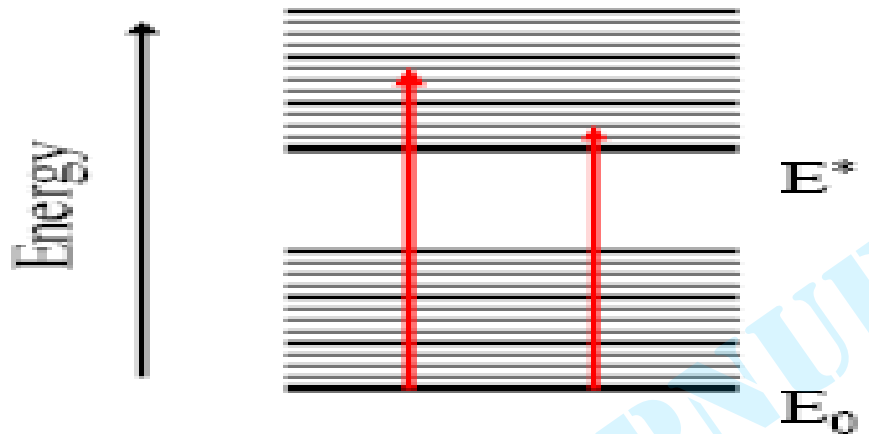
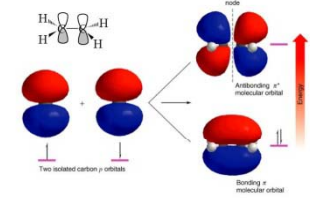
تابش الكترومغناطيس



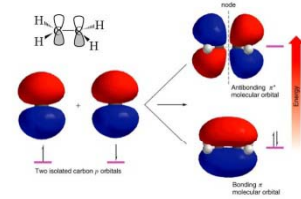
انتقالهای الکترونی



انتقالهای الکترونی

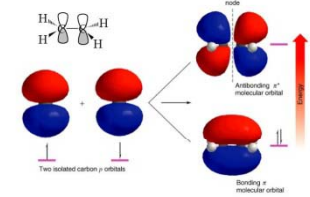


جذب نور مرئی و رنگ مکمل آن



Wavelength of maximum absorption (nm)	Colour absorbed	Colour observed
380-420	Violet	Green-Yellow
420-440	Violet-Blue	Yellow
440-470	Blue	Orange
470-500	Blue-Green	Red
500-520	Green	Purple
520-550	Yellow-Green	Violet
550-580	Yellow	Violet-Blue
580-620	Orange	Blue
620-680	Red	Blue-Green
680-780	Purple	Green

گروههای رنگساز و رنگیار



گروههای رنگساز:

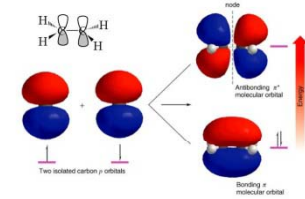
گروههایی در مولکول که با جذب نور باعث رنگ ماده می شوند.

مثال: -Br, -NH₂, -COOH

گروههای رنگیار:

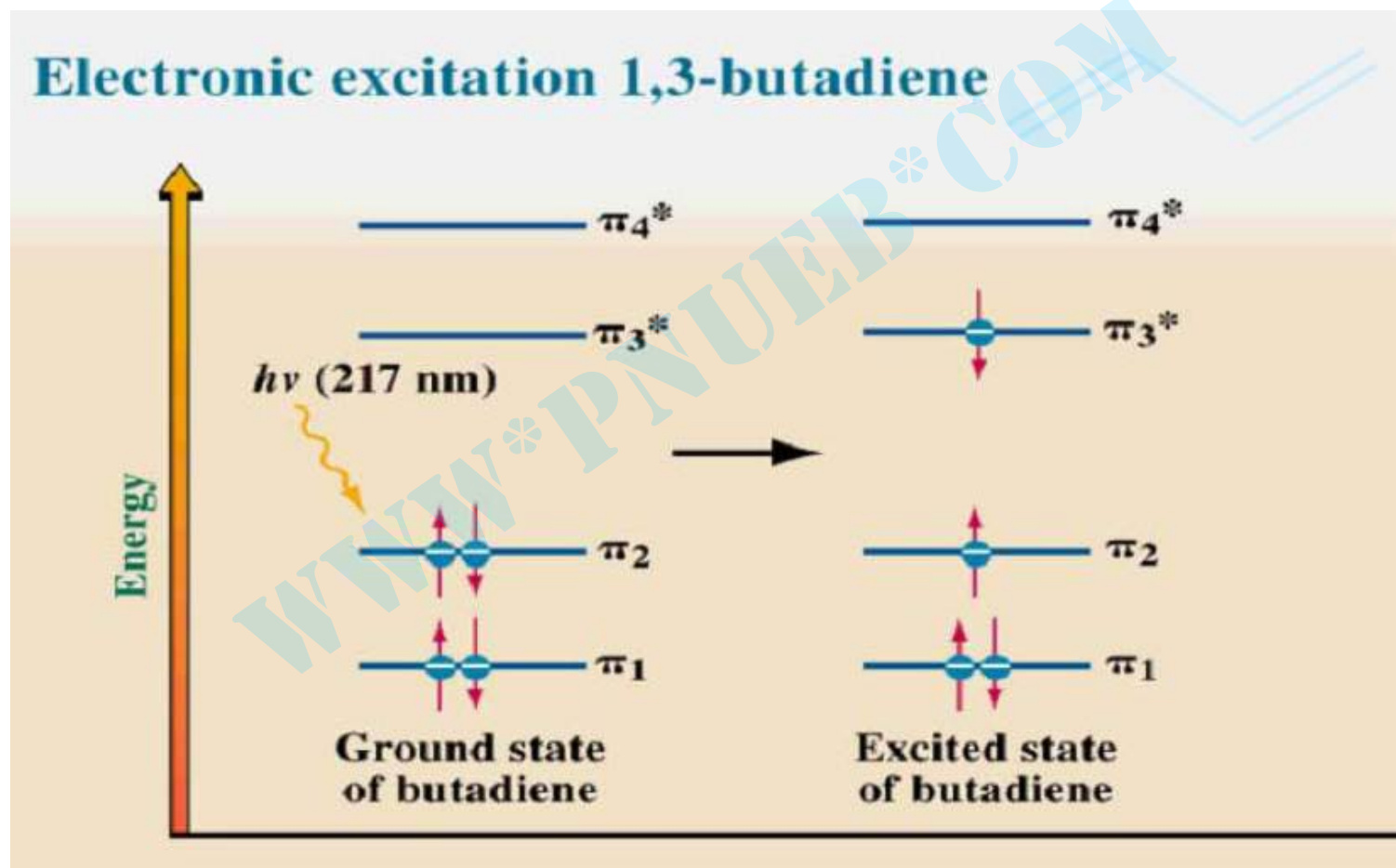
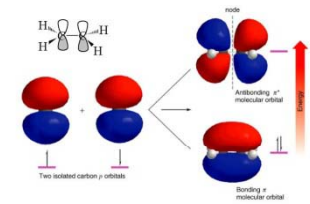
گروههایی که خودشان رنگ ندارند ولی شدت رنگ یک رنگساز را افزایش می دهند.

رنگسازهای مزدوج

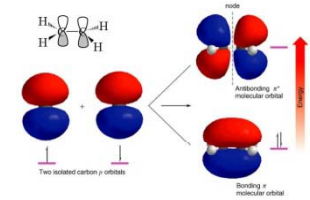


Name	Structural Formula	λ_{max} (nm)	Energy (kcal/mol)
ethylene	$\text{CH}_2=\text{CH}_2$	165	173
1,3-butadiene	$\text{CH}_2=\text{CHCH=CH}_2$	217	132
(3E)-1,3,5-hexatriene	$\text{CH}_2=\text{CHCH=CHCH=CH}_2$	268	107
(3E, 5E)-1,3,5,7-CH ₂ =CH(CH=CH) ₂ CH=CH ₂ octatetraene		290	92

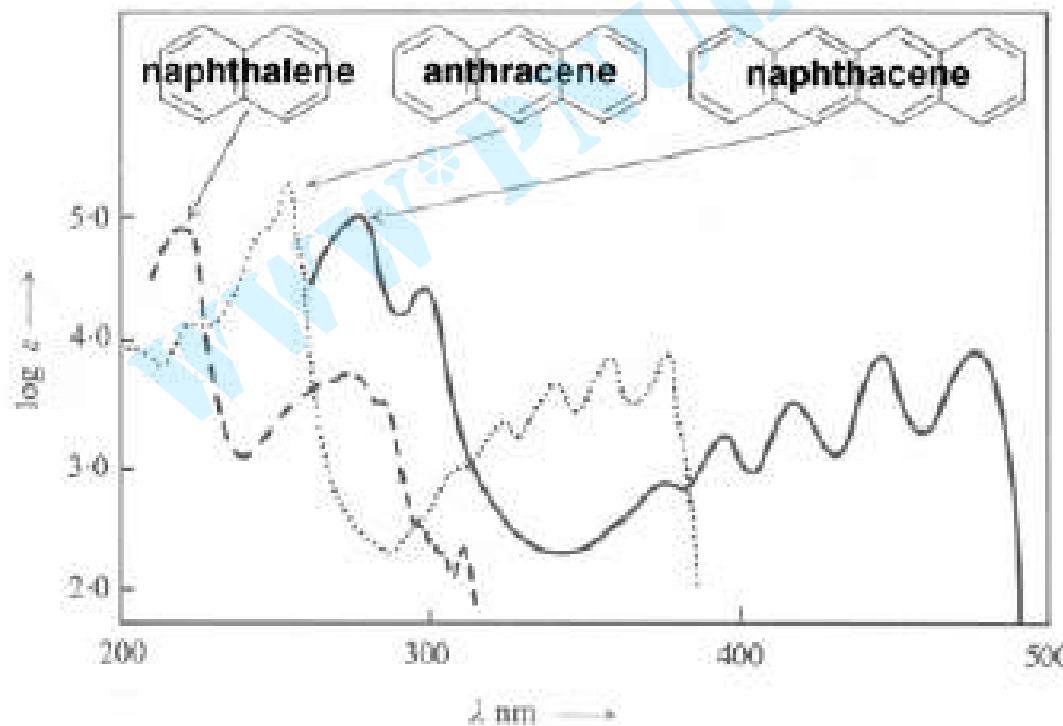
انتقالهای الکترونی در ۱،۳-بوتادین



هیدروکربنهای آروماتیک

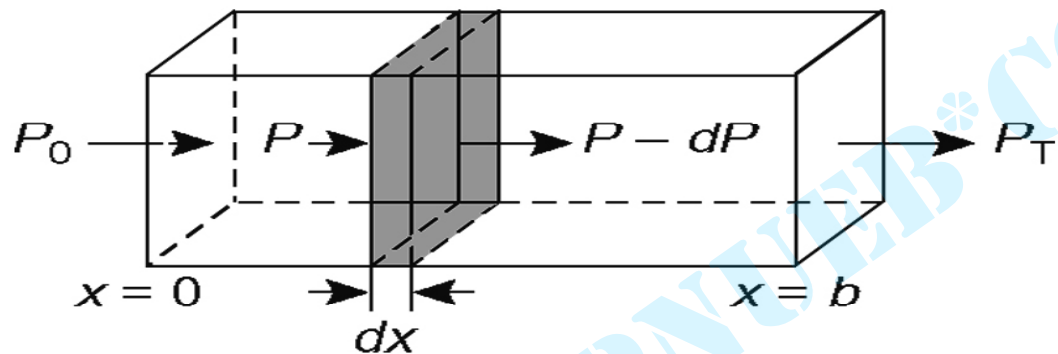
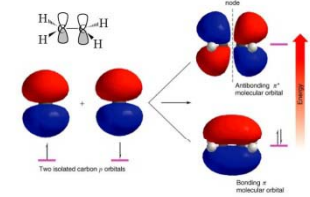


در هیدروکربنهای آروماتیک با افزایش تعداد حلقه، طول موج جذب افزایش می‌یابد.



Beer's Law

قانون بیر

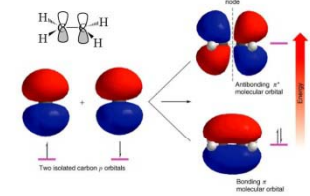


$$A = \epsilon b c$$

A: جذب
b: مسیر نوری

c: غلظت
ε: جذب مولی

جذب کلی

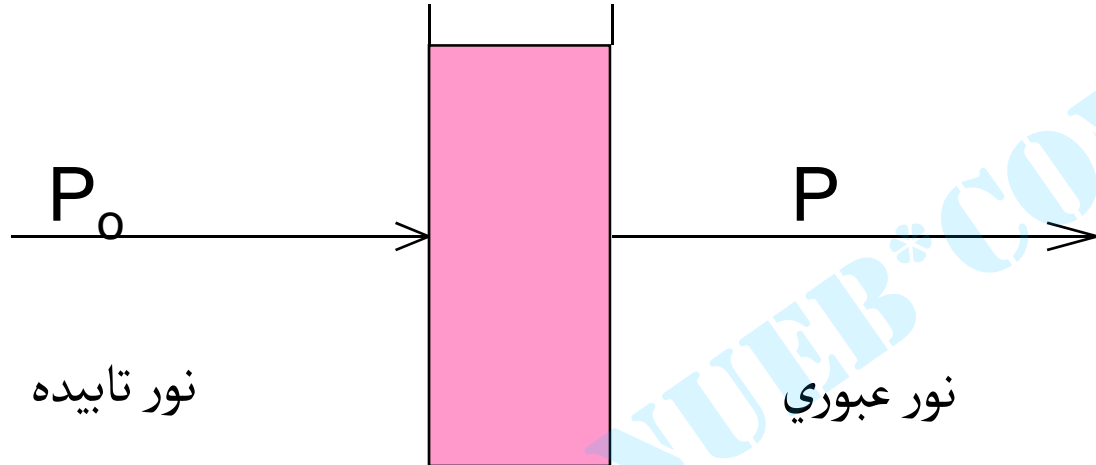
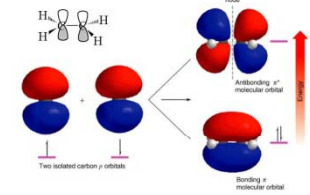


$$A_T = A_1 + A_2 + A_3 + \dots A_n$$

$$A_T = \varepsilon_1 b c_1 + \varepsilon_2 b c_2 + \varepsilon_3 b c_3 + \dots \varepsilon_n b c_n$$

Transmittance

عبور

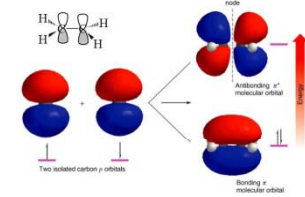


$$T = \frac{P}{P_0} \quad \%T = \frac{P}{P_0} \times 100$$

درصد عبور

$$A = -\log_{10} T = \log_{10} \frac{P_0}{P}$$

انحراف از قانون بیر



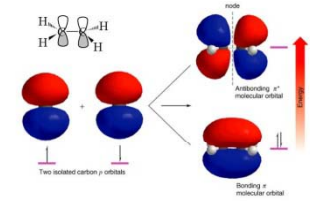
غلهت بالا

برهمکنشهای شیمیایی

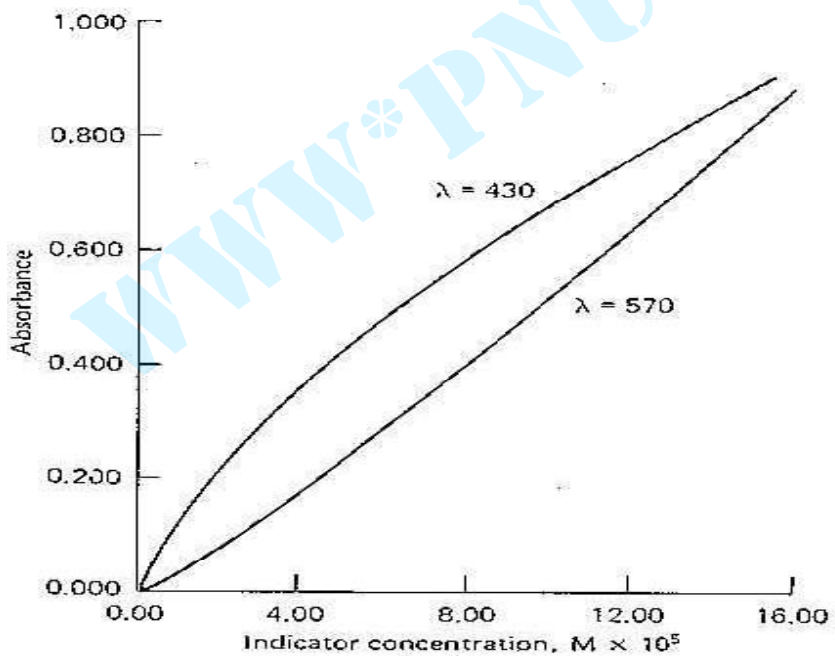
تابش های چند فام

نورهای سرگردان(stray light)

انحراف از قانون بیر به علت وجود واکنشهای تعادلی

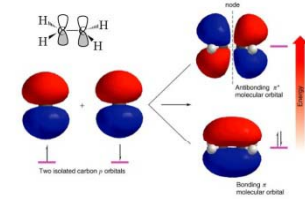


تغییرات جذب بر حسب غلظت برای یک شناساگر HIn^- که با گونه In^- در تعادل می باشد.

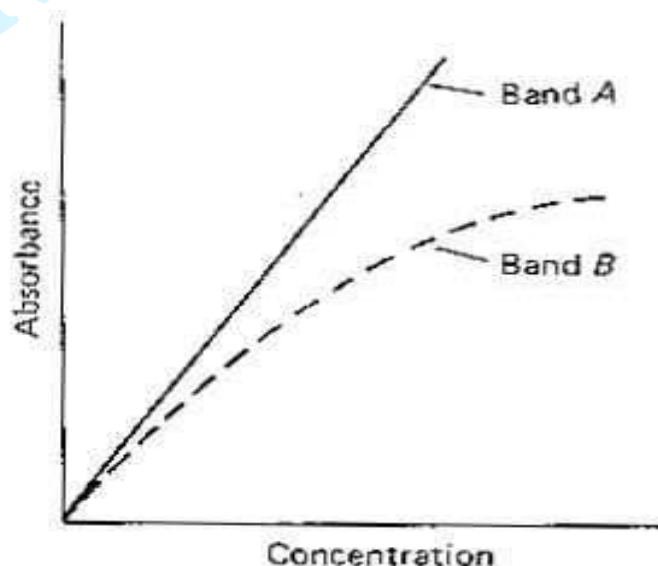
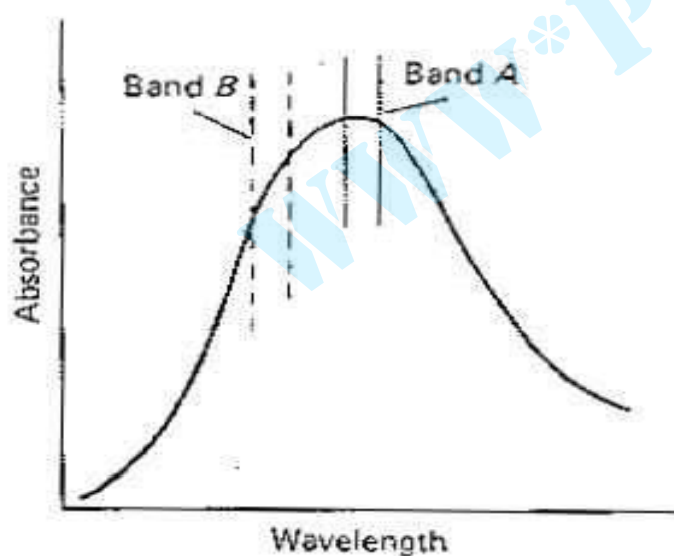


(polychromatic radiation)

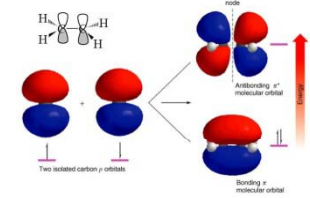
نورهای چند فام



باند طیفی **A** انحراف کمی از قانون بیر نشان می دهد در حالی که باند طیفی **B** به علت اینکه چند فام است انحراف زیادی نشان می دهد.



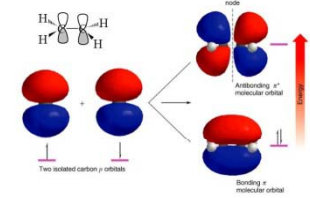
تابش چند فام



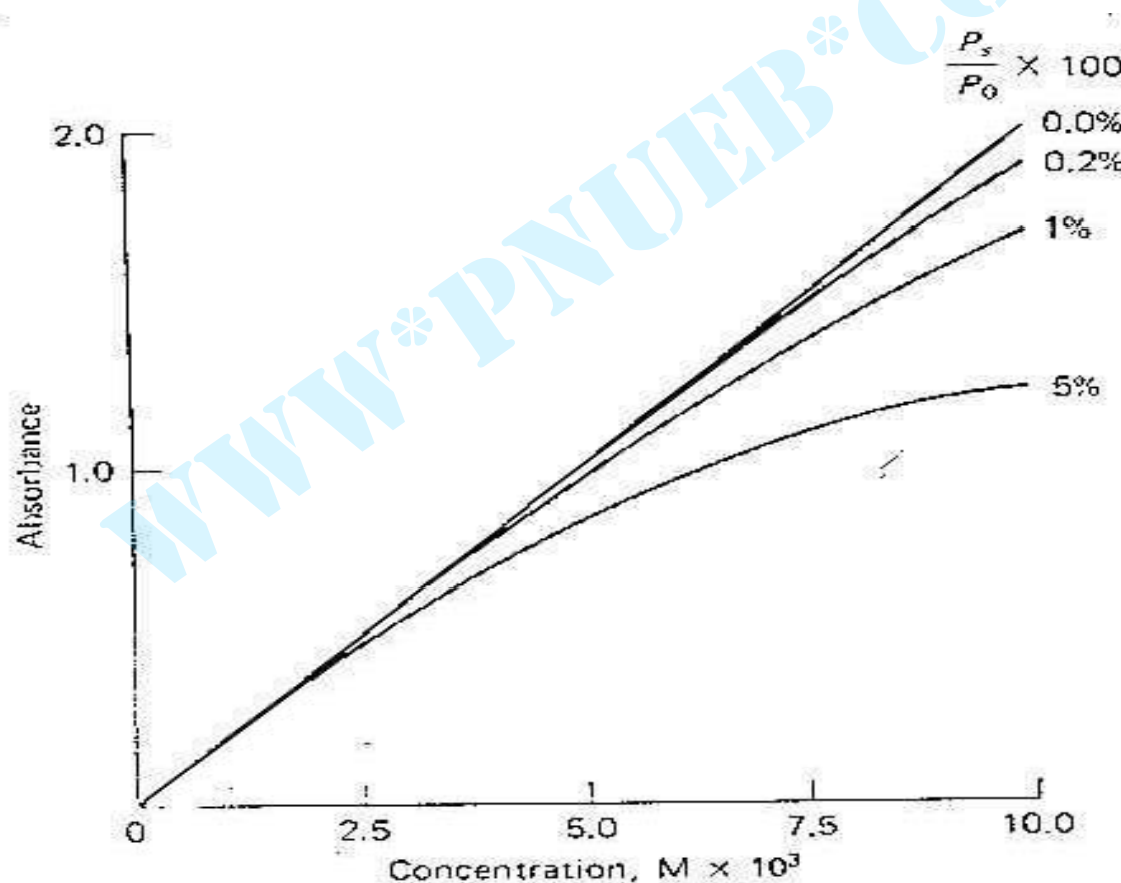
$$A_m = \log \frac{(P_o' + P_o'')}{(P' + P'')}$$

$$A_m = \log \frac{(P_o' + P_o'')}{(P_o' 10^{-\varepsilon'bc} + P_o'' 10^{-\varepsilon''bc})}$$

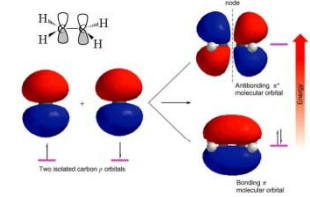
نورهای سرگردان



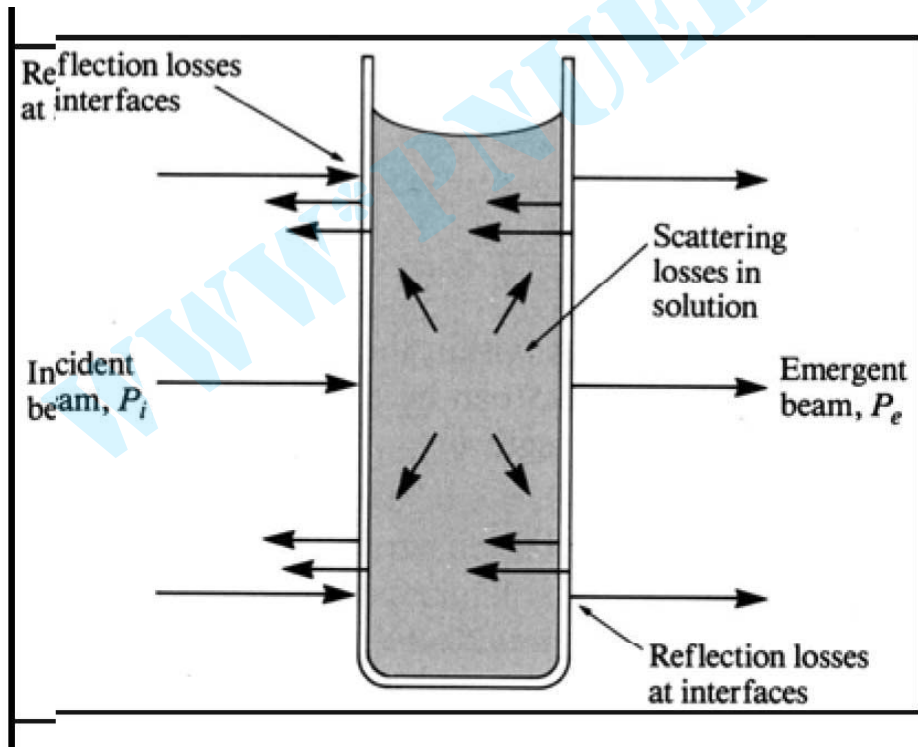
نورهای سرگردان باعث انحراف منفی از قانون بیر می شود.



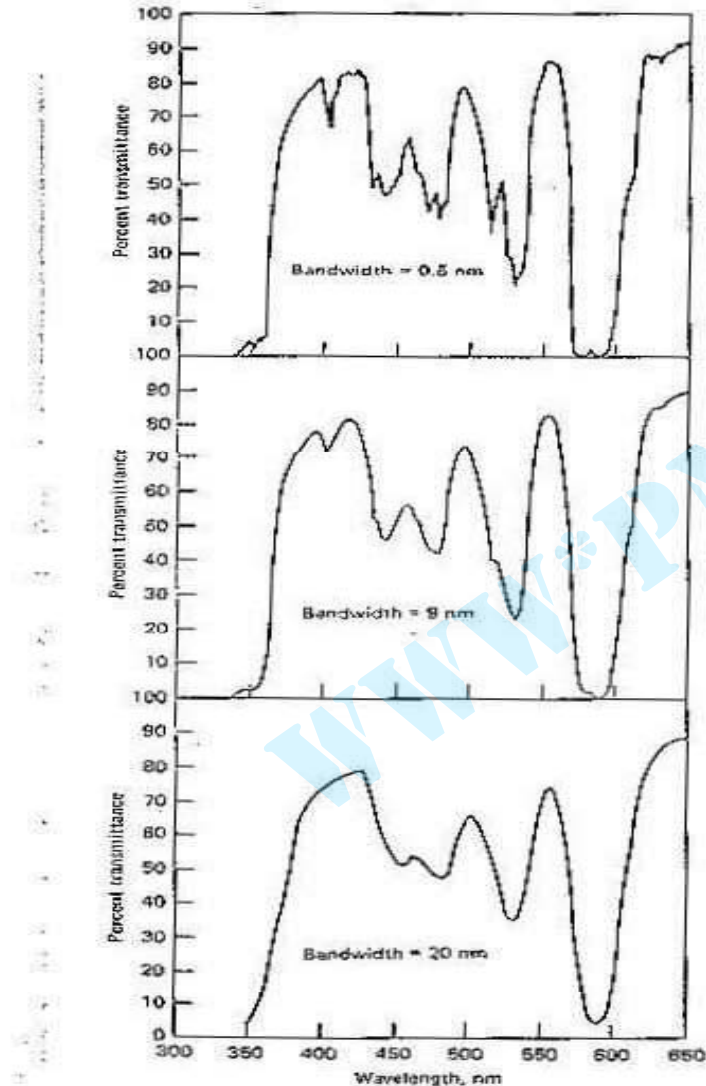
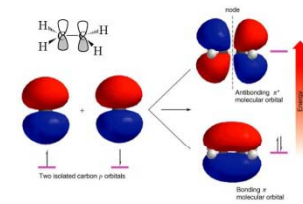
اتلاف تابش به خاطر پدیده های غیر جذبی



پدیده های انعکاس و پراکندگی



اثر پهناي در يچه ورودي (slid) بر روی طيف

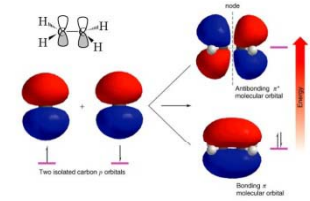


• 0.5 nm •

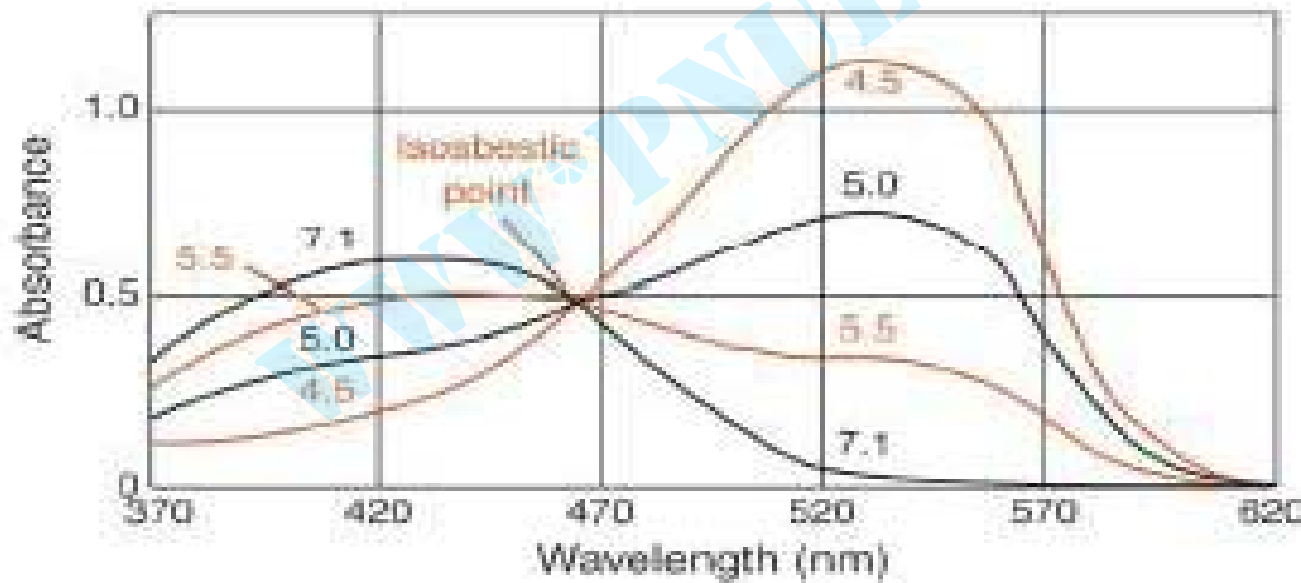
5 nm •

20 nm •

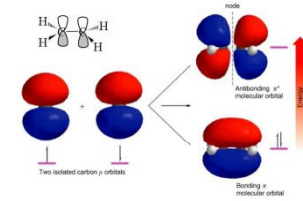
کاربرد روش‌های نور طیف سنجی



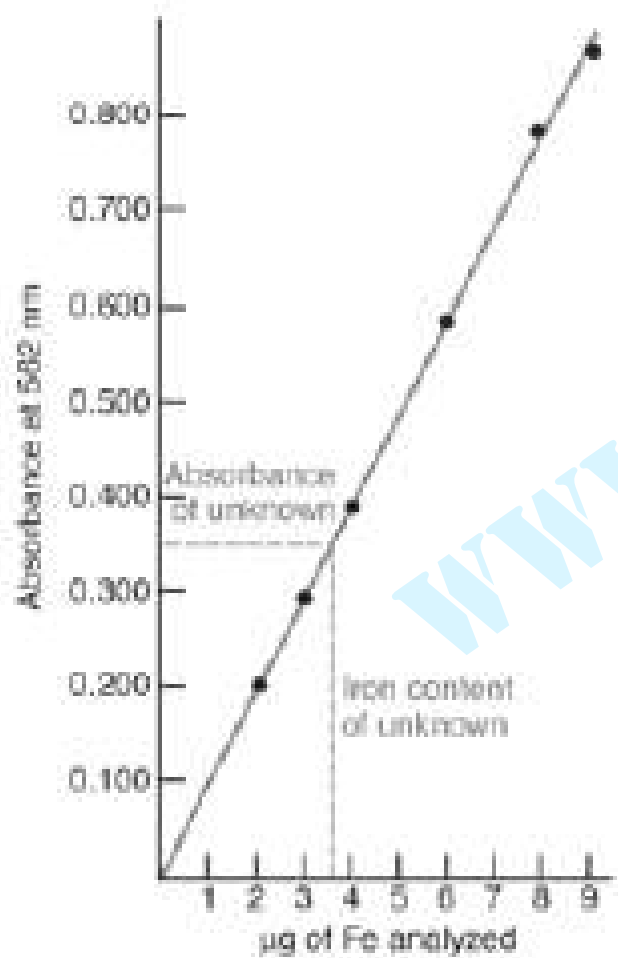
تعیین نقطه ایزوبستیک یا طوب موج هم جذب



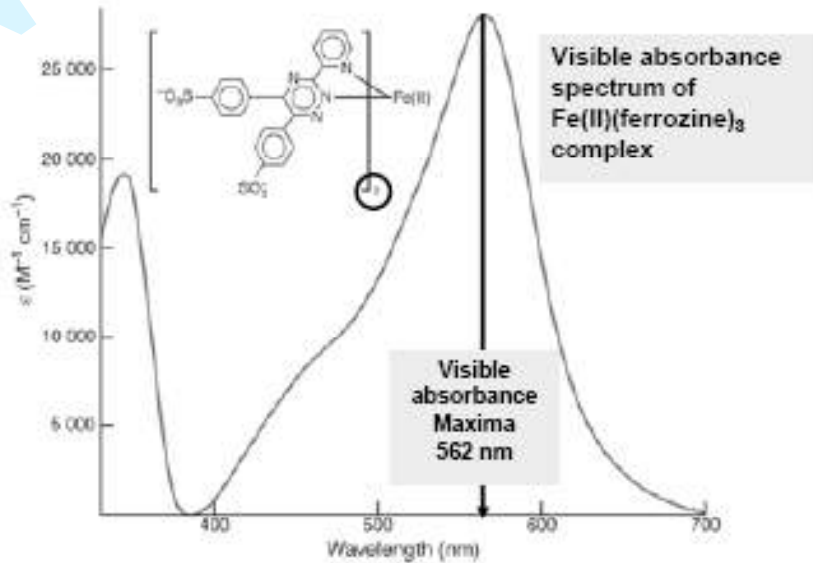
کاربرد روش‌های نور طیف سنجی



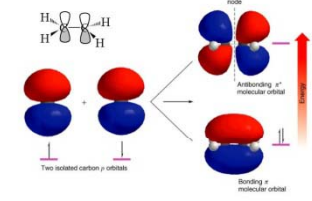
□ اندازه گیری کمی



اندازه گیری غلظت آهن (II)

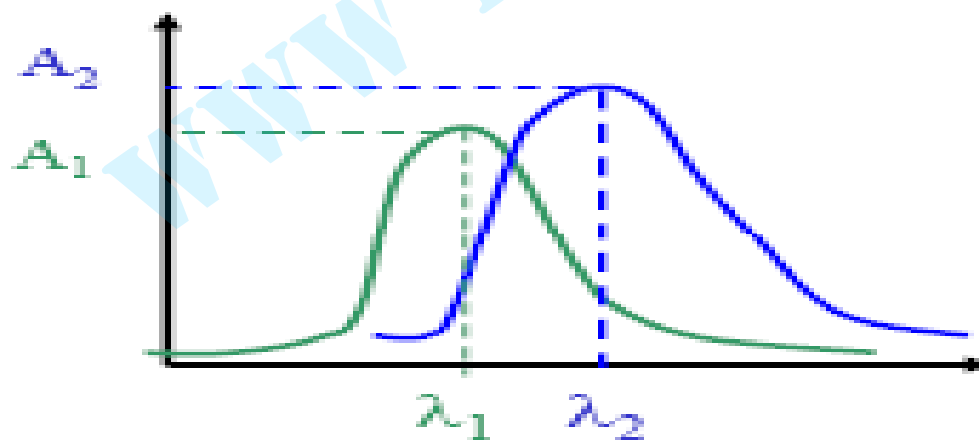


کاربرد روش‌های نور طیف سنجی

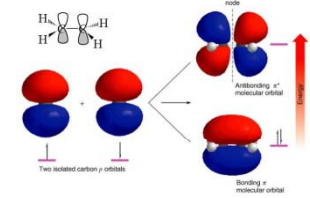


□ تجزیه مخلوط ها

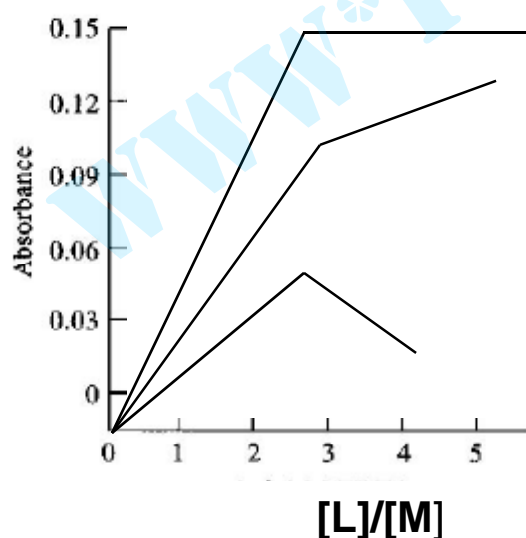
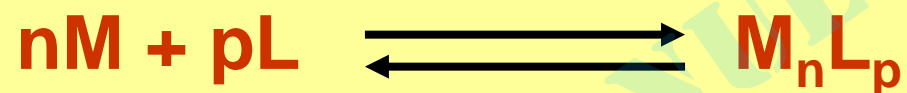
$$A = \varepsilon_1 c_1 b + \varepsilon_2 c_2 b$$



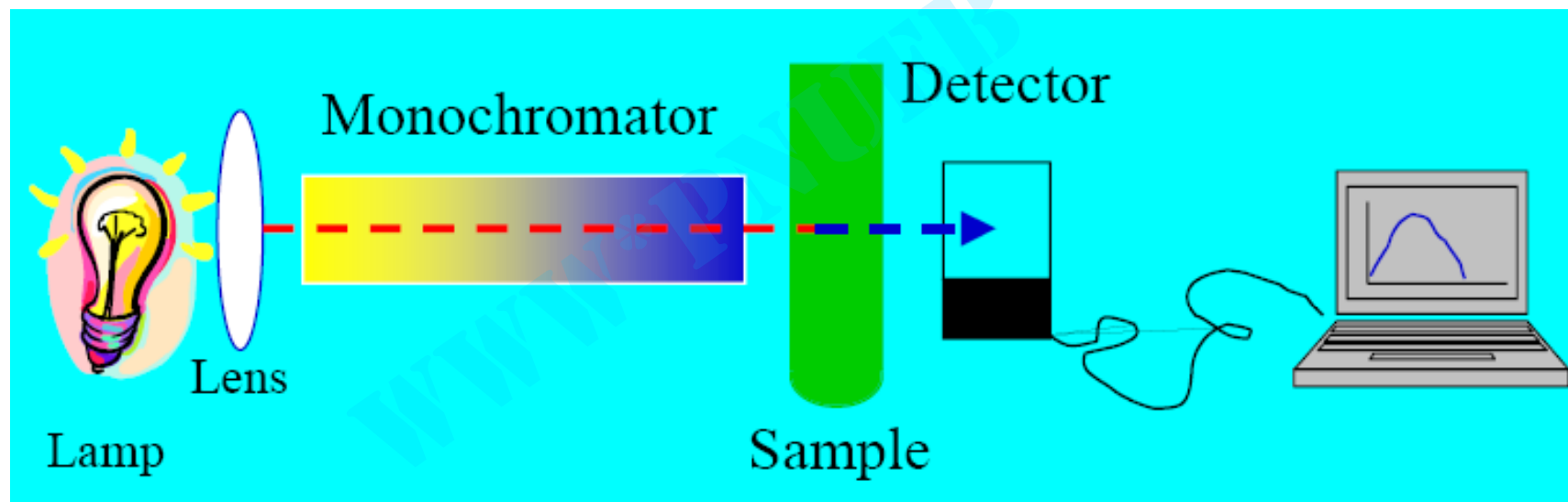
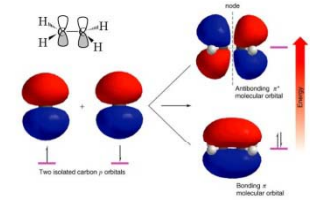
کاربرد روش‌های نور طیف سنجی



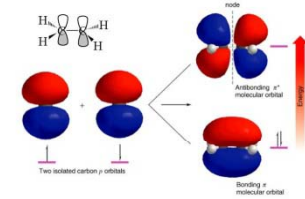
تعیین استوکیومتری واکنشها



دستگاه‌های در طیف بینی Uv-Vis



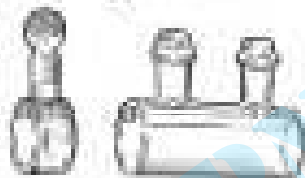
سلول ها



Standard
1-cm path



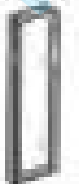
Cylindrical



5-mm
path



1-mm
path



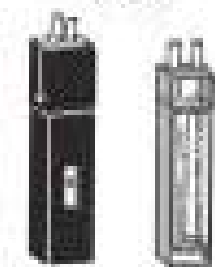
20-mm path



Micro cells



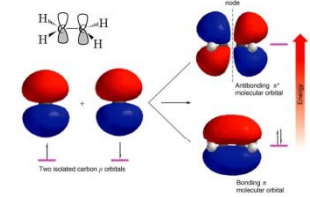
Flow



Thermal



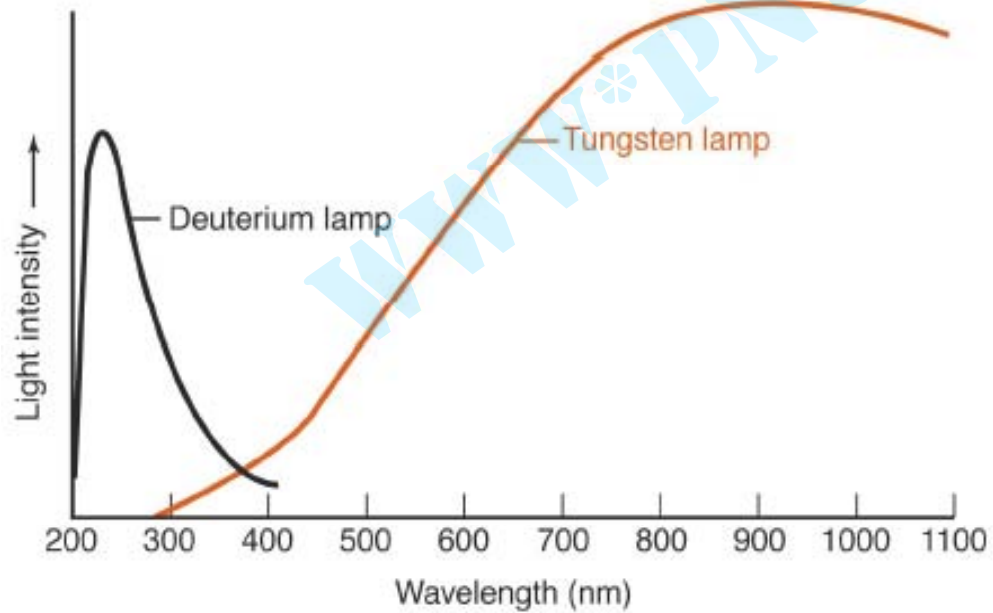
منابع تابش



لامپ بخار جیوه

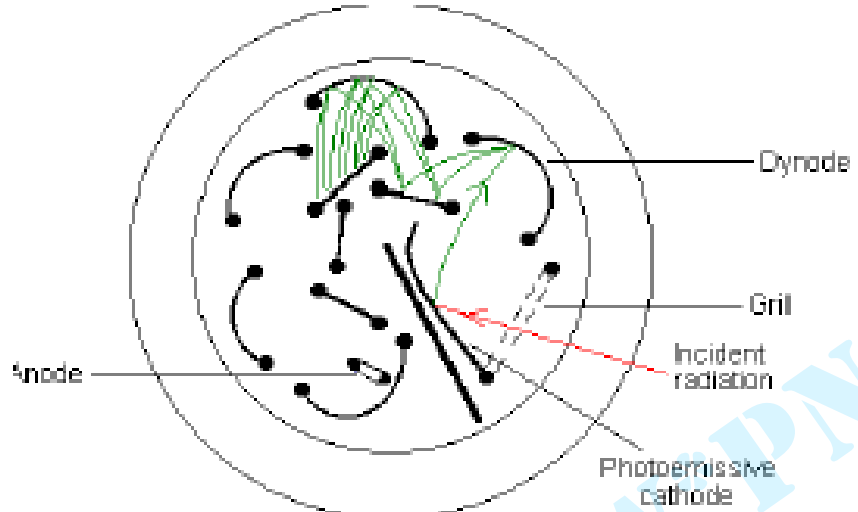
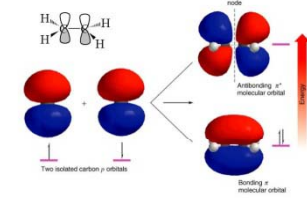
لامپ تنگستن

لامپهای تخلیه الکتریکی هیدروژن و دوتریم

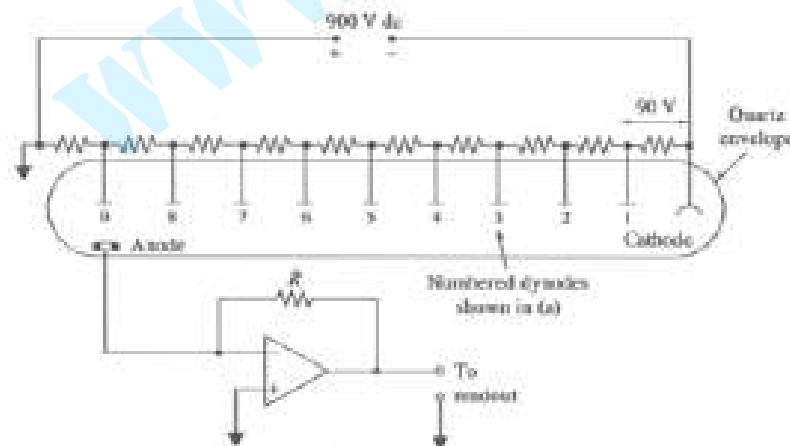


photomultiplier

فتو تکثیرکننده

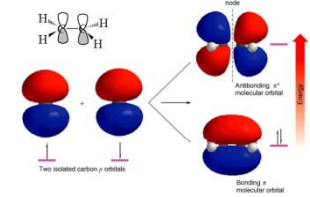


الكترونهاي خارج شده از فتو کاتد به وسیله یک میدان الکتریکی سرعت می گيرند و به داینود برخورد می کنند تا الكترونهاي بيشتری را خارج کنند. اين اثر آبشار مانند ممکن است ۹ تا ۱۶ مرحله داشته باشد.

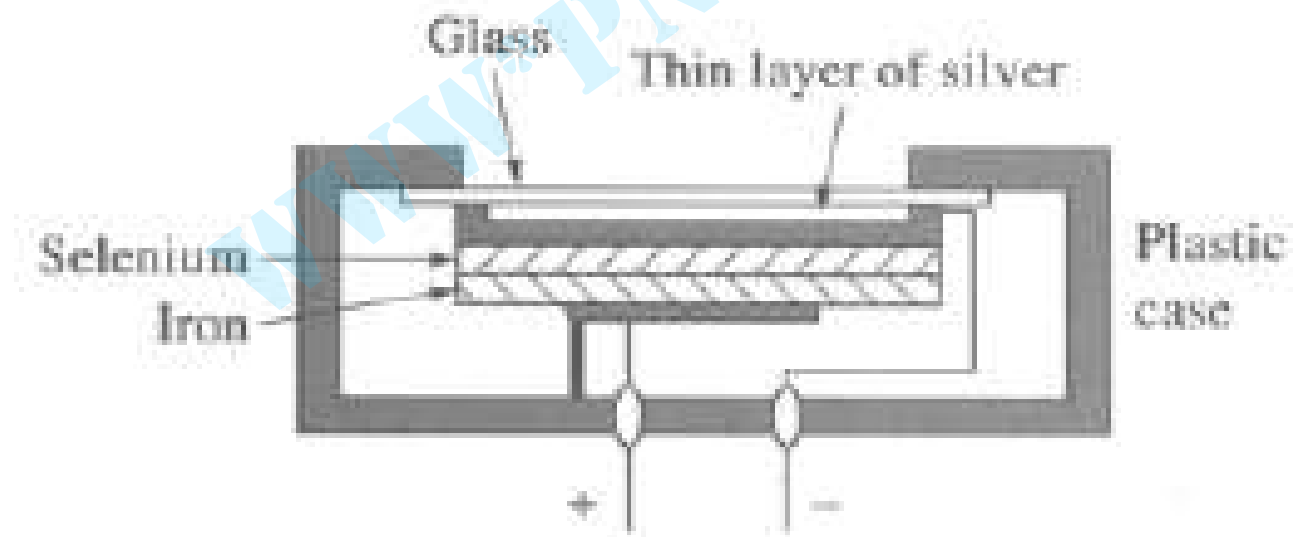


Photovoltaic cells

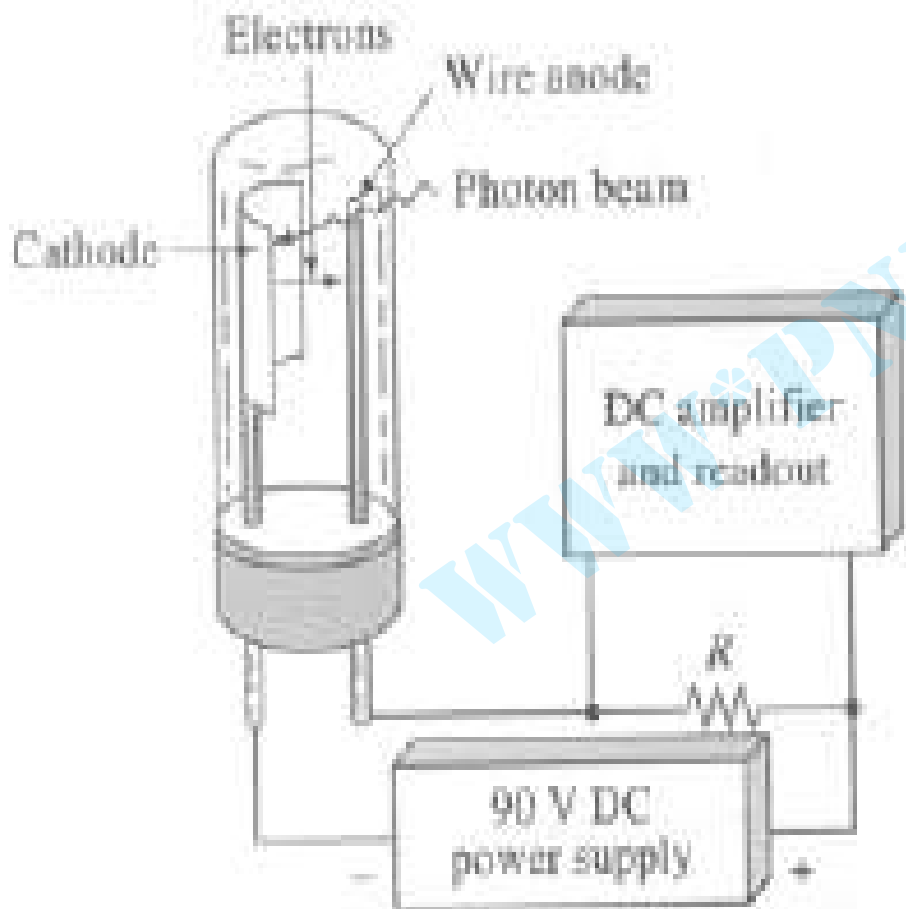
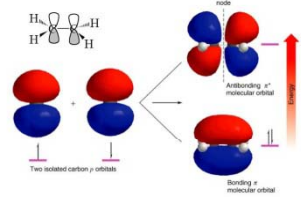
سلولهای فتوولتایی



این دستگاه شدت فوتونها را بوسیله ولتاژی که در لایه نیمه هادی ایجاد می شود اندازه گیری می کند.

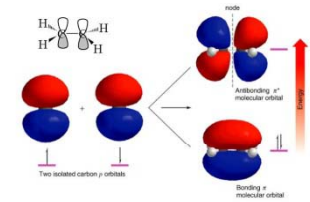


فتولوله

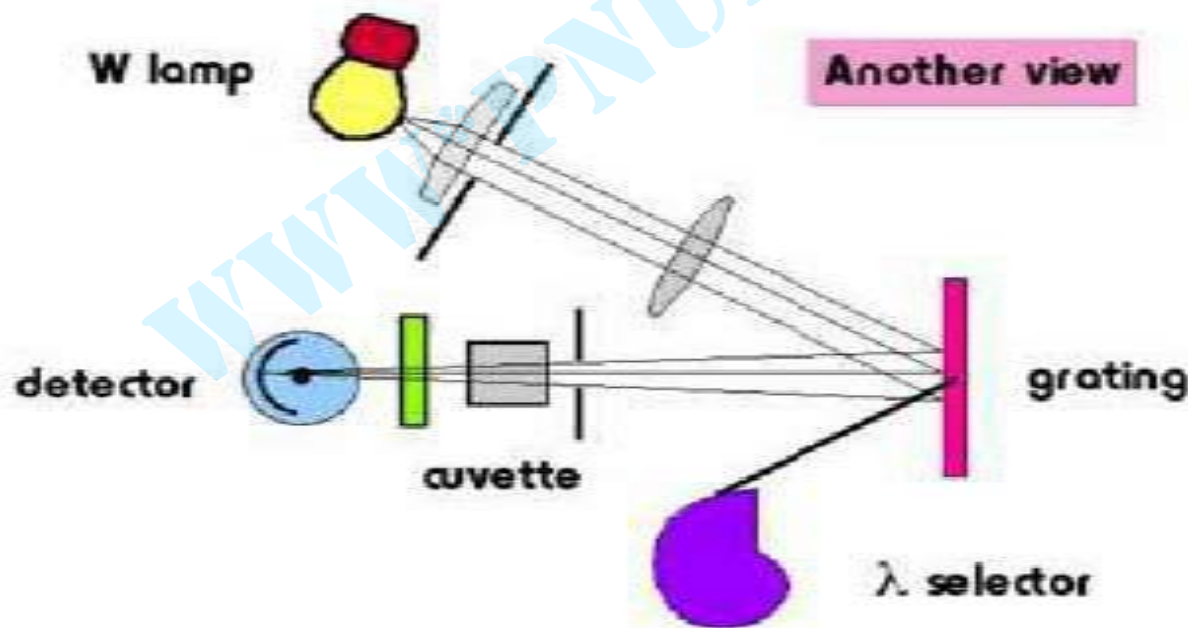


در این آشکارساز فوتونهای پر انرژی در برخورد با کاتد، الکترونها را جدا می کنند. جریان الکتریکی سیستم با شدت فوتونها نسبت مستقیم دارد.

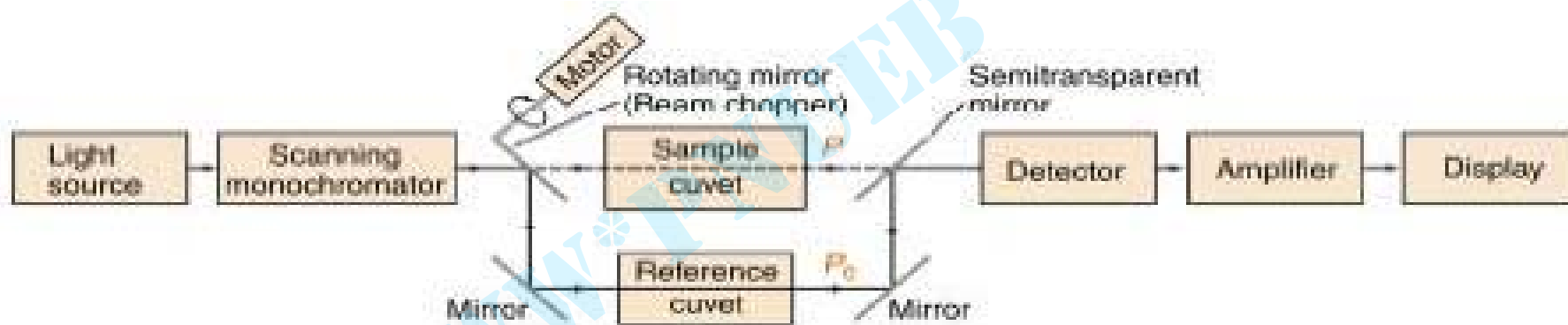
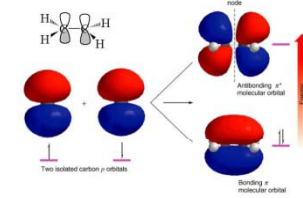
طیف نورسنجھای تک پرتوی



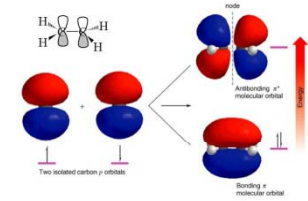
Single beam spectrophotometer



طیف نورسنجهای تک پرتوی



دستگاه فوتومتر

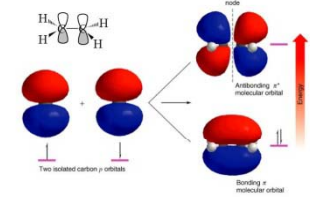




طیف بینی مادون قرمز و رامان

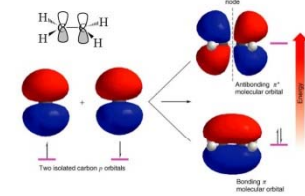


هدف از این فصل



- آشنایی کامل با روش‌های طیف بینی IR
- آشنایی با اصول طیف بینی رaman
- آشنایی با دستگاه‌های طیف سنج IR
- کاربرد طیف بینی IR و Raman در تجزیه‌های کیفی و کمی

مقدمه ای بر طیف بینی مادون قرمز



تابش الکترو مغناطیس

- ◆ درجه آزادی ارتعاشی
- ◆ نوسانگر هارمونیک
- ◆ تقسیم بندی ارتعاشها
- ◆ انواع ارتعاشهای خمشی
- ◆ قواعد گزینش
- ◆ طیف جذبی و عبوری
- ◆ ناحیه اثر انگشتی
- ◆ IR
- ◆ بیجدگیهای طیف

دستگاههایی در طیف بینی زیر قرمز

IR

- ◆ منابع تابش
- ◆ تکفام ساز
- ◆ آشکار سازها یا مبدلها مادون قرمز

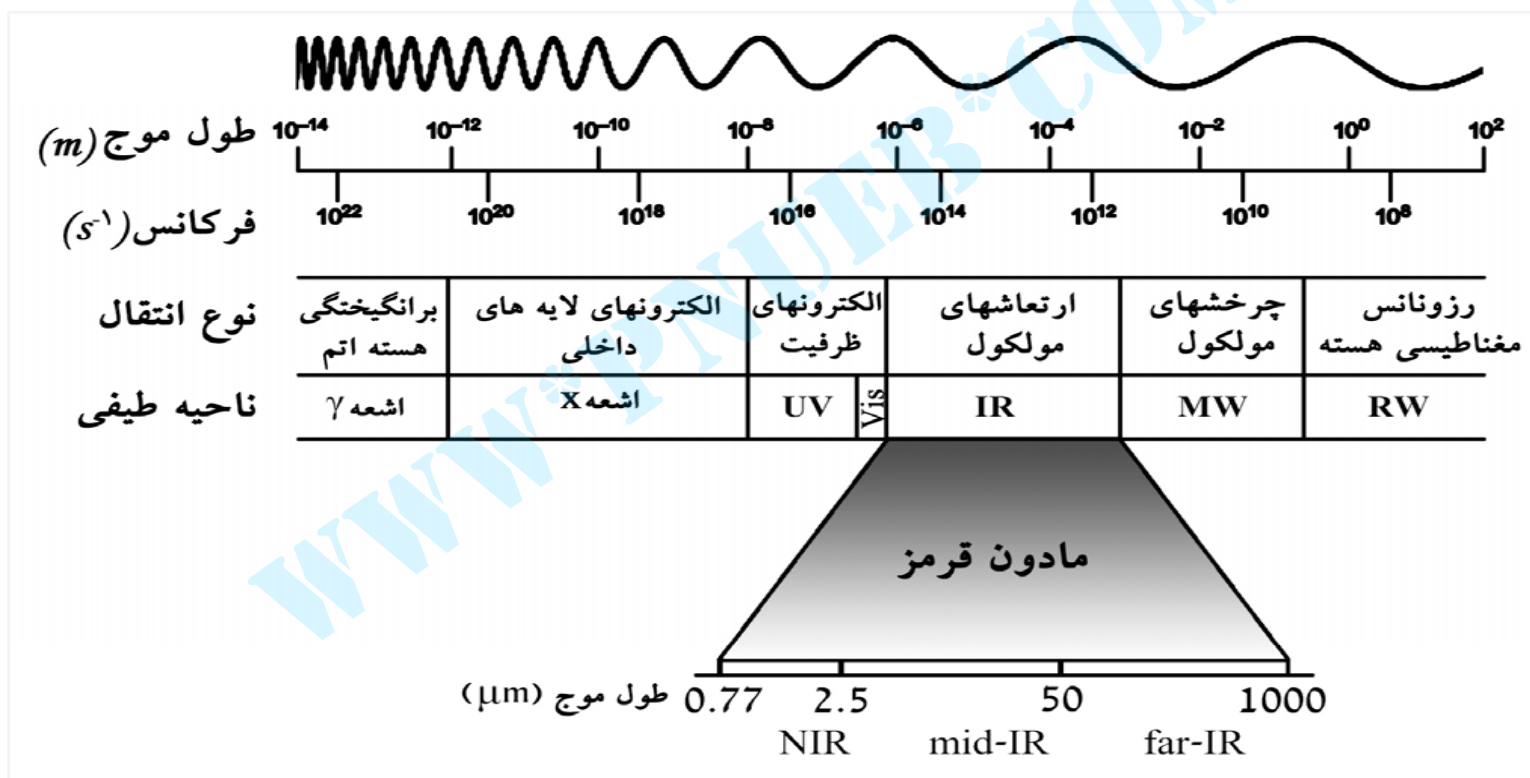
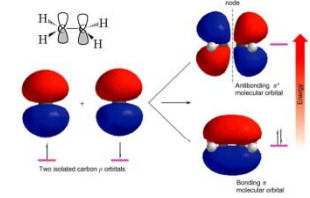
طیف سنجهای تبدیل فوریه مادون قرمز

- ◆ طیف حوزه زمانی
- ◆ تداخل سنج مایکلسون
- ◆ مزایای طیف تبدیل فوریه

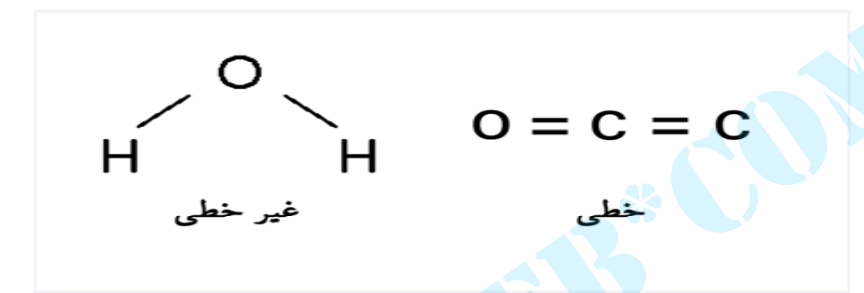
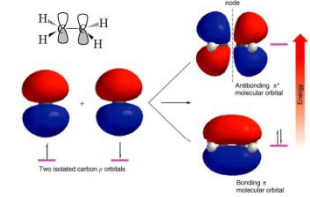
آماده سازی نمونه

طیف بینی رaman

تابش الکترومغناطیس

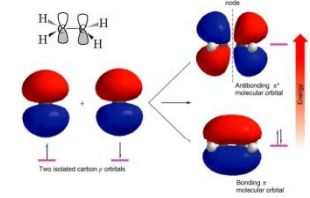


درجه آزادی ارتعاشی

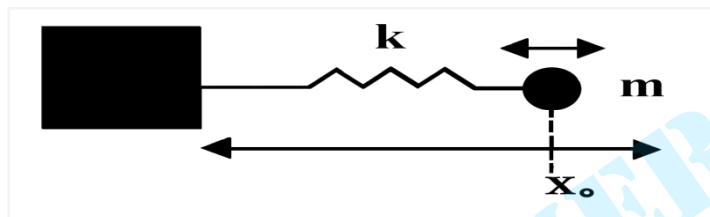


غير خطى	خطى	درجة آزادی
٣	٣	انتقالی
٣	٢	چرخشی
$3N-6$	$3N-5$	ارتعاشی
$3N$	$3N$	كل

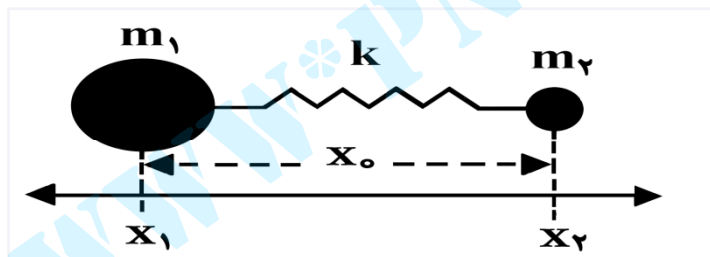
نوسانگر هارمونیک



فnerهارمونیک متصل به دیوار



نوسان کننده هارمونیک متصل به دو جرم



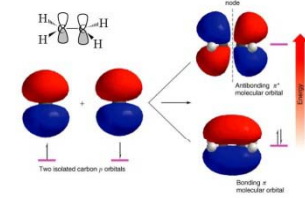
$$\nu = \frac{1}{2\pi} \sqrt{\frac{k}{\mu}}$$

$$\frac{1}{\mu} = \frac{1}{m_1} + \frac{1}{m_2}$$

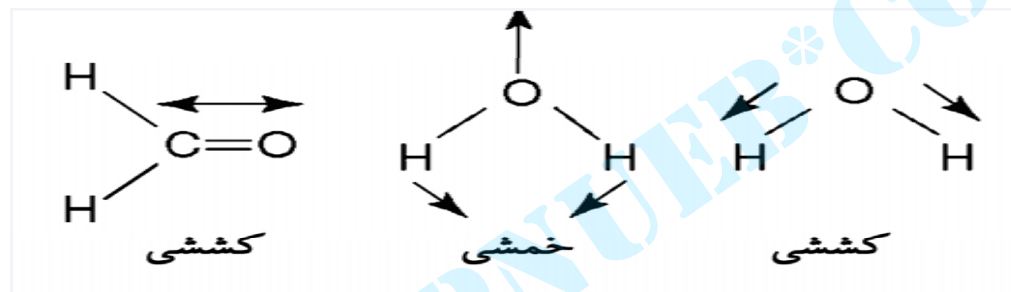
$$\bar{\nu} = \frac{1}{2\pi c} \sqrt{\frac{k}{\mu}}$$

$$\bar{\nu} = 1302 \left(\frac{k}{\mu} \right)^{\frac{1}{2}}$$

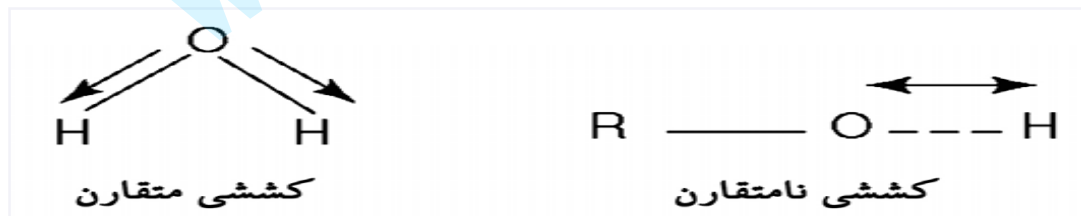
تقسیم بندی ارتعاشها



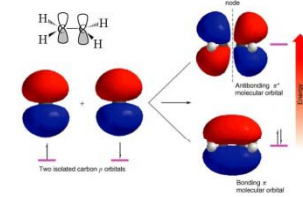
ارتعاشهای کششی و خمثی



ارتعاشهای کششی متقارن و نامتقارن

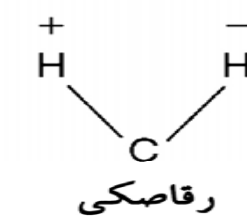
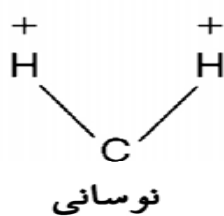
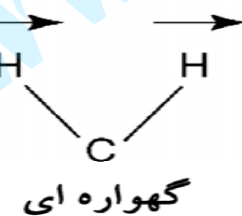
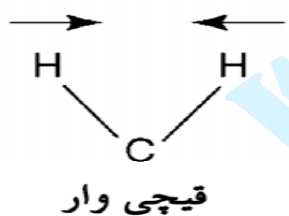


أنواع ارتعاشهای خمسي

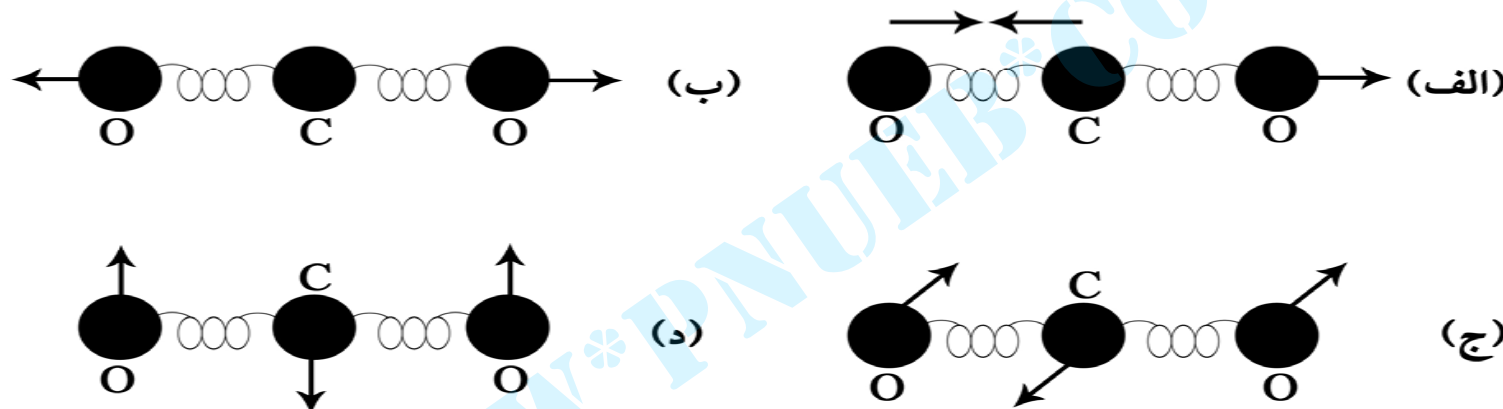
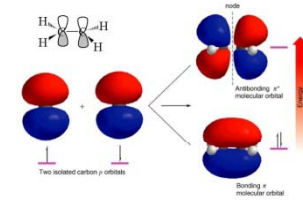


- ارتعاشهای قیچی وار
- ارتعاشهای گهواره ای
- ارتعاشات نوسانی
- ارتعاشهای رقصکی

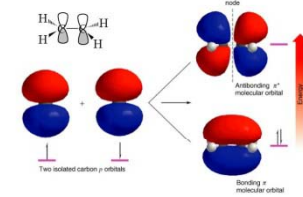
ارتعاشهای خمسي گروه CH_2



شیوه های ارتعاشی مولکول CO_2

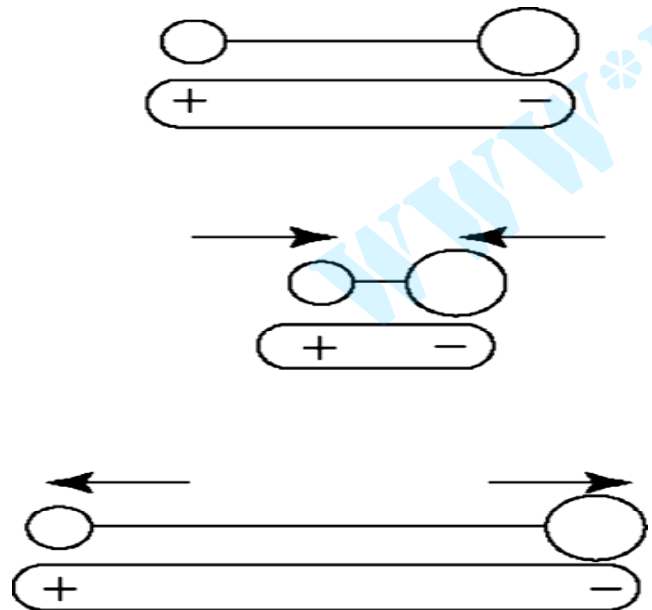


قواعد گزینش



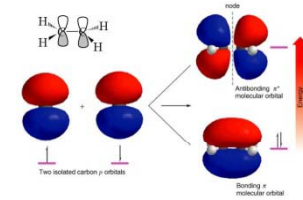
يك مولکول در صورتی تابش مادون قرمز را جذب می کند که تغییر شیوه ارتعاشی آن باعث تغییر در گشتاور دوقطبی مولکول شود.

$$\mu = qr$$

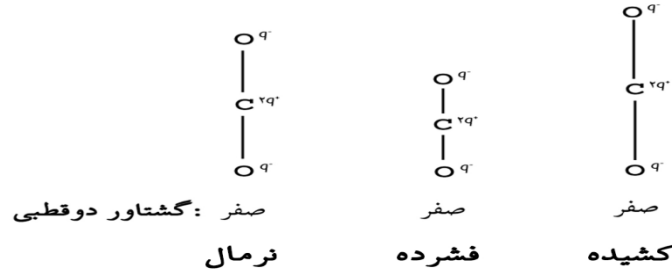


تغییر در گشتاور دوقطبی یک مولکول دواتمی ناجور هسته

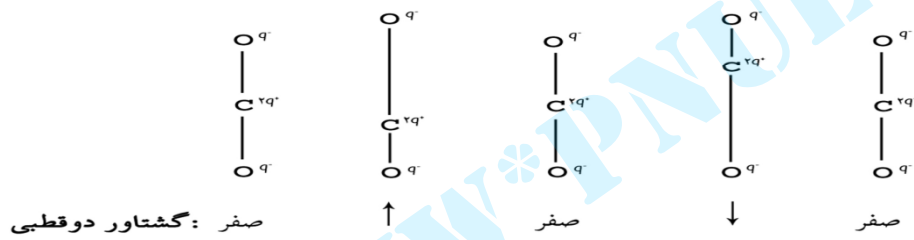
کدامیک از ارتعاشها در IR فعال می‌باشند؟



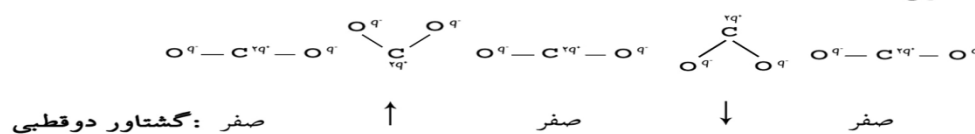
الف) ارتعاشهای کششی متقارن



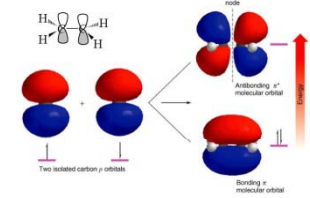
ب) ارتعاشهای کششی نامتقارن



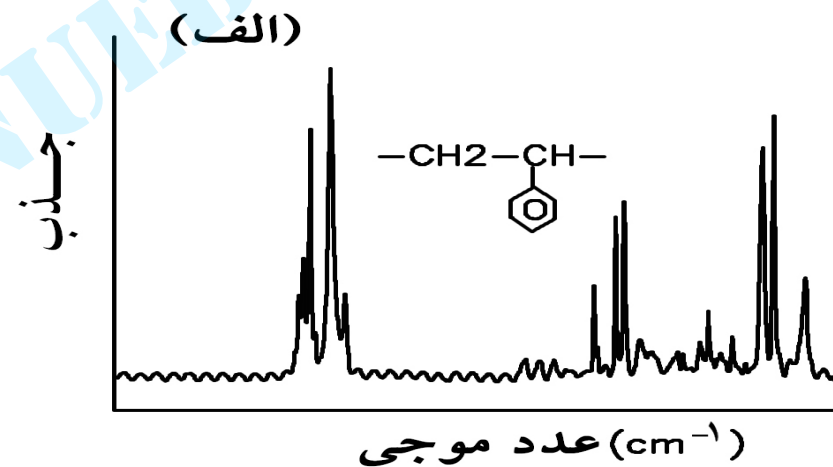
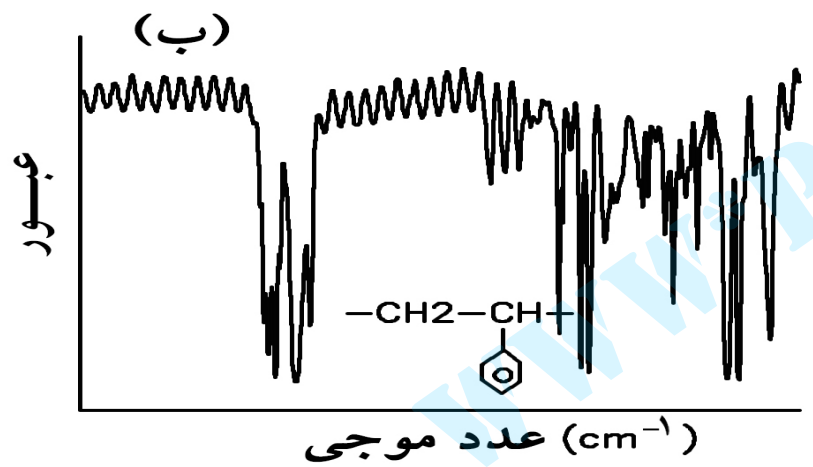
ج) ارتعاشهای خمی متقارن



طيف جذبي و عبوری IR

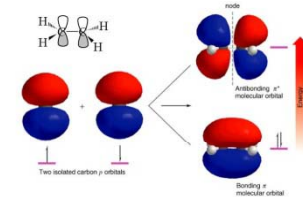


طيف جذبي(الف) و عبوری(ب)پلی استيرن



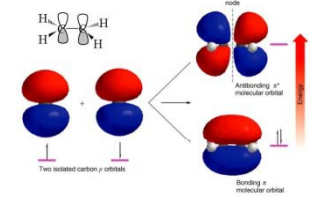
ناحیه اثر انگشتی

Fingerprint Region



در فرکانس‌های ناحیه $1300-600 \text{ cm}^{-1}$ ، اختلافهای ناچیز ساختاری یک مولکول باعث تغییر قابل ملاحظه‌ای در پیکهای جذبی می‌شود. به این ناحیه ویژه که هر مولکول مانند اثر انگشت، الگوی خاصی را در طیف ایجاد می‌نماید ناحیه "اثر انگشتی" می‌گویند

IR پیچیدگی طیفهای

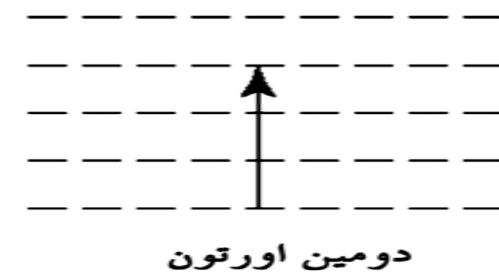
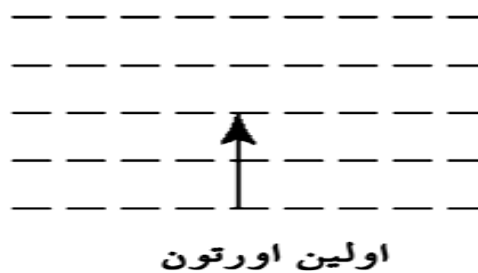
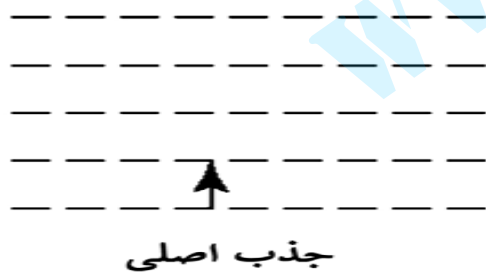


Overtone

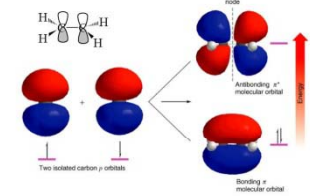
● اورتون

جذبهای اورتون براثر برانگیختگی از حالت پایه به ترازهای انرژی بالاتر صورت می‌گیرند، که تقریباً ضریبی از فرکانس جذب اصلی می‌باشند.

سطح انرژی برای پیکهای اصلی و اورتون



IR پیچیدگی طیفهای



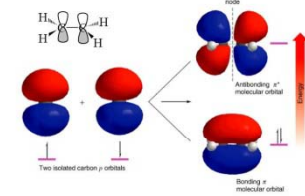
● فرکانس ترکیبی

وقتی دو فرکانس ارتعاشی در یک مولکول به طور همزمان انرژی جذب کنند، فرکانس جدیدی بوجود می آید که آن را فرکانس ترکیبی می گویند.

● فرکانس تفاضلی

در جذبهای تفاضلی، فرکانس مشاهده شده از اختلاف بین دو جذب ادغام شده ناشی می شود.

IR پیچیدگی طیفهای



Fermi Resonance

- رزونانس فرمی

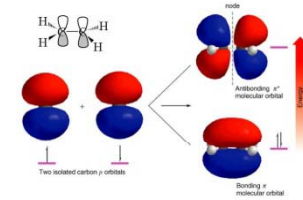
دو فرکانس ارتعاشی نزدیک به هم در یک مولکول می‌توانند در رزونانس باشند که این پدیده را رزونانس فرمی می‌گویند.

Coupling

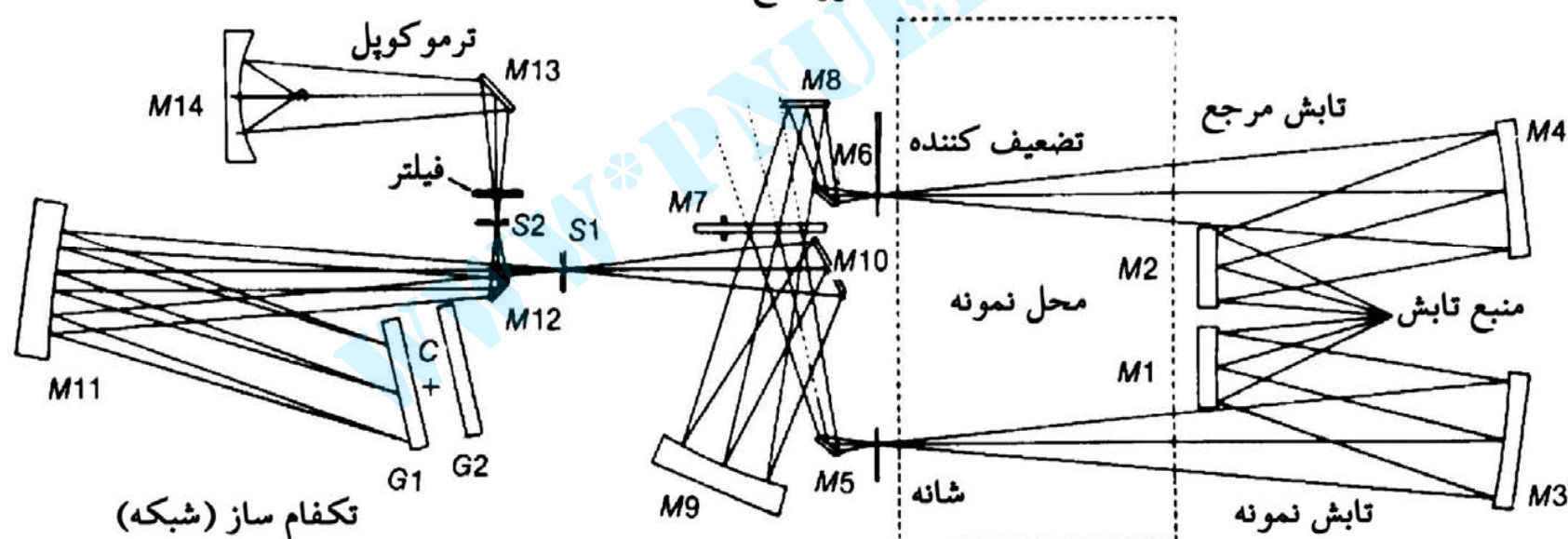
- جفت شدن

ارتعاشها در اسکلت مولکول می‌توانند جفت شوند؛ چنین ارتعاشهایی به یک یا دو پیوند محدود نمی‌شوند بلکه ممکن است قسمت بزرگی از اسکلت کربنی و اتمهای اکسیژن و نیتروژن (در صورت وجود) را شامل شوند

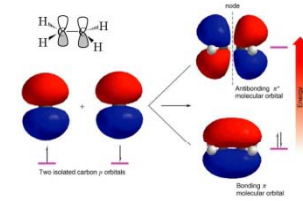
دستگاه‌های در طیف بینی زیر قرمز



IR مسیر نوری یک طیف‌سنج دو پرتوی



دستگاه‌های در طیف بینی زیر قرمز



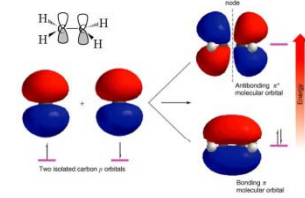
منبع تابش IR

تکفام ساز

آشکارساز یا مبدل‌های مادون قرمز

ثبات

IR منابع تابش



The Globar Source

+ منبع گلوبار:

این منبع تابش میله ای از جنس سیلیکون کاربید (SiC) با قطر ۵ mm و طول ۵۰ mm می باشد

The Nernst

+ تابشگر نرنست:

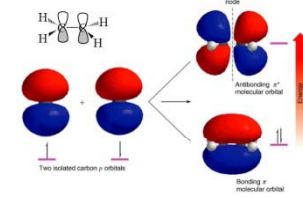
این وسیله شامل سیلندری متشكل از اکسید عناصر خاکهای نادر مانند Erbium، Yttrium، Zirconium می باشد.

Nichrome wire

+ پیچه نیکروم:

پیچه نیکروم که آلیاژی از نیکل و کروم می باشد، شدت پایین تری نسبت به تابشگر نرنست و گلوبار دارد ولی دوام آن بهتر می باشد. این منبع تا دمای حدود ۱۱۰۰ K حرارت داده می شود.

IR منابع تابش



قوس جیوه:

این منبع برای ناحیه مادون قرمز دور ($\lambda > 5. \mu\text{m}$) مناسب می باشد.

The Tungsten Filament

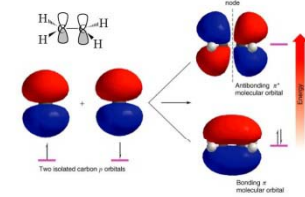
لامپ فیلمان تنگستن:

لامپ فیلمان تنگستن ، ساده ترین منبع تابش برای ناحیه IR نزدیک در ناحیه $12800 - 4000 \text{ cm}^{-1}$ می باشد.

The Carbon Dioxide Laser

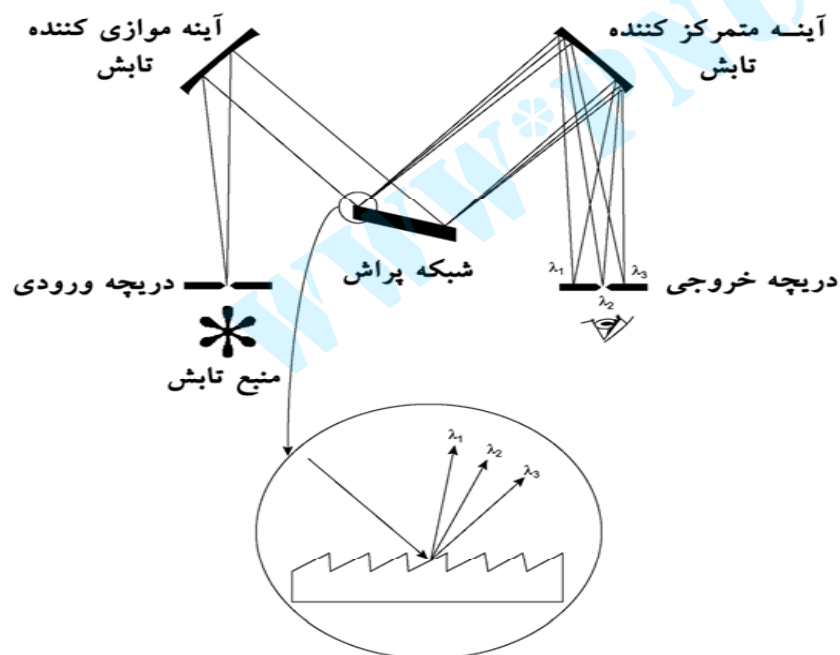
:CO₂ منبع لیزر

تکفام ساز

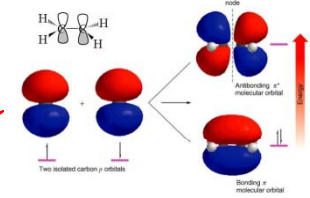


+ در دستگاه های مادون قرمز نمونه قبل از مونوکروماتور قرار دارد تا مقدار تابشهاي سرگردان به حداقل برسد.

+ مشکل نورهای سرگردان در ناحیه مادون قرمز جدی تر از ناحیه UV-VIS می باشد.



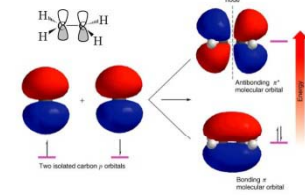
آشکار سازها یا مبدل های مادون قرمز



مراحل تبدیل دستگاهی یک سیستم جذبی



آشکار سازها یا مبدل های مادون قرمز



Thermal Detectors

آشکارسازهای گرمایی:

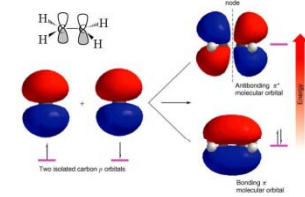
در آشکارساز گرمایی پاسخ به اثر گرمایی تابش مربوط می شود و بیشتر برای نواحی IR با طول موج کوتاه (IR نزدیک) مفید می باشد.

Thermocouple

ترموکوپل:

یک ترموکوپل از دو سیم فلزی ناهمسان مانند بیسموت و آنتی موان که از یک سو به همدیگر متصلند تشکیل شده است. سطح اتصال سیمهای توسط یک اکسید فلزی سیاه رنگ پوشیده می شود. تغییر دمای اتصال بین دو سیم باعث ایجاد یک اختلاف پتانسیل الکتریکی بین دو سیم می شود. این اختلاف پتانسیل تقویت و اندازه گیری می شود.

آشکار سازها یا مبدل های مادون قرمز



Thermistor

+ ترمیستور یا بولومیتر

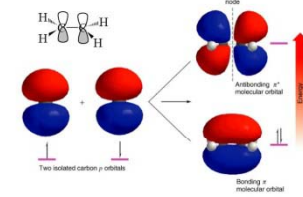
بولومیتر یک نوع ترمومتر مقاومتی می باشد که از اکسید متخلخل فلزاتی مانند پلاتین، نیکل و یا از یک نیمه هادی ساخته شده است. چنانچه از نیمه هادی استفاده شود، بولومیتر را ترمیستور می گویند.

Pneumatic

+ آشکارساز پنوماتیکی

اساس این مبدل ها، تغییرات حجم یک گاز یا مایع نسبت به تغییرات دما می باشد.

آشکار سازها یا مبدل‌های مادون قرمز

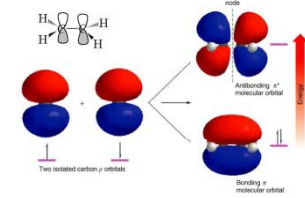


Pyroelectric

آشکارسازهای پیروالکتریک

آشکارساز از یک ماده پیروالکتریک مانند تری گلیسین سولفات ، لیتیم نیوبات (**LiNbO₃**) یا لیتیم تانتلات (**LiTaO₃**) ساخته شده‌اند. در این وسایل ماده پیروالکتریک در بین دو صفحه خازن قرار می‌گیرد. وقتی ماده پیروالکتریک در معرض تابش IR قرار گیرد ، تغییری در ساختار بلوری آن به وجود می‌آید و در نتیجه توزیع بار در سطح بلور به هم می‌خورد و باعث تغییر در ظرفیت خازن می‌شود. با اندازه‌گیری و تقویت پتانسیل یا جریان خازنی ، توان تابش IR تاییده شده را می‌توان بدست آورد.

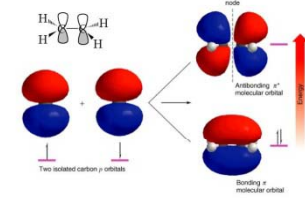
آشکار سازها یا مبدل های مادون قرمز



مشخصات آشکارسازهای گرمایی

آشکارساز	حساسیت	گستردگی طیفی (μm)	زمان پاسخ دهنده (ms)	خروجی
پنوماتیکی	2×10^{-9}	۸/۰-۱۰۰	۲-۳۰	جابجایی یا ظرفیت خازن
ترموکوپل	10^{-9}	۸/۰-۴۰	۱۰-۲۰	ولتاژ
ترمیستور	$1/1 \times 10^{-9}$	۸/۰-۴۰	۱-۲۰	تغییر مقاومت
بیروالکتریک	3×10^{-8}	۳/۰-۱۰۰	$1 >$	جریان

آشکارسازها یا مبدل‌های مادون قرمز

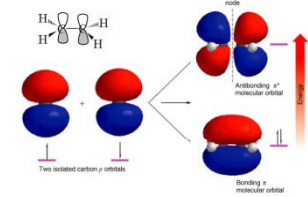


Photon

آشکارسازهای فوتونی Detectors

- + وسیله‌های نشرفوتون مانند فوتومولتی پلایرها و فوتوتیوپ‌ها
- + وسیله‌های اتصال - **p**n مانند فوتودیودها و فوتوترانزیستورها
- + سلولهای فوتورسانا
- + سلولهای فتوولتائیک

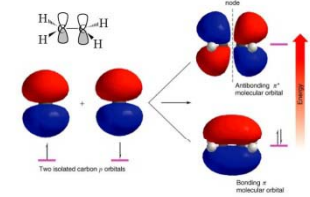
ثبات



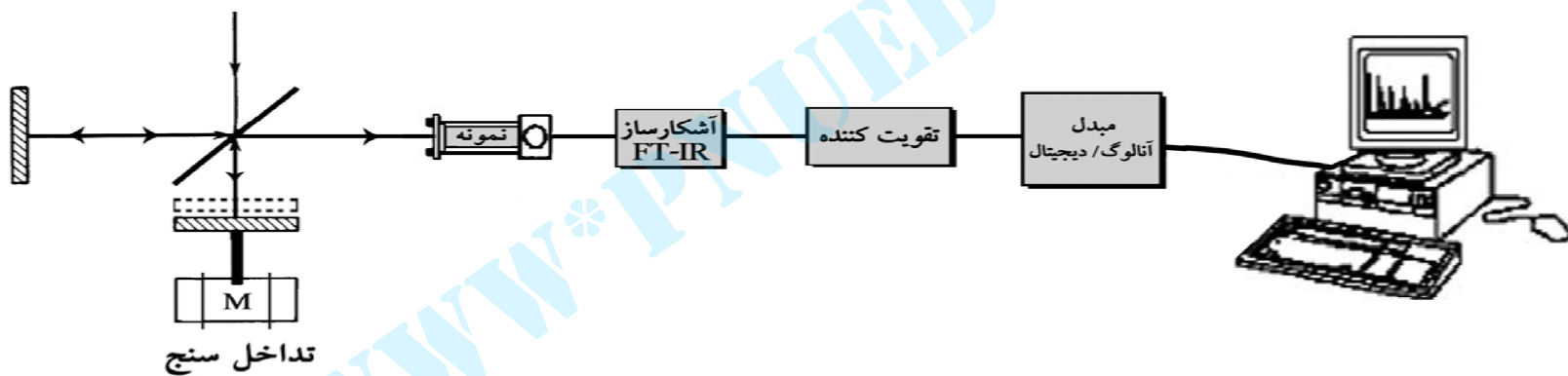
در طیف سنج IR قلم ثبات به تضعیف کننده (attenuator) متصل است در نتیجه آنچه که دستگاه

ثبت می کند موقعیت تضعیف کننده است که همان طیف ترکیب است.

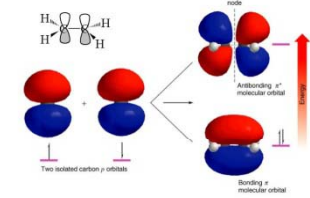
طیف سنجهای تبدیل فوریه مادون قرمز



* منبع تابش



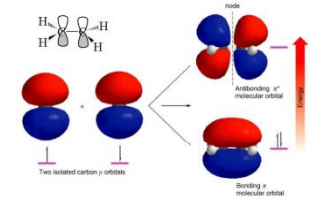
طیف حوزه زمانی و حوزه فرکانس



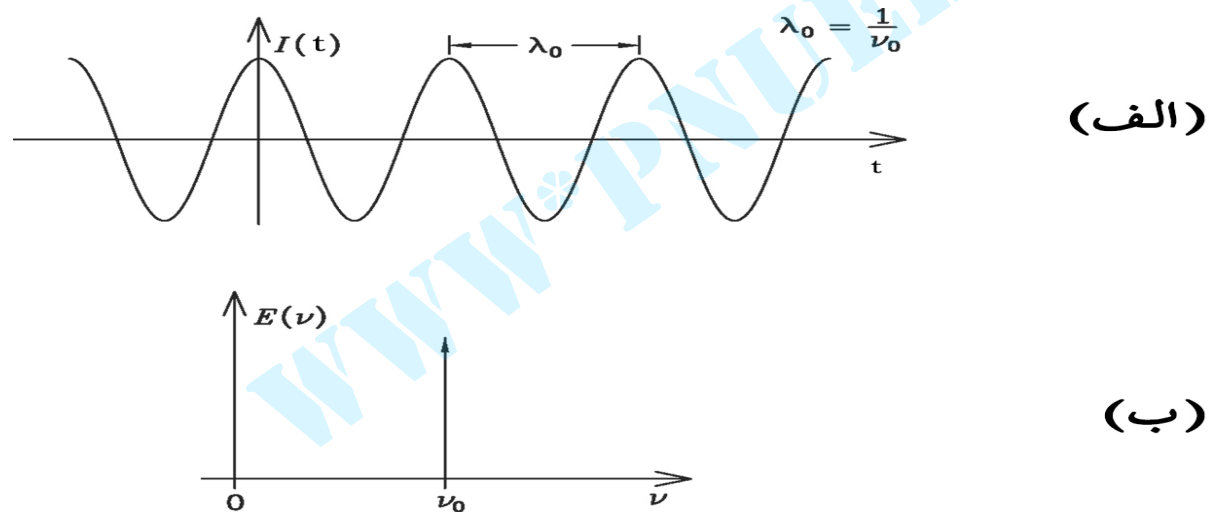
اطلاعات موجود در طیف به اشکال مختلف قابل ارائه است:

- یکی طیف حوزه زمانی یا **TDS**
- دیگری طیف حوزه فرکانس یا **FDS**

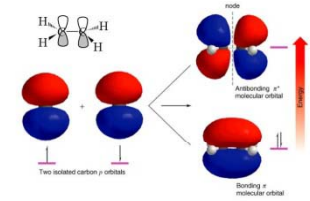
طیف حوزه زمانی و حوزه فرکانس



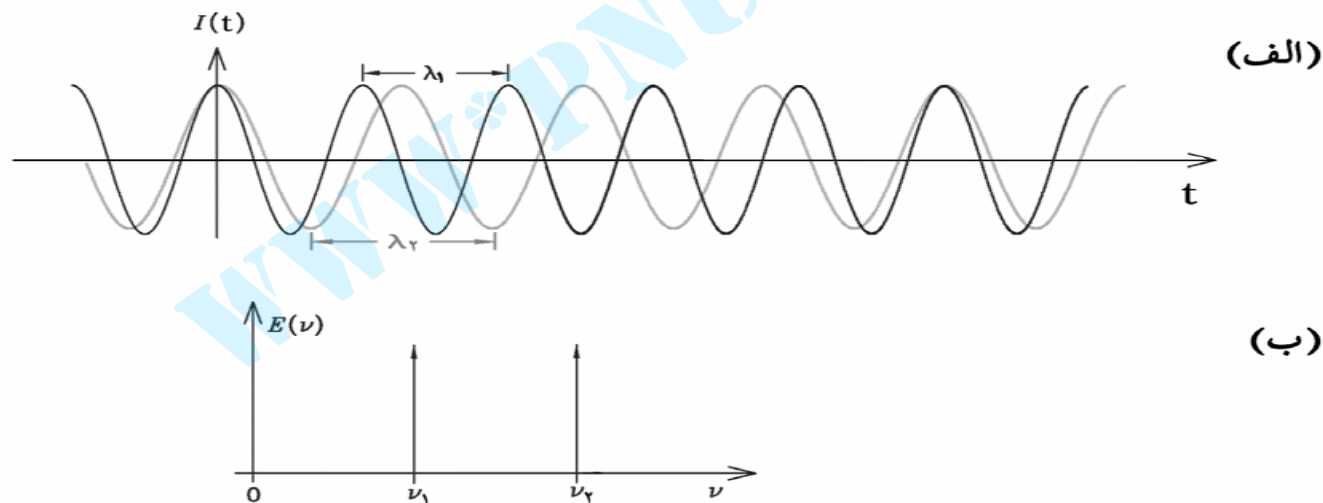
طیف حوزه زمانی یک منبع تکفام (الف) طیف حوزه زمان (ب) طیف حوزه فرکانس



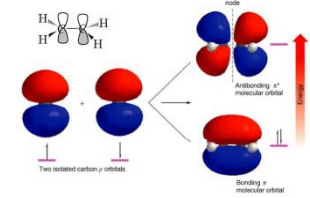
طیف حوزه زمانی و حوزه فرکانس



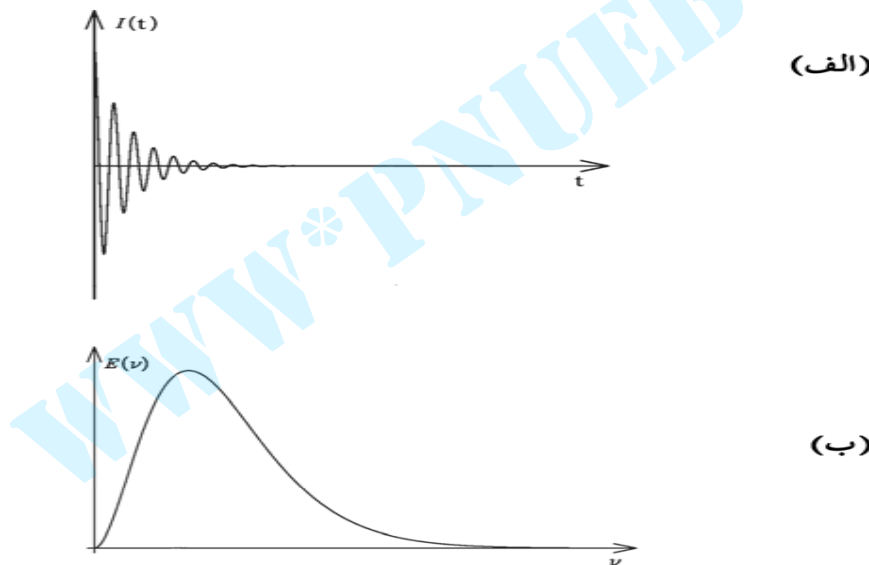
طیف حوزه زمانی (الف) و حوزه فرکانسی (ب) برای یک شعاع تابش شامل دو طول موج λ_1 و λ_2 .



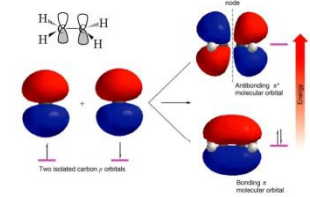
طیف حوزه زمانی و حوزه فرکانس



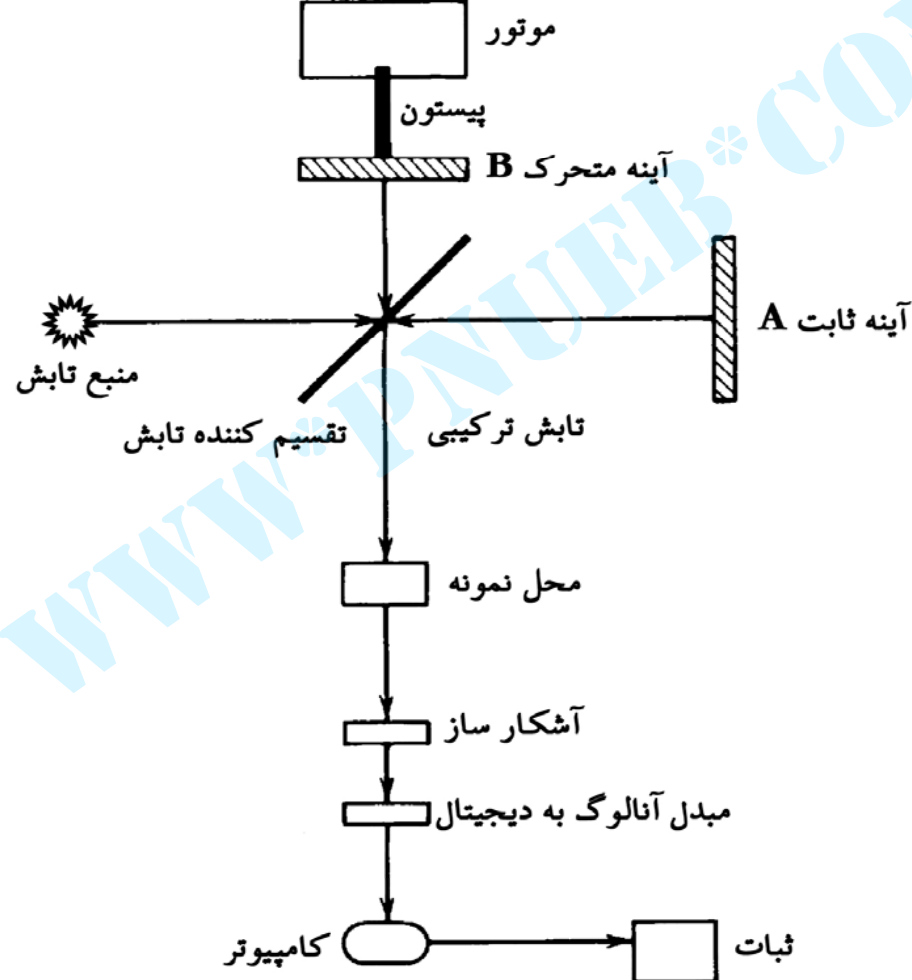
تداخل نما(الف) و طیف معمولی(ب) برای یک منبع چند فام



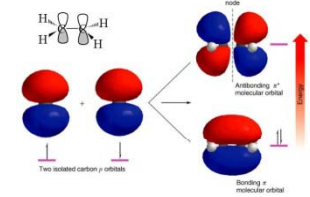
تداخل سنج مایکلسون



Michelson Interferometer



تداخل سنج مایکلsson

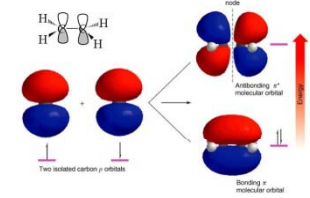


مثال

طیف سنجی با 1.0 cm^{-1} حرکت قدرت تقییک $1/0.6 \times 10^0$ دارد. بنابراین فرکانس سیگنال حاصل از تداخل سنج مایکلsson برای تابش با طول موج $5.0 \mu\text{m}$ ($5.0 \times 10^{-6} \text{ m}$) که سرعت حرکت آینه آن میباشد به شکل زیر محاسبه میشود.

$$f_m = \frac{V}{1/5 \times 10^0} f_{ir} \quad f_m = \frac{0.5 \text{ cm/s}}{1/5 \times 10^0 \text{ cm/s}} \times 6.0 \times 10^2 \text{ Hz} = 200 \text{ Hz}$$

مزایای طیف تبدیل فوریه



 بهبود نسبت سیگنال به نویز (**S/N**)

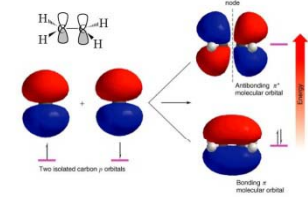
این مزیت که به بهبود نسبت سیگنال به نویز (**S/N**) در واحد زمان مربوط می‌شود و با ریشه دوم تعداد معدل گیریهای انجام شده متناسب است.

$$\left(\frac{S}{N} \right)_{FT} = \frac{n S}{\sqrt{n} N} = \sqrt{n} \left(\frac{S}{N} \right)_{پاسنده}$$

 افزایش سرعت، دقت و قدرت تفکیک

از آنجایی که در دستگاههای تبدیل فوریه (**FT**) نیازی به دریچه‌های ورودی و خروجی و شبکه پراش نیست، تمام توان منع می‌تواند به طور پیوسته به نمونه تابانده شود، بنابراین سرعت، دقت و قدرت تفکیک افزایش می‌یابد.

آماده سازی نمونه



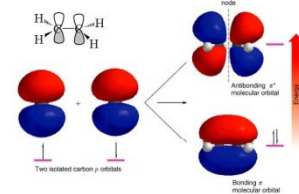
نمونه های مایع

آماده سازی نمونه های مایع به طور گسترده ای در طیف بینی IR استفاده می شود. بیشتر نمونه های مورد استفاده به صورت محلول می باشند ولی از مایع های خالص یا گازهای حل شده در یک حلال نیز استفاده می شود.

نمونه های محلول

باید حلالی انتخاب شود که تداخل طیفی با نمونه نداشته باشد.

آماده سازی نمونه



برای انتخاب یک حلال مناسب باید به موارد

زیر دقت کرد:

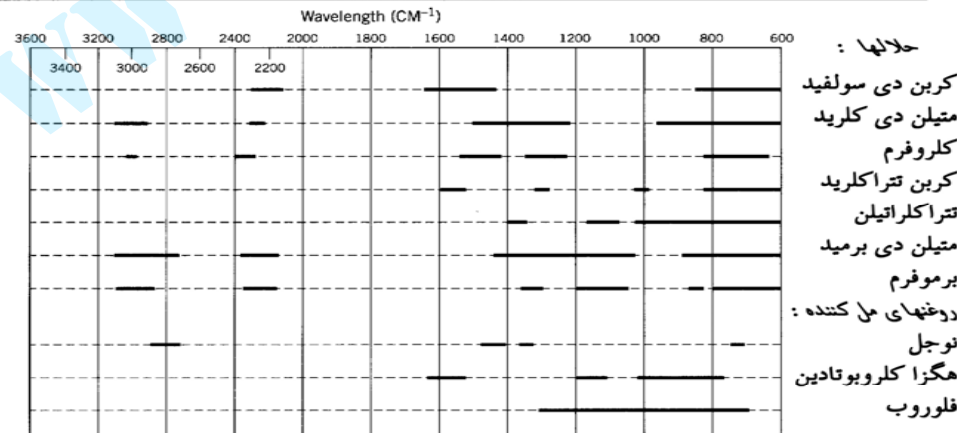
- حلال باید به طور قابل ملاحظه ای نمونه را حل نماید.

+ ترجیحاً حلال باید غیر قطبی باشد تا در حد ممکن برهمکنشهای

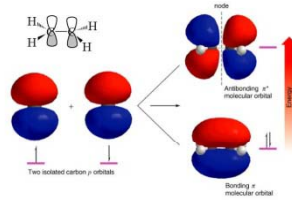
حلال - حل شونده کاهش یابند.

حلال نباید جذیهای قوی در ناحیه IR داشته باشد.

نواحی شفاف حلالها و روغن های مل کننده



آماده سازی نمونه



انواع مختلف سلولهای عبوری برای محلولها

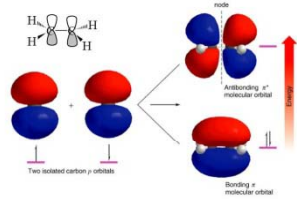
سلولهای بدون منفذ و ضخامت ثابت

این سلولها ، برای مایع های فرار مناسب می باشند؛ قطعات این سلولها ثابت بوده و نمی توان آنها را برای تمیز نمودن جدا کرد.

سلولهای جدا شونده

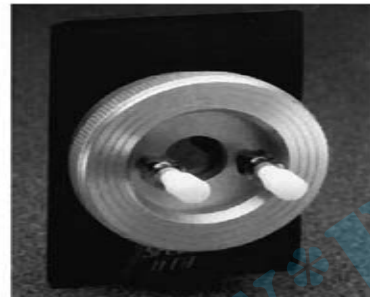
این سلولها ، قابلیت باز و بسته شدن دارند و پنجره های آنها را می توان تمیز نمود.

آماده سازی نمونه

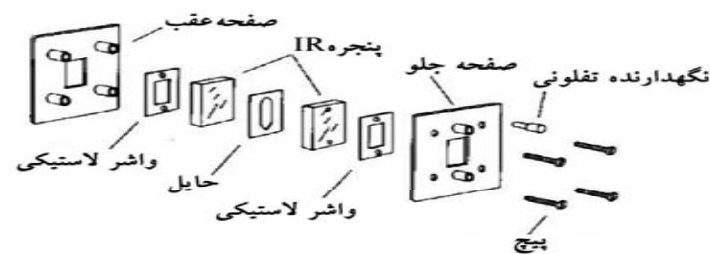
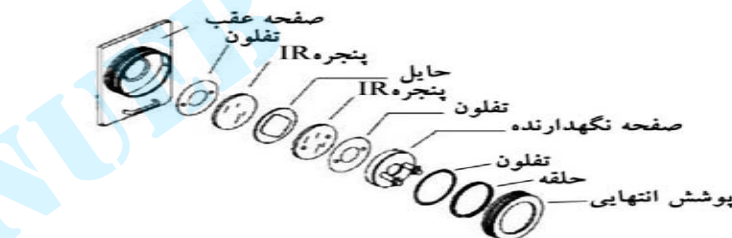
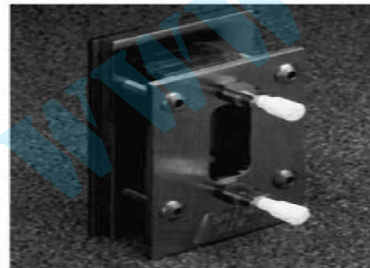


یک نوع سلول جدا شونده

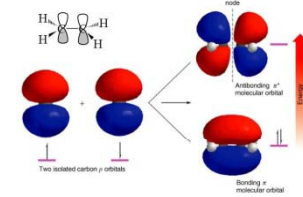
(الف)



(ب)



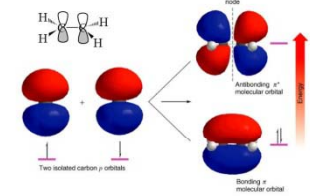
ضریب شکست



خلاصه خواص بعضی از مواد اپتیکی مورد استفاده در طیف بینی عبوری مادون قرمز

جنس پنجره	استفاده	گستره مورد	ضریب شکست	خواص
	(cm ⁻¹)			
NaCl	۴۰۰۰-۶۰۰	۵/۱	محلول در آب، بیرون جزوی در الکترول، ارزان قیمت، به راحتی پولیش می شود، مقاومت پایین در مقابل شوکهای مکانیکی و گرمایی	
KBr	۴۳۵۰-۴۰۰	۵/۱	محلول در آب و الکترول، بیرون جزوی در اتیر حل می شود، مقاومت خوب در مقابل شوکهای مکانیکی و گرمایی، نمکیز	
CaF ₂	۷۷۰۰-۹۰۰	۴/۱	نامحلول در آب، مقاوم در مقابل بیشتر اسیدها و قلیاها، مات نمی شود، مفید برای فشارهای بالا	
BaF _۲	۵۰۰۰-۸۰۰	۵/۱	نامحلول در آب، محلول در اسیدها و حساس نسبت به شوکهای مکانیکی و گرمایی	NH ₄ Cl
KCl	۳۳۰۰-۴۰۰	۵/۱	خواص شبیه NaCl، حل ۳ الیت پایینتری در آب دارد، نمکیز	
CsBr	۴۲۰۰-۴۵۰	۷/۱	محلول در اسیدها و قلیاها، نمکیز	
CsI	۴۲۰۰-۴۰۰	۷/۱	محلول در آب و الکل، نمکیز	

آماده سازی نمونه



Solid Samples

نمونه های جامد

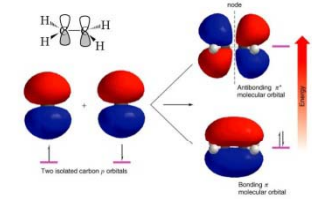
Salt Pellets

قرص های فشرده نمک

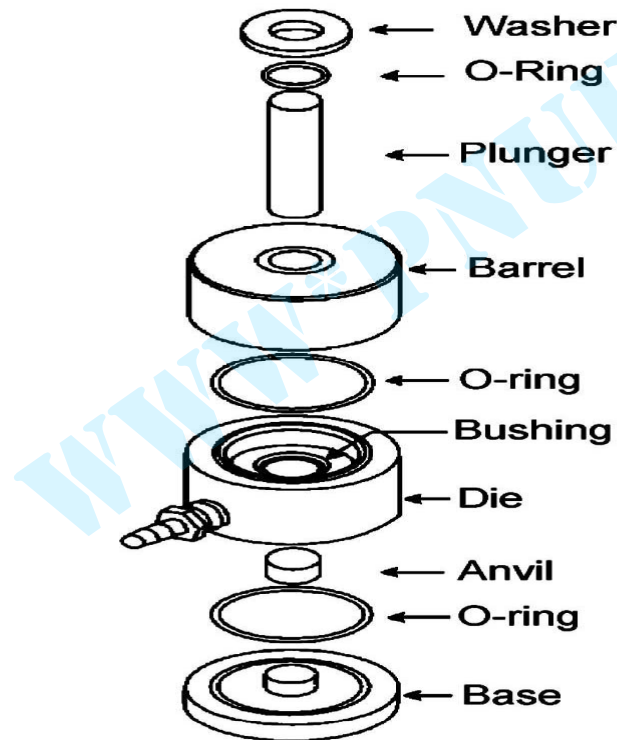
روش تهیه قرص KBr

- ~ نمونه جامد را با **2mg** KBr مخلوط کنید و به خوبی بسایید تا یک مخلوط نرم همگن به دست آید.
- سیلندر قالبگیر را مخلوط پر کنید و وسیله قالبگیری را در سیستم تحت فشار هیدرولیک قرار دهید.
- سیستم را به مدت دو دقیقه تحت خلا قرار دهید تا هوای دیسک خارج شود.
- فشار سیستم را افزایش دهید (**8000-20000 psi**). بعد از تقریباً یک دقیقه فشار را به آهستگی کاهش دهید.
- به آرامی خلا را بشکنید و وسیله قالبگیر را خارج کنید.
- قطعات وسیله قالبگیر را از هم جدا کنید و قرص **KBr** را از آن خارج کنید.

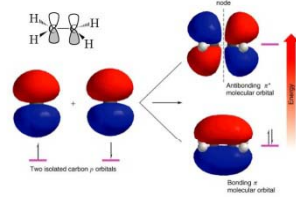
آماده سازی نمونه



KBr وسیله قالبگیری قرص



آماده سازی نمونه

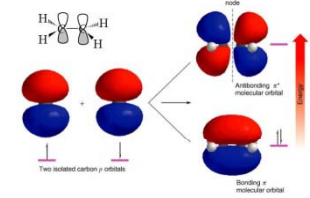


Mull

روش آمیختن با مول

روش آمیختن ، عموما شامل ساییدن چند میلی گرم (**mg**) نمونه و سپس اضافه نمودن ۱ یا ۲ قطره روغن معدنی به آن میباشد. ساییدن در حضور روغن تکرار میشود تا یک خمیر بسیار نرم بدست آید. مقدار کمی از خمیر بدست آمده بین دو صفحه **NaCl** اسپری میشود و طیف آن گرفته میشود.

آماده سازی نمونه

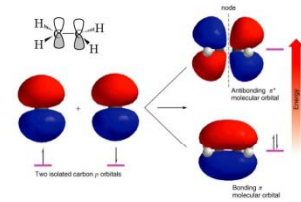


Film

فیلمها 

فیلمها را میتوان با استفاده ازیک حلال مناسب یا روش ذوب نمودن تهیه نمود. این روشها خصوصا در مورد پلیمرها بسیار مناسب میباشند.

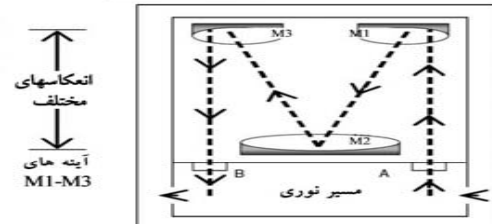
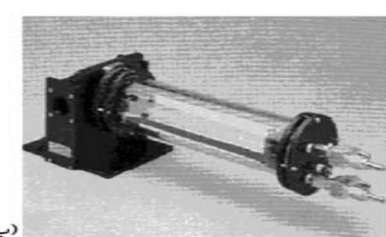
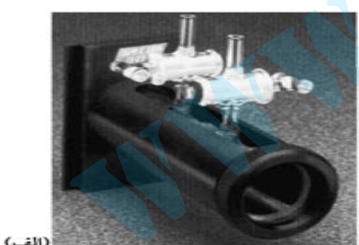
آماده سازی نمونه



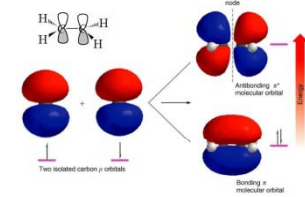
Gas

نمونه های گازی

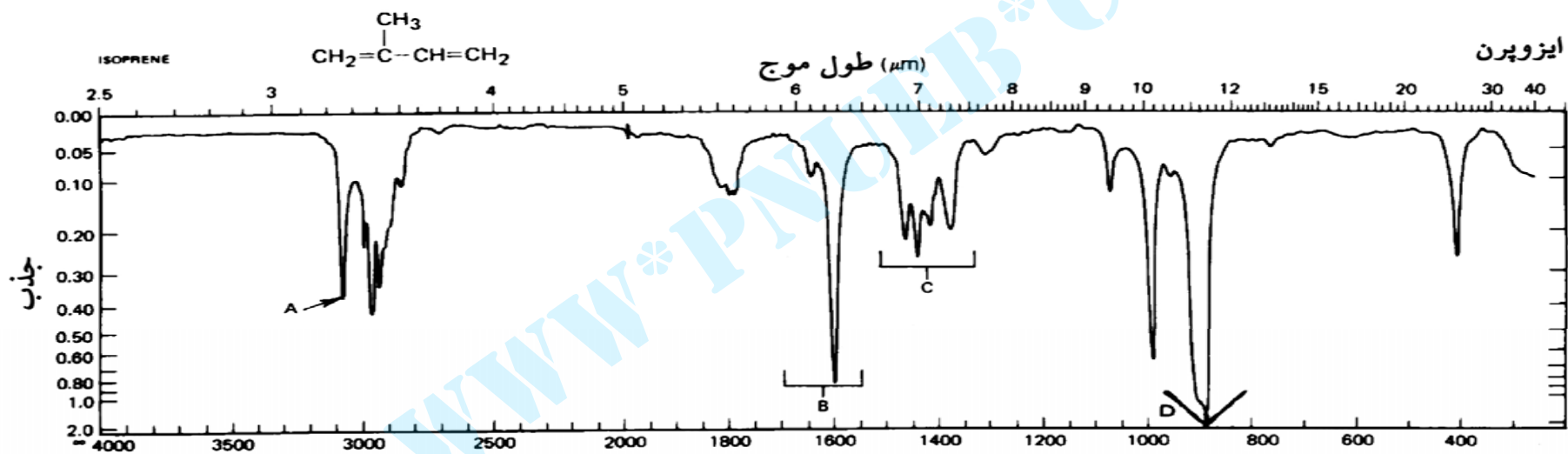
چگالی گازها چندین مرتبه از مایعها کمتر می باشد بهمین علت مسیر نوری در سلولهای گازی باید به مراتب بزرگتر باشد.
عموما از سلولهایی با مسیر نوری **1.0 CM** یا بزرگتر استفاده می شود.



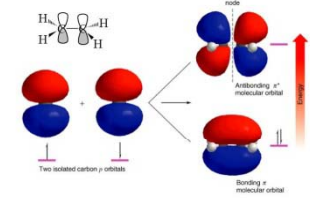
یک نمونه طیف IR



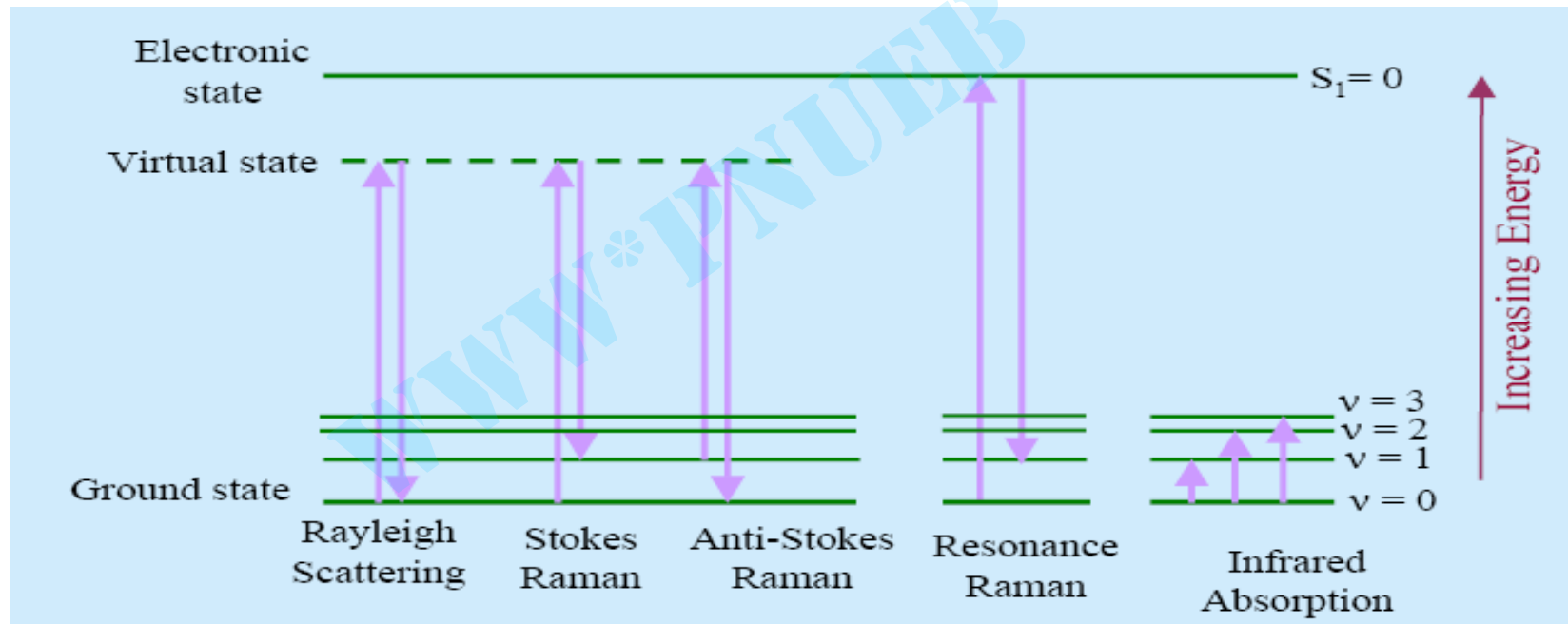
طیف IR ایزوپرن



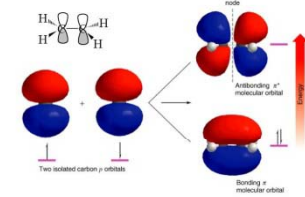
طیف بینی رامان



منشاء خطوط رامان استوکس ، آنتی استوکس و رزونانس



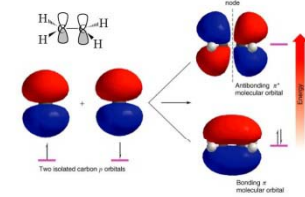
طیف بینی رامان



نوارهای رامانی که در فرکانس پایین تر ظاهر می شوند را خطوط استوکس می نامند، در حالی که نوارهای با انرژی بالاتر را خطوط آنتی استوکس می نامند.

□ پراکندگی رالی :اگر فوتون در برخورد با مولکول انرژی اولیه خود را بدست آورد.

ارتعاشهای فعال در رامان



تنها ارتعاشهایی که باعث تغییر در قطبش پذیری مولکول می شوند، خطوط رامان ایجاد می کنند.

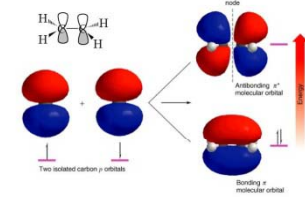
قطبsh پذیری خاصیتی از مولکول است که به سهولت برهم خوردگی و اختلال توزیع الکترونی مولکولی مربوط می شود.



طیف سنجی جذب اتمی، نشر اتمی و فلورسانس اتمی



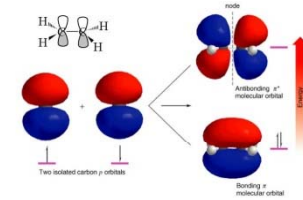
هدف از این فصل



- آشنایی کامل با مبانی نظری روش‌های طیف سنجی جذب اتمی، نشر اتمی و فلورسانس اتمی
- آشنایی با دستگاه‌های طیف سنج
- کاربرد طیف سنج های جذب اتمی، نشر اتمی و فلورسانس اتمی

مقدمه ای بر طیف سنجی اتمی

- ◆ طیف سنجی جذب اتمی
- ◆ طیف سنجی نشر اتمی
- ◆ طیف سنجی فلورسانس اتمی
- ◆ طیف اتمی
- ◆ پهنهای خطوط طیفی
- ◆ انواع اکسیدانت / سوخت
- ◆ مراحل و فرایندهای تشکیل اتم



طیف سنجی جذب اتمی

- ◆ لامپ کاتد توالی
- ◆ لامپهای تخلیه بدون الکتروود
- ◆ تصحیح جذب زمینه

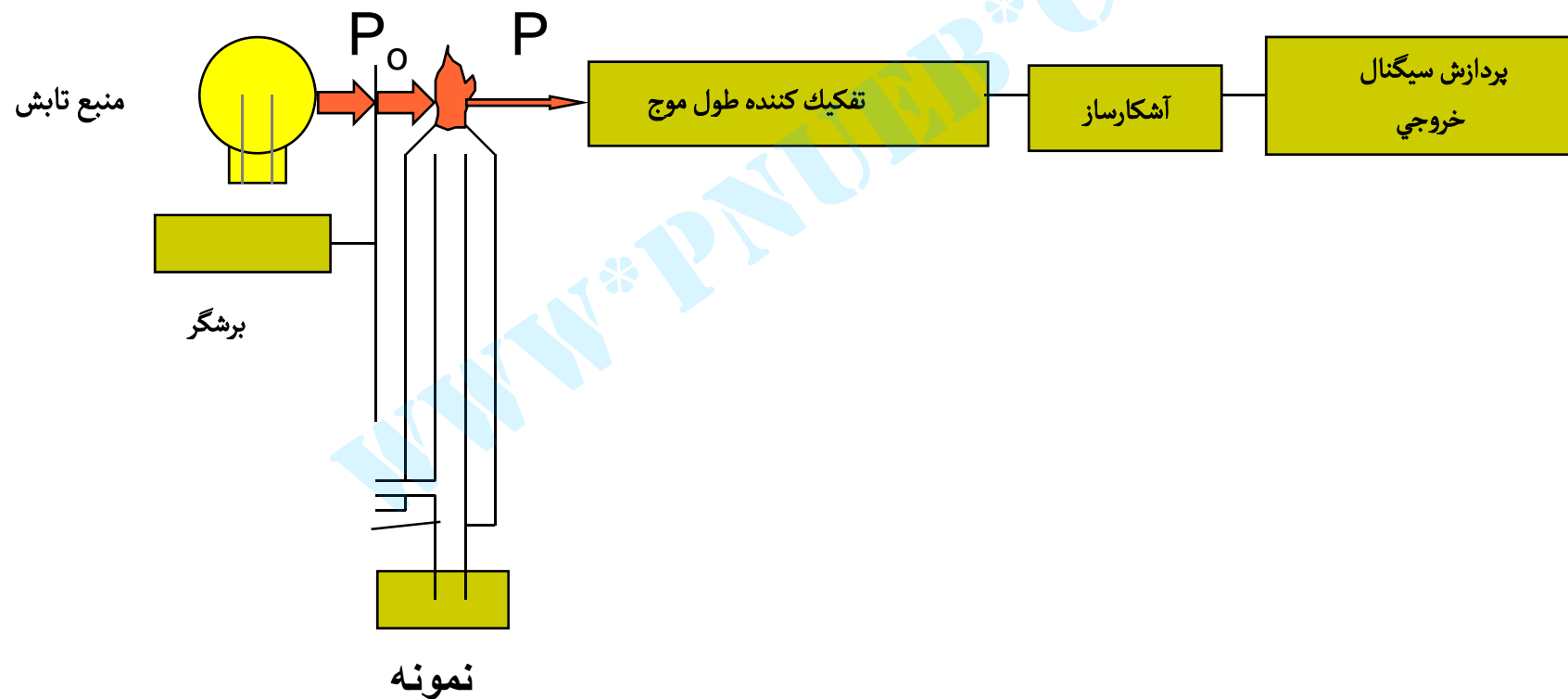
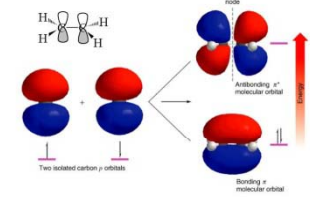
طیف سنجی نشر اتمی

- ◆ توزیع بولتزمان
- ◆ دیاگرام سطح انرژی برای اتم سدیم
- ◆ پلاسما
- ◆ ICP
- ◆ کوره گرافیتی

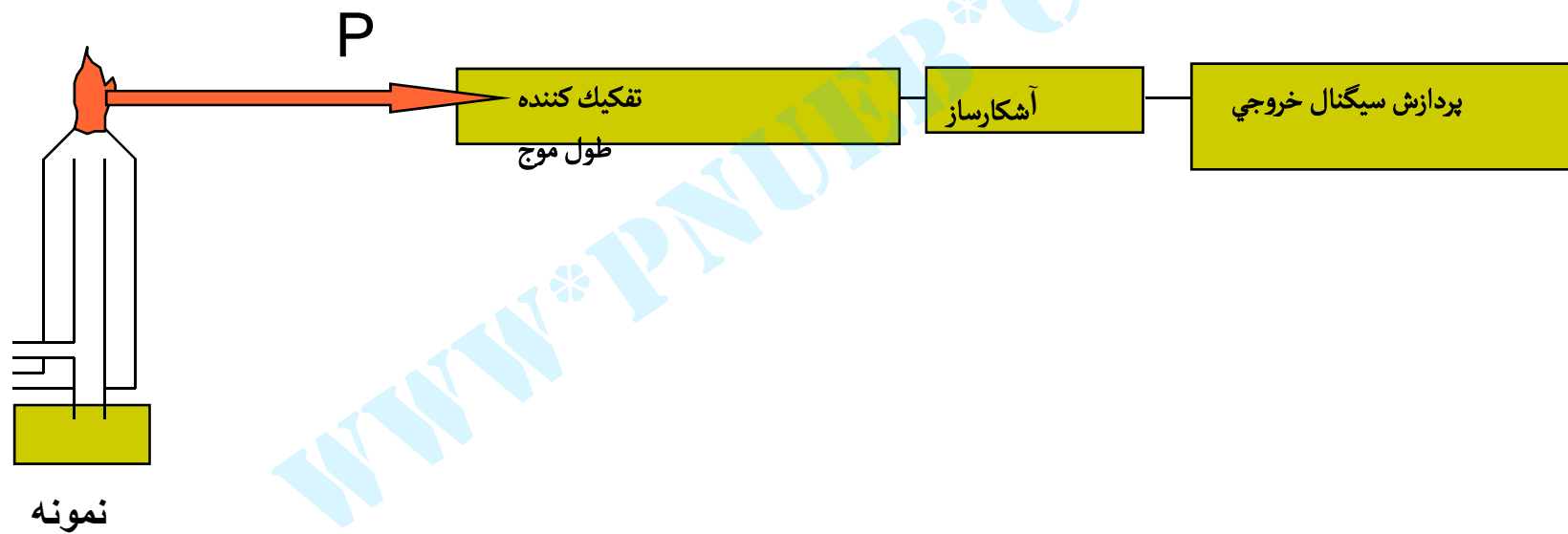
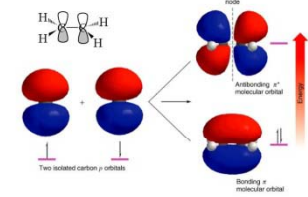
حد آشکارسازی

- ◆ قانون بیر-لامبرت

طیف سنجی جذب اتمی

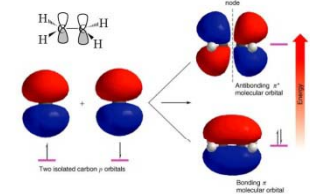


نشرشعله ای



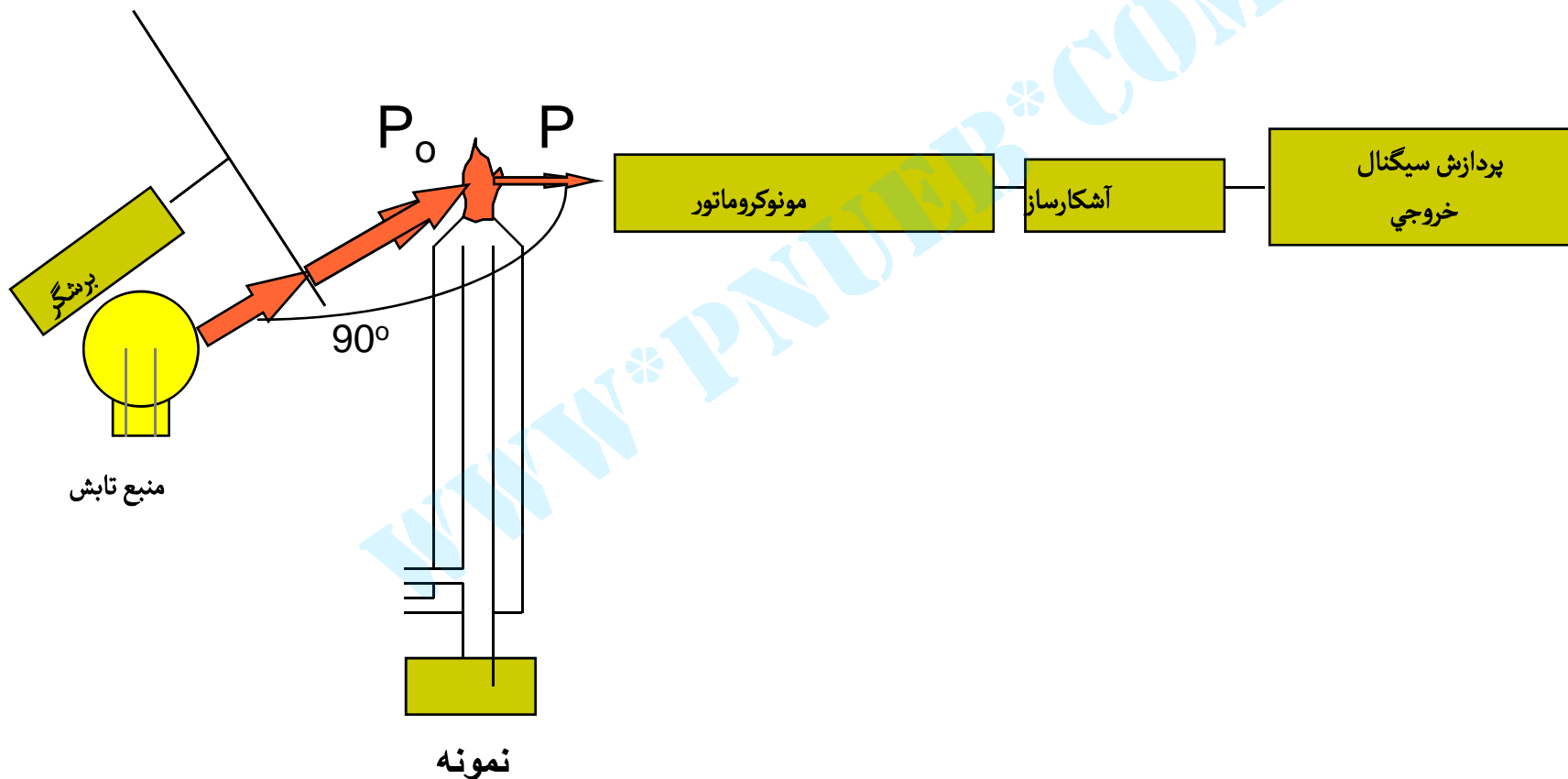
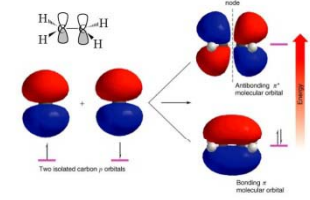
فوتومتری شعله ای

Flame Atomic Emission Spectrometry (Flame Photometry)

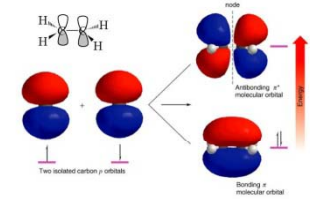


اندازه گیری سدیم و پتاسیم در نمونه های کلینیکی

طیف سنجی فلورسانس اتمی

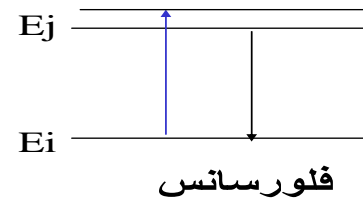
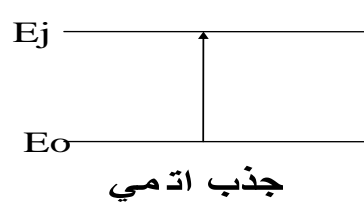
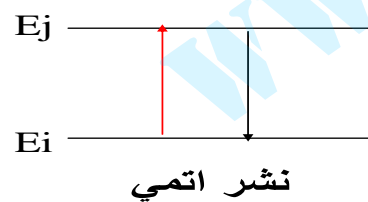


طیف اتمی

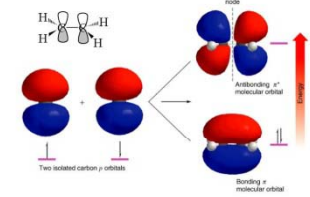


طیف اتمی نتیجه برهمکنش تابش الکترومغنا طیس با ماده می باشد

زمانی که تابش با اتم بر همکنش دارد بقدر کافی انرژی دارد تا باعث تغییر در سطوح انرژی لایه ظرفیت شود.

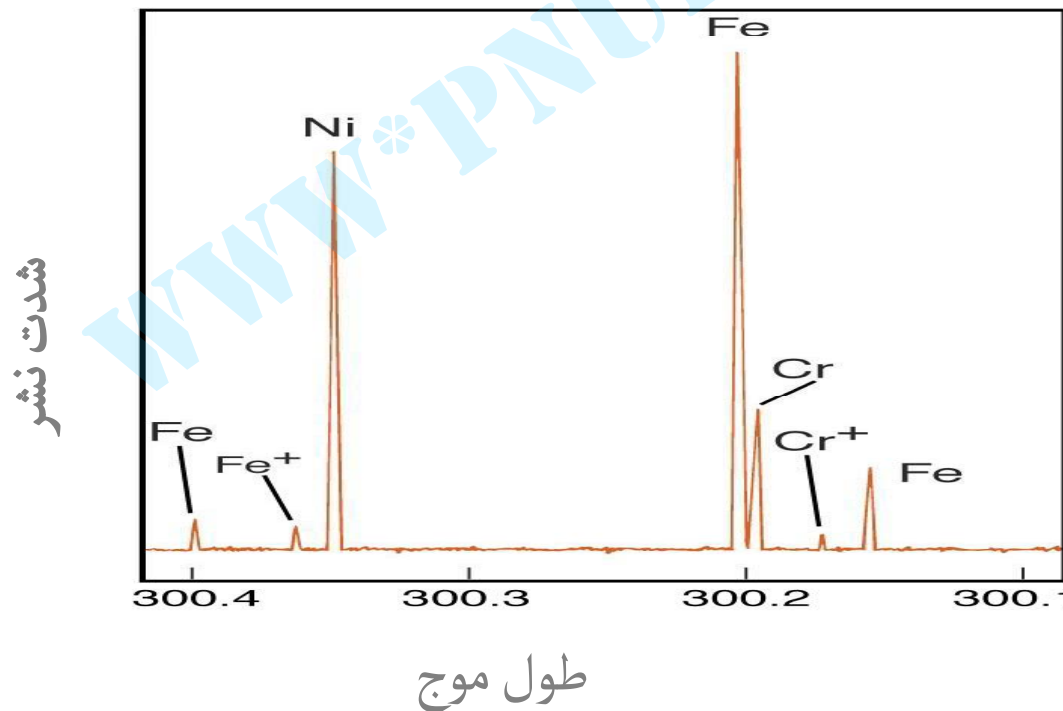


پنهانی خطوط طیفی

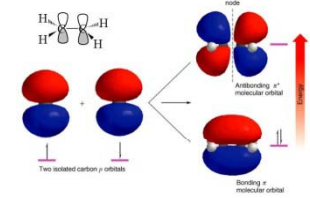


خطوط طیفی در طیف اتمی از نظر تئوری به طور نامحدودی باریک می باشند زیرا:

$$\Delta E = hc / \lambda$$



پهنهای خطوط طیفی



چند عامل باعث شده تا طیف های اتمی ، پهنتر از حالت تئوری باشند:

■ اثر داپلر:

این اثر به علت سرعت بالای اتم در گاز می باشد

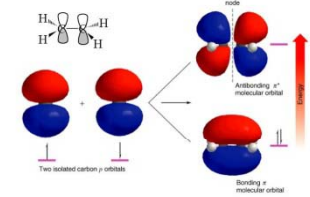
■ اصل عدم قطعیت هایزنبرگ:

این فاکتور مربوط به طول عمر کوتاه حالت بر انگیخته می باشد (ثانیه 10^{-9})

■ اثر فشار:

این اثر به برخورد اتمها و از دست دادن انرژی آنها مربوط می شود.

انواع اکسیدانت / سوخت

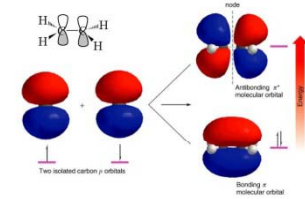


air/acetylene

این شعله با دمای 2300°C در روش جذب اتمی و برای بیشتر عناصر بهترین انتخاب می باشد. دمای پایین در مقایسه با شعله اکسید نیترو- استیلن به تشکیل بیشتر اتمهای خنثی کمک می کند.



انواع اکسیدانت / سوخت

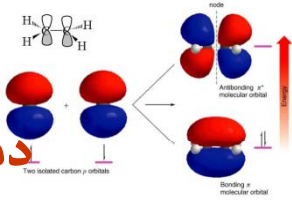


nitrous oxide/acetylene

این شعله با درجه حرارت بالاتر (2750°C) به علت غلظت بالای گروه های NH و CN که احیا کننده های قوی بوده برای عناصری که اکسیدهای دیرگداز تشکیل می دهند مناسب می باشد. این شعله همچنین از تداخلهای تبخیری که در شعله هوا - استیلن رخ می دهند جلوگیری می کند.

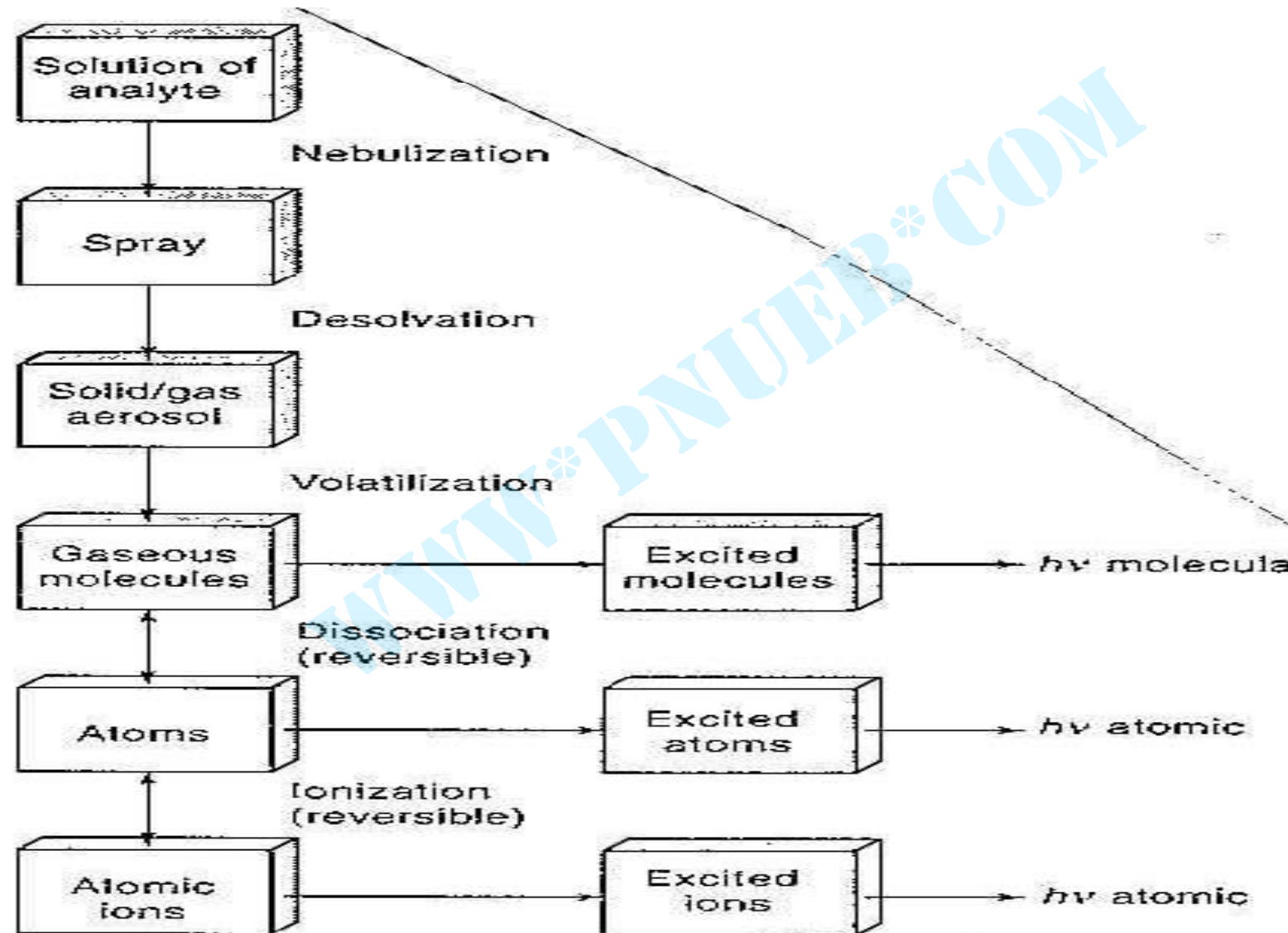
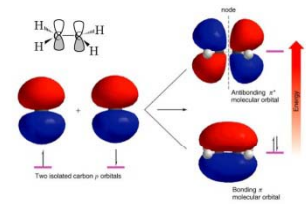


دمای شعله با توجه به نوع سوخت

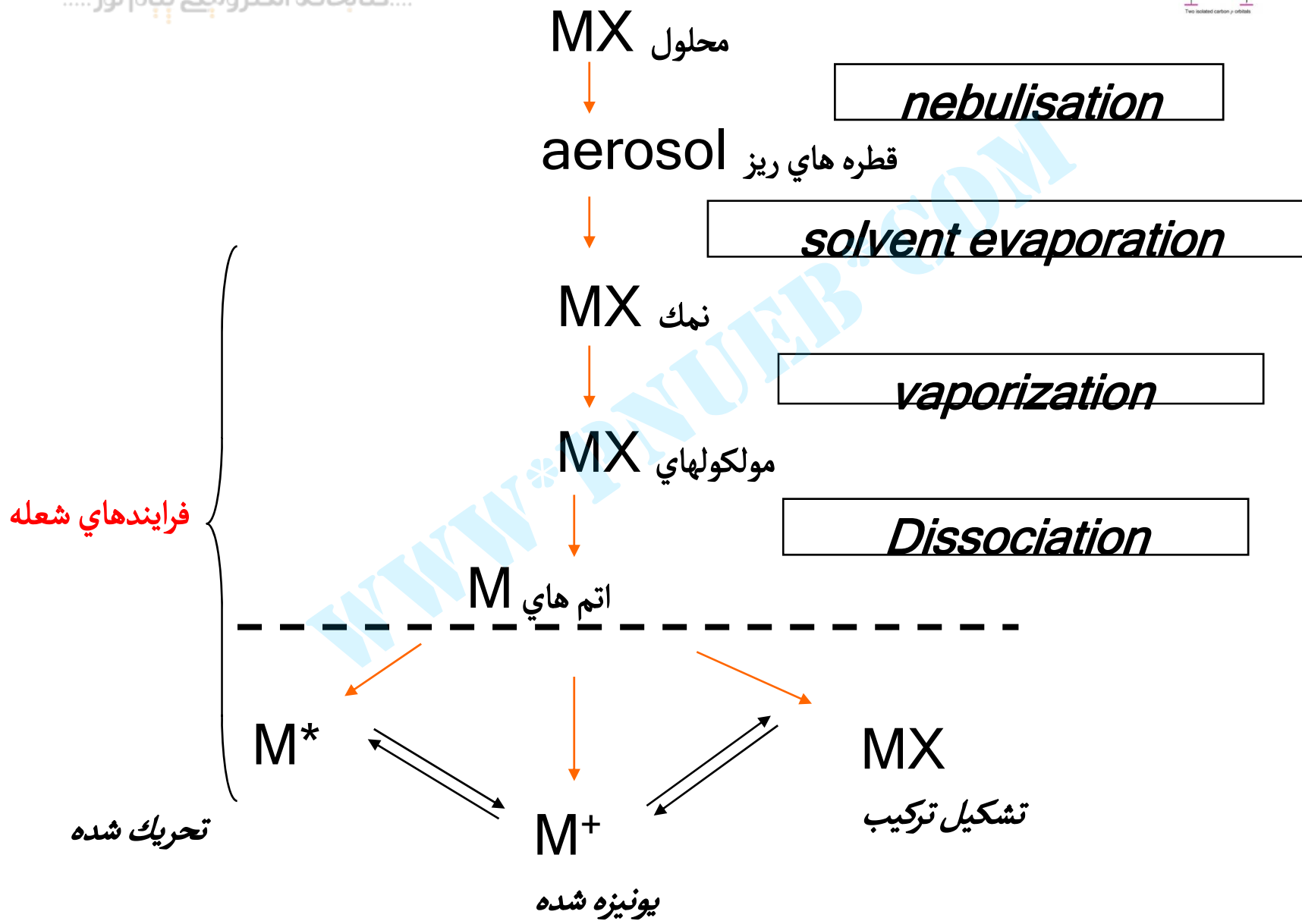
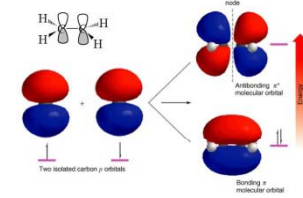


Fuel	Oxidant	Temperatures, °C	Maximum Burning Velocity (cm s ⁻¹)
Natural gas	Air	1700–1900	39–43
Natural gas	Oxygen	2700–2800	370–390
Hydrogen	Air	2000–2100	300–440
Hydrogen	Oxygen	2550–2700	900–1400
Acetylene	Air	2100–2400	158–266
Acetylene	Oxygen	3050–3150	1100–2480
Acetylene	Nitrous oxide	2600–2800	285

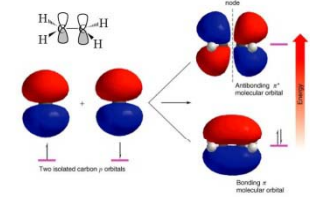
مراحل و فرایندهای تشکیل اتم



مراحل و فرایندهای تشکیل اتم

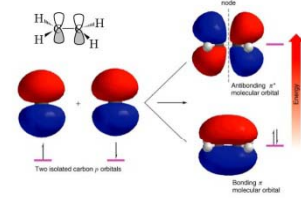


مراحل و فرایندهای تشکیل اتم



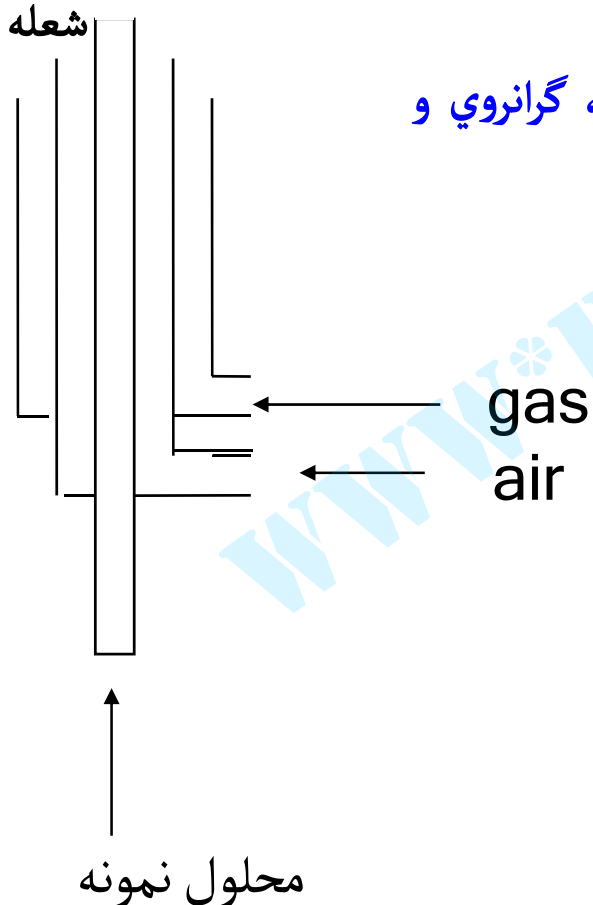
- انتقال محلول
- ریزکنندگی نمونه
- انتقال ذرات ریز
- حذف حلال
- تبخير
- تعادل بین ذرات تبخیرشده

انتقال محلول



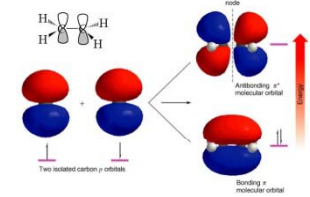
■ سرعت انتقال نمونه و استاندارد باید یکسان باشد.

■ سرعت انتقال نمونه به سرعت جریان گاز اکسید کننده ، گرانزوی و کشش سطحی نمونه بستگی دارد.

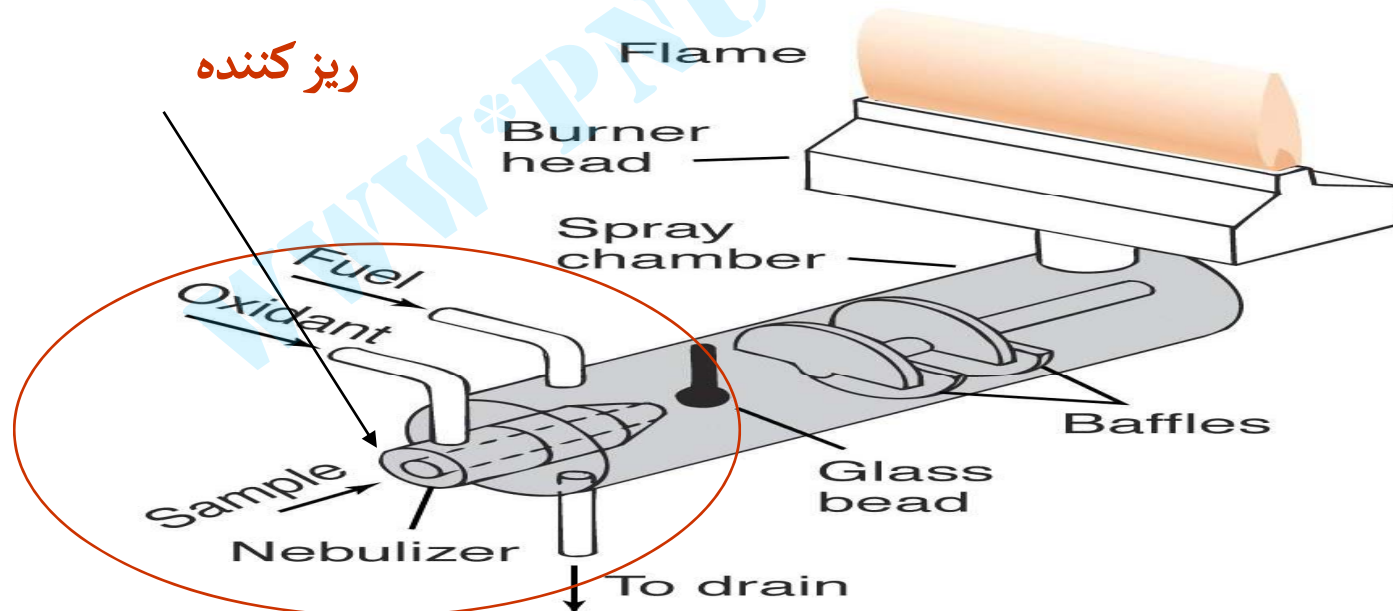


Nebuliser

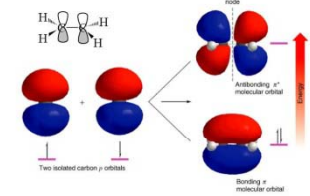
ریز کنندگی نمونه



- در این تبدیل محلول به ذرات ریز و غبار مانند انجام می شود.
- معمولاً از یک ریزکننده بادی هم مرکز استفاده می شود.

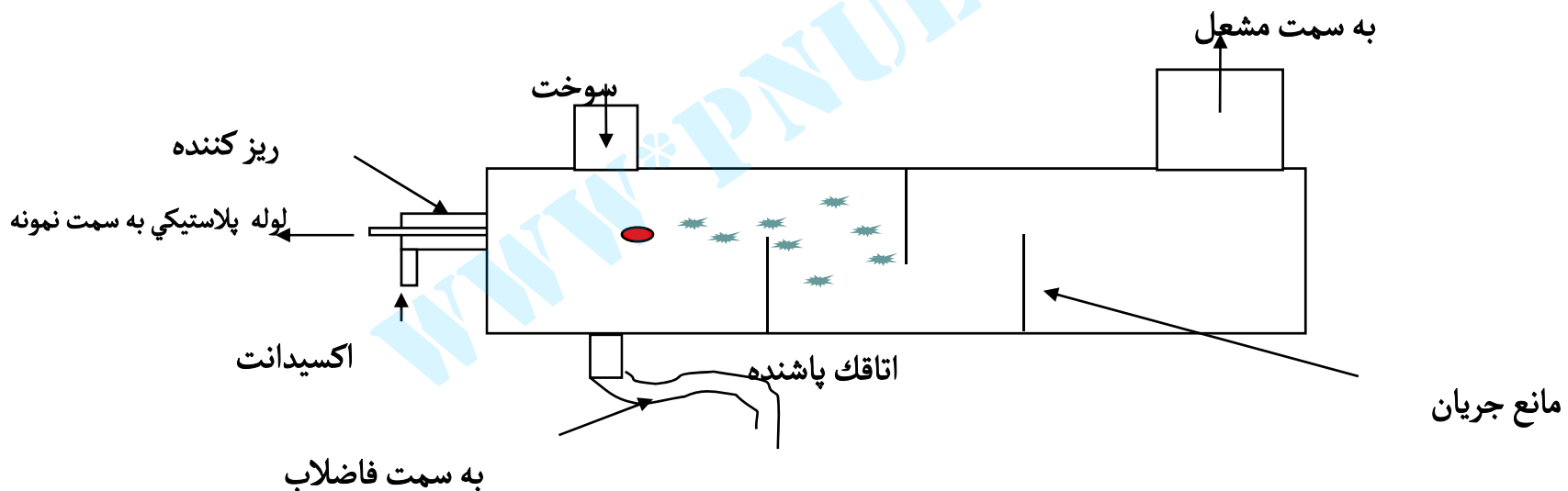


انتقال ذرات ریز

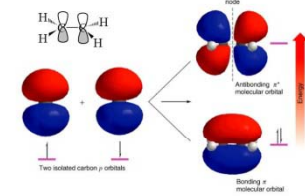


با مانعهایی که در اتاقک پاشنده وجود دارد تنها ذرات بسیار ریز به شعله می‌رسند و ذرات و قطرات درشت حذف می‌گردند.

www.PNUebook.com

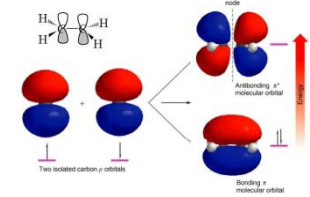


حلال زدایی



- اولین مرحله در شعله حلال زدایی می باشد.
- سرعت حلال زدایی بستگی به عواملی مانند اندازه ذرات ، نوع حلال ، سرعت ذرات ، نوع و ترکیب شعله و درجه حرارت دارد.

تبخیر



- در این مرحله ذرات نمک به بخار تبدیل می شوند.
- تداخل های جذبی و نشری در این مرحله انجام می شود.

مثال:

تداخل فسفات در نشر کلسیم

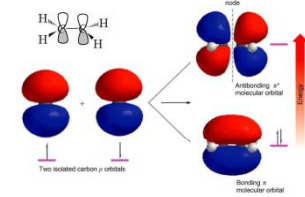
تداخل Al در جذب منیزیم

- راههای کاهش تداخل های تبخیری عبارت است از:

Sr **La** یا

افزایش نمکهای دهنده

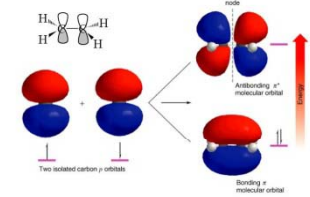
تعادل بین اجزاء تبخیر شده



در این مرحله تداخل یونی شدن صورت می گیرد. ■

حضور عنصری که به آسانی یونیزه می شود مانند Na ، K و Cs میتواند نسبت یون / اتم را برای عنصر دیگر افزایش دهد. ■

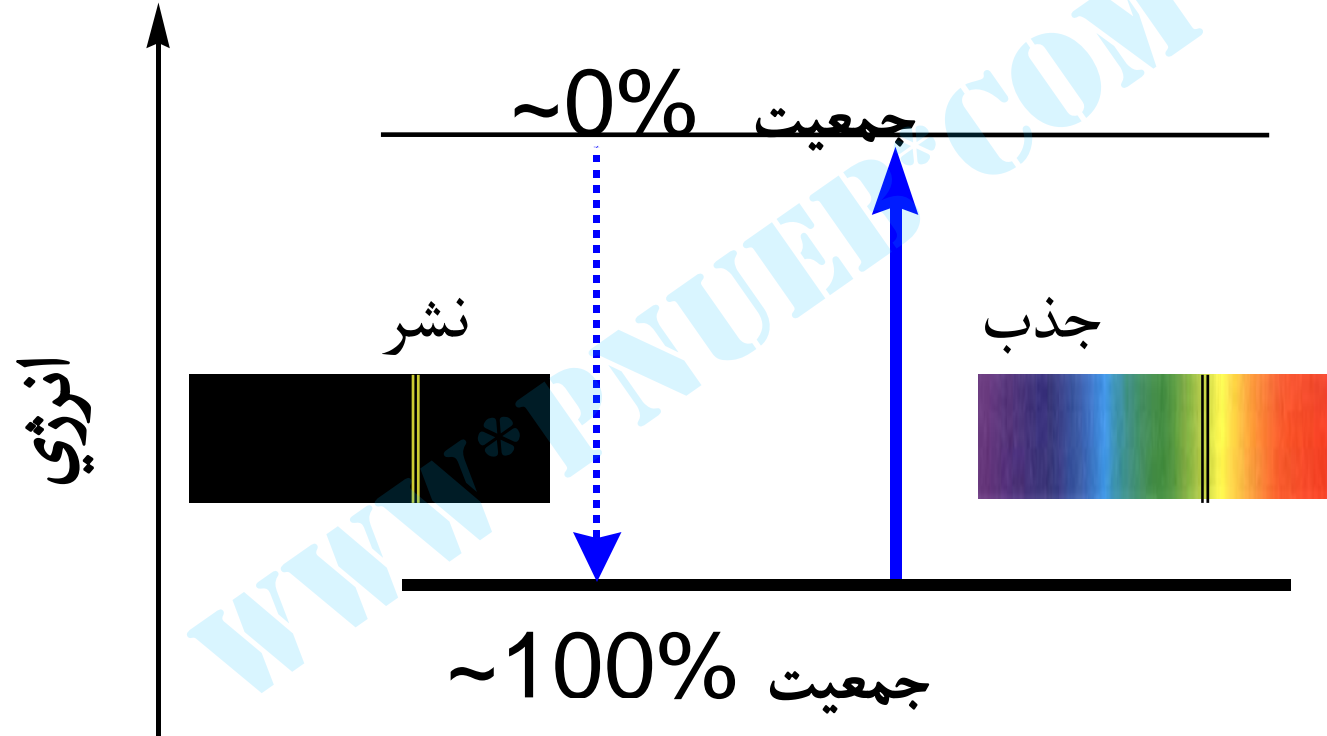
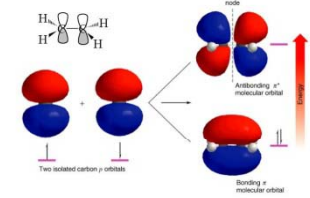
یونیزاسیون در شعله



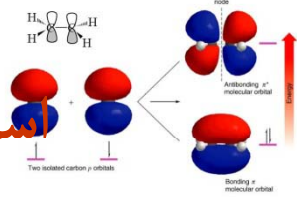
$$K = \frac{[M^+][e^-]}{[M]} = \left(\frac{x^2}{1-x} \right)$$

اگر شما مقدار زیادی از عنصری که به راحتی یونیزه می شود به شعله اضافه کنید تعادل به سمت چپ جابجا می شود و از یونیزاسیون جلوگیری می شود.

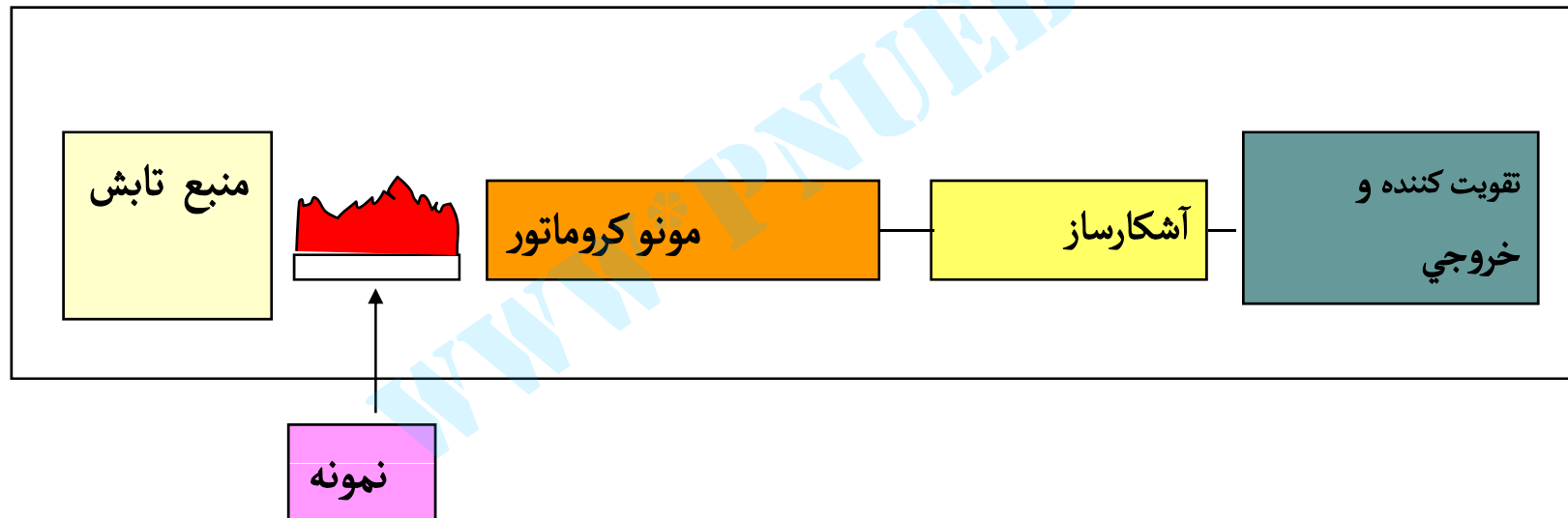
جذب و نشر اتمی



اسپکترومتری جذب اتمی شعله ای

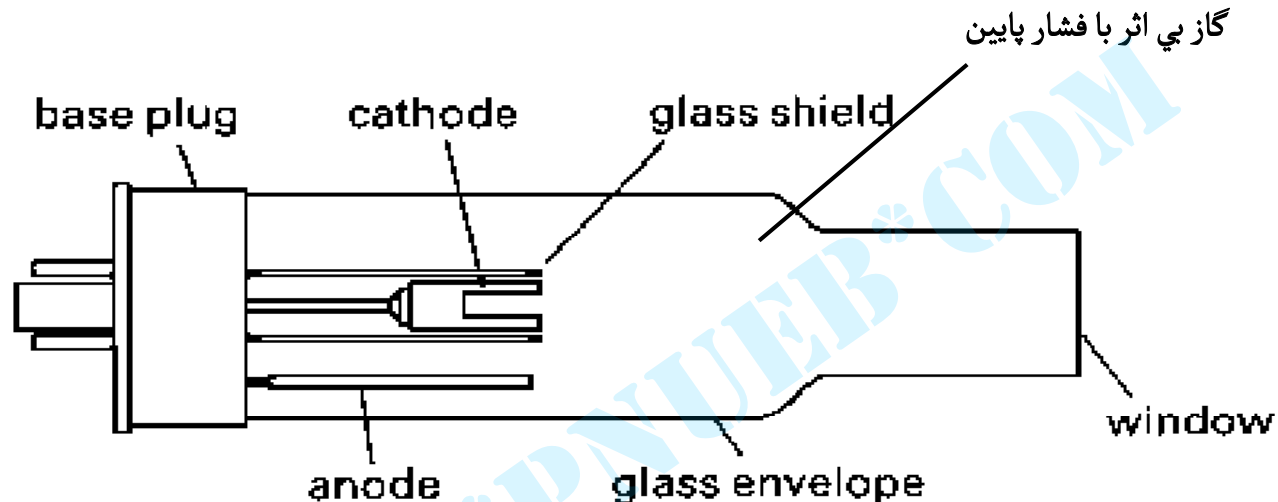
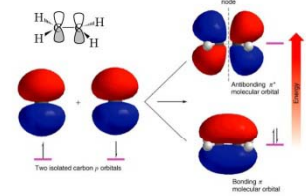


طرح کلی یک طیف سنج جذب اتمی



Hollow cathode lamp

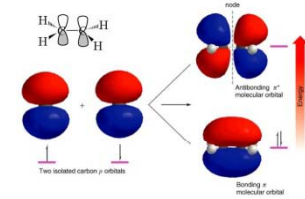
لامپ کاتد توخالی



طیف ایجاد شده به وسیله لامپ طیف عنصر مورد نظر
و گاز پرکننده که معمولاً نئون است می باشد.



لامپ کاتد توحالی



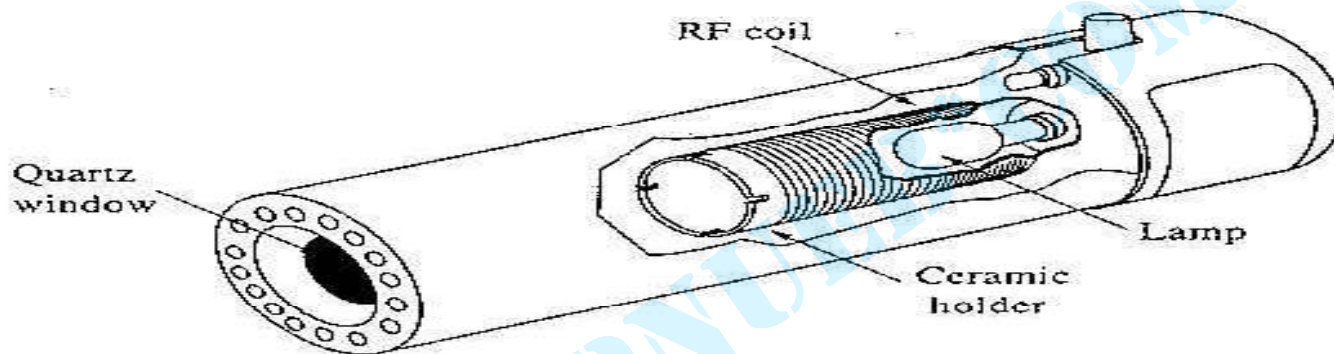
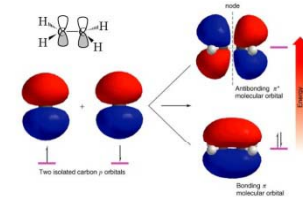
برای لامپ کاتد توحالی تکفام سازی موردنیاز است که فقط بتواند خط طیفی را از لامپ جدا کند.

در صوتیکه در روش **AAS** از یک منبع پیوسته مانند لامپ دوتریم استفاده کنیم حساسیت و دقیقیت اندازه گیری به شدت کاهش می یابد.



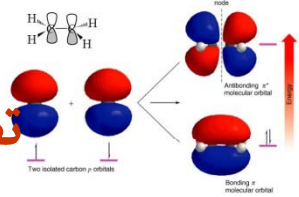
لامپهای تخلیه بدون الکترود Electrodeless Discharge Lamp

لامپهای تخلیه بدون الکترود



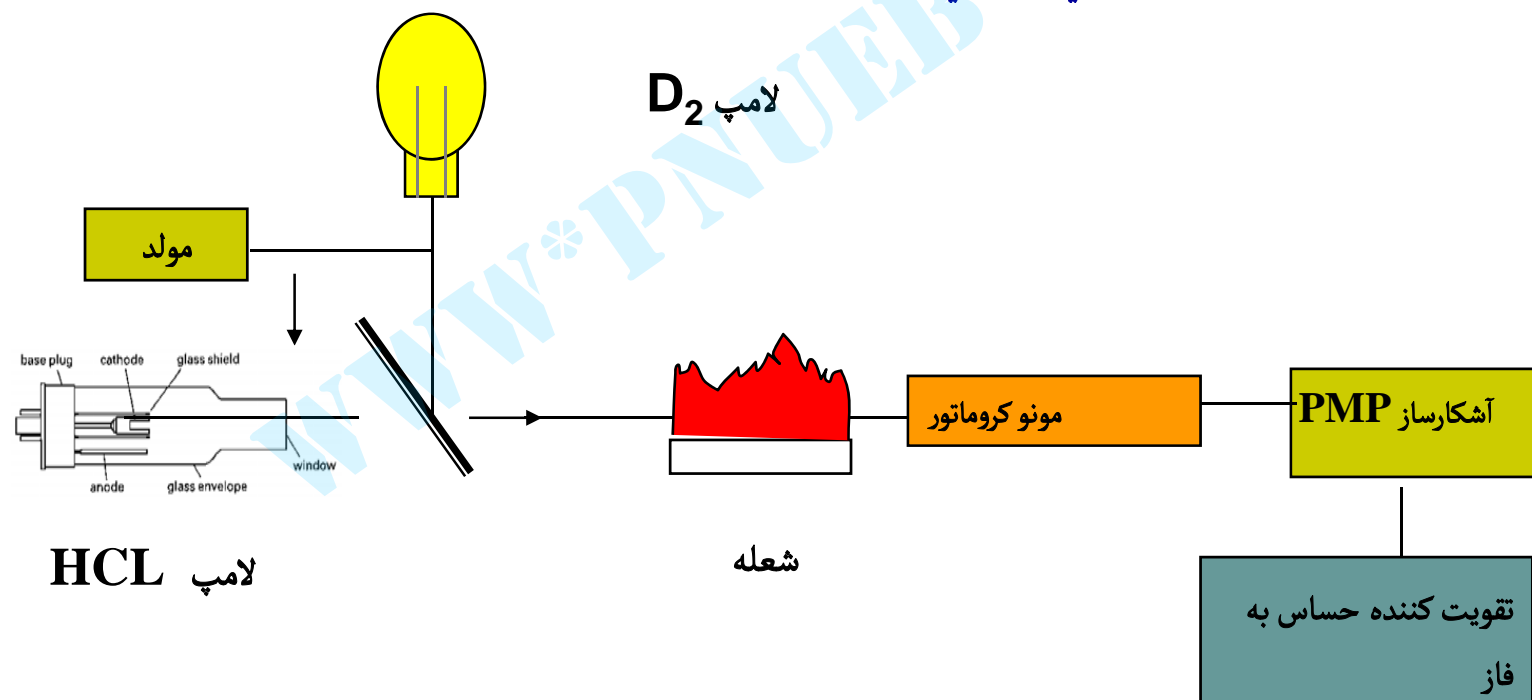
در این روش مقدار کمی از عنصر مورد نظر یا نمک آن را همراه مقدار کمی گاز بی اثر در داخل یک حباب کوارتز در داخل یک استوانه سرامیکی که دور ان یک تشدید کننده پیچانده شده قرار می دهند. هنگامی یک میدان رادیوفرکانس اعمال شود انرژی حاصل گاز بی اثر را یونی کرده و اتمهای فلز داخل حباب را تحریک می کند و طیف نشري فلز ایجاد می شود.

تصحیح جذب زمینه به وسیله لامپ دوتریم

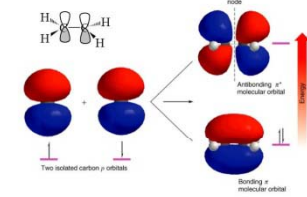


لامپ دوتریم و **HCl** با اختلاف فاز ۱۸۰ مدلوله می شوند.

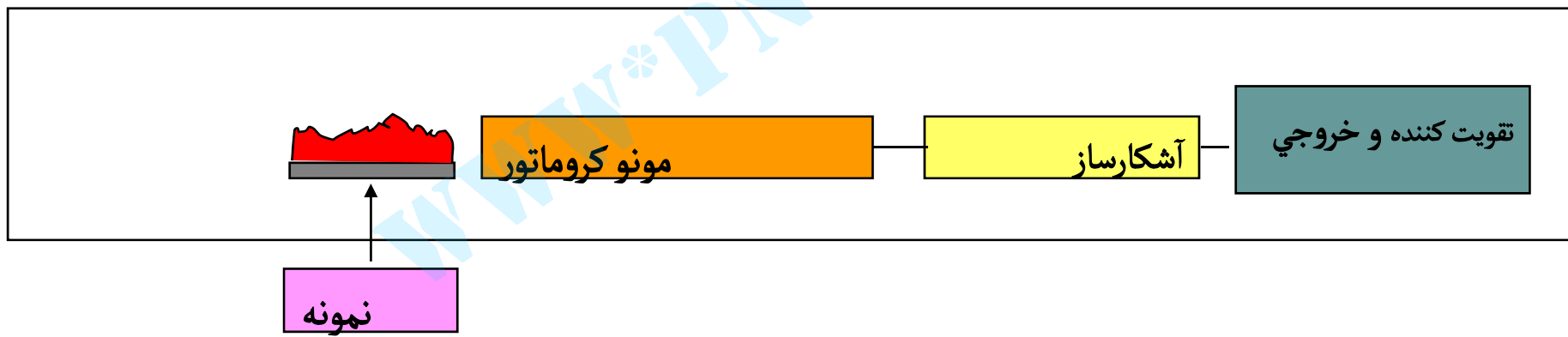
علامت **HCl** نشان دهنده جذب نمونه و جذب زمینه و علامت **D₂** مربوط جذب زمینه می باشد بنابراین اختلاف این دو مربوط به جذب اتمی نمونه می شود.



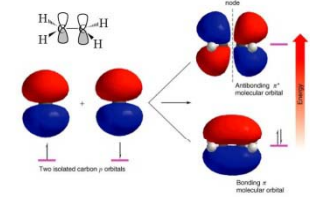
اسپکترومتری نشر اتمی



طرح کلی یک طیف سنج نشر اتمی



توزيع بولتزمان

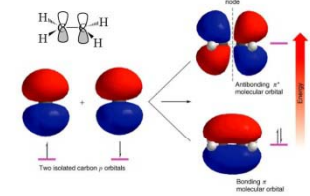


انرژی اتمی

$$\frac{\text{population}}{\text{population}} \left(\begin{matrix} j \\ 0 \end{matrix} \right) = \frac{N_j}{N_0} = \exp \left\{ \frac{-E_j}{kT} \right\}$$

atom	wavelength	$N_j / N_0 (3000 K)$
Cs	852.1 nm	7.24×10^{-3}
Na	589.0 nm	5.88×10^{-4}
Ca	422.7 nm	3.69×10^{-5}
Zn	213.9 nm	5.58×10^{-10}

مثال



خط طیفی 589 nm سدیم را در یک شعله با دمای 2500 K در نظر بگیرید، نسبت N_i/N_0 را برای اتم سدیم محاسبه کنید.

در اتم سدیم حالت پایه، S^0 و حالت برانگیخته $3p$ می باشد بنابراین نسبت g_i/g_0 برابر ۲ می باشد.

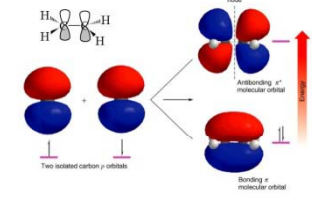
ابتدا ΔE را از رابطه زیر حساب می کنیم:

$$\Delta E = hc/\lambda$$

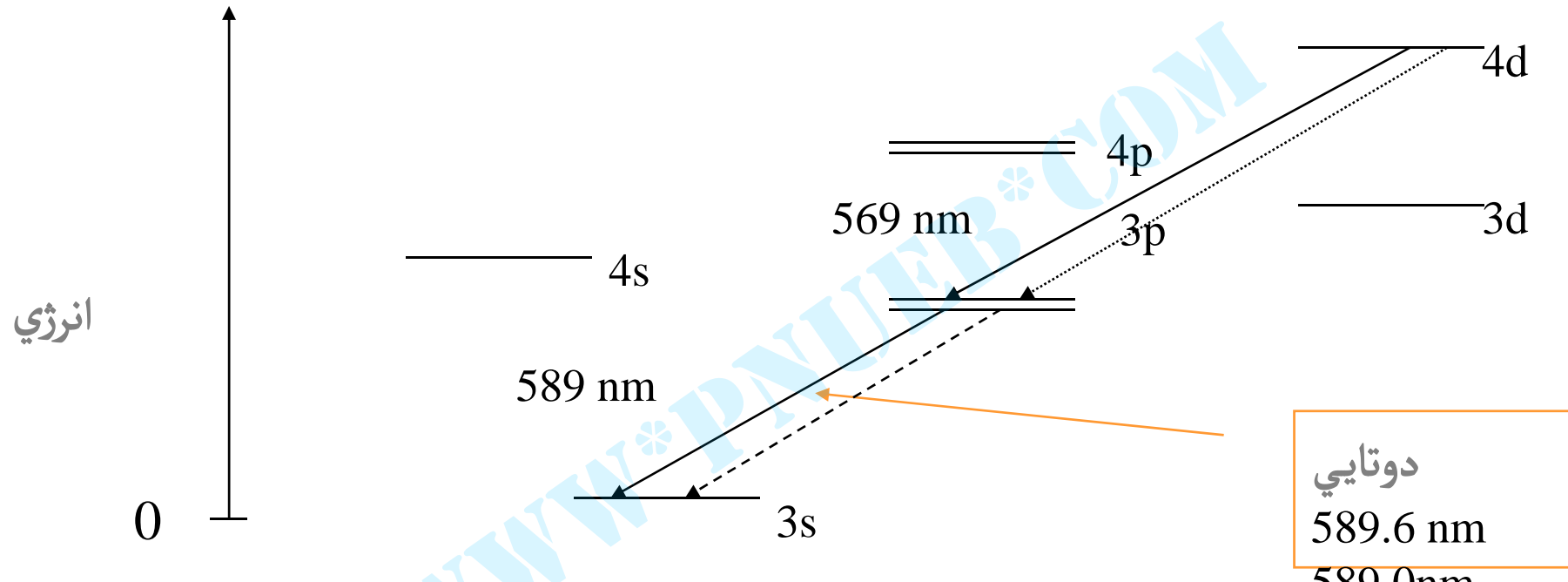
$$\Delta E = (6.626 \times 10^{-34} \times 3.00 \times 10^8) / 589 \times 10^{-9}$$

$$\Delta E = 3.37 \times 10^{-19} \text{ J}$$

$$\begin{aligned} Ni/No &= 2 \exp - ((3.37 \times 10^{-19}) / (1.38 \times 10^{-23} \times 2500)) \\ &= 2 \exp(-9.76) \\ &= 1.15 \times 10^{-4} \end{aligned}$$



دیاگرام سطح انرژی برای اتم سدیم



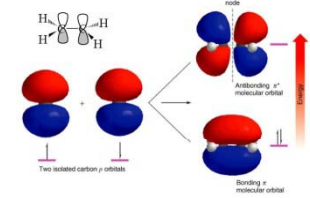
عبارت $1-1$ یا $\Delta\ell = +1$ یعنی چه؟

یک الکترون تنها میتواند بین سطوح فرعی انرژی حرکت نماید:

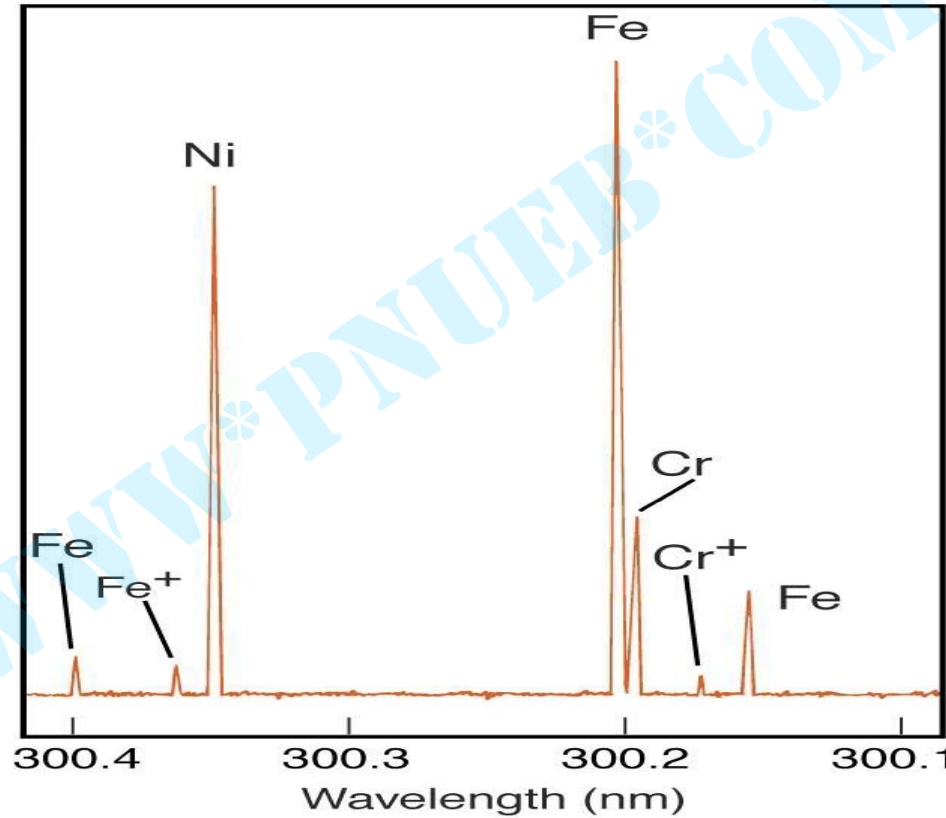
- $S \Rightarrow p$ یا $p \Rightarrow d$ (مجاز)

- $S \Rightarrow S$ (غیر مجاز)

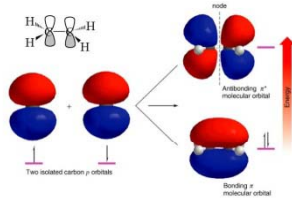
طیف نشري



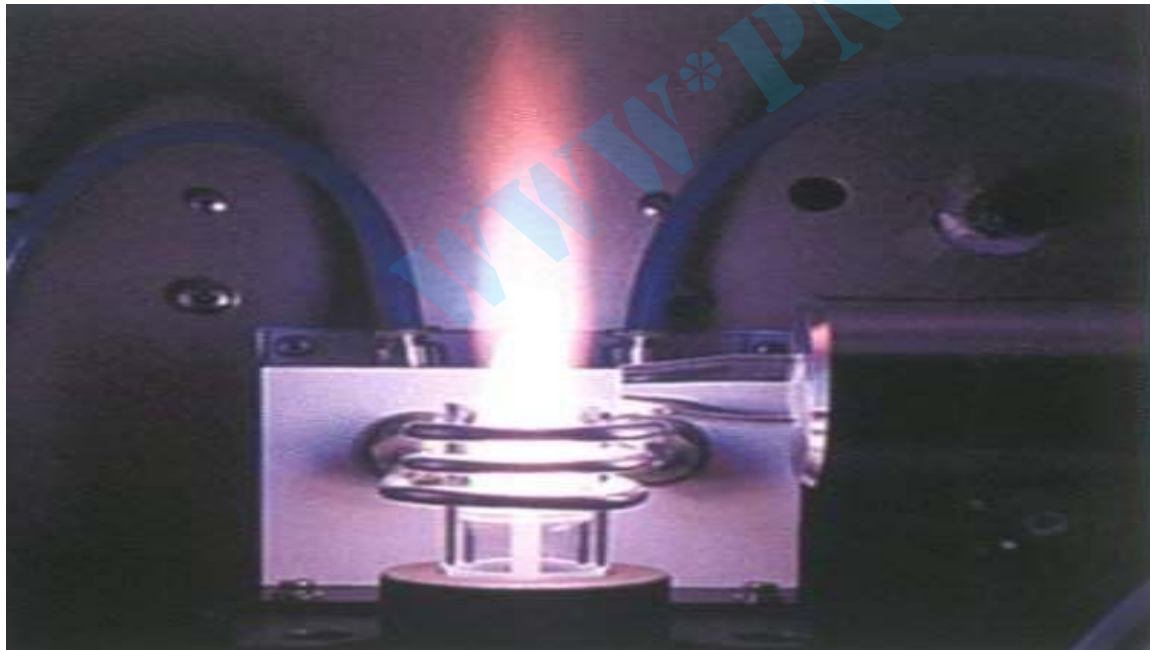
شدت نشر



پلاسما

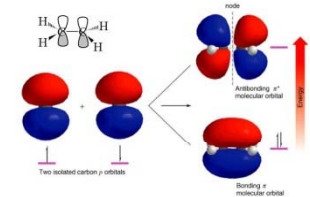


- یک منبع برای اتمیزه کردن نمونه پلاسما می باشد که در روش نشری استفاده می شود.
- پلاسما یک گاز داغ شامل اتم، یون والکترون آزاد می باشد .



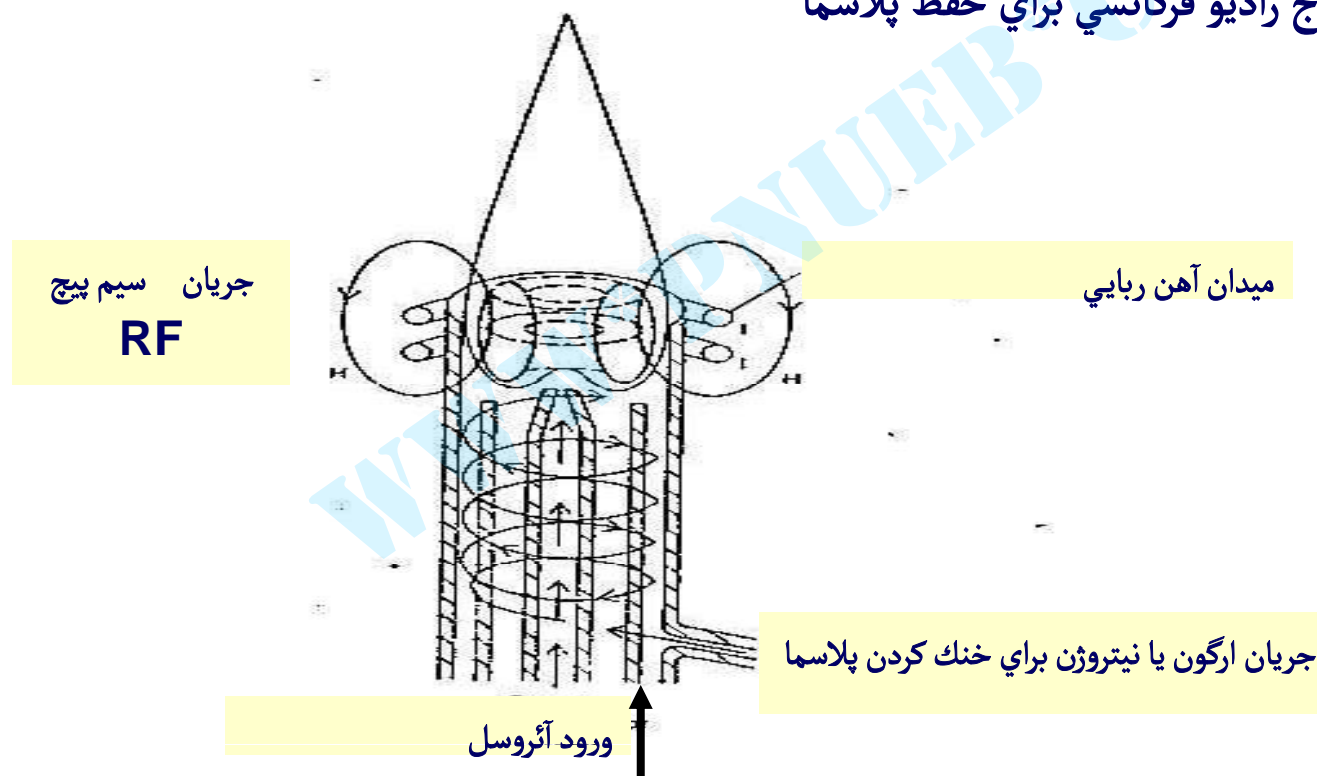
Inductively Coupled Plasma

پلاسمای جفت شده القایی

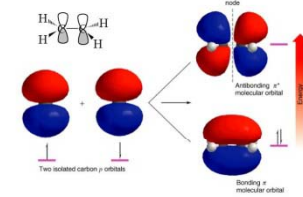


ICP
نمایی از یک مشعل

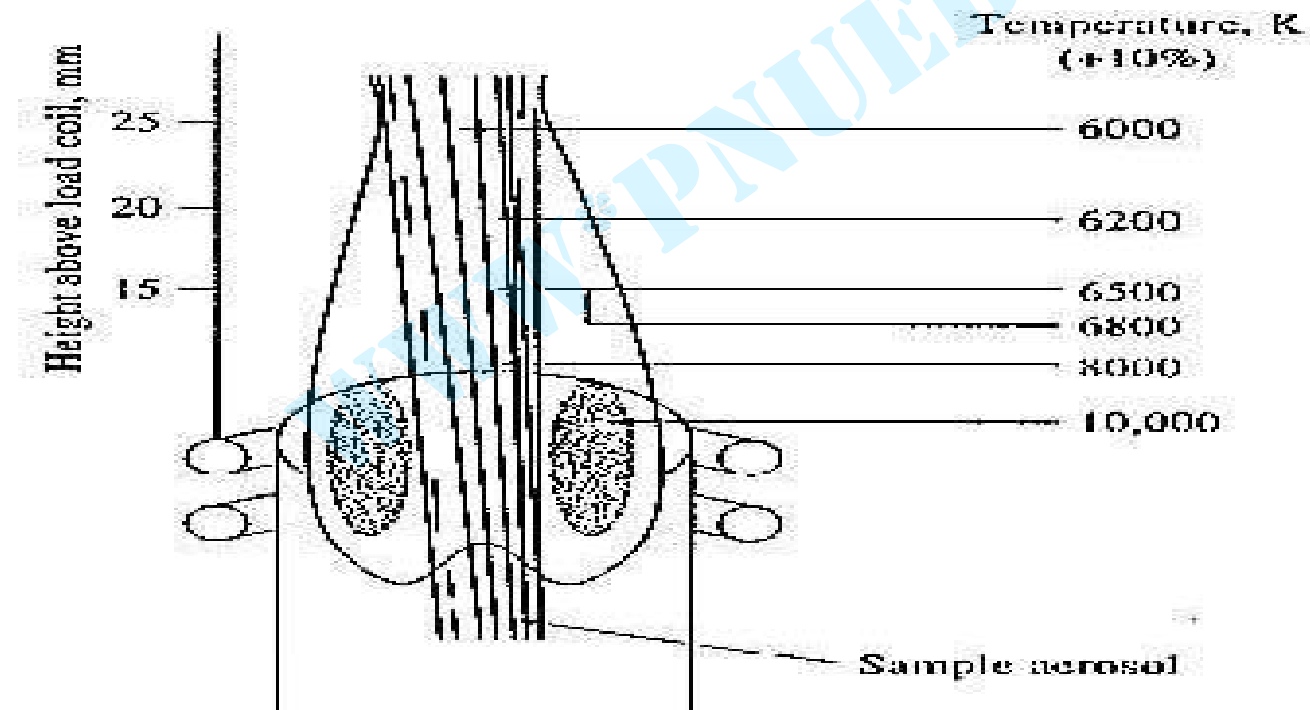
از جفت شدن امواج رادیو فرکانسی برای حفظ پلاسما استفاده می شود.



ICP: Inductively Coupled Plasma

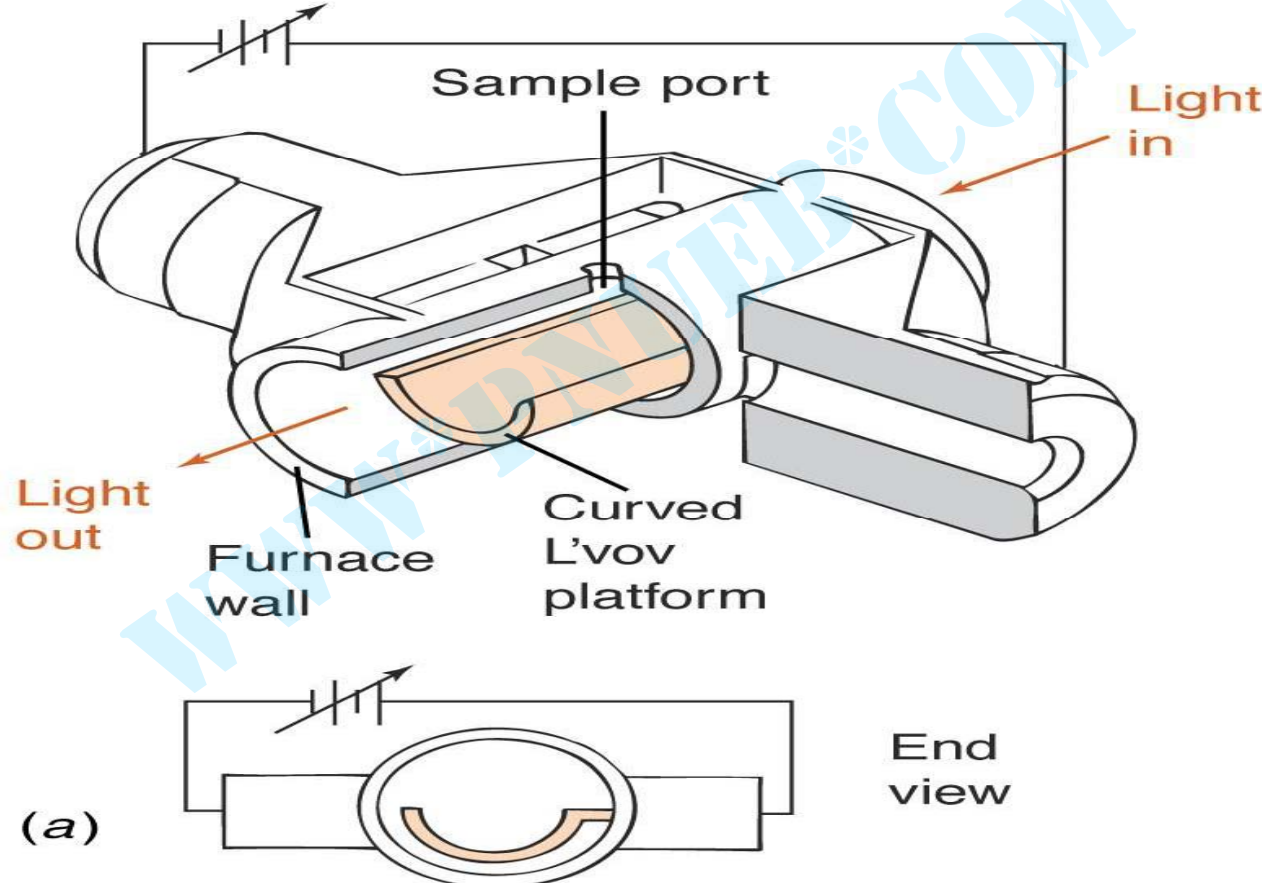
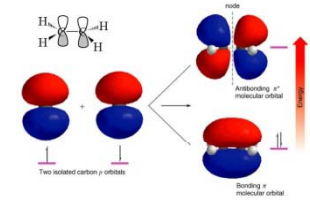


دماي بسيار بالاي پلاسما ($1000 - 8000\text{ K}$) باعث کاهش تداخلهای شيميائي و نويز دستگاه مي شود.

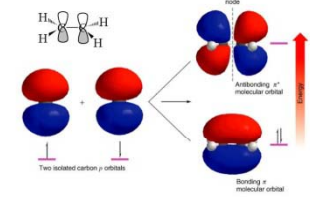


کوره گرافیتی

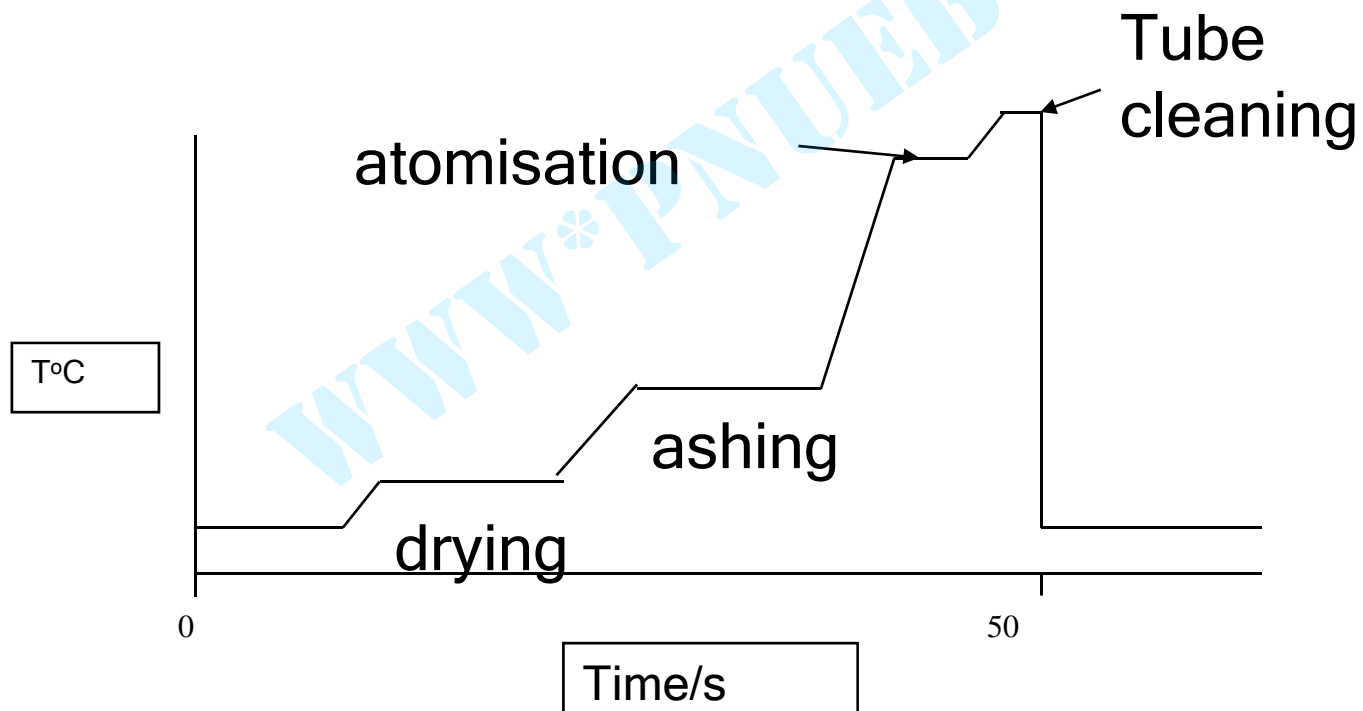
Graphite Furnace



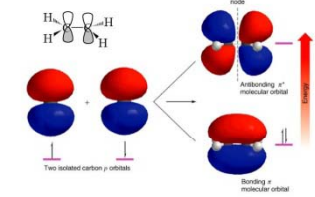
برنامه ریزی دمایی



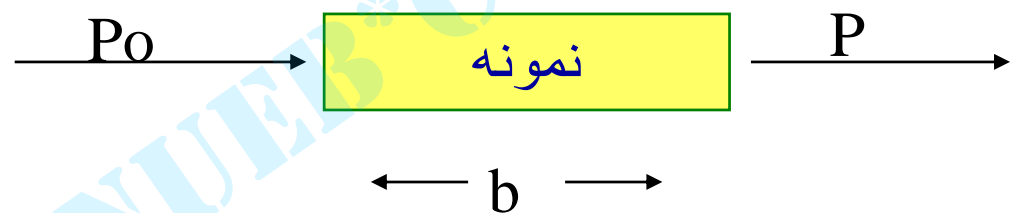
Temperature Programming



قانون بیر-لامبرت



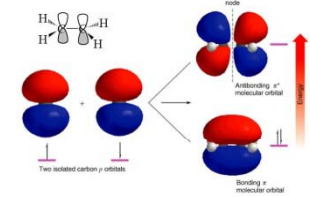
$$A = \log \left(\frac{P_0}{P} \right)$$



$$A = \epsilon b c$$

ϵ ضریب جذب مولی بر حسب $\text{mol}^{-1} \text{dm}^3 \text{cm}^{-1}$
 b مسیر نوری بر حسب cm و C غلظت بر حسب mol dm^{-3} می باشد.

حد آشکارسازی

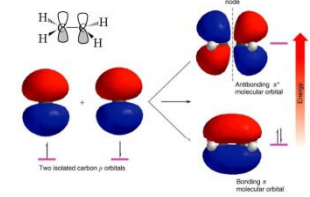


حد آشکارسازی عبارت است از غلظتی که علامت آن دو یا سه برابر نویز دستگاه باشد.

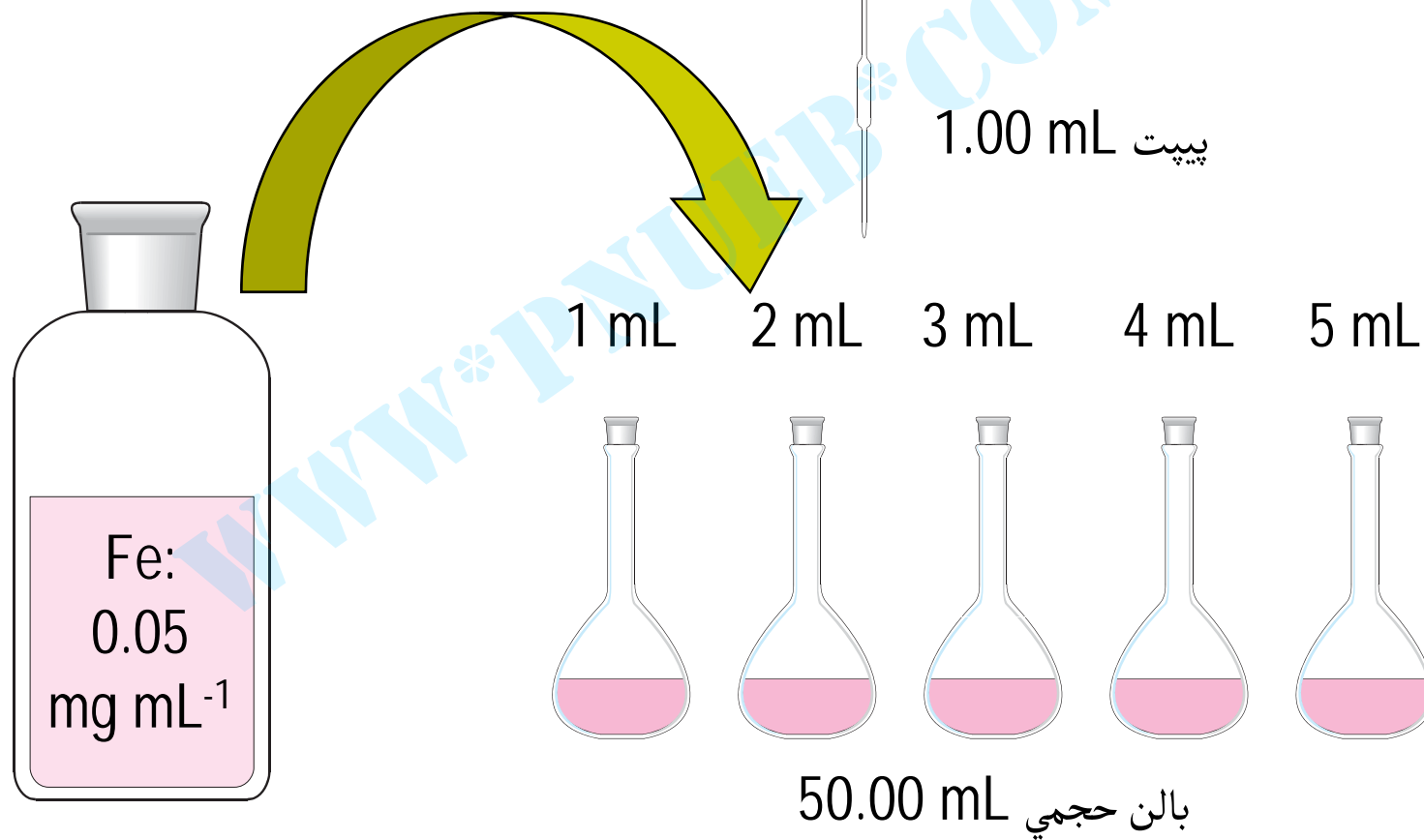
حدود آشکارسازی ($\mu\text{g/L}$) عناصر در روش‌های جذب و نشر اتمی

OAEQ	Ev., AAS	Ev., AES
Ag	3	20
Ca	1	0.1
Cd	1	2000
Fe	6	50
K	2	3
Mg	0.2	5
Mn	2	15
Na	0.2	0.1
Ni	3	600
Pb	5	200
Zn	1	200

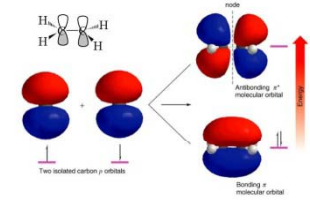
روش افزایش استاندارد



روش افزایش استاندارد برای اندازه گیری Fe



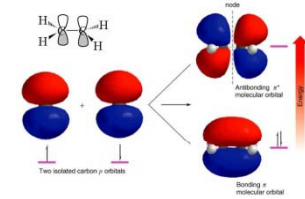
روش افزایش استاندارد



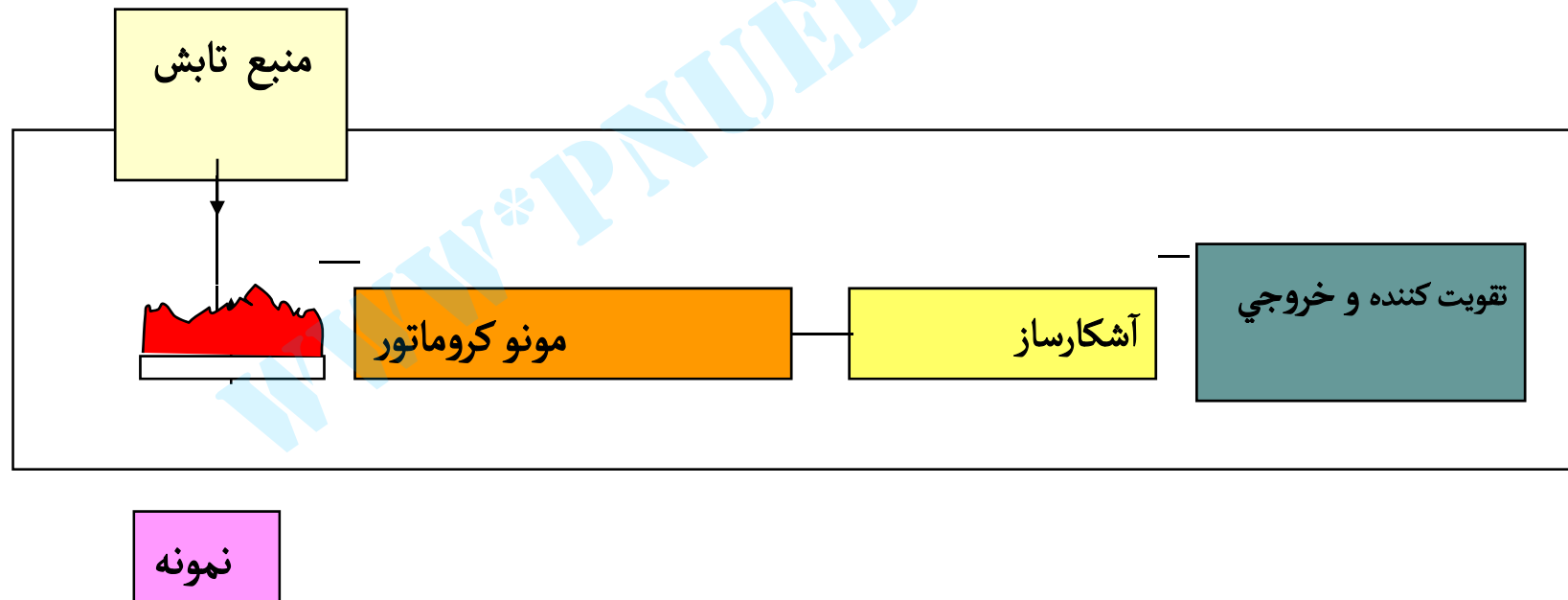
$$c_x = c_s (A_x / (A_T - A_x))$$

$$c_x = (A_x c_s V_s) / ((A_T - A_x) V_x)$$

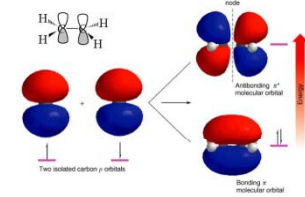
اسپکترومتری فلورسانس اتمی



طرح کلی یک طیف سنج فلورسانس اتمی

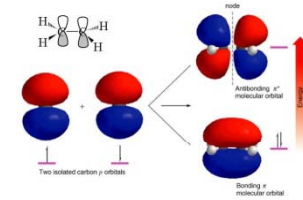


اسپکترومتری فلورسانس اتمی



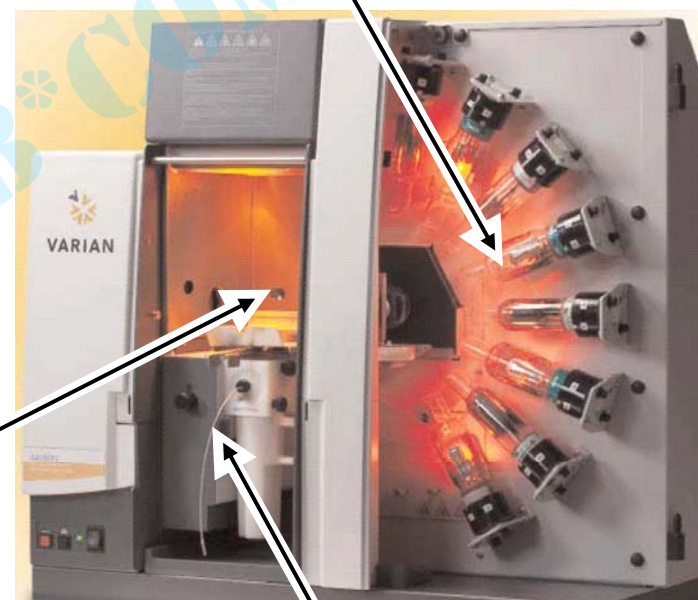
- منبع تابش زاویه ۹۰ درجه نسبت به محور تکفام ساز دارد.
- در این روش می توان از منابع تابش جذب اتمی استفاده نمود ولی لیزر کوک پذیر بهترین منبع محسوب می شود.
- علامت فلورسانس مستقیماً با غلظت متناسب است.

AAS



اتمیزه کننده شعله ای

Hollow cathode lamps

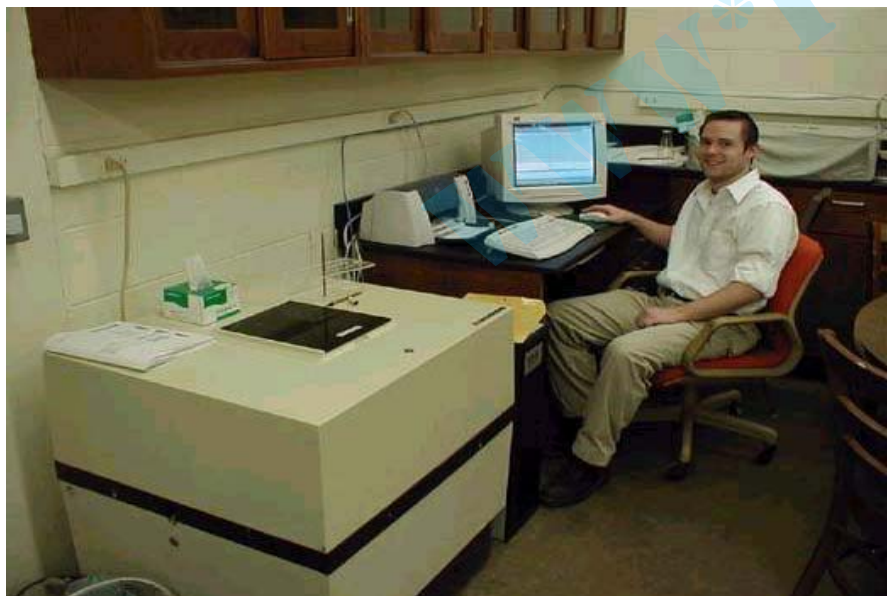


ورود نمونه

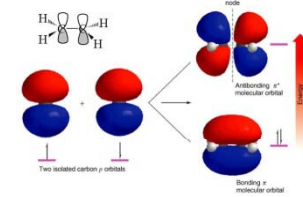


طیف بینی رزونانس مغناطیسی هسته

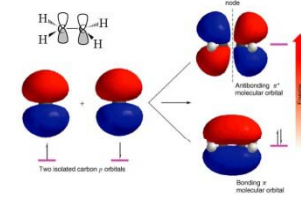
Nuclear Magnetic
Resonance Spectroscopy



هدف از این فصل

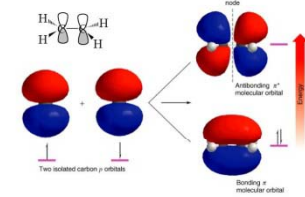


- آشنایی کامل با مبانی نظری طیف بینی رزونانس مغناطیسی هسته ای
- آشنایی با دستگاههای طیف سنج NMR
- کاربرد NMR و FT-NMR در مطالعات کیفی و کمی ترکیبات



- مقدمه
- اسپین هسته
- حالتای انرژی یک هسته در یک میدان مغناطیسی خارجی
- **NMR**
- طیف سنج
- **FT-NMR**
- توزیع بولتزمان
- مکانیسم های آسایش
- جابجایی شیمیایی
- اثر نا ایزوتوبی
- **NMR**
- وابستگی زمانی پدیده
- جفت شدن اسپین – اسپین
- **NMR** های پیک
- **¹³C - NMR**
- طیف

مقدمه

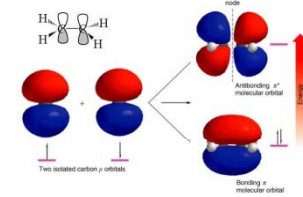


- طیف بینی رزونانس مغناطیسی هسته مربوط به شکافتگی ترازهای انرژی برخی از هسته ها در حضور یک میدان مغناطیسی قوی می باشد.
- **NMR** یک تکنیک قدرتمند برای تجزیه و تحلیل ساختار ترکیبات آلی می باشد.
- برخی از هسته های فعال در **NMR** عبارتند از:

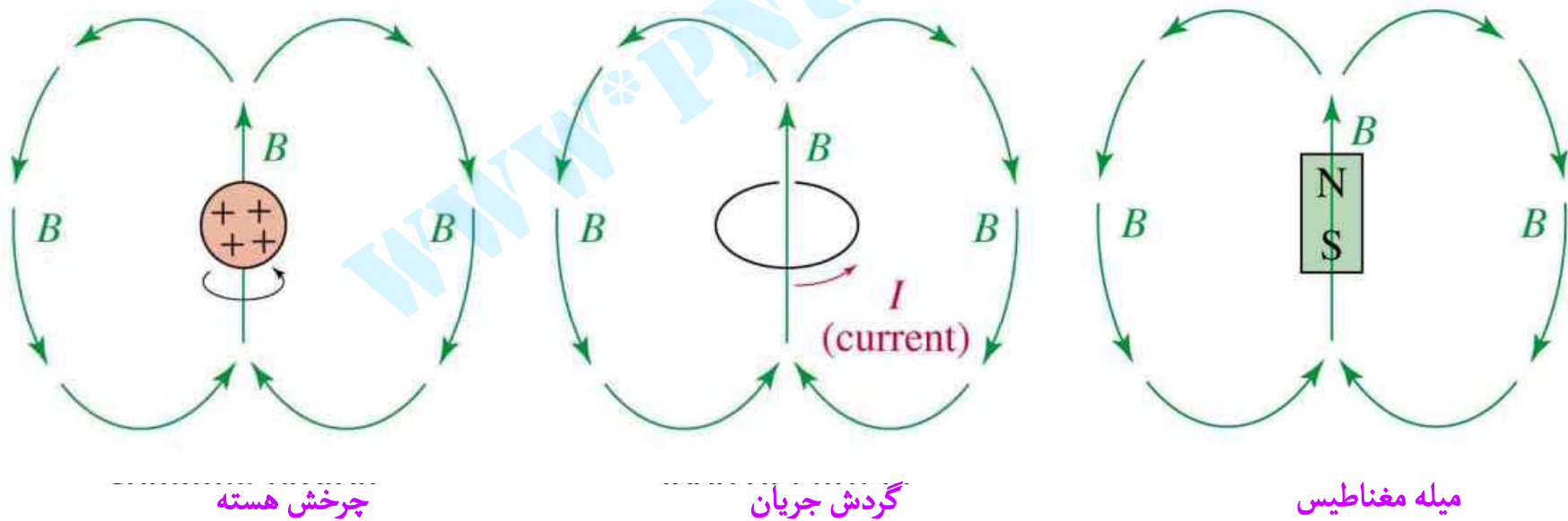
^1H	●
^{13}C	●
^{15}N	●
^{19}F	●
^{31}P	●

Nuclear Spin

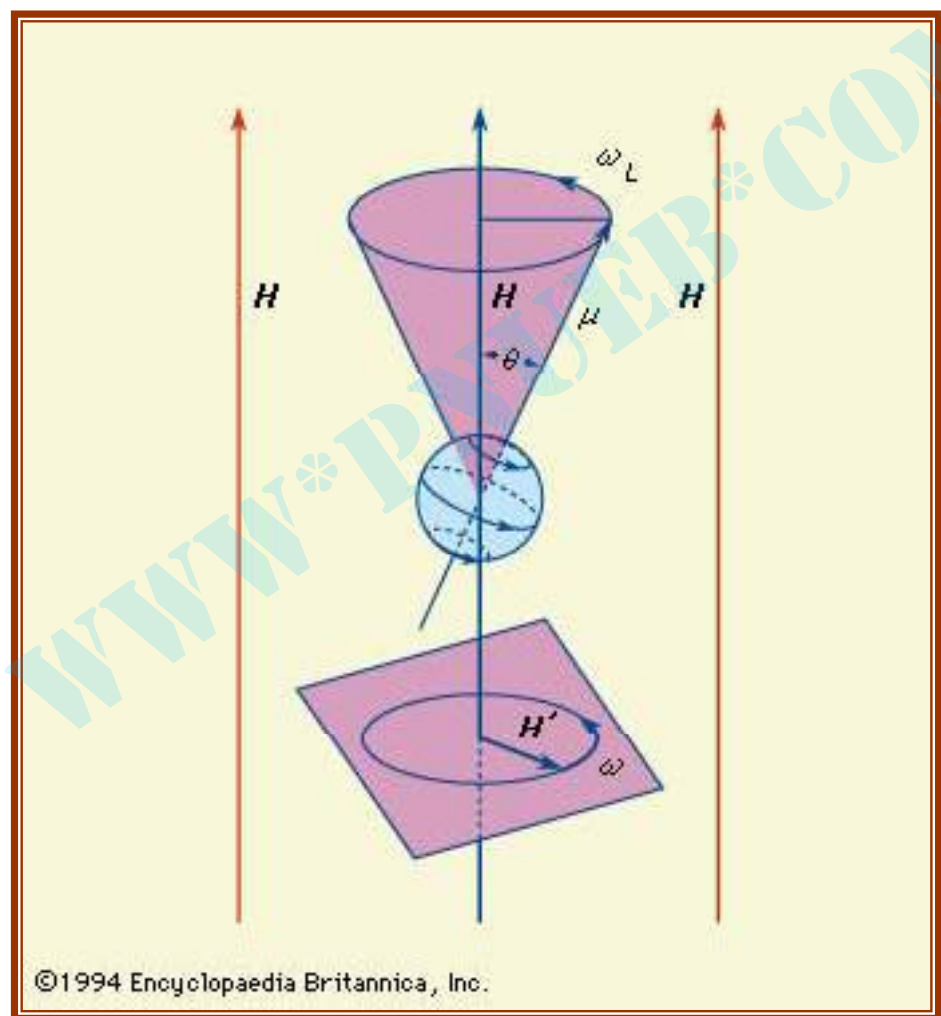
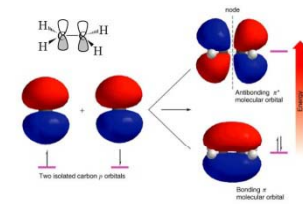
اسپین هسته



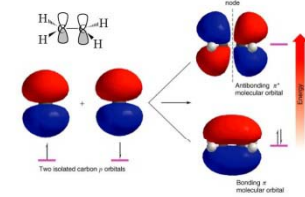
- هسته هایی که عدد اتمی یا عدد جرمی آن فرد باشد دارای اسپین می باشد.
- از گردش هسته های باردار یک گشتاور مغناطیسی به وجود می آید بنابراین اینگونه هسته ها مشابه یک میله مغناطیس در یک میدان مغناطیسی عمل می کنند.



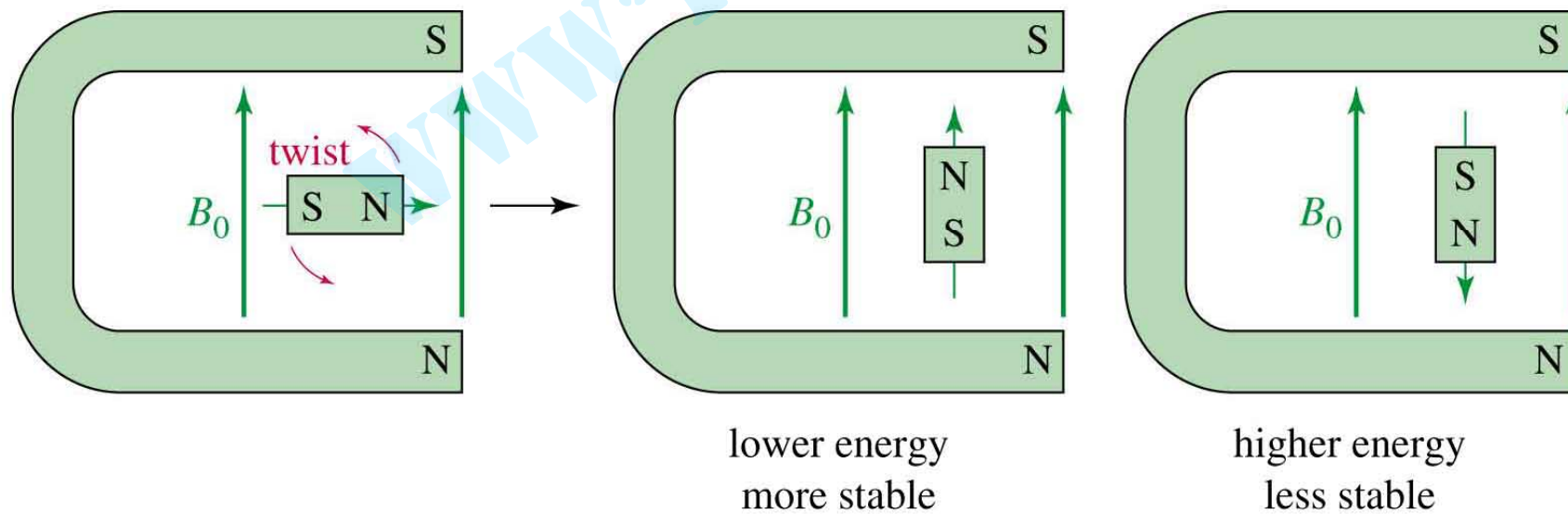
حرکت تقدیمی در یک میدان خارجی



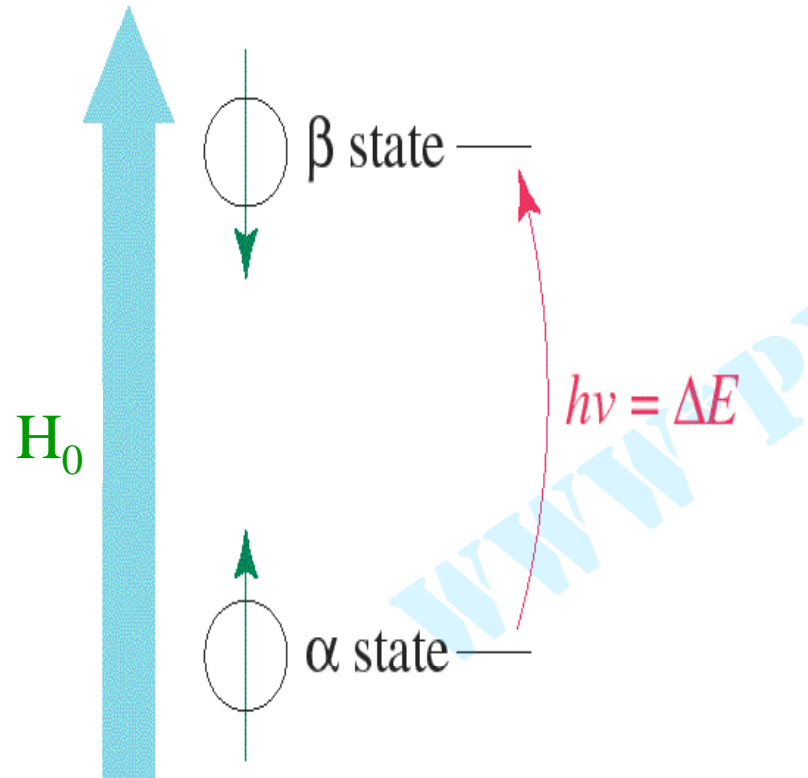
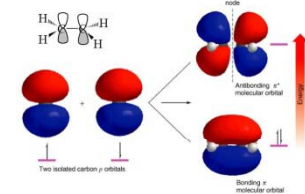
حالتهای انرژی یک هسته در یک میدان مغناطیسی خارجی



- برای هسته های با $\frac{1}{2}$ = (مانند پروتون)، $\frac{1}{2} + \frac{1}{2}$ = 1 (۲/۱) جهت گیری امکانپذیر می باشد بنابراین پروتون مشابه با یک میله مغناطیس در یک میدان مغناطیسی عمل می کند.



حالتهای انرژی یک هسته با اسپین ۱/۲



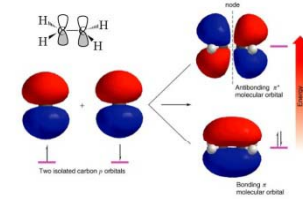
میدان مغناطیسی هسته چرخان می تواند دو جهت گیری با انرژی متفاوت داشته باشد.

مغناطیس در هر دو جهت گیری موازی و ضدموازی در یک میدان به شدت H_0 حالت ثابت و ساکن نخواهد داشت بلکه با سرعت زاویه ای ω_0 دارای حرکت تقدیمی است.

$$\omega_0 = \gamma H_0$$

انرژی مربوط به گذارهای هسته ای از رابطه $\Delta E = h\nu$ بدست می آید.

ΔE قدرت میدان مغناطیسی و



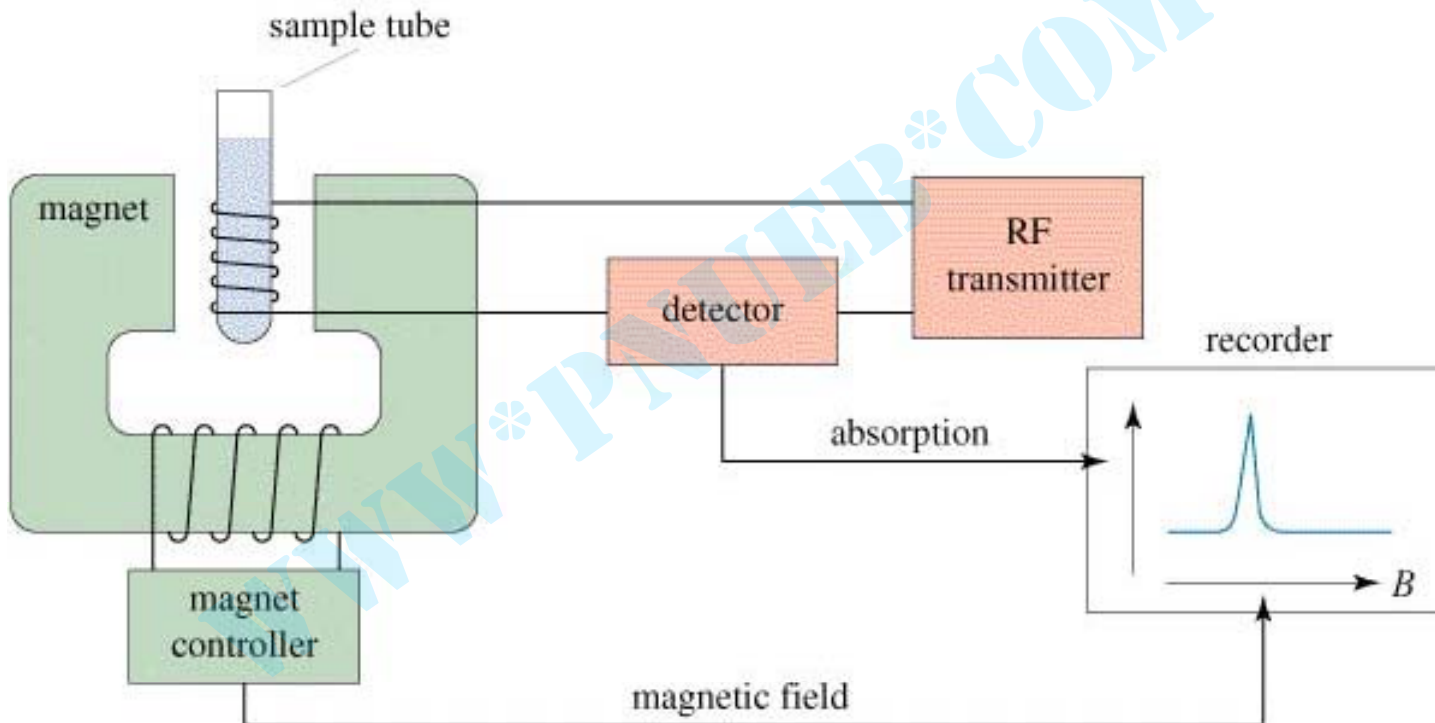
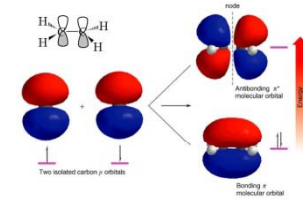
اختلاف انرژی متناسب با قدرت میدان مغناطیسی می باشد.

$$\Delta E = h\nu = \gamma \frac{h H_0}{2\pi}$$

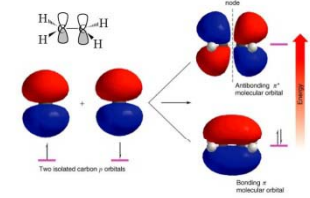
$26753 \text{ s}^{-1} \text{ gauss}^{-1}$ نسبت ژیرومغناطیس است که برای پروتون می باشد.

در یک میدان 140.92 گوس پروتونها در حوالی فرکانس 60 MHz رزونانس می کند.

NMR طیف سنج



NMR طیف سنج



مغناطیس دائمی یا سلنویید فوق هادی

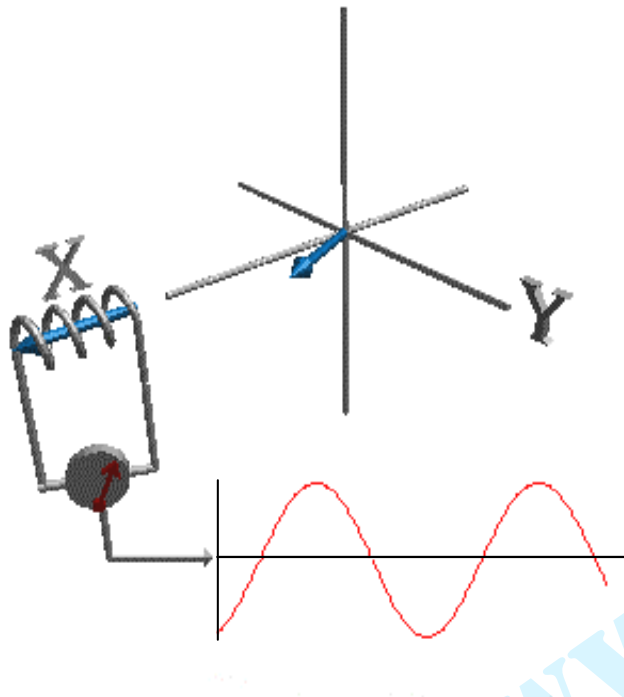
برای ایجاد یک میدان مغناطیسی قوی ، پایدار و یکنواخت (G۱۴۰۰)

مولد پیماش

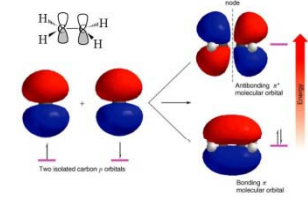
برای تغییر دادن میدان مغناطیسی در یک محدوده کوچک (G۰۰۱٪)

برای حذف غیریکنواختی میدان مغناطیسی لوله محتوی نمونه درستگاه NMR با سرعت بالا می چرخد.

NMR طیف سنج



حرکت قلم ثبات در جهت محور X با مولد پیمایش همزمان سازی شده و درجهت Y توسط علامت دریافت شده از پیچه گیرنده می باشد.

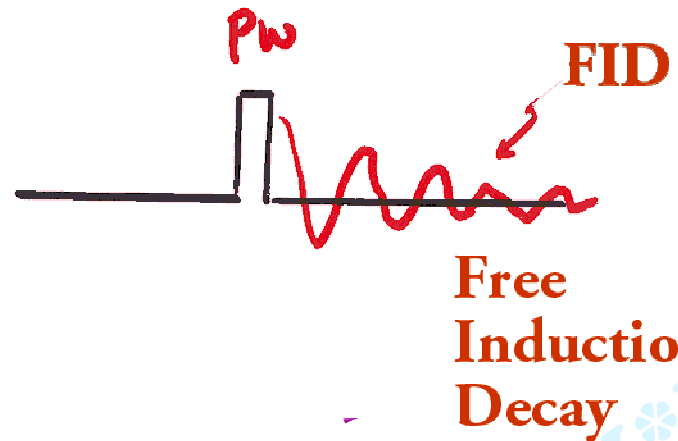
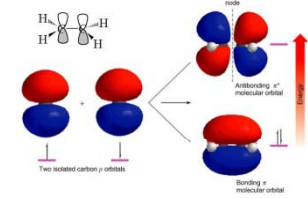


- پیچه فرستنده که با پیچه های پیمایش زاویه ۹۰ درجه دارند.

- پیچه گیرنده که در اطراف نمونه بوده و در جهت عمود با پیچه های دیگر است.

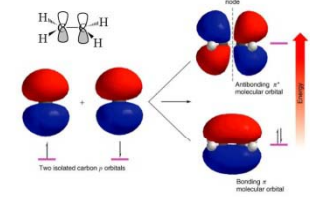
- ثبات

FT-NMR

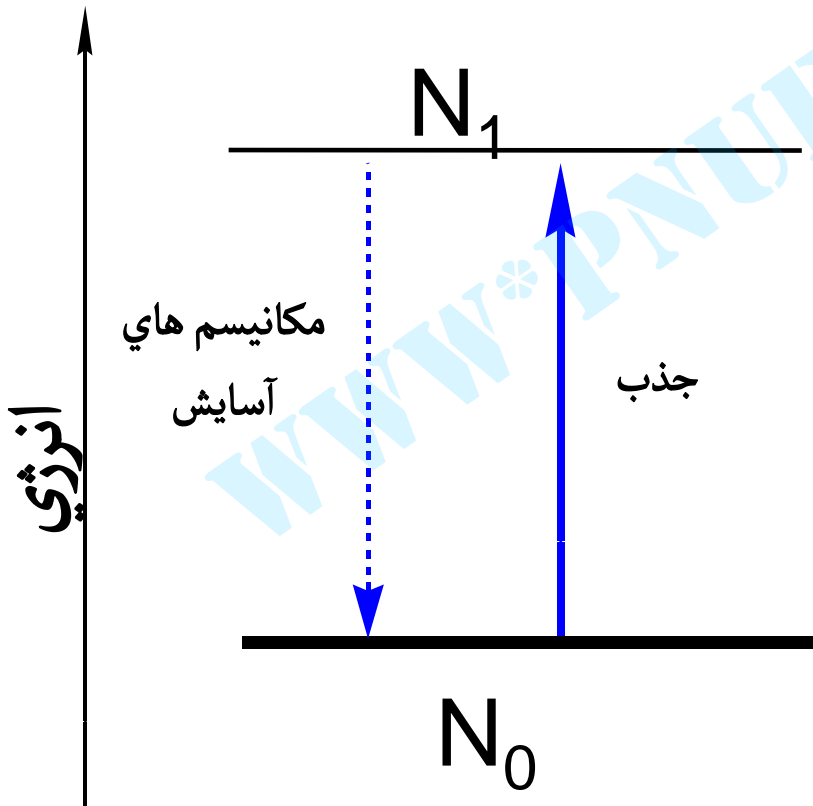


- در روش FT یک پالس بسیار پر انرژی در تمام محدوده فرکانسها به صورت همزمان اعمال می شود.
- همه هسته ها بر انگیخته شده و با گذشت زمان به حالت اولیه بر می گردد.
- با جمع آوری جریان القایی حاصل به صورت تابعی از زمان یک طیف حوزه زمانی به نام FID به دست می آید.

توزيع بولتزمان

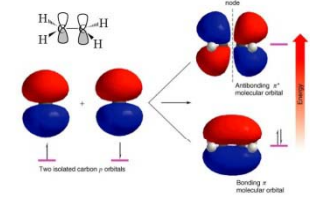


$$\frac{\text{population}(j)}{\text{population}(0)} = \frac{N_j}{N_0} = \exp\left\{-\frac{E_j}{kT}\right\}$$



در NMR نسبت N_1/N_0 تقریباً $1/10000$ می باشد

mekanisemehay-e-asayesh



Spin-Spin Relaxation

آسایش اسپین - اسپین (T_2)

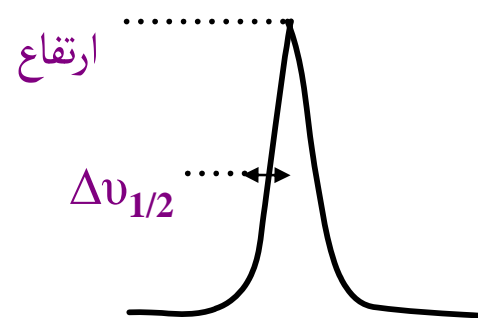
در این نوع آسایش انرژی بوسیله تبادل انرژی یعنی بوسیله انتقال به اسپینهای مجاور از دست داده می شود.

این مکانیسم در جامدات که در آنها هسته های مغناطیسی نزدیک یکدیگرند بسیار موثر است.

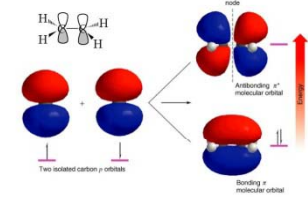
هرچه مقدار T_2 کوچکتر باشد خطوط طیفی پهن تر می شود.

$$\Delta v_{1/2} = \frac{1}{\pi T_2}$$

پهناي خط طيفي



مکانیسم‌های آسایش



Spin-Lattice Relaxation

آسایش اسپین - شبکه (T_1)

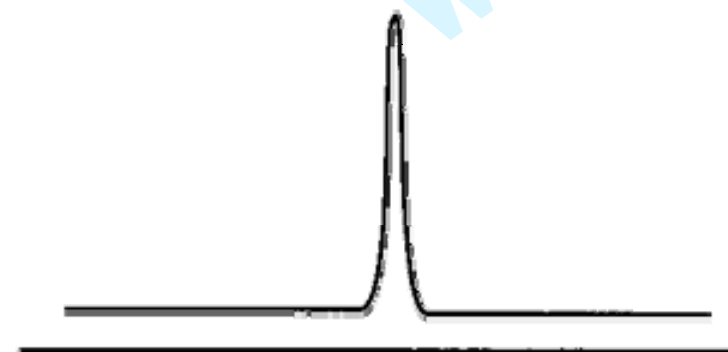
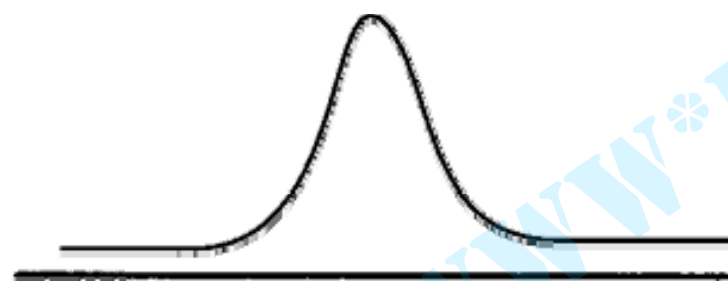
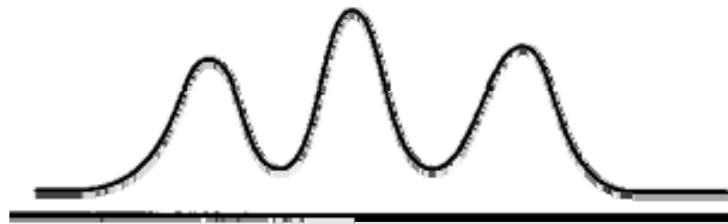
- در این مکانیسم انرژی با انتقال به شبکه به صورت بین مولکولی یا درون مولکولی دفع می شود.
- این مکانیسم در مورد گازها، مایعات و محلولها عمل می کند و آنقدر موثر است که خطوط طیفی باریک با تفکیک بالا به دست می آید.

$$\Delta v_{1/2} \simeq \frac{1}{\pi T_1}$$

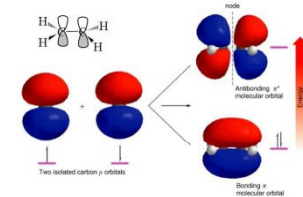
پهناي خط طيفي



الگوی رزونانس پروتون



تأثیر آسایش در هسته های چهارقطبی



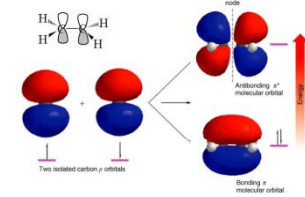
سرعت آسایش بین حالت‌های اسپین ^{14}N در مقایسه با \mathbf{J}_{NH} کمتر است.

سرعت آسایش بین حالت‌های اسپین ^{14}N در مقایسه با \mathbf{J}_{NH} بیشتر است.

سرعت آسایش بین حالت‌های اسپین ^{14}N در مقایسه با \mathbf{J}_{NH} خیلی بیشتر است.

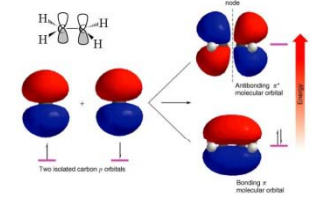
Chemical Shift

جابجایی شیمیایی

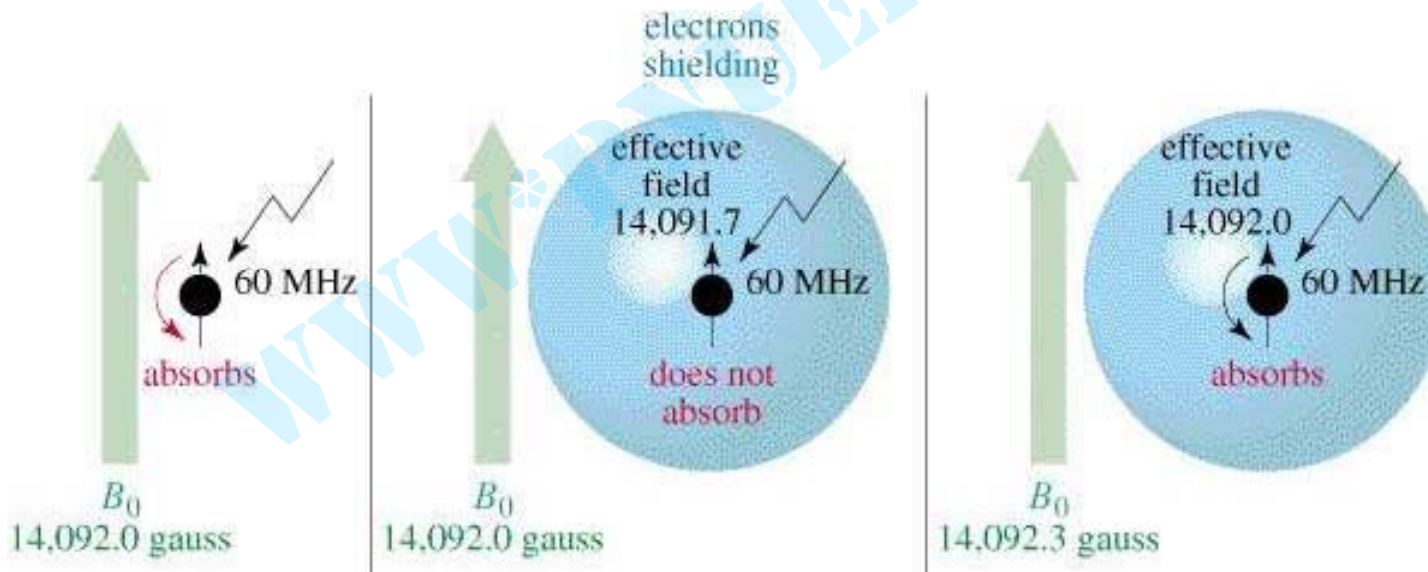


- جابجایی شیمیایی انعکاسی از ساختمان مولکولی می باشد. فرکانس دقیق رزونانس هر پروتون به محیط شیمیایی اطراف آن بستگی دارد.
- جابجایی شیمیایی هر پروتون را می توان به صورت فاصله علامت طیفی پروتون مورد نظر بر حسب هرتز (Hz) نسبت به علامت طیفی TMS بیان نمود.

جابجایی شیمیایی



قدرت میدان مغناطیسی باید برای یک پروتون محافظت شده افزایش پابده تا پروتون در همان فرکانس قبلی به رزونانس درآید.

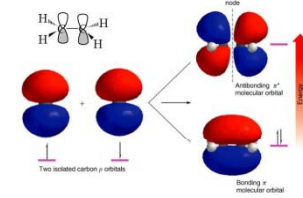


پروتون ناپوشیده در 140.92 G رزونانس می کند.

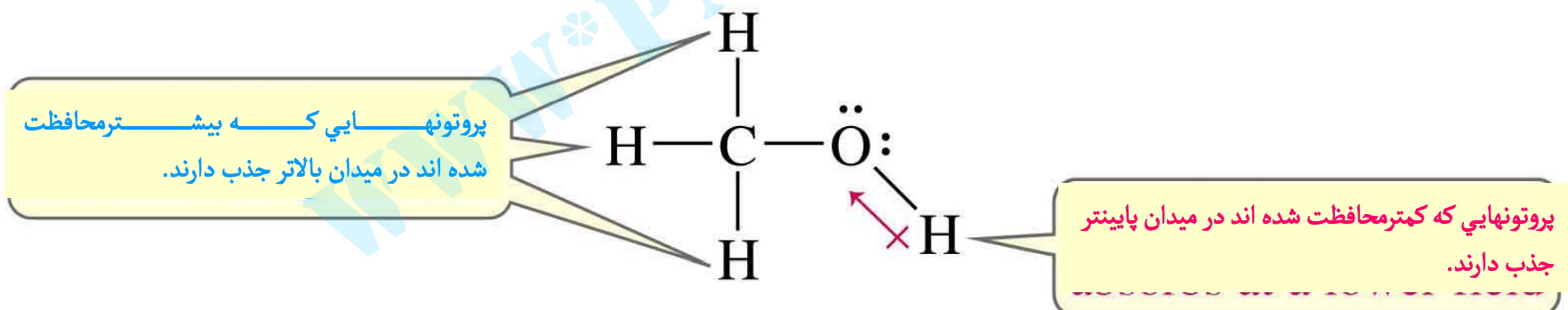
پروتون محافظت شده میدان کمتر از 140.92 احساس می کند.

میدان بالاتر (140.92 G) برای جبران اثر حفاظت شدگی می باشد.

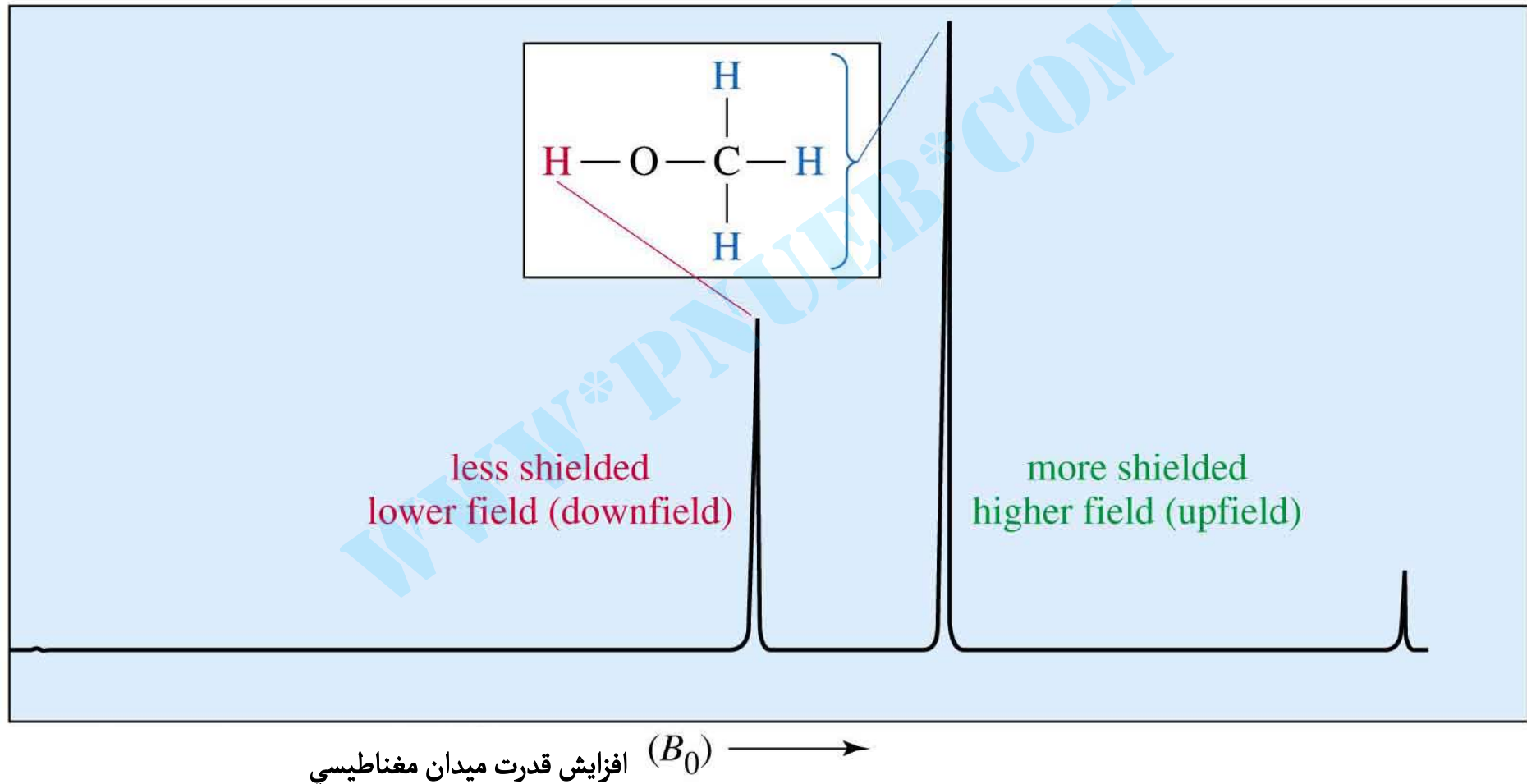
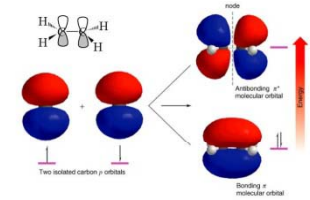
جابجایی شیمیایی



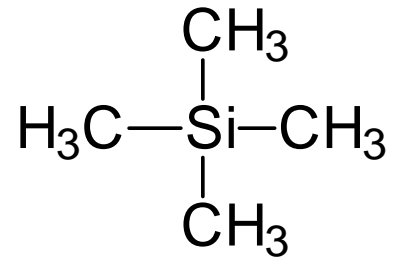
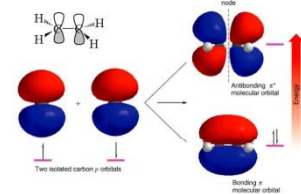
با توجه به محیط شیمیایی، پروتونها در یک مولکول به طور متفاوتی
محافظت شده اند و در فرکانس‌های متفاوتی رزونانس دارند.



طيف NMR



استاندارد داخلی در NMR

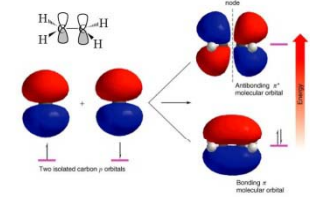


Tetramethylsilane(TMS)

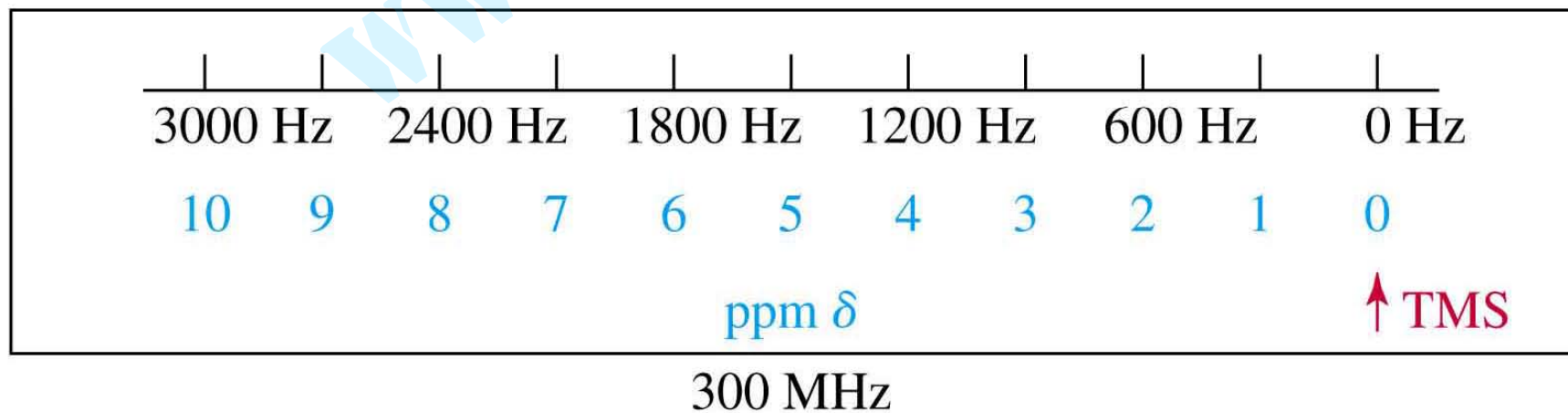
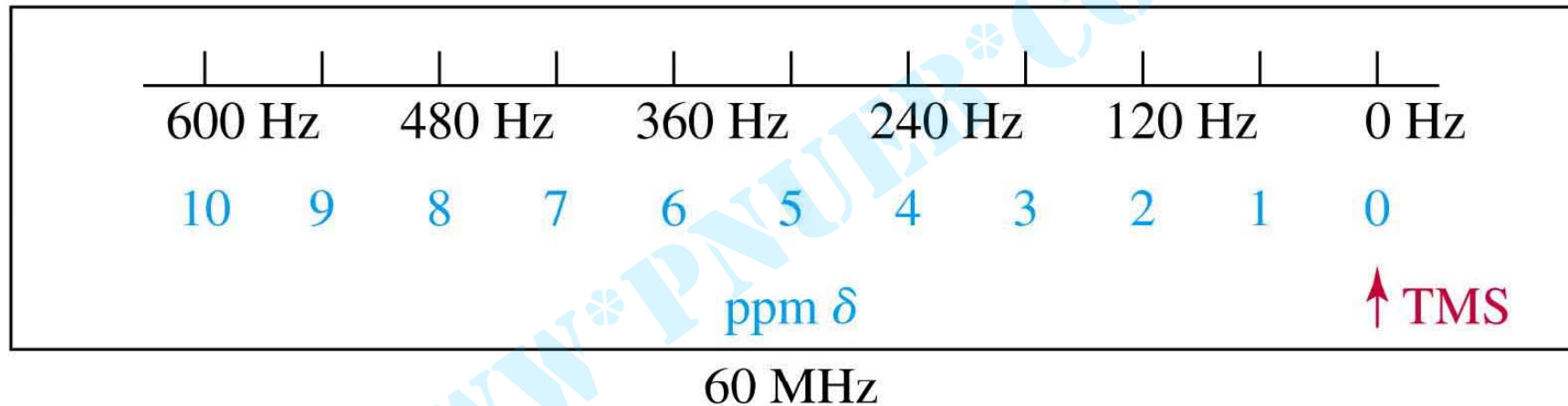
- TMS به عنوان استاندارد داخلی نمونه اضافه می شود.
- TMS مولکولی متقارن است و به علت پروتونهای هم ارزیک پیک تیز و مشخص دارد.
- TMS یک مایع بی اثر و زود جوش است که هیچ اثربخش بر ترکیب مورد آزمایش ندارد.
- چون سیلیس الکترونگاتیوی کمتری از کربن دارد پروتونهای TMS کاملا حفاظت شده اند، پیک این پروتونها بر حسب ppm صفر در نظر گرفته می شود.

Delta Scale

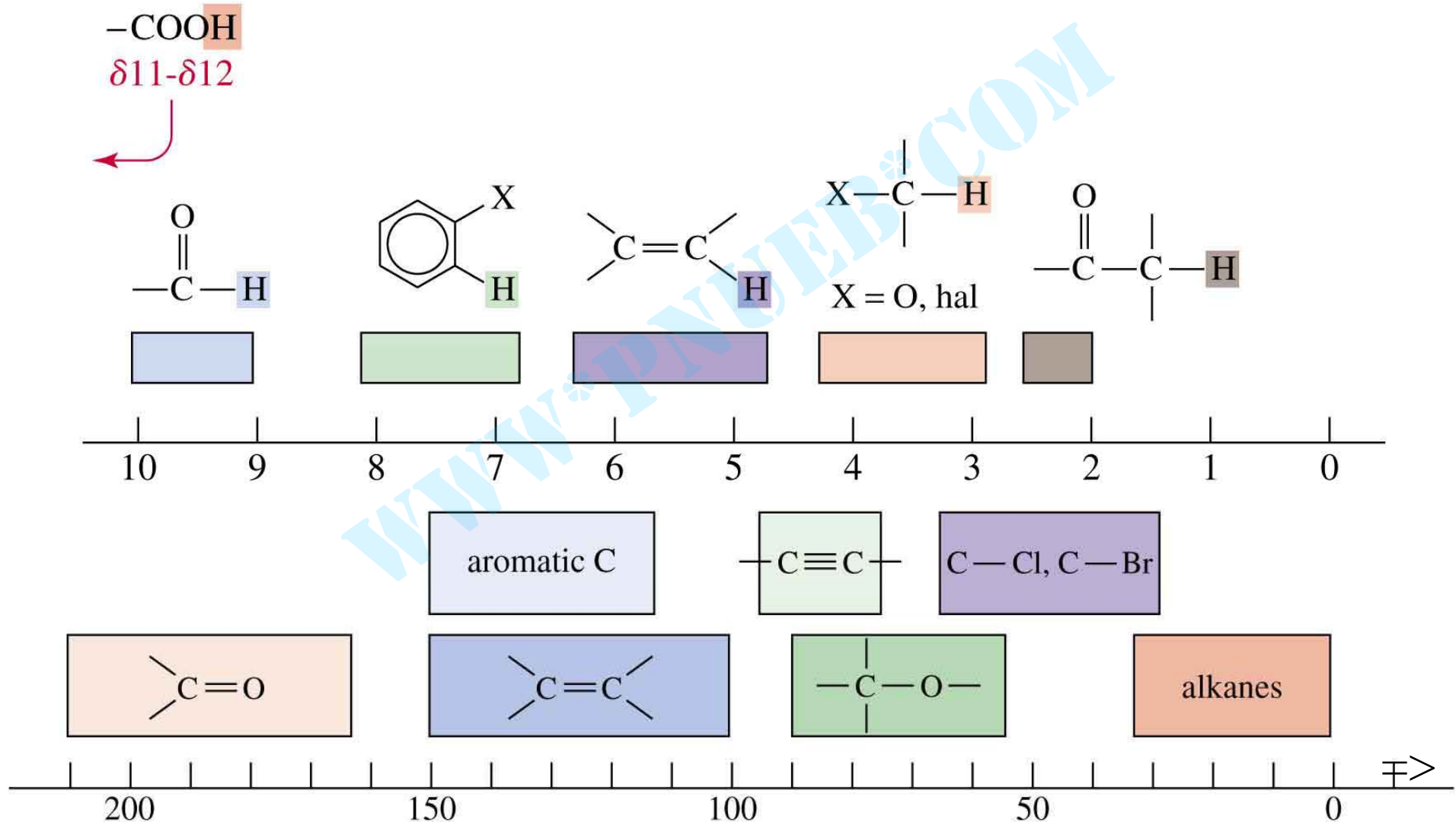
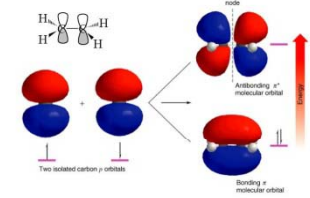
مقیاس دلتا (δ)



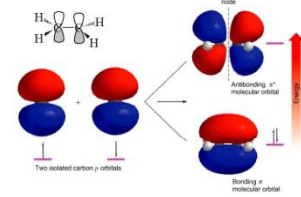
$$\text{chemical shift, ppm } \delta = \frac{\text{shift downfield from TMS (in Hz)}}{\text{spectrometer frequency (in MHz)}}$$



جابجایی شیمیایی هیدروژن و کربن



موقعیت علامتهای طیفی

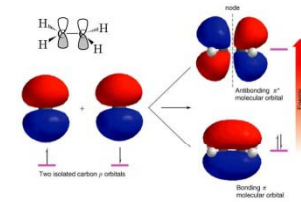


اختلاف شیمیایی	جابجایی	ترکیب
$\text{H}-\text{C}-\text{H}$	$\delta 0.2$	2.8 ppm
$\text{H}-\text{C}-\text{Cl}$	$\delta 3.0$	2.3 ppm
$\text{H}-\text{C}-\text{Cl}$	$\delta 5.3$	1.9 ppm
$\text{H}-\text{C}-\text{Cl}$	$\delta 7.2$	

■ میزان نپوشیدگی، تابعی از توزیع الکترونی در پیوندی که هیدروژن را به بقیه مولکول متصل می کند می باشد.

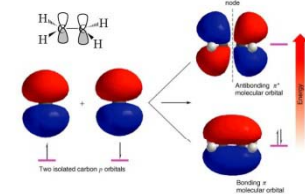
■ پروتونهای متان حفاظت شده تر از پروتونهای متیل هستند و در نتیجه در میدان بالاتری رزونانس دارند.

ppm جابجایی شیمیایی پروتونها (در مقیاس δ)



Type of Proton	Approximate δ	Type of Proton	Approximate δ
alkane ($-\text{CH}_3$)	0.9	$>\text{C}=\text{C}\backslash$ CH_3	1.7
alkane ($-\text{CH}_2-$)	1.3	$\text{Ph}-\text{H}$	7.2
alkane ($-\text{CH}-$)	1.4	$\text{Ph}-\text{CH}_3$	2.3
$\begin{array}{c} \text{O} \\ \parallel \\ -\text{C}-\text{CH}_3 \end{array}$	2.1	$\text{R}-\text{CHO}$	9–10
$-\text{C}\equiv\text{C}-\text{H}$	2.5	$\text{R}-\text{COOH}$	10–12
$\text{R}-\text{CH}_2-\text{X}$ (X = halogen, O)	3–4	$\text{R}-\text{OH}$	variable, about 2–5
$>\text{C}=\text{C}\backslash$ H	5–6	$\text{Ar}-\text{OH}$	variable, about 4–7
		$\text{R}-\text{NH}_2$	variable, about 1.5–4

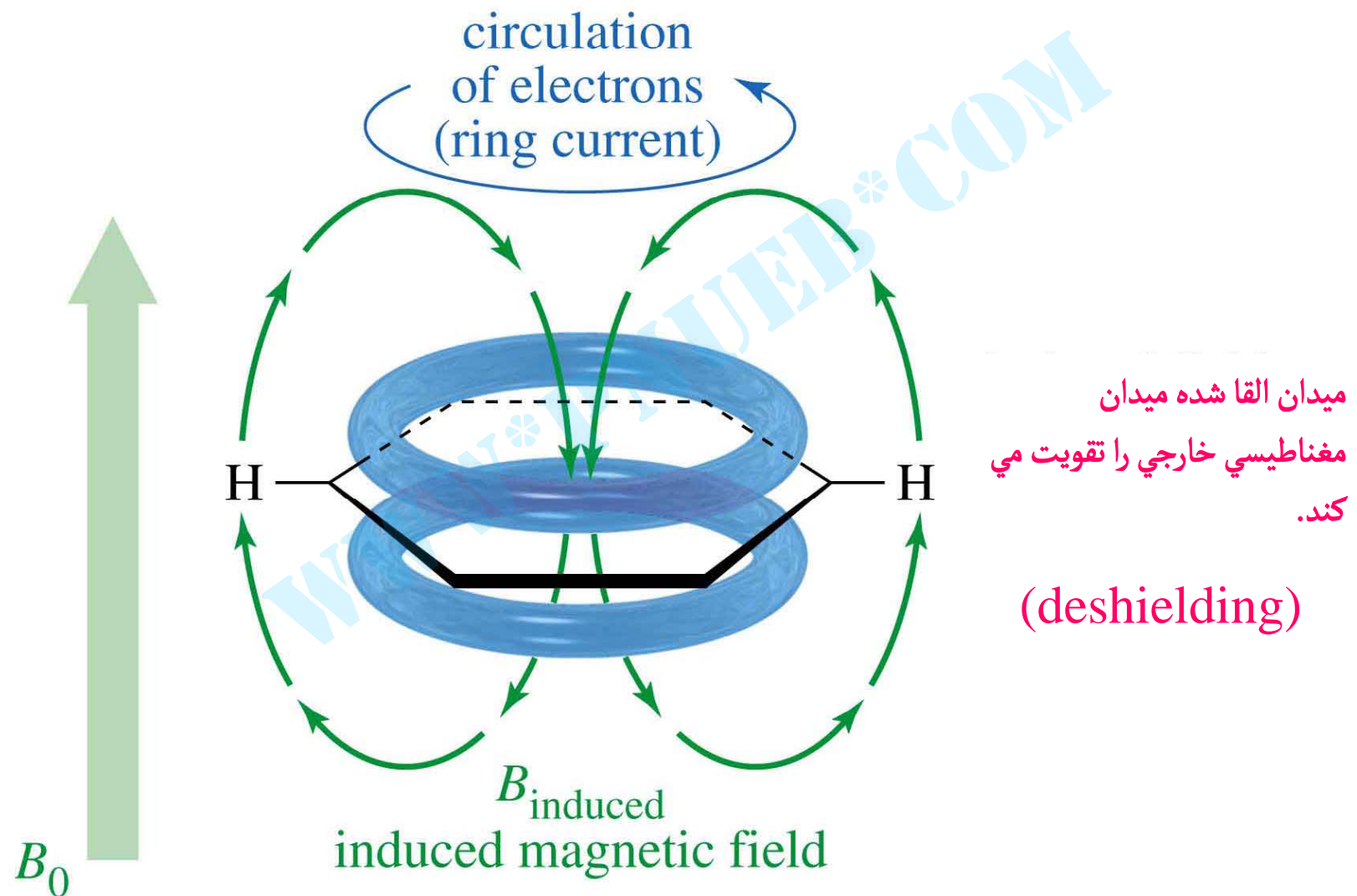
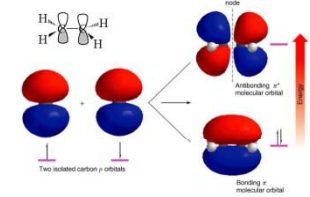
اثر نا ایزوتوپی



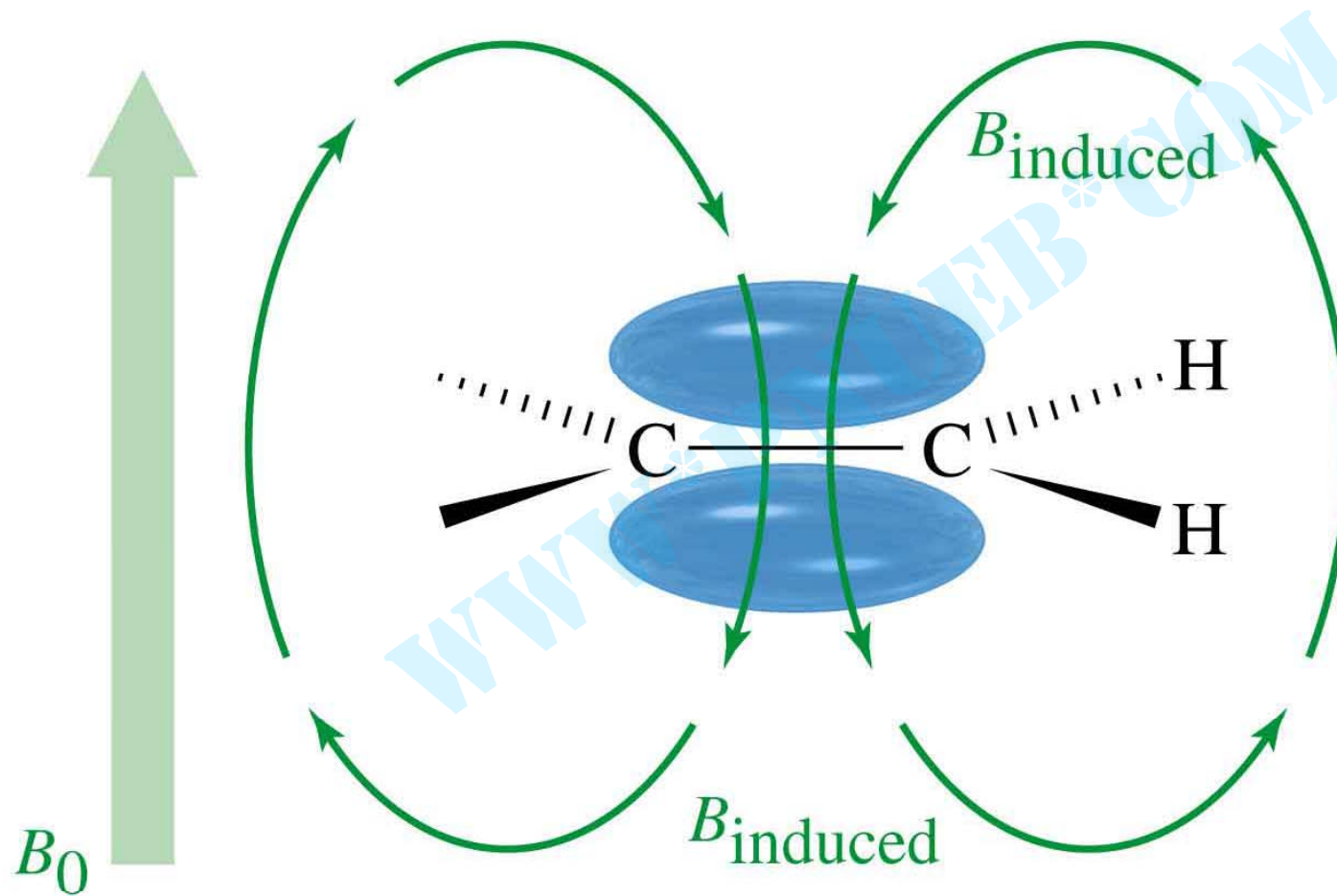
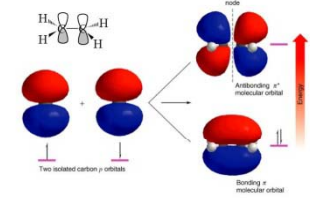
■ اثر نایزوتوپی مربوط به گروههای همسایه ای است که از نظر مغناطیسی نا ایزوتوپ هستند.

■ گروه زمانی از نظر مغناطیسی نایزوتوپ است که چرخش الکترونها در آن به به جهت گیری آن نسبت به میدان بستگی داشته باشد.

چرخش القا شده در الکترونهای π حلقه بنزن



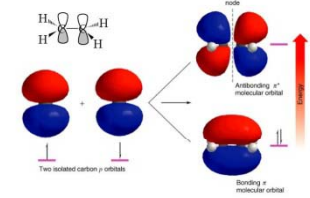
پروتونهای گروه وینیل



میدان القا شده میدان
مغناطیسی خارجی را تقویت می
کند.

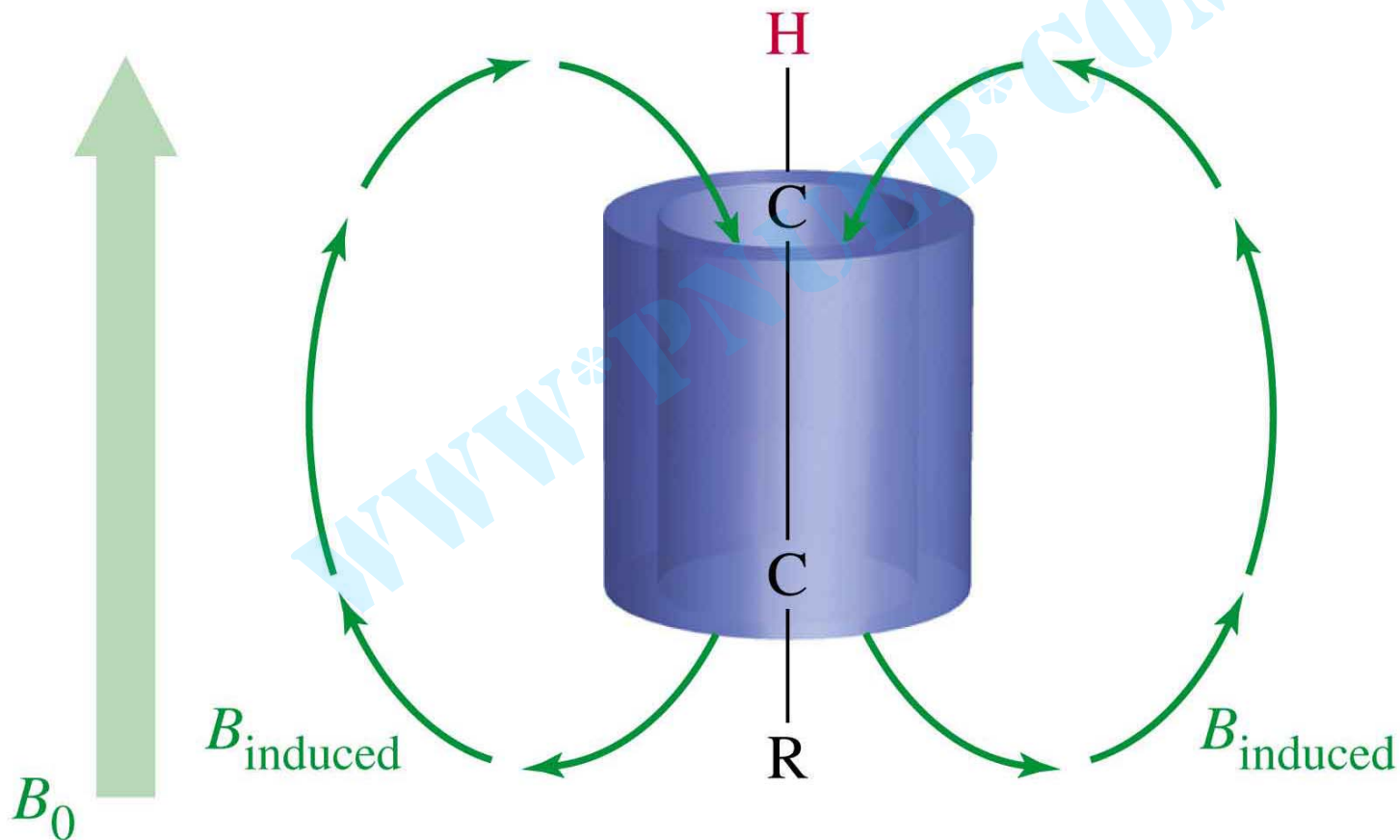
(deshielding)

پروتونهای استیلینی



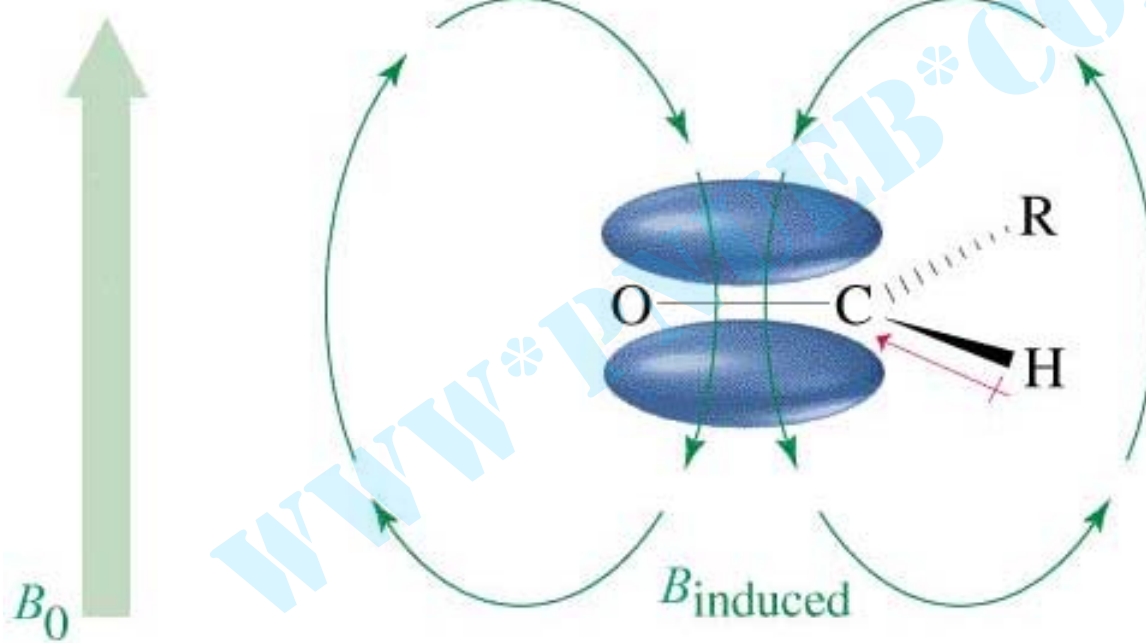
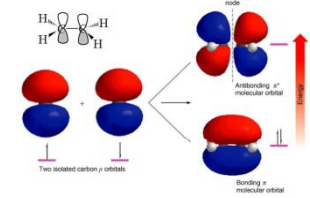
میدان القا شده میدان مغناطیسی خارجی را تضعیف می کند.

(shielding)



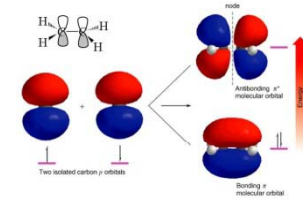
Aldehyde Proton

پروتون آلدئیدی



میدان القا شده میدان
مغناطیسی خارجی را تقویت می
کند.
(deshielding)

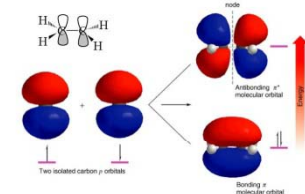
NMR وابستگی زمانی پدیده



■ آرایش مولکولها نسبت به میدان مغناطیسی تغییر می کند به گونه ای که NMR طیف متوسط تمام جهت گیری ها می باشد.

■ اگر دو پروتون به فاصله $\Delta\nu$ هرتز ، محیط خود را با سرعتی بیشتر از $\Delta\nu$ بار در ثانیه عوض کنند ، یک پیک در یک فرکانس متوسط بدست می آید.

NMR وابستگی زمانی پدیده



■ مهمترین مکانیسم‌های تعویض پروتونهای معادل در مقیاس زمانی NMR:

■ تبادل پروتونی

مثال: در مخلوط آب و اتانول فقط یک علامت برای پروتون هیدروکسیلی دیده می شود.

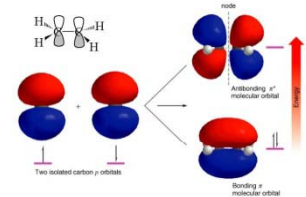
■ تغییرات کنفورماسیونی

مثال: در دمای معمولی طیف NMR سیکلوهگزان دارای یک خط طیفی است.

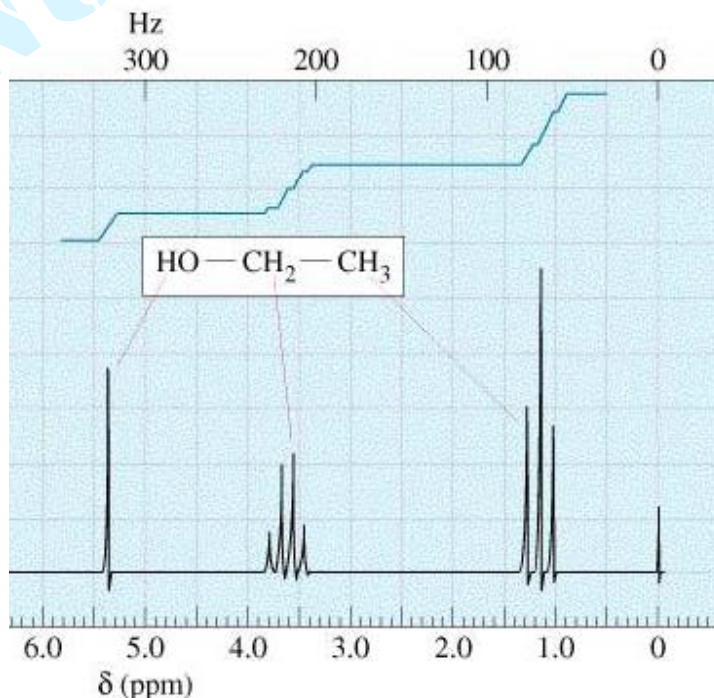
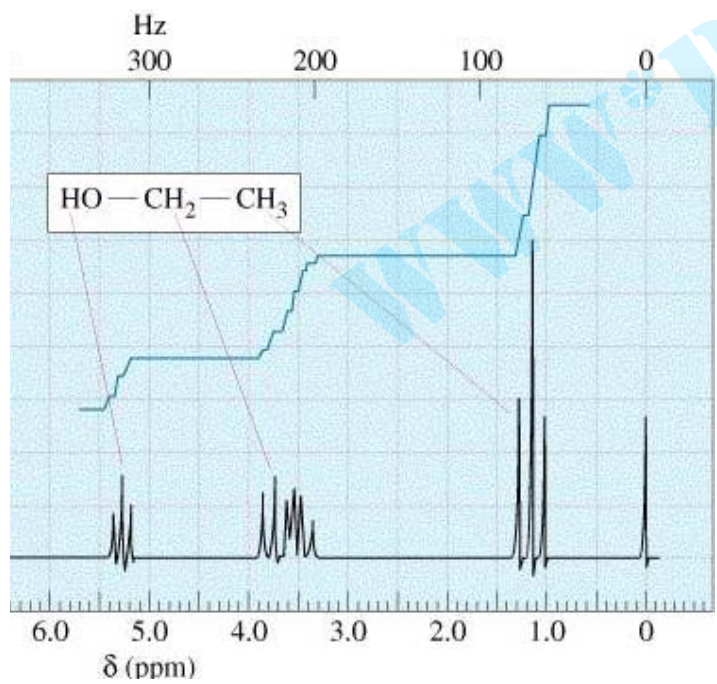
■ چرخش حول پیوندها

مثال: در دمای پایین دو گروه متیل در N_2N -دی متیل فرمامید دو علامت مستقل دارند که در دمای بالاتر درهم می روند.

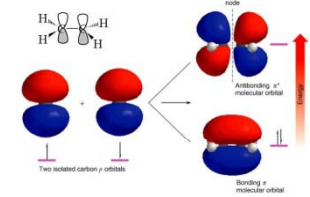
تبادل پروتون هیدروکسیل در اتانول



- اتانول با خلوص بالا برای پروتون هیدروکسیل شکافتگی نشان می دهد.
- اتانول در حضور آب یا مقدار جزیی اسید یا باز یک پیک یک تایی (Singlet) نشان می دهد.



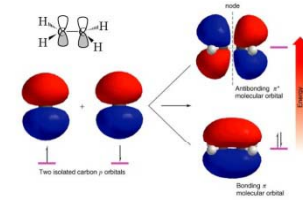
طیفهای O-H و N-H



- جابجایی شیمیایی به غلظت بستگی دارد.
- پیوند هیدروژنی در محلولهای غلیظ پروتونها را ناپوشیده (deshielded) می کند بطوریکه علامت طیفی برای O-H در $\delta=3.5$ و برای N-H در $\delta=4.5$ دیده می شود.
- تبادل پروتون بین مولکولها، پیک را پهن می کند. افزایش درجه حرارت موجب تعویض سریع پروتونها میشود.
- افزایش D_2O به نمونه موجب ناپدید شدن علایم طیفی OH- و NH₂- می شود.

Spin-Spin Coupling

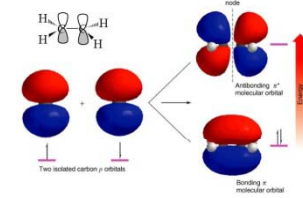
جفت شدن اسپین - اسپین



- پروتونهای غیر هم ارز روی کربنهای مجاور میدانهای مغناطیسی دارند که مخالف یا موافق میدان خارجی است.
- قدرت برهمکنش بین پروتونهای مجاور با پارامتر J ، ثابت جفت شدن، و بر حسب هرتزیان می شود و به ارتباط های الکترونیکی و فضایی پروتونها بستگی دارد و تابع فرکانس طیف سنج نیست.
- این کوپلاز مغناطیسی باعث می شود پروتونها در میدانهای پایینتری (زمانیکه میدان خارجی تقویت می شود) یا میدانهای بالاتری (زمانیکه میدان خارجی تضعیف می شود) رزونانس کنند و طیف شکافته شود.

Coupling Constants

ثابت جفت شدن

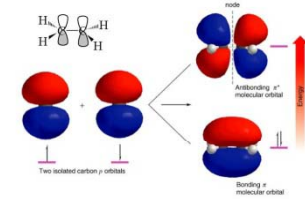


■ فاصله بین پیکهای چند تایی برحسب Hz

■ ثابت جفت شدن به قدرت میدان خارجی بستگی ندارد.

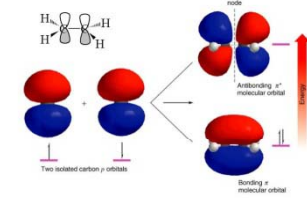
■ اگر دو پروتون با بیش از چهار پیوند از هم جدا شده باشند، جفت شدن اسپین - اسپین قابل ملاحظه ای بین آنها مشاهده نمی شود.

ثابت جفت شدن



	Approx. J
$\begin{array}{c} & \\ -C & -C - \\ & \\ H & H \end{array}$ (free rotation)	7 Hz ^a
$\begin{array}{c} \diagup & \diagdown \\ H & C = C & H \\ \diagdown & \diagup \\ H & & H \end{array}$ (cis)	10 Hz
$\begin{array}{c} \diagup & \diagdown \\ H & C = C & H \\ \diagdown & \diagup \\ H & & H \end{array}$ (trans)	15 Hz
$\begin{array}{c} \diagup & \diagdown \\ & C = C & H \\ \diagdown & \diagup \\ & H & H \end{array}$ (geminal)	2 Hz
$\begin{array}{c} & \diagup & \diagdown \\ & C & = C & H \\ & \diagdown & \diagup \\ & H & & H \end{array}$ (allylic)	6 Hz
$\begin{array}{c} & H \\ & \\ & C_6H_5 & \\ & \\ H & \end{array}$ (ortho)	8 Hz
$\begin{array}{c} H \\ \\ C_6H_5 \\ \\ H \end{array}$ (meta)	2 Hz

NMR پیک های



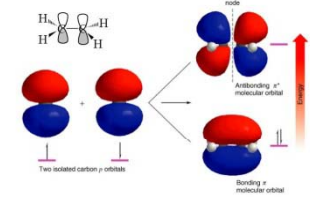
■ تعداد پیکها نشان می دهد چند نوع پروتون وجود دارد.

■ موقعیت پیک ها پوشیدگی یا نپوشیدگی پروتونها را نشان می دهد.

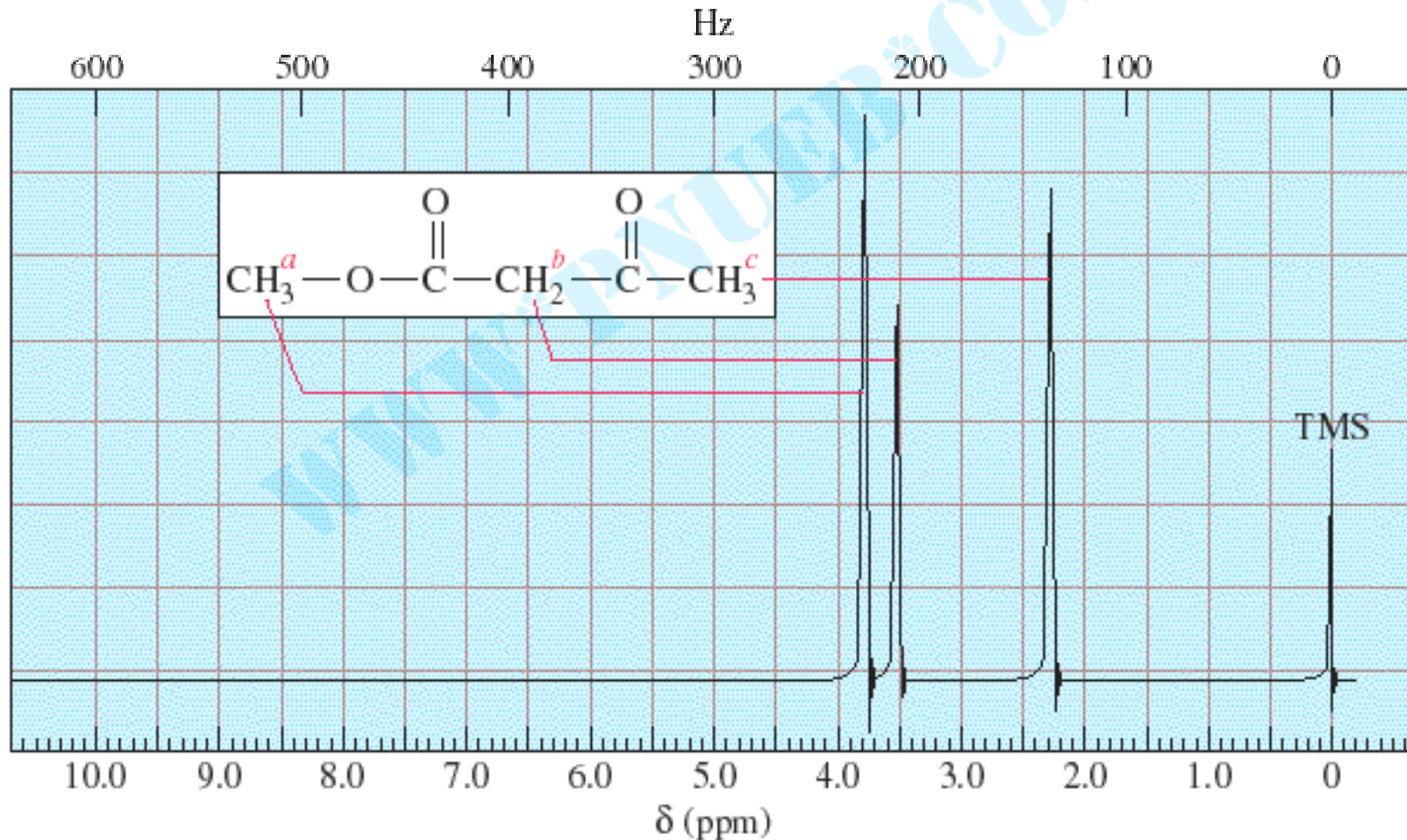
■ شدت پیکها تعداد پروتونهای یکسان را نشان می دهد.

■ شکافتگی پیکها تعداد پروتونهای مجاور را نشان می دهد.

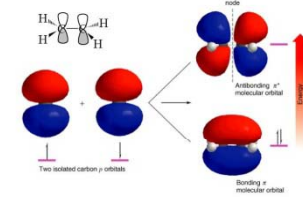
تعداد پیک ها



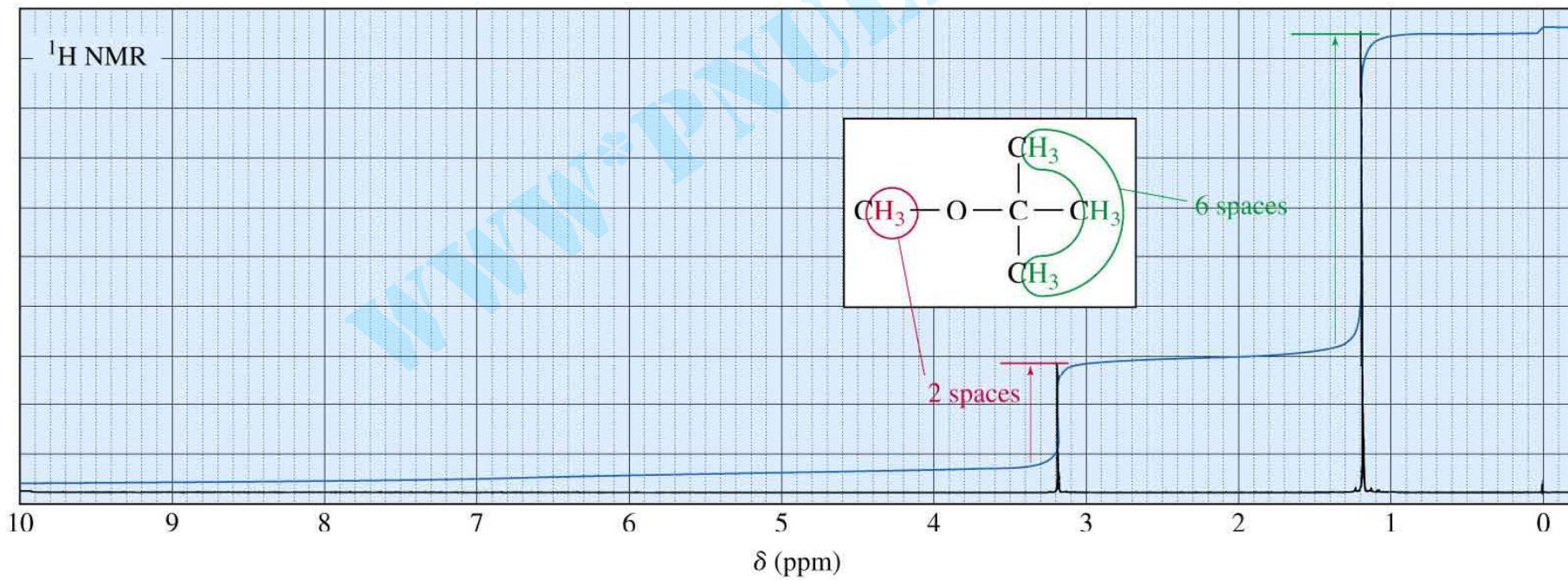
■ هیدروژنهای هم ارز جابجایی شیمیایی یکسانی دارند.



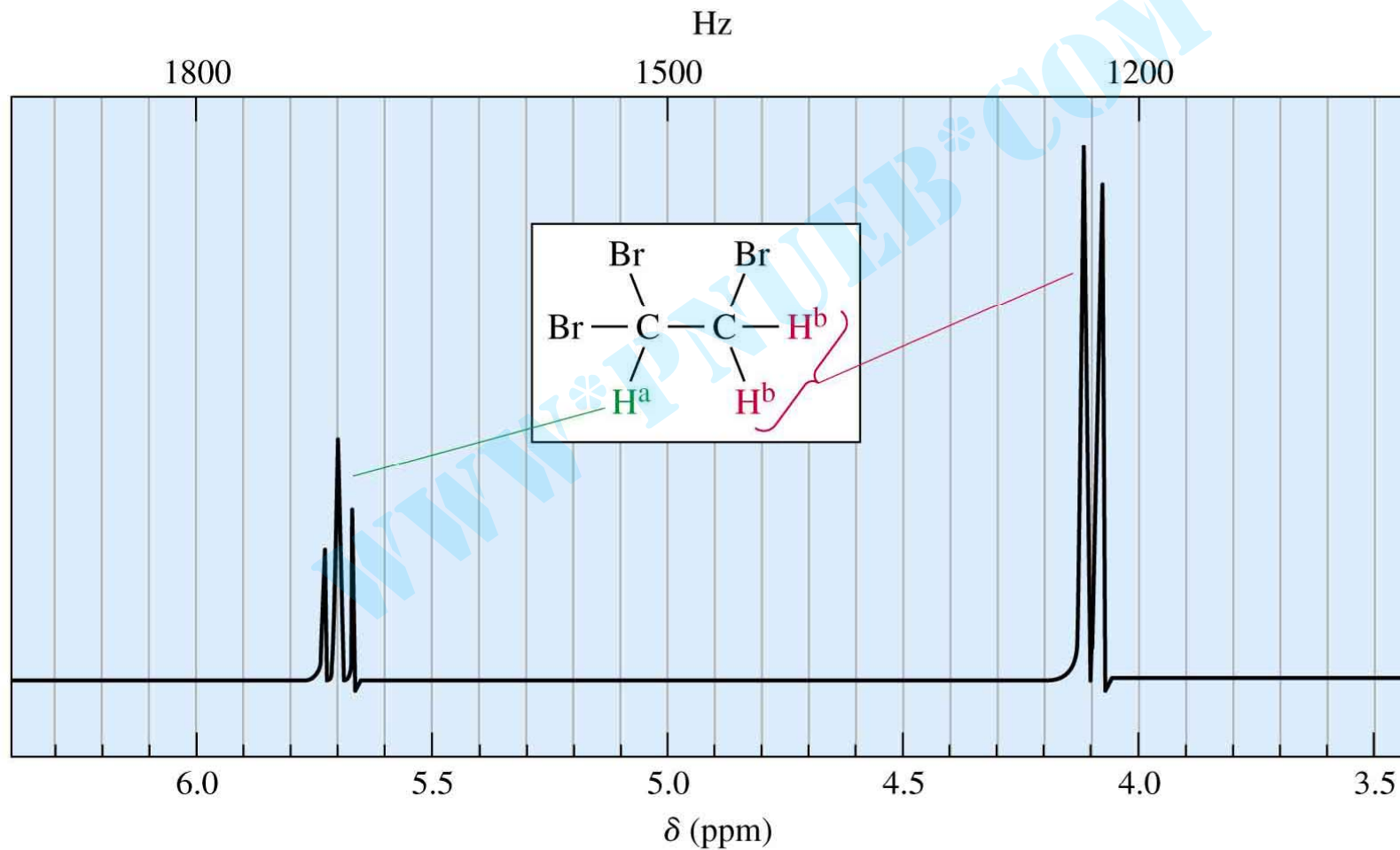
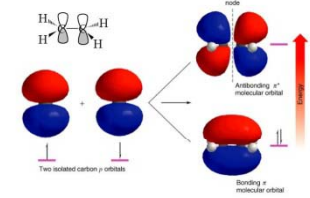
شدت پیک ها



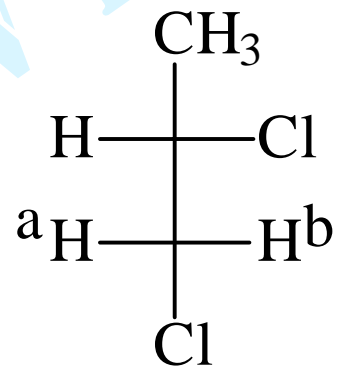
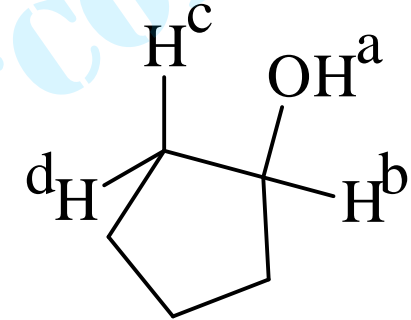
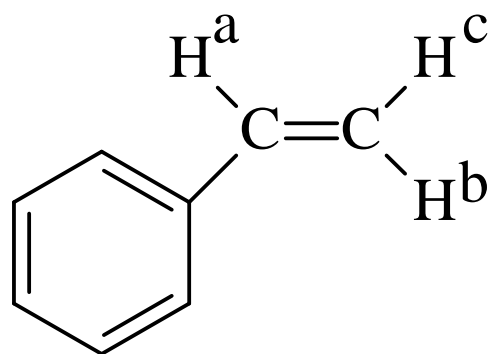
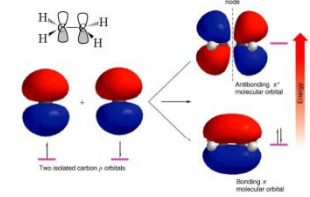
■ مساحت زیر هر پیک متناسب با تعداد پروتونها می باشد. که توسط دستگاه انتگرال گیری می شود.



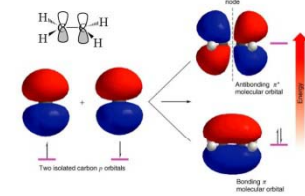
پروتونهای غیر هم ارز روی کربنهای مجاور



پروتونهای غیر هم ارز



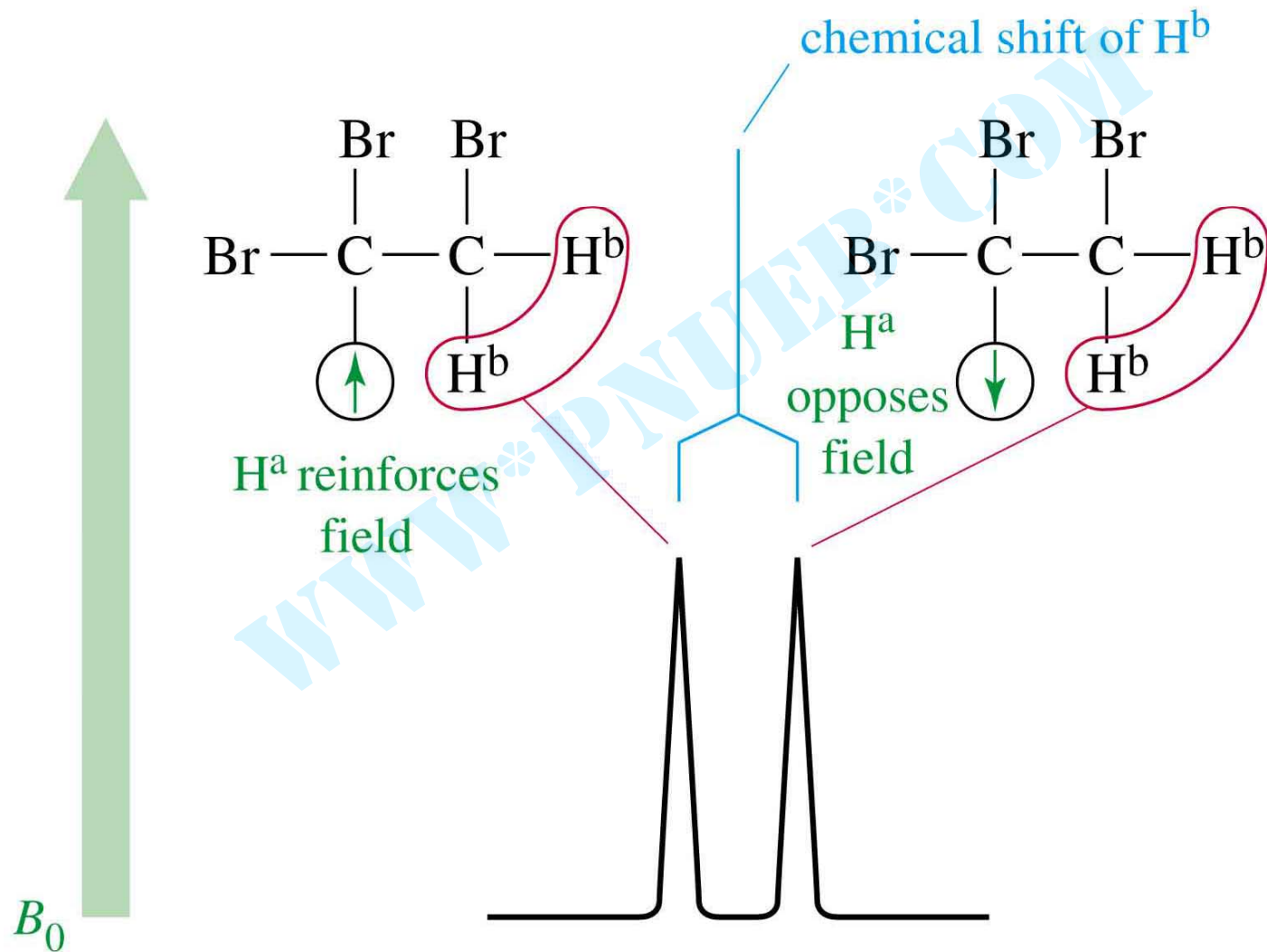
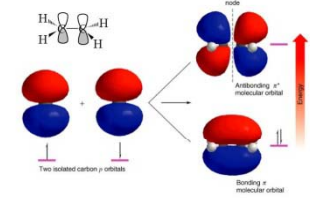
$N+1$



وقتی یك پروتون با N پروتون معادل مجاور باشد به $N+1$ پیك شکافته مي شود.

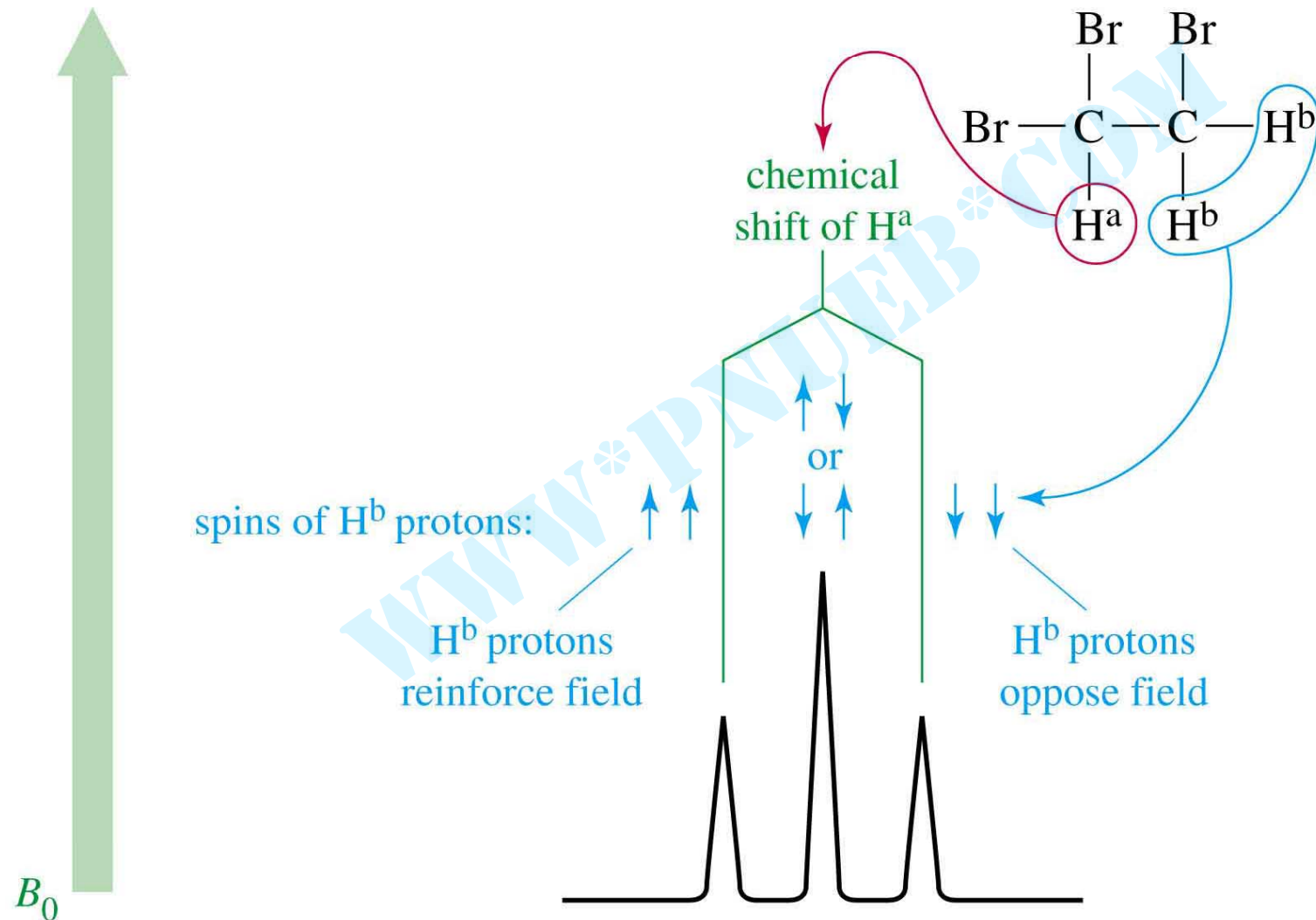
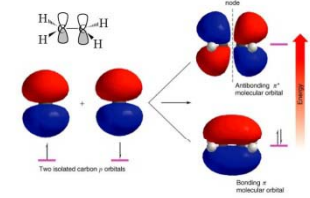
نسبت مساحت ها	چند گانگي ($N+1$)	تعداد پروتونهای معادل (N)
1	1 (singlet)	0
1 1	2(doublet)	1
1 2 1	3 (triplet)	2
1 3 3 1	4 (quartet)	3
1 4 6 4 1	5 (quintet)	4
1 5 10 10 5 1	6 (sextet)	5
1 6 15 20 15 6 1	7 (septet)	6

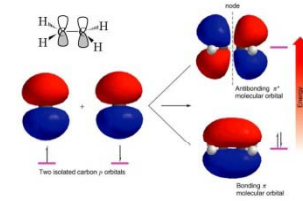
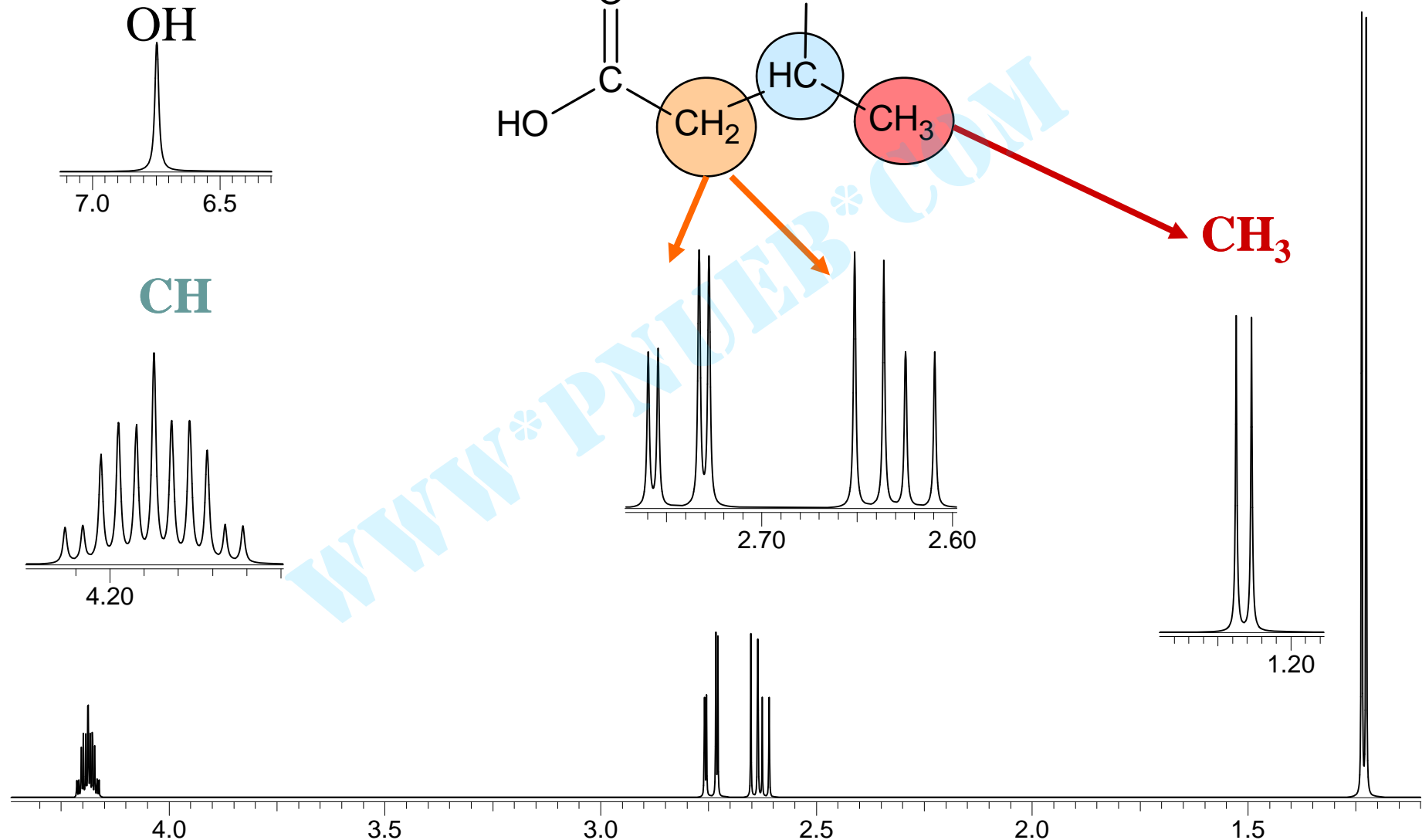
پیک دوتایی پروتونهای H^b در مولکول ۲،۱،۱ - تری برمو اتان



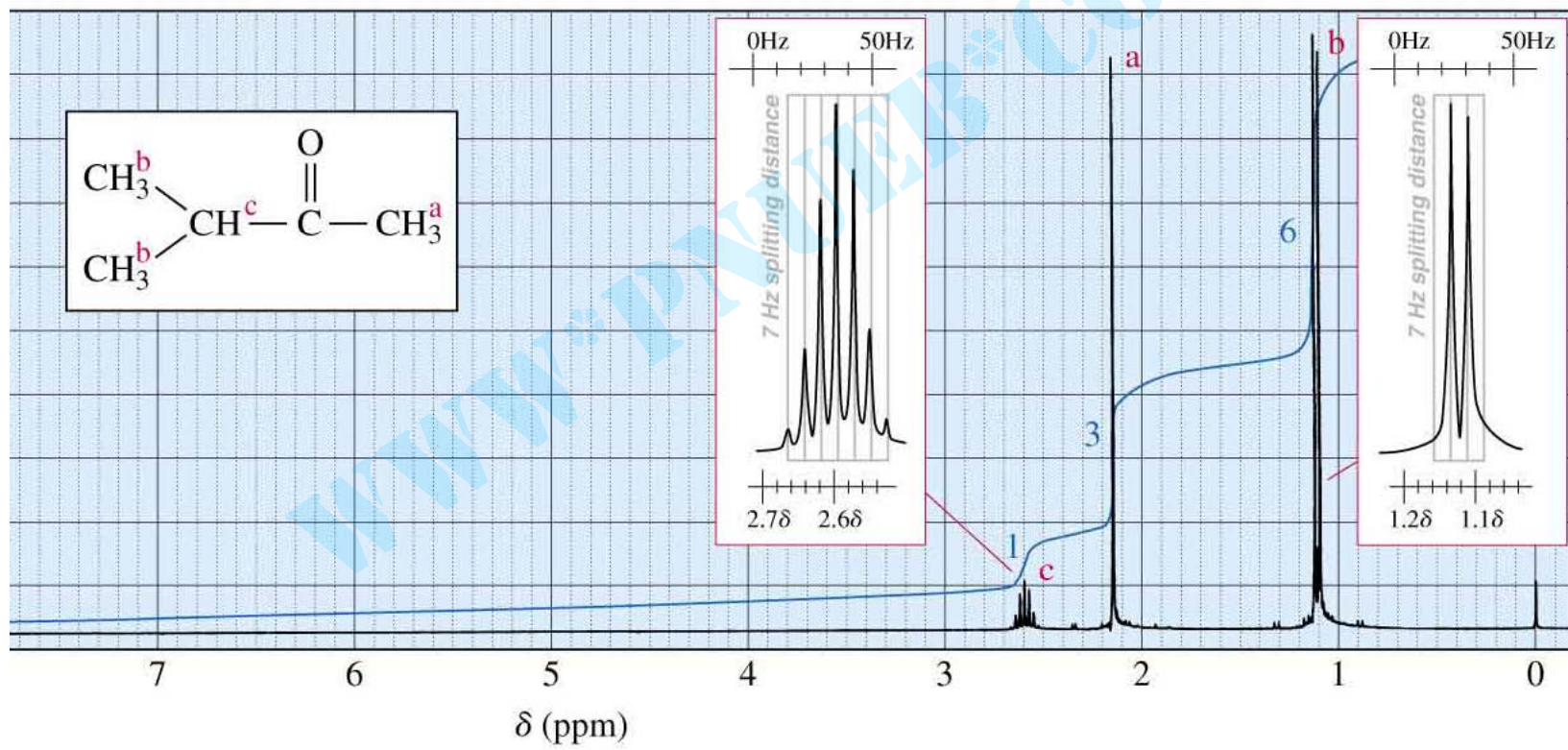
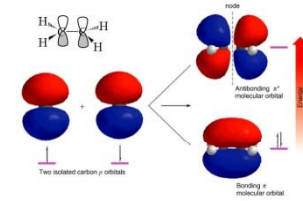
پیک سه تایی پروتونهای H^a در مولکول

۲،۱،۱ - تری برموتان

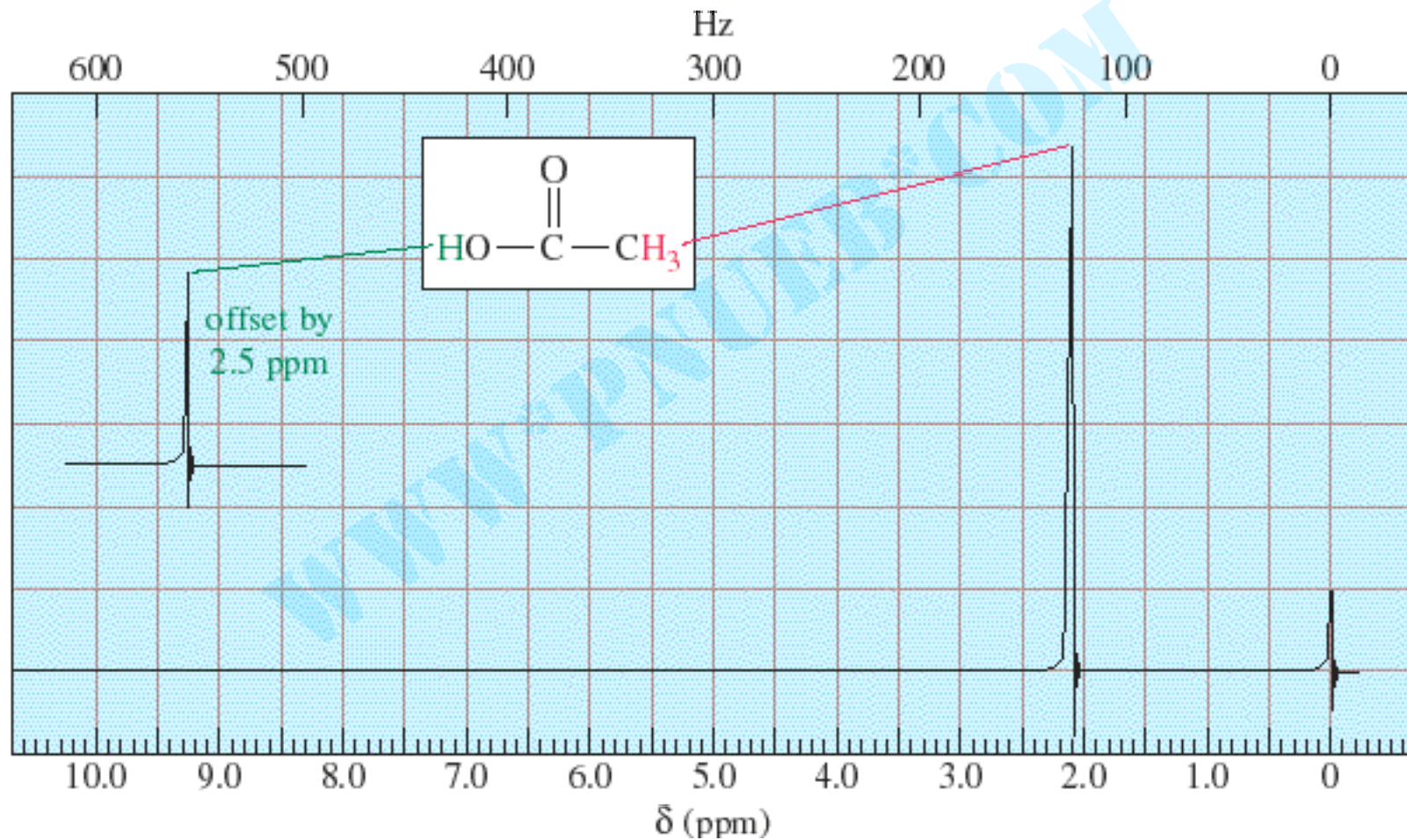
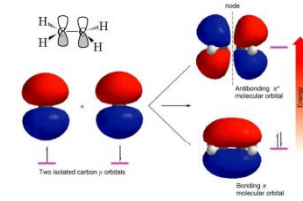




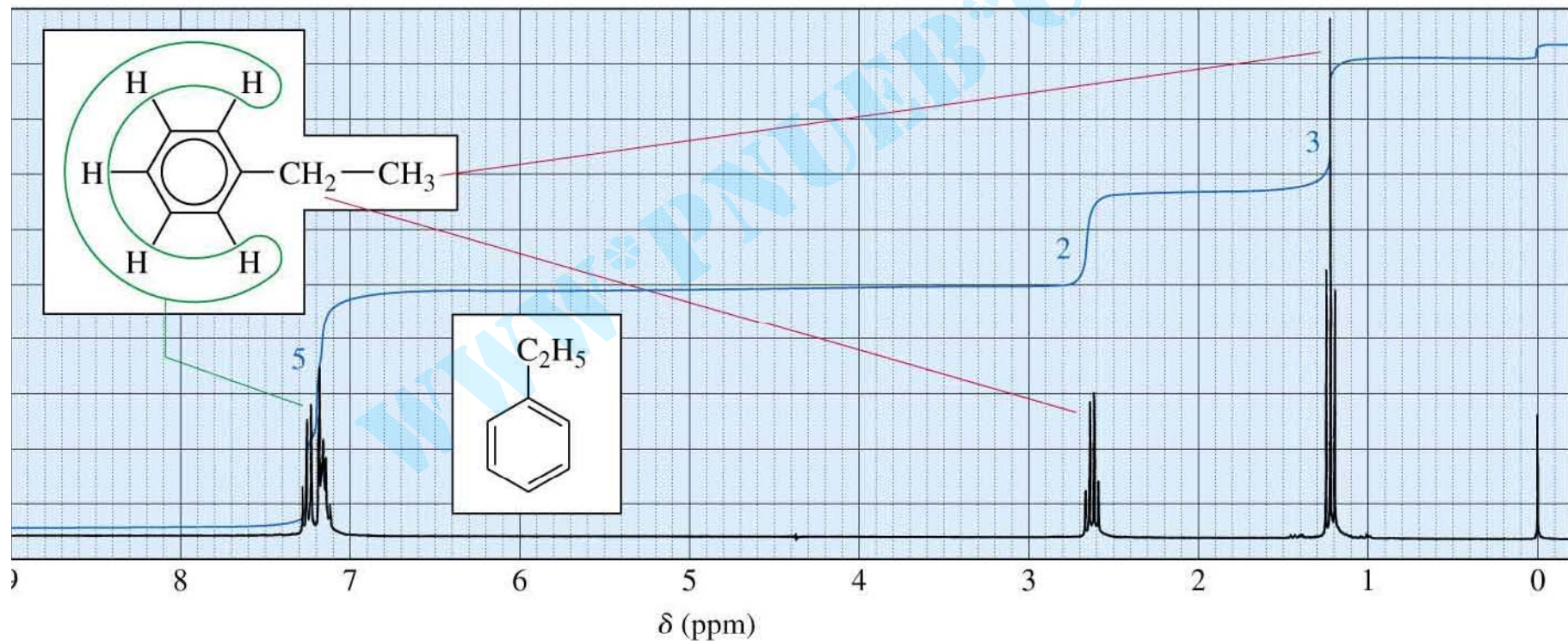
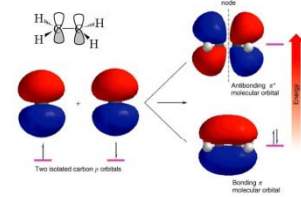
شکافتگی گروه ایزو پروپیل

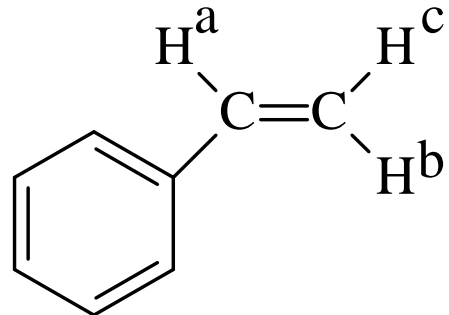


پروتون کربوکسیلیک اسید ($\delta \approx 1.0$)

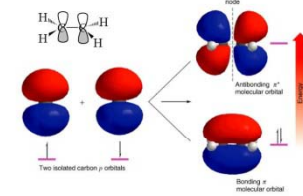


شکافتگی گروه اتیل





شکافتگی پیچیده

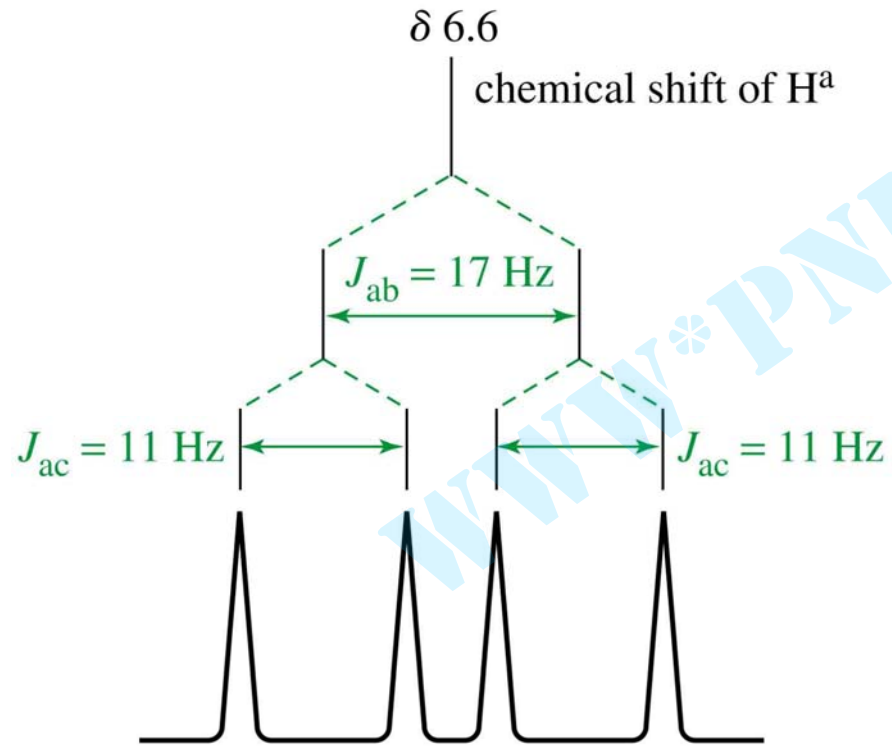
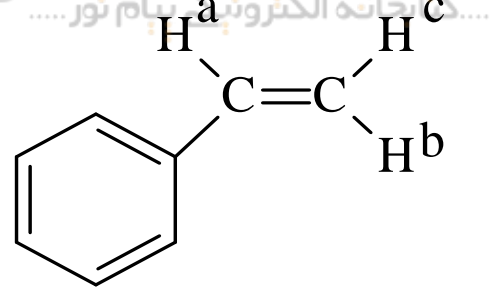


■ پیکها ممکن است به وسیله پروتونهای مجاوری که متفاوت از یکدیگرند و ثابت‌های جفت شدن متفاوتی دارند شکافته شوند.

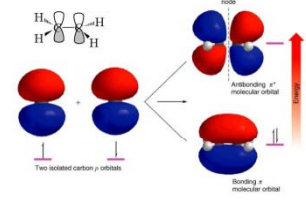
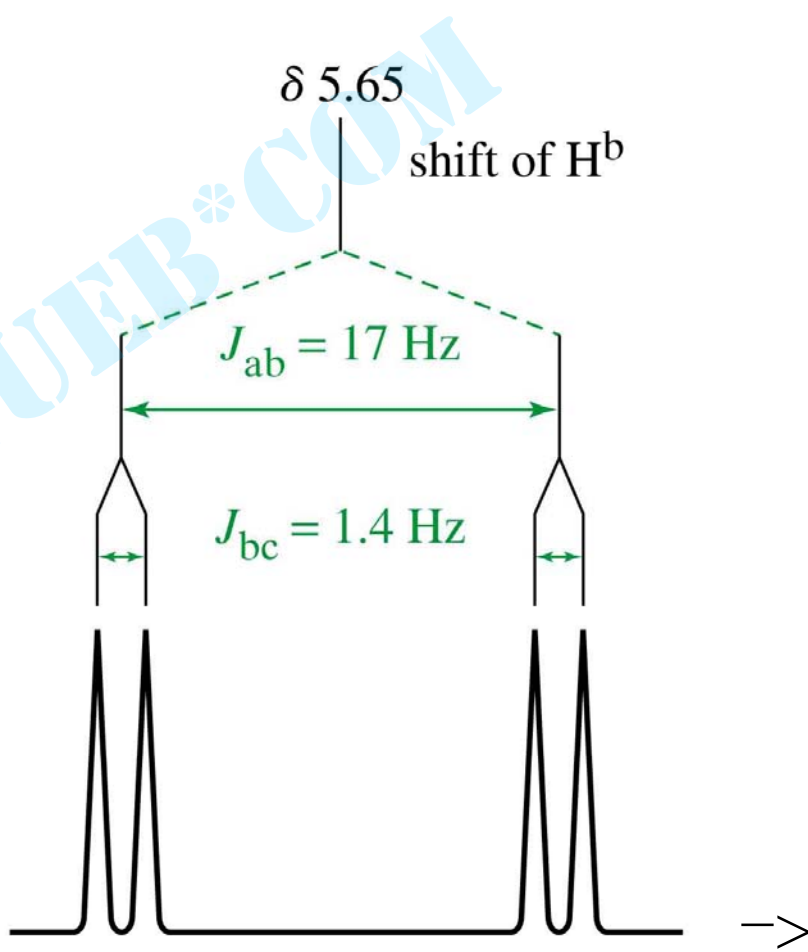
■ مثال:

استیرن که به وسیله پروتونهای مجاور سیس (H^a $J = 11 \text{ Hz}$)

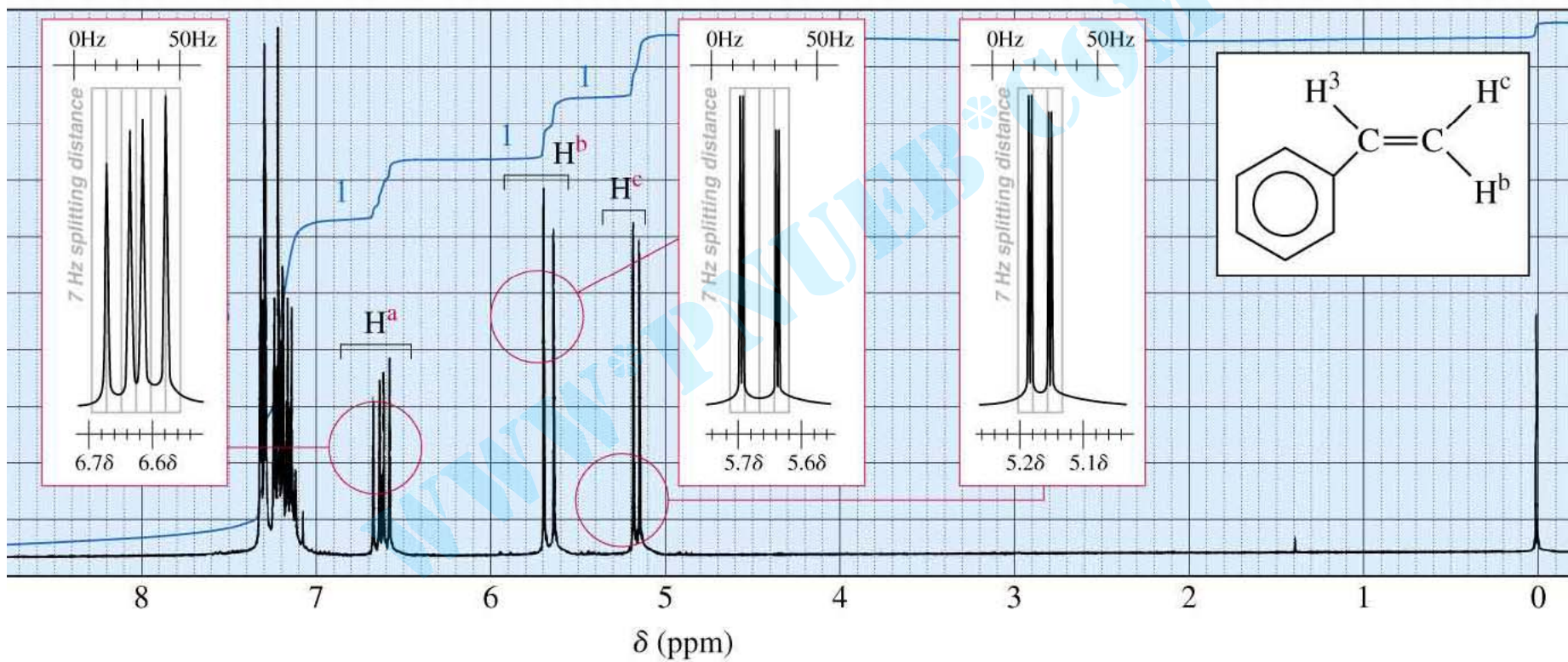
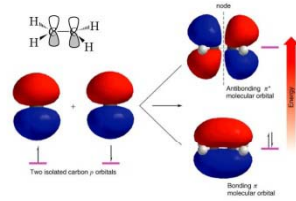
و ترانس ($J = 17 \text{ Hz}$) (شکافته می‌شوند).



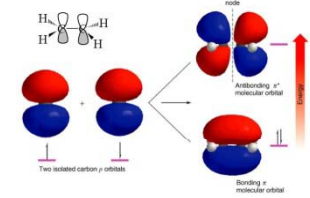
شکافتگی پیچیده



طیف استینر

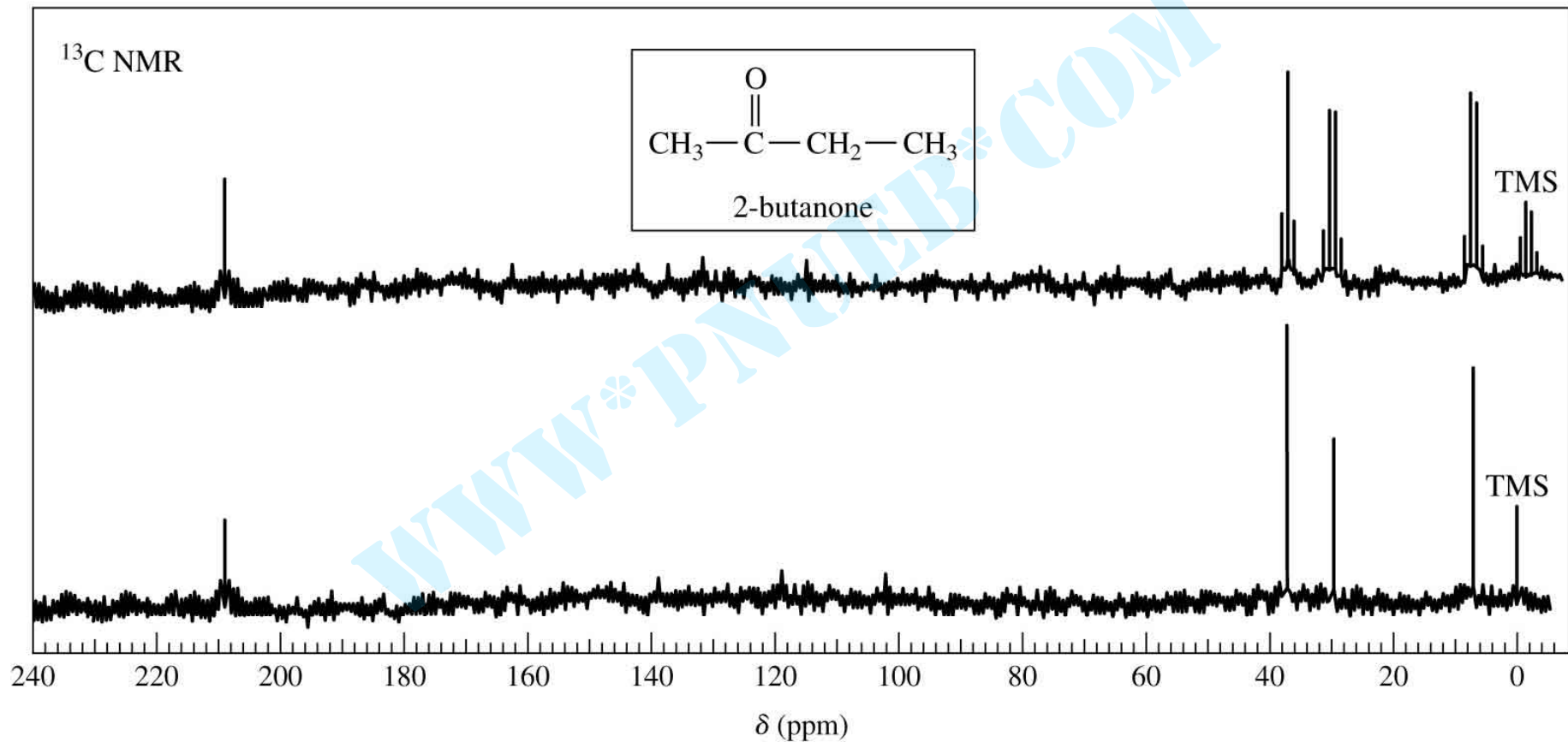
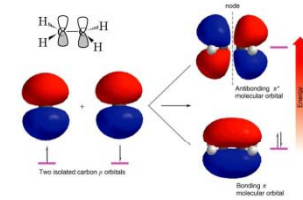


طیف ^{13}C - NMR

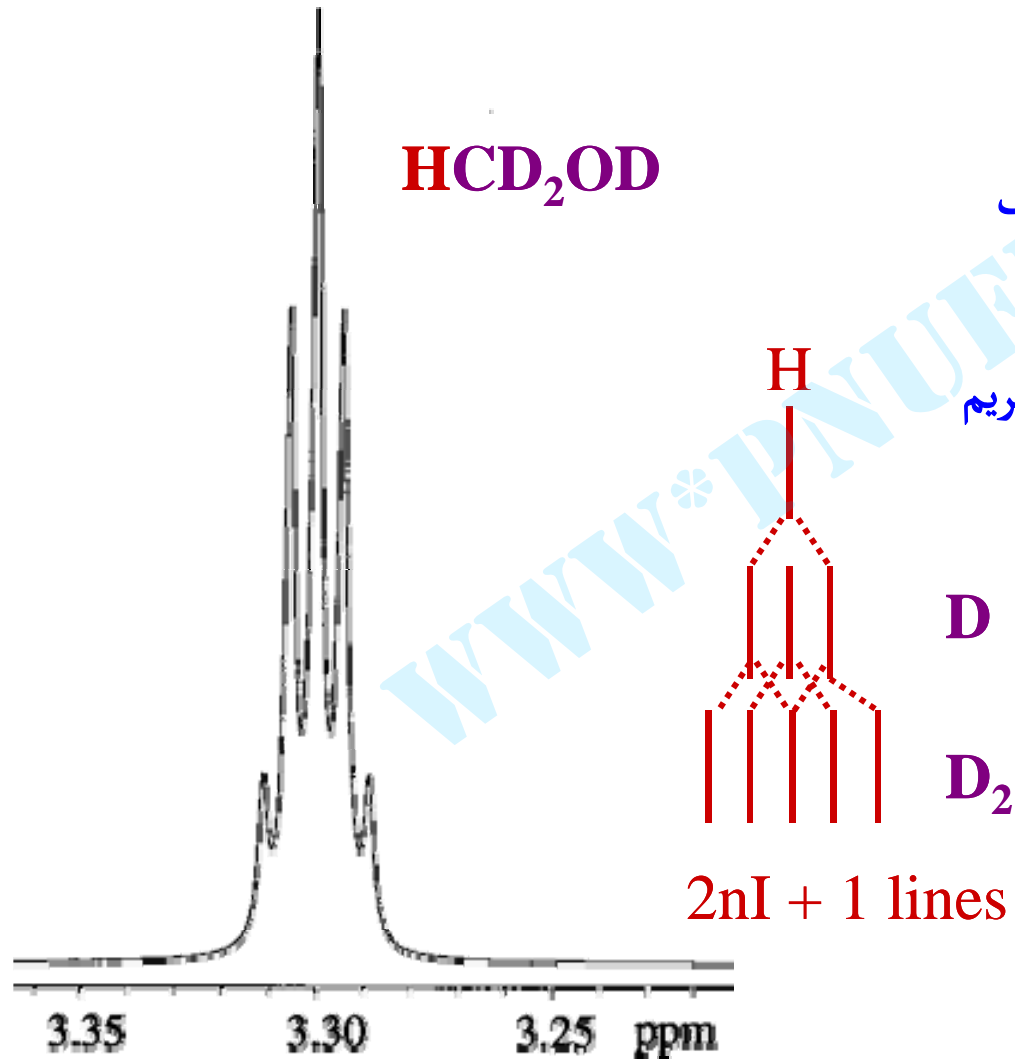
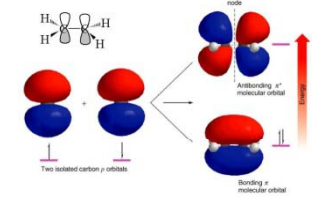


- ^{12}C اسپین مغناطیسی ندارد.
- حساسیت ^{13}C -NMR نسبت به پروتون شش هزار مرتبه کمتر است زیرا :
- ^{13}C دارای اسپین مغناطیسی است ولی فراوانی طبیعی آن فقط ۱٪ می باشد.
- نسبت ژیرومغناطیس ^{13}C یک چهارم ^1H می باشد.
- برای افزایش حساسیت طیف ^{13}C با تبدیل فوریه بدست می آید.
- با استفاده از تکنیک تابش دهی چندباره همه برهمنکنشهای اسپین – اسپین حذف شده و طیف ^{13}C – NMR دکوپلاز(decoupling) می شود.

^{13}C - NMR طیف



استخلاف دوتیریم



جايگزيني هيدروژن با دوتيريم باعث سادگي طيف NMR مي شود.

بيشتر حالات مورد استفاده در NMR دوتيريم دار مبباشند.



www.PNUEB.COM

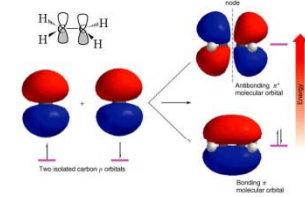
طیف سنجی جرمی

Mass Spectrometry

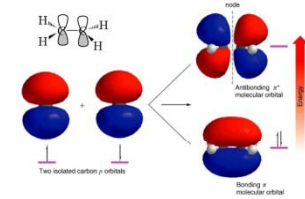


www*PNUEB*COM

هدف از این فصل



- آشنایی کامل با مبانی نظری طیف سنجی جرمی
- آشنایی با دستگاههای طیف سنج جرمی
- کاربردهای طیف سنجی جرمی در مطالعات کیفی و کمی ترکیبات
- روشها و چگونگی تقسیر طیف های جرمی



مقدمه

دستگاههای در طیف سنجی جرمی

- سیستم ورودی برای تبخیر

- سیستم یونی کننده

- منبع برخورد الکترونی

- منبع جرقه ای

- تجزیه و تحلیل جرمی

- آنالیزگر تمرکز پگانه

- آنالیزگر تمرکز دوگانه

- طیف سنج جرمی زمان پرواز

- تجزیه گر جرمی چهارقطبی

- روشهای آشکار سازی

تفسیر طیف جرمی

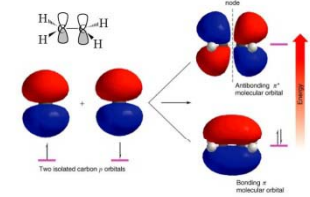
- پیک پایه

- پیک مولکولی

- اجزاء یونی حاصل از شکستن پیوندها

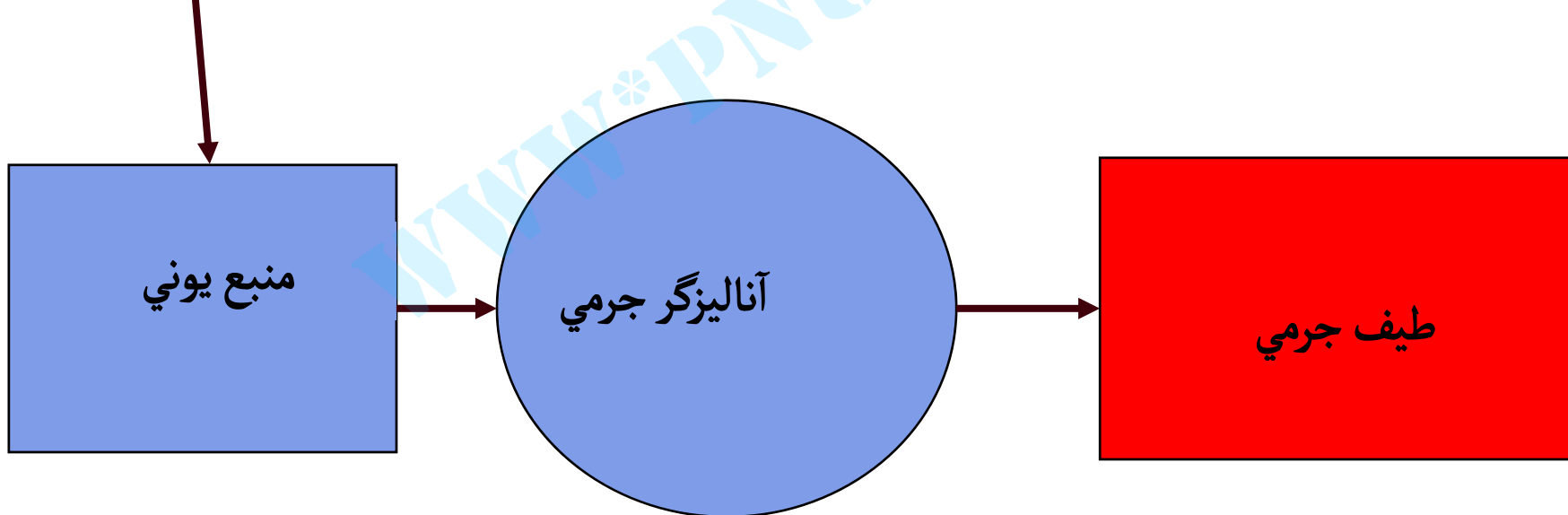
کاربردهای طیف سنجی جرمی

مقدمه ای بر طیف سنجی جرمی

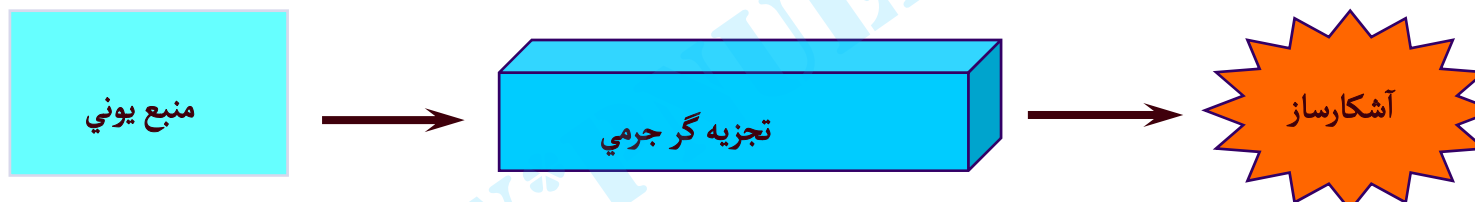
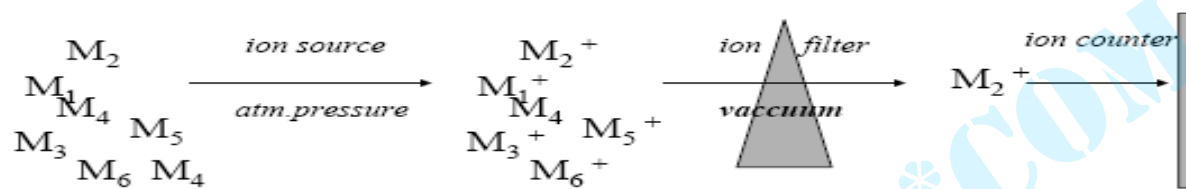
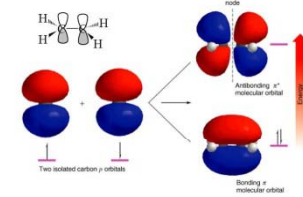


در طیف سنجی جرمی یونها ی تولید شده در منبع یونی که نتیجه شکسته شدن پیوند ها است بر اساس نسبت جرم به بار از یکدیگر تفکیک شده و ثبت می گردند.

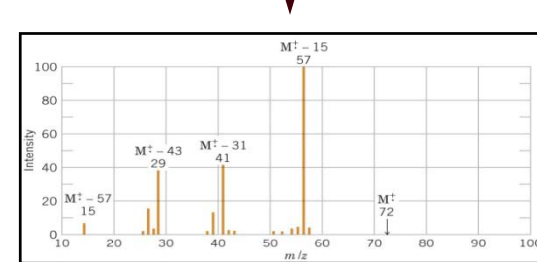
نمونه



مقدمه ای بر طیف سنجی جرمی

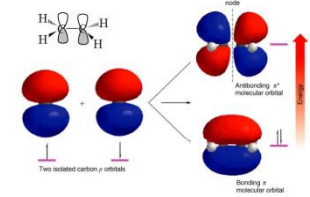


- ورودی (Input):
- جامد (Solid)
 - مایع (Liquid)
 - گاز (Gas)

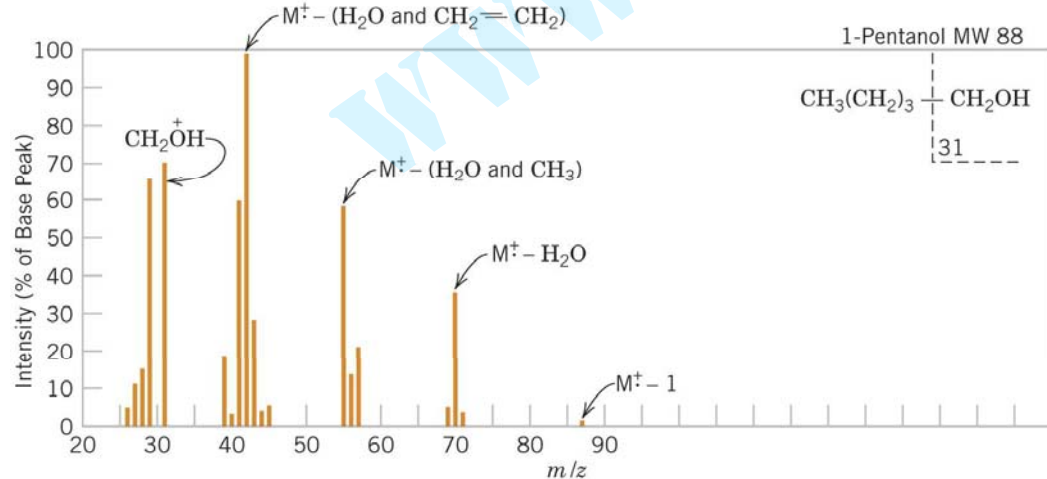


طیف جرمی

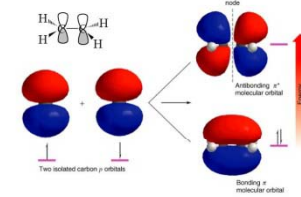
طیف جرمی



- طیف جرمی ، طیفی بر پایه ساختار مولکول است.
- در طیف جرمی یونهای مختلف بر اساس نسبت جرم به بار (m/Z) از هم جدا می شوند و ثبت می گردند.
- محور X طیف جرمی بیانگر یونهای تولیدشده است.
- محور Y فراوانی نسبی هر یون را نشان می دهد.

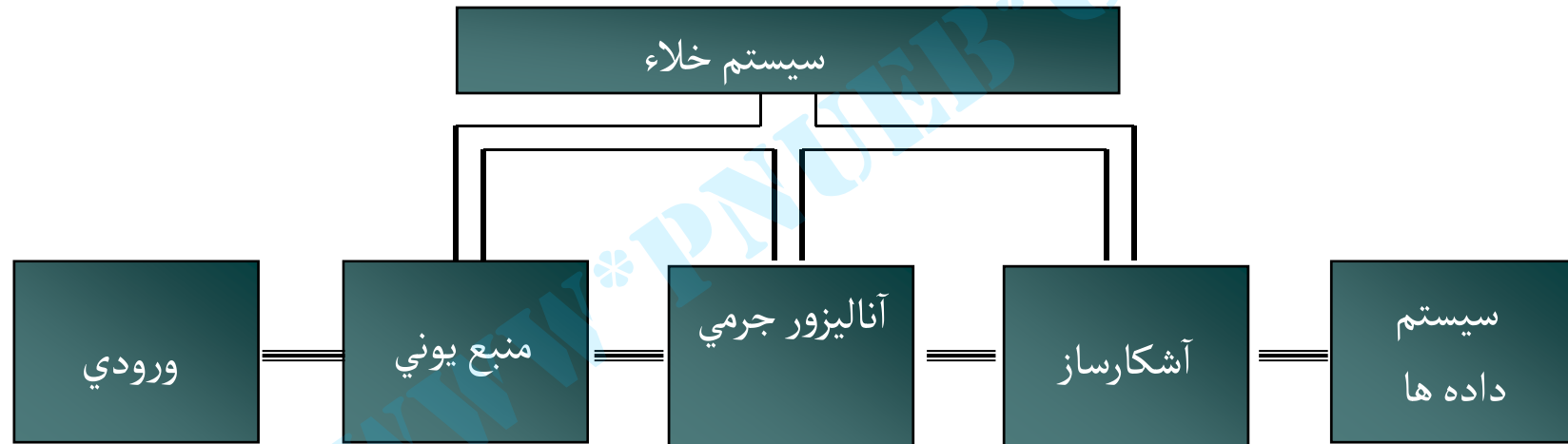
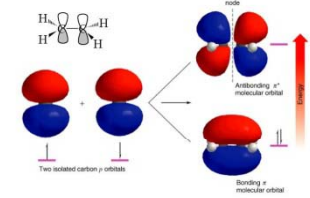


دستگاه‌هایی در طیف سنجی جرمی



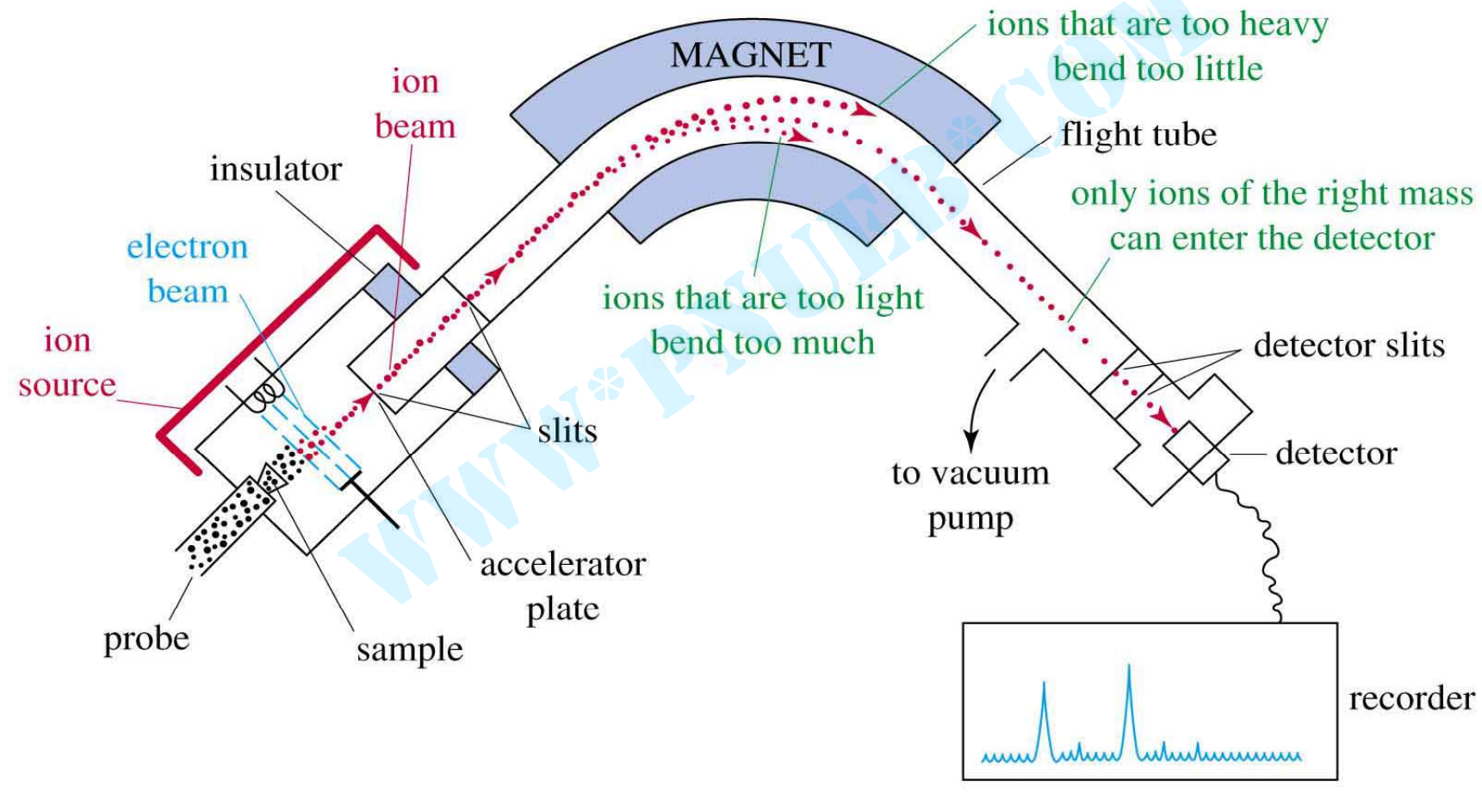
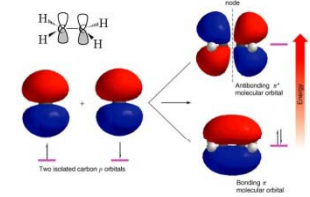
- سیستم ورودی برای تبخیر
- سیستم یونی کننده
- سیستم تفکیک کننده جرمها
- سیستم آشکارساز و ثبت کننده
- سیتم داده ها

دستگاه‌های در طیف سنجی جرمی

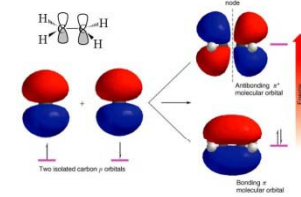


Mass Spectrometer

طیف سنج جرمی



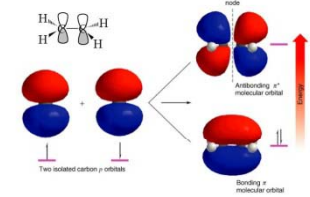
سیستم ورودی



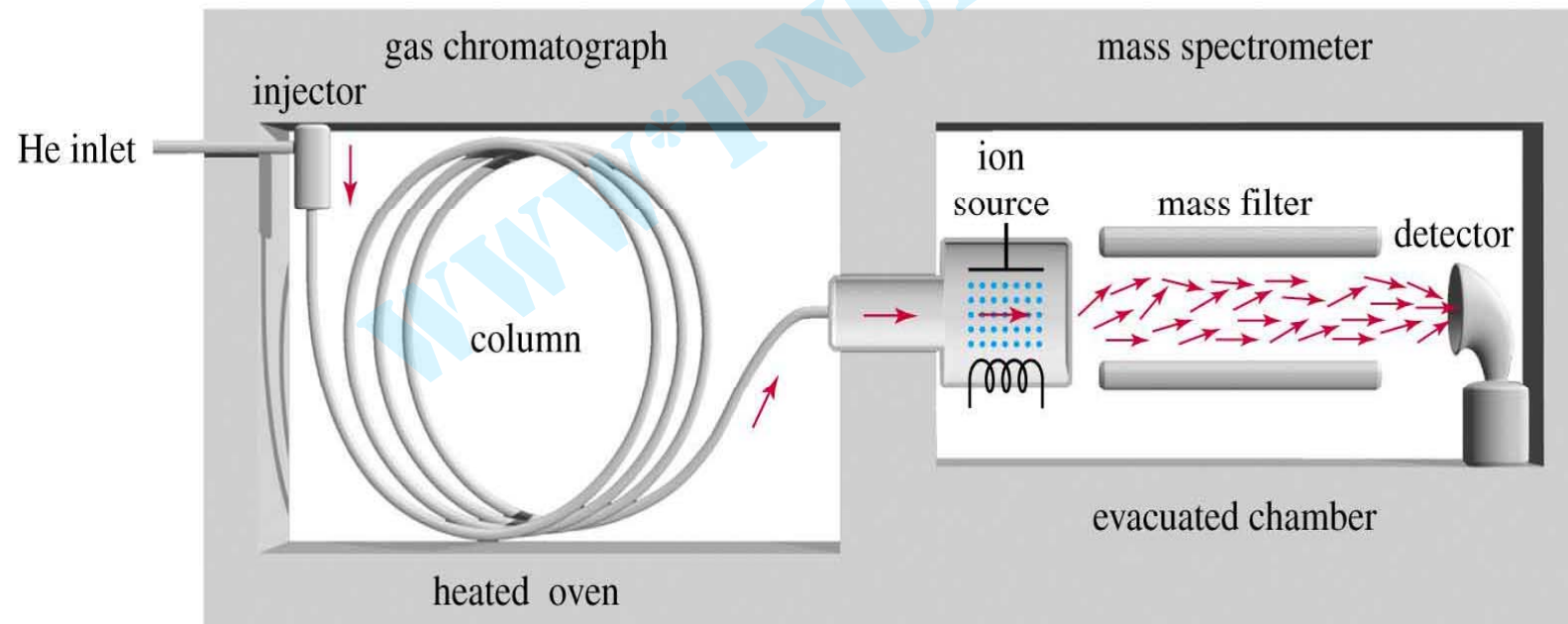
سیستمی برای تبخیر نمونه های با فشار بخار پایین

- سیستم ورودی ناپیوسته برای نمونه های گاز، مایع و جامداتی که فشار بخارشان بالاست.
- سیستم ورودی مستقیم برای جامدات تبخیرنشدنی و ترکیباتی که نسبت به دما حساس است.
- نمونه های جامد دیرجوش را مستقیماً داخل منبع می فرستند یا آنها را به مشتقات فراتر تبدیل می کنند.

دستگاه GC-MS



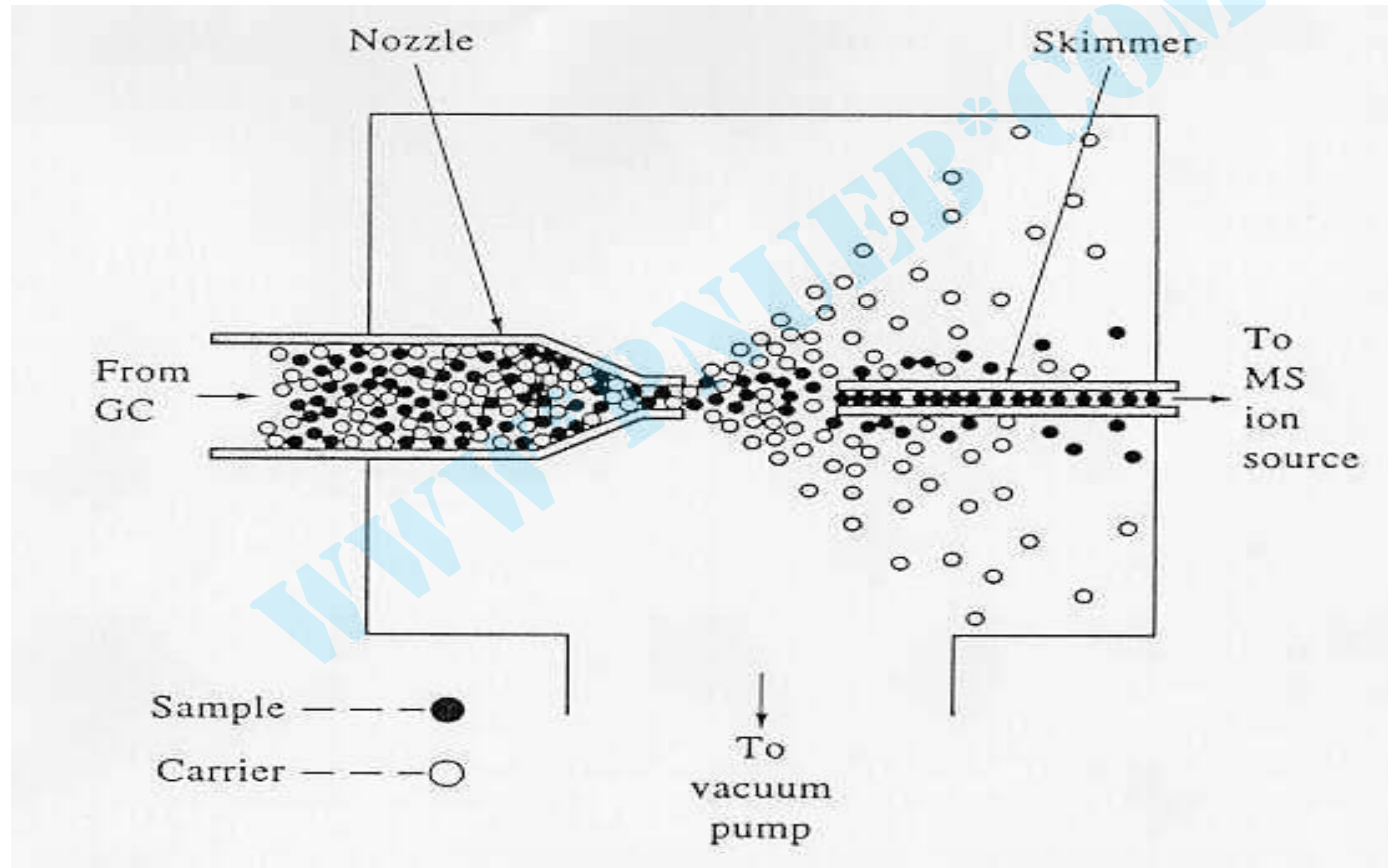
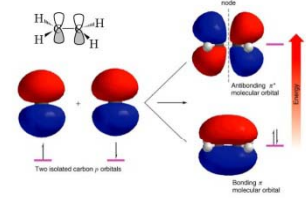
■ در دستگاه GC-MS اجزاء مخلوط توسط ستون GC از هم جدا شده و پس از حذف گاز حامل توسط یک سیستم جدا کننده جت وارد منبع طیف سنج جرمی می شوند.



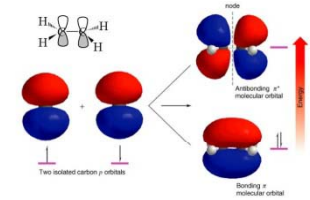
=>

Jet separator

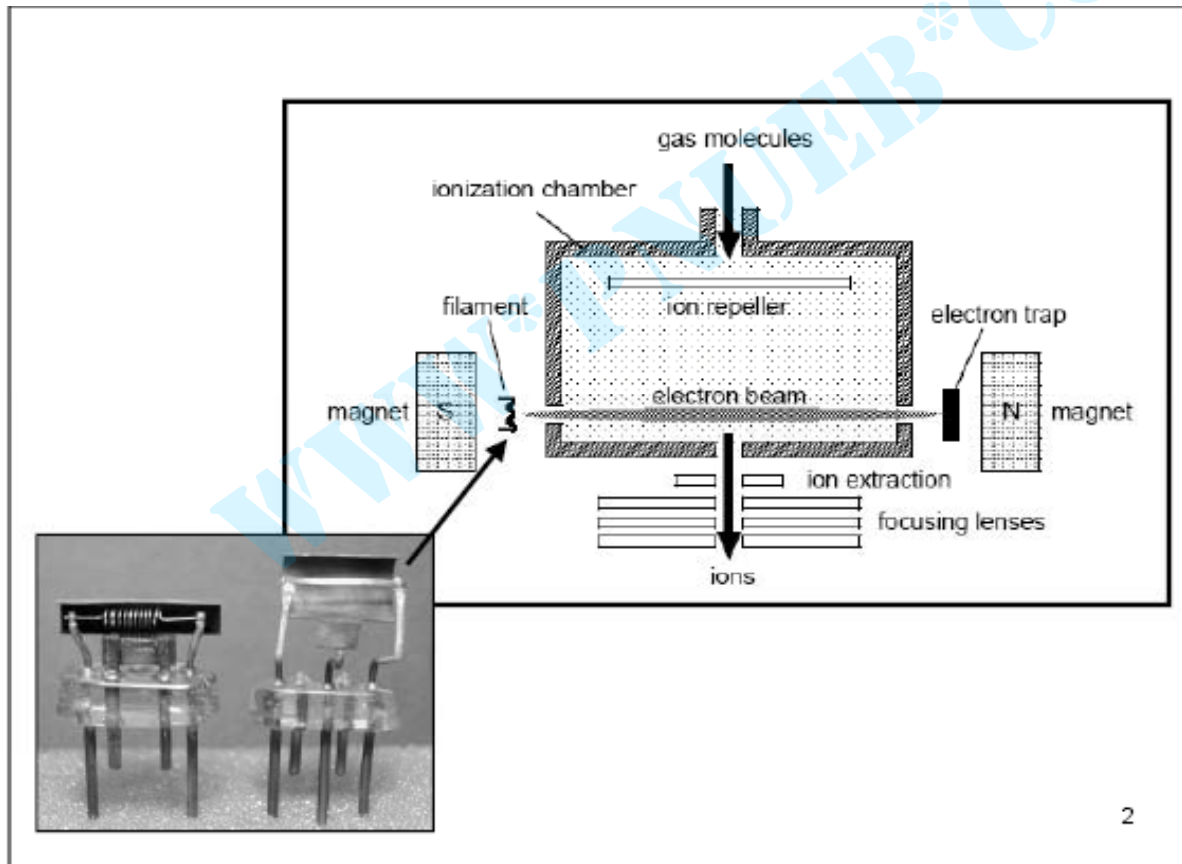
سیستم جداکننده جت



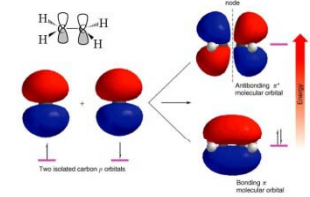
منبع برخورد الکترونی



■ در این روش باریکه ای از الکترون پر انرژی به مولکول برخورد می کند و مولکول را به یون تبدیل می کند.

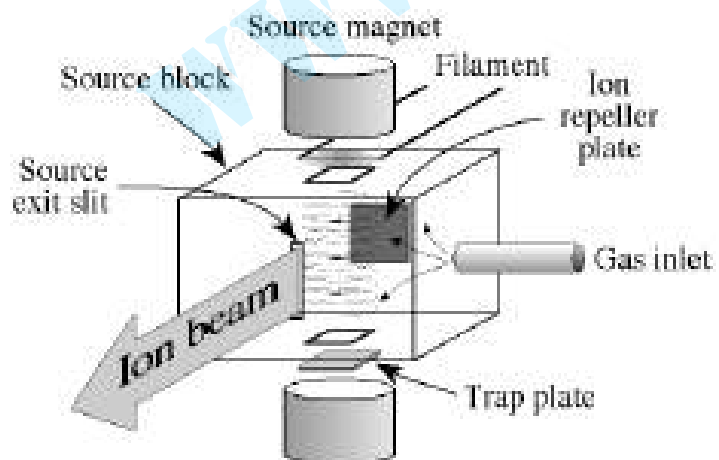


منبع برخورد الکترونی

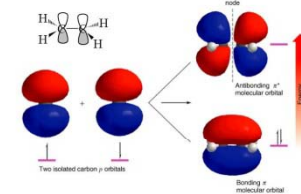


اجزای یک منبع برخورد الکترونی عبارتند از:

- تقنگ الکترونی که الکترونهاي نشر شده بوسيله يك سيم داغ را شتاب مي دهد و متمرکز مي كند.
- تقنگ یوني که تمام یونهاي مولکولي و غير مولکولي را شتاب مي دهد و به بخش تجزيه و تحليل جرمي مي فرستد. ولتاژهاي شتاب دهنده بين هزار تا ده هزار ولت مي باشد.



طیف سنج جرمی با منبع جرقه ای

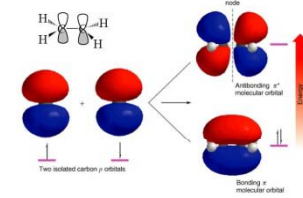


در این روش با اعمال یک ولتاژ فرکانس رادیویی پالسی با قدرت حدود ۳۰ کیلو ولت به یک جفت الکترود نصب شده در پشت تقنگ یونی، یونها تولید می شوند.

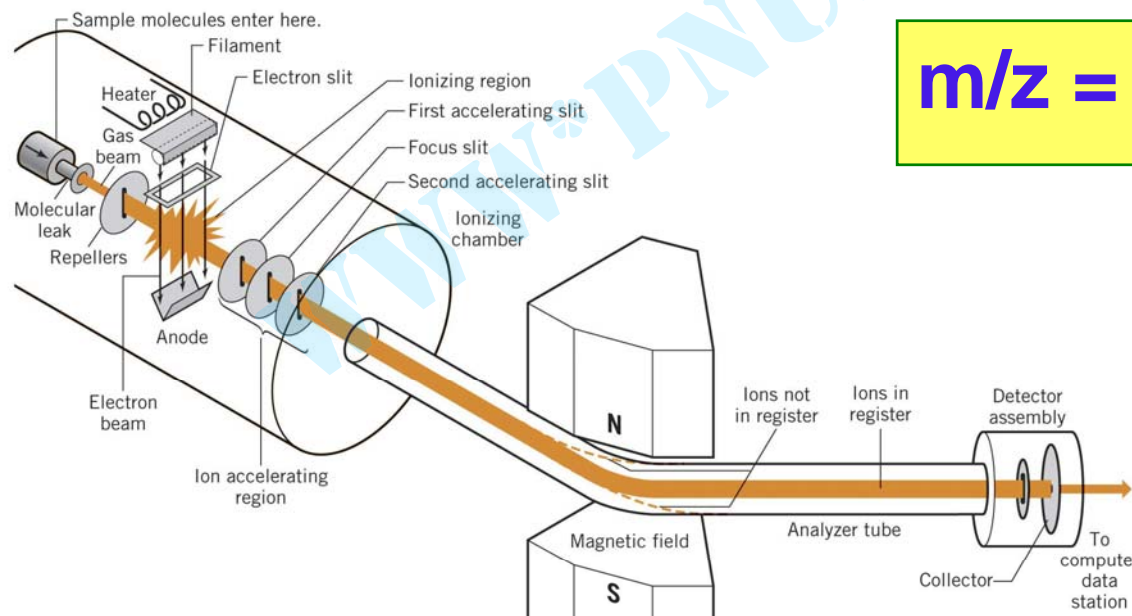
مزایای سیستم SSMS:

- این روش نسبت به همه عناصر تا غلظت حدود ppb حساس است.
- نمونه های بسیار پیچیده را می توان با این روش تجزیه عنصری کرد.
- اطلاعات حاصل بسیار ساده اند و مستقیماً نسبت m/z عناصر به دست می آید.
- در محدوده وسیعی از غلظتها پاسخ دستگاه خطی است.

تجزیه و تحلیل جرمی بوسیله بخشاهای مغناطیسی

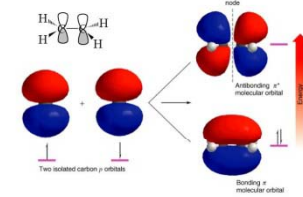


در یک میدان مغناطیسی نیرویی به ذره یونی وارد مشود (Bqv) که این نیرو باستی با نیروی گریز از مرکز برابر باشد در نتیجه:



$$m/z = (B^2 r^2)/2V$$

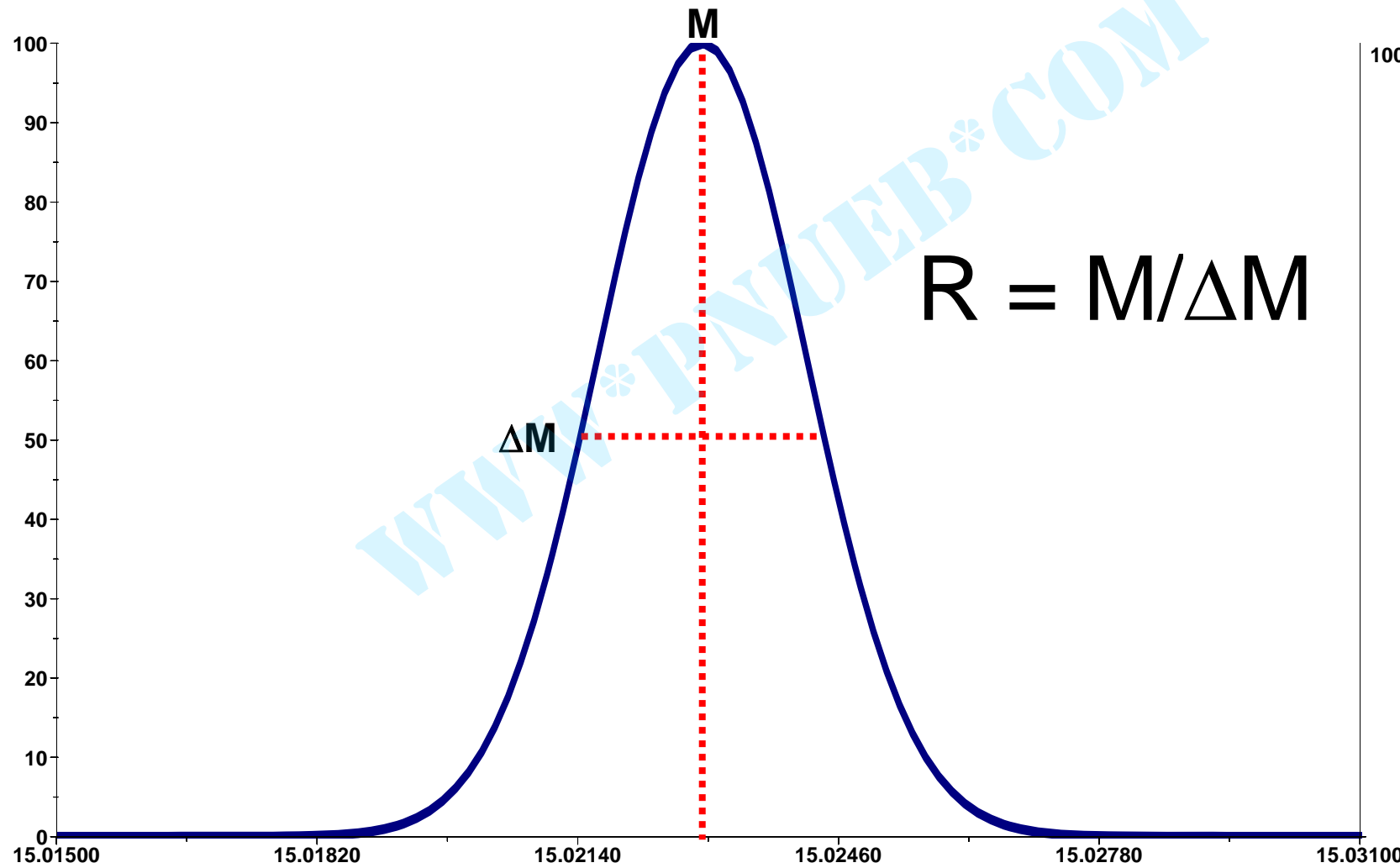
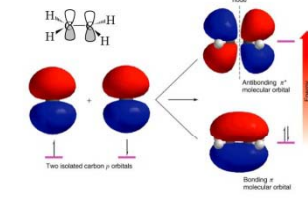
تجزیه و تحلیل جرمی بوسیله بخش‌های مغناطیسی



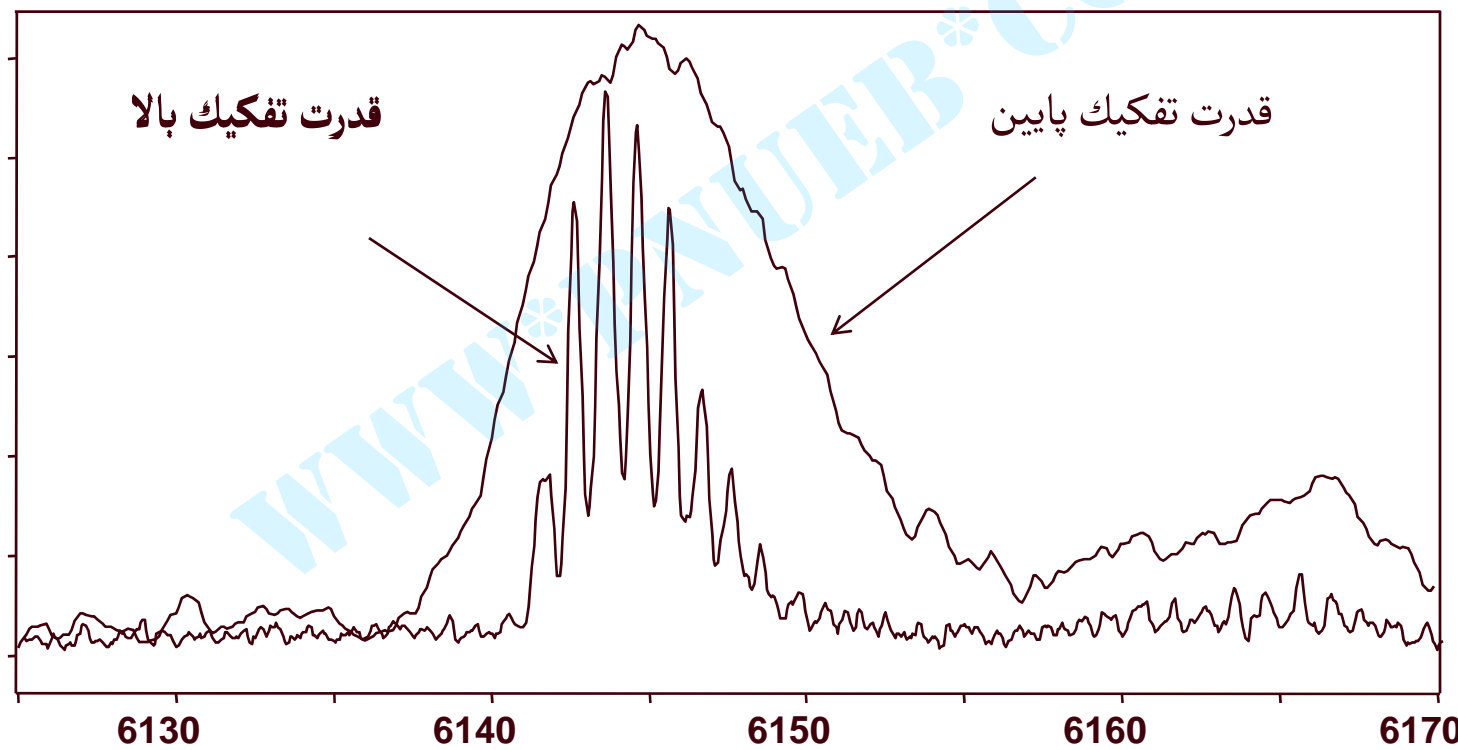
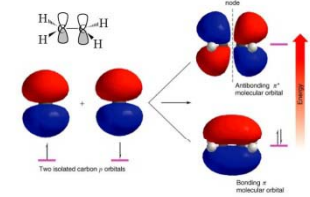
- اجزاء مولکولی بر اساس نسبت جرم به بار (m/Z) در تجزیه گر جرمی تفکیک می شوند.
- بیشتر اجزاء مولکولی بار ۱ + دارند.
- بعد از روش نتایج بصورت یک طیف در می آید که محور افقی آن m/Z و محور عمودی آن فراوانی می باشد.

Resolution

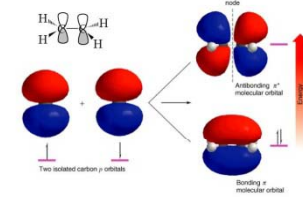
قدرت تفکیک



قدرت تفکیک



طیف سنجی جرمی با قدرت تفکیک بالا



High-Resolution Mass Spectrometry

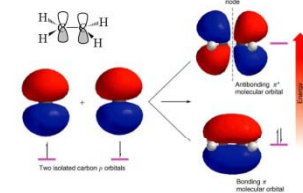
Isotope	Mass	Isotope	Mass
^1H	1.00783	^{19}F	18.9984
^2H	2.01410	^{32}S	31.9721
^{12}C	12.00000 (std)	^{33}S	32.9715
^{13}C	13.00336	^{34}S	33.9679
^{14}N	14.0031	^{35}Cl	34.9689
^{15}N	15.0001	^{37}Cl	36.9659
^{16}O	15.9949	^{79}Br	78.9183
^{17}O	16.9991	^{81}Br	80.9163
^{18}O	17.9992	^{127}I	126.9045

$$\text{O}_2 = 2(15.9949) = 31.9898$$

$$\text{N}_2\text{H}_4 = 2(14.0031) + 4(1.00783) + 32.0375$$

$$\text{CH}_4\text{O} = 12.00000 + 4(1.00783) + 15.9949 = 32.0262$$

آنالیزگر تمرکز یگانه

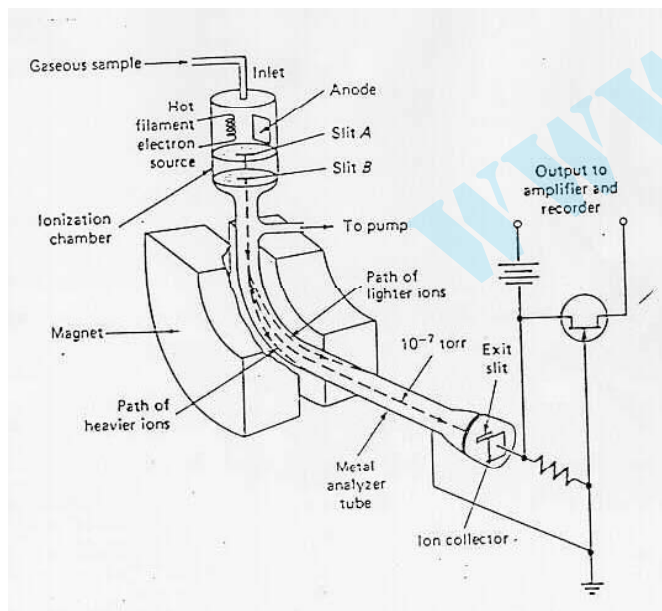


Single-Focusing Analyzers

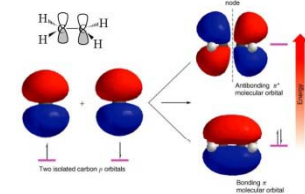
- طیف سنجهای جرمی که فقط دارای یک میدان مغناطیسی برای تجزیه و تحلیل جرم یونها هستند.
- این دستگاه می‌تواند قدرت تفکیکی تا حدود ۵۰۰۰۰ داشته باشد.
- دو عامل محدود کننده در این دستگاهها عبارتند از:

□ واگرایی زاویه ای

□ پخش و پراکندگی باریکه یون

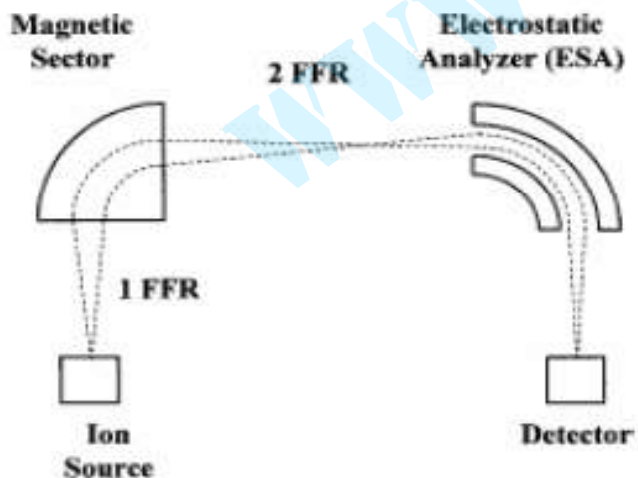


طیف سنجی جرمی تمرکز دو گانه

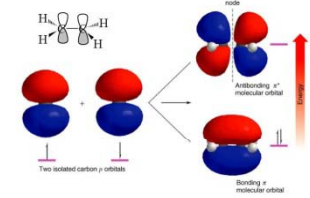


Double Focus Mass Spectrometer

- در این دستگاه یک بخش الکترو استاتیکی قبل از بخش مغناطیسی کار گذاشته می شود. که متشکل از دو الکترود استوانه ای است.
- یونهای پرانرژی و کم انرژی به الکترود ها برخورد می کنند و تنها یونهای با انرژی متوسط و مشخصی عبور می کنند.



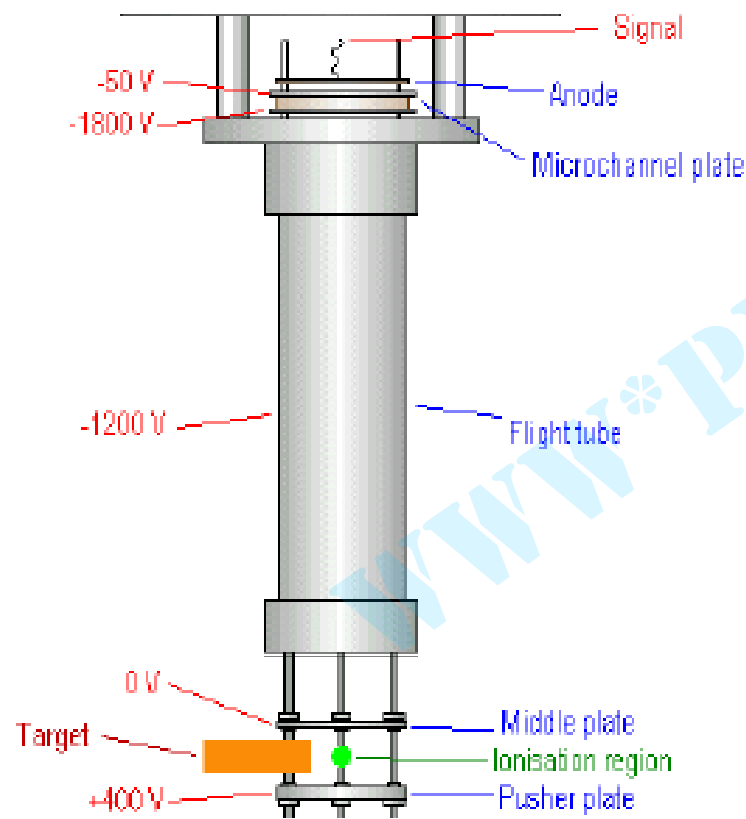
طیف سنج جرمی تمرکز دوگانه



■ تجزیه گر الکترو استاتیکی یونهای هم انرژی را متمرکز می کند و به داخل میدان مغناطیسی می فرستد.

■ در دستگاه طیف سنجی جرمی تمرکز دو گانه قدرت تحقیکی در حدود ۲۰۰۰۰ تا ۵۰۰۰۰ دارد.

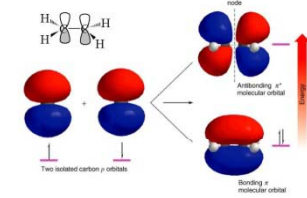
طیف سنج جرمی زمان پرواز Time of Flight mass spectrometer



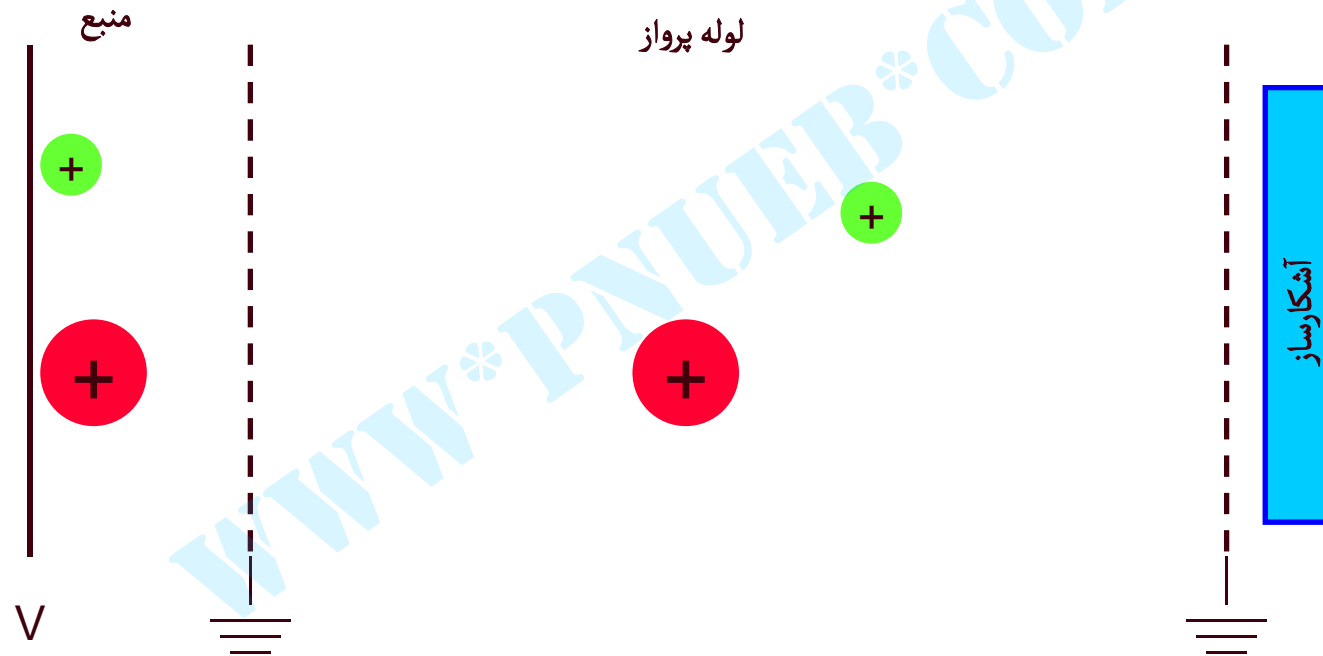
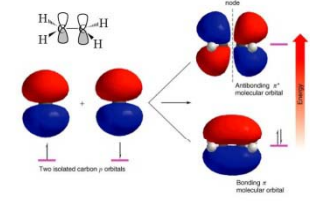
■ طیف سنج جرمی **TOF** دارای یک منبع برخورد الکترونی و یک لوله بلند جهت پرواز طولانی یونها می باشد.

■ جرمهاي مختلف بر اساس زمانی که به آشکار ساز می رسند از هم تمیيز داده می شوند.

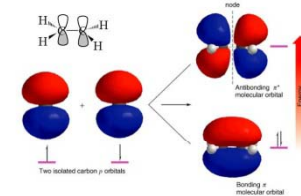
■ این سیستم به صورت پالسی کار می کند و قادر بخش مغناطیسی برای جداسازی یونهاست.



طیف سنج جرمی زمان پرواز

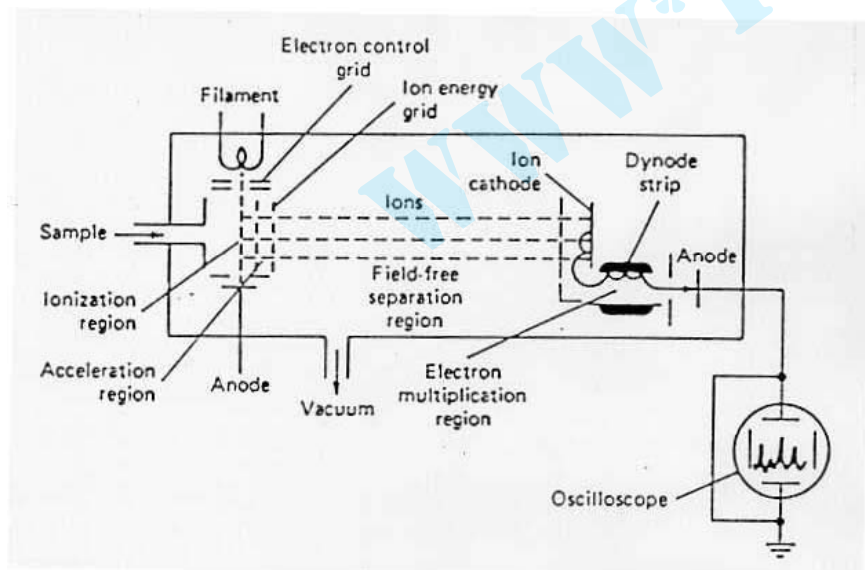


طیف سنج جرمی زمان پرواز

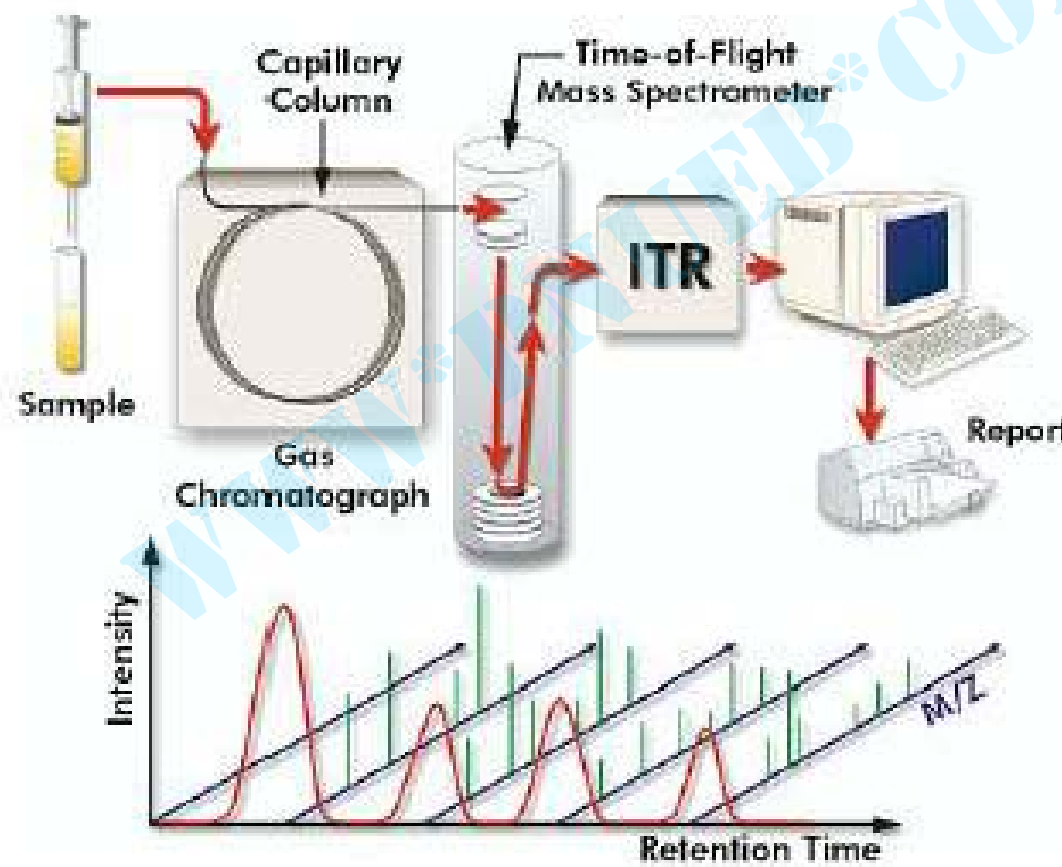
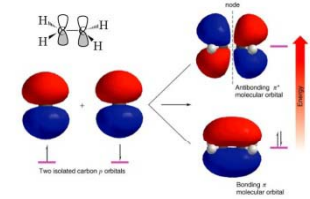


:TOF مراحل و فرایندهای طیف سنج جرمی

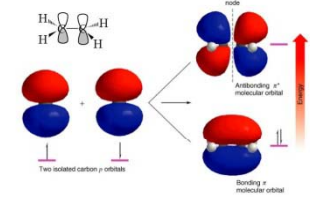
- تفنگ یونی به مدت 10^{-9} ثانیه روشن می شود.
- ولتاژ شتاب دهنده در حدود 10^{-4} ثانیه روشن می شود.
- برق قطع می شود تا یونها آزادانه در طول لوله پرواز حرکت کنند و به آشکارساز برسند.
- تفنگ الکترونی روشن می شود تا این دور مجدداً تکرار شود.



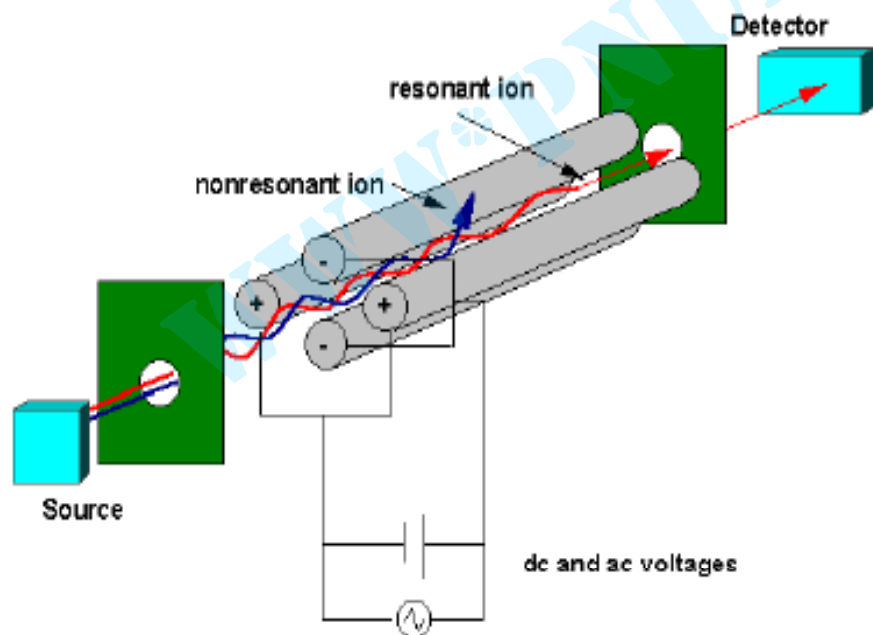
GC-TOFMS طیف سنج



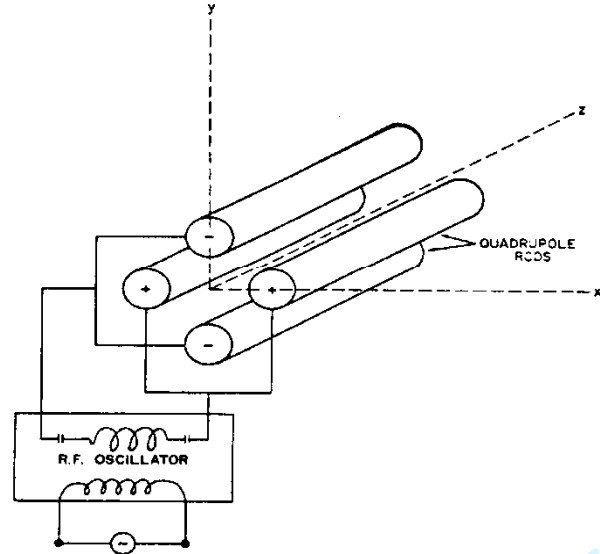
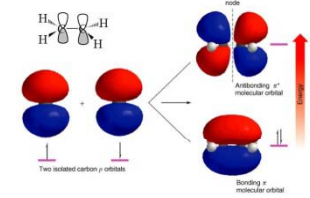
تجزیه گر جرمی چهارقطبی



- تجزیه گر جرمی چهارقطبی دارای چهار قطب مثبت و منفی می باشد.
- باریکه یون وارد آرایش متحرکی از میدانهای الکترو مغناطیسی می شود.



تجزیه گر جرمی چهارقطبی

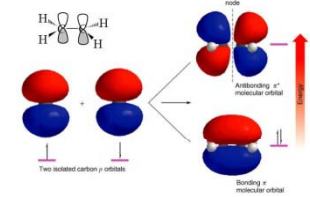


تنها یونهایی که مسیر پایداری را طی می کنند از تجزیه گر چهارقطبی خارج می شوند.



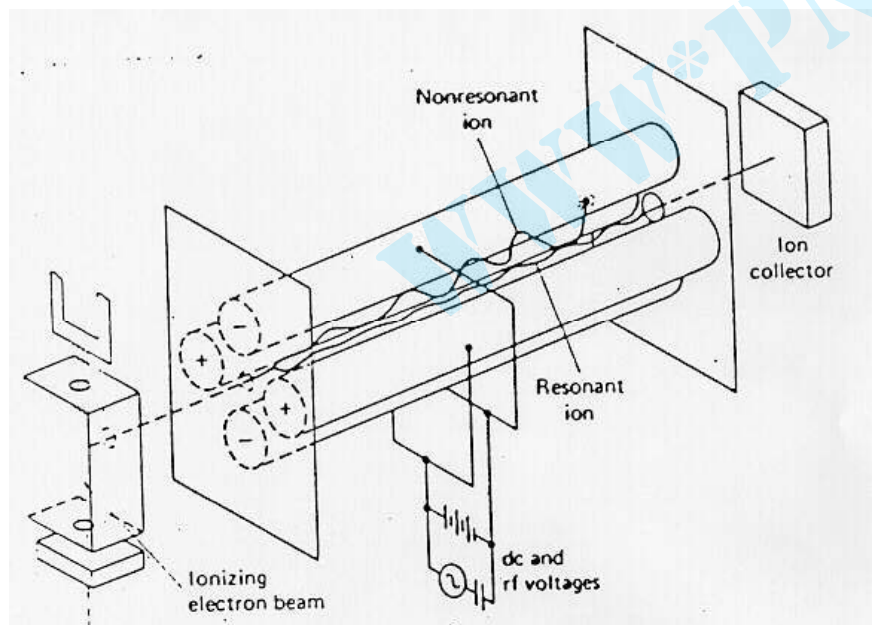
عبور یونهای هم انرژی و یکسان

طیف سنج جرمی چهار قطبی

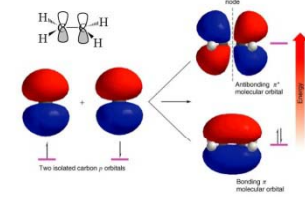


مزایای تجزیه گرهای چهار قطبی عبارتند از:

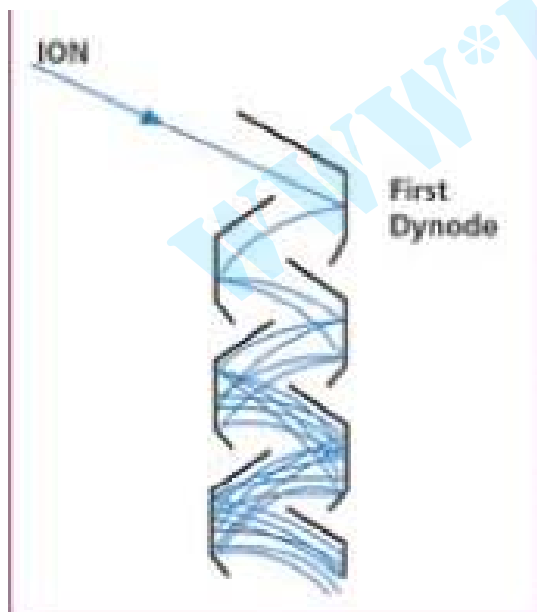
- مسیر به انرژی جنبشی و واگرایی زاویه ای یونها بستگی ندارد.
- نسبتاً ارزان و کوچکند.
- سرعت زیاد دارند.



روشهای آشکارسازی در طیف سنج جرمی

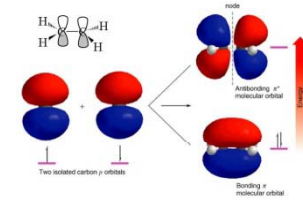


- بهترین و حساسترین روش آشکارسازی متمرکز کردن باریکه یونهای خارج شده از تجزیه جرمی بر روی یک تکثیرکننده الکترون است.
- تکثیرکننده الکترون شبیه فتومولتی پلایر (PMP) در طیف سنجی UV-Vis می باشد. جریان حاصل تقویت شده و به یک کاغذ حساس نوری می رسد.

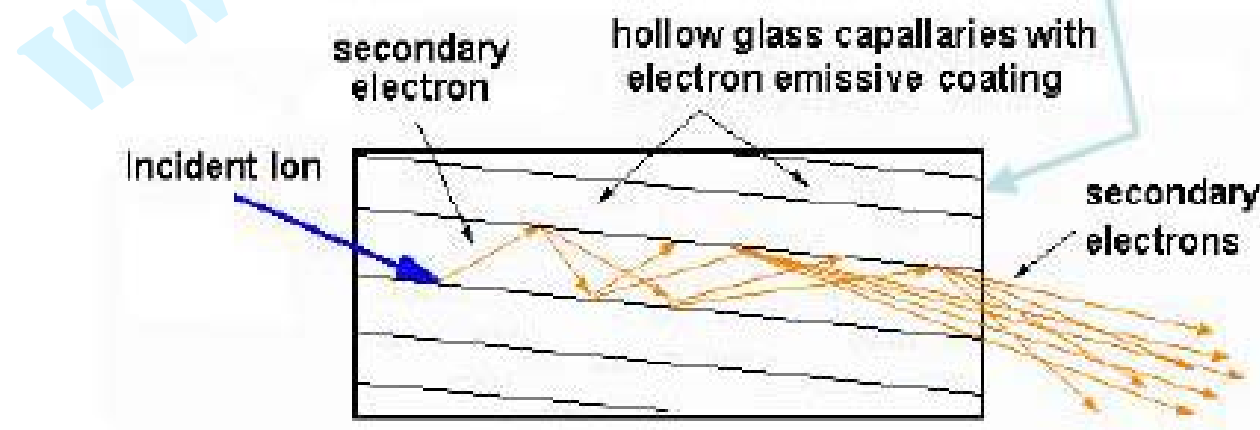
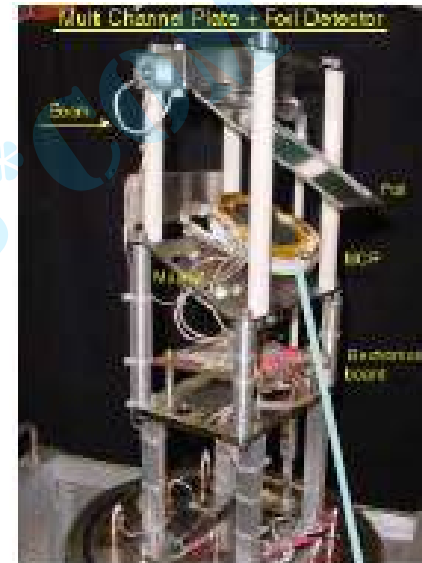


Electron Multiplier

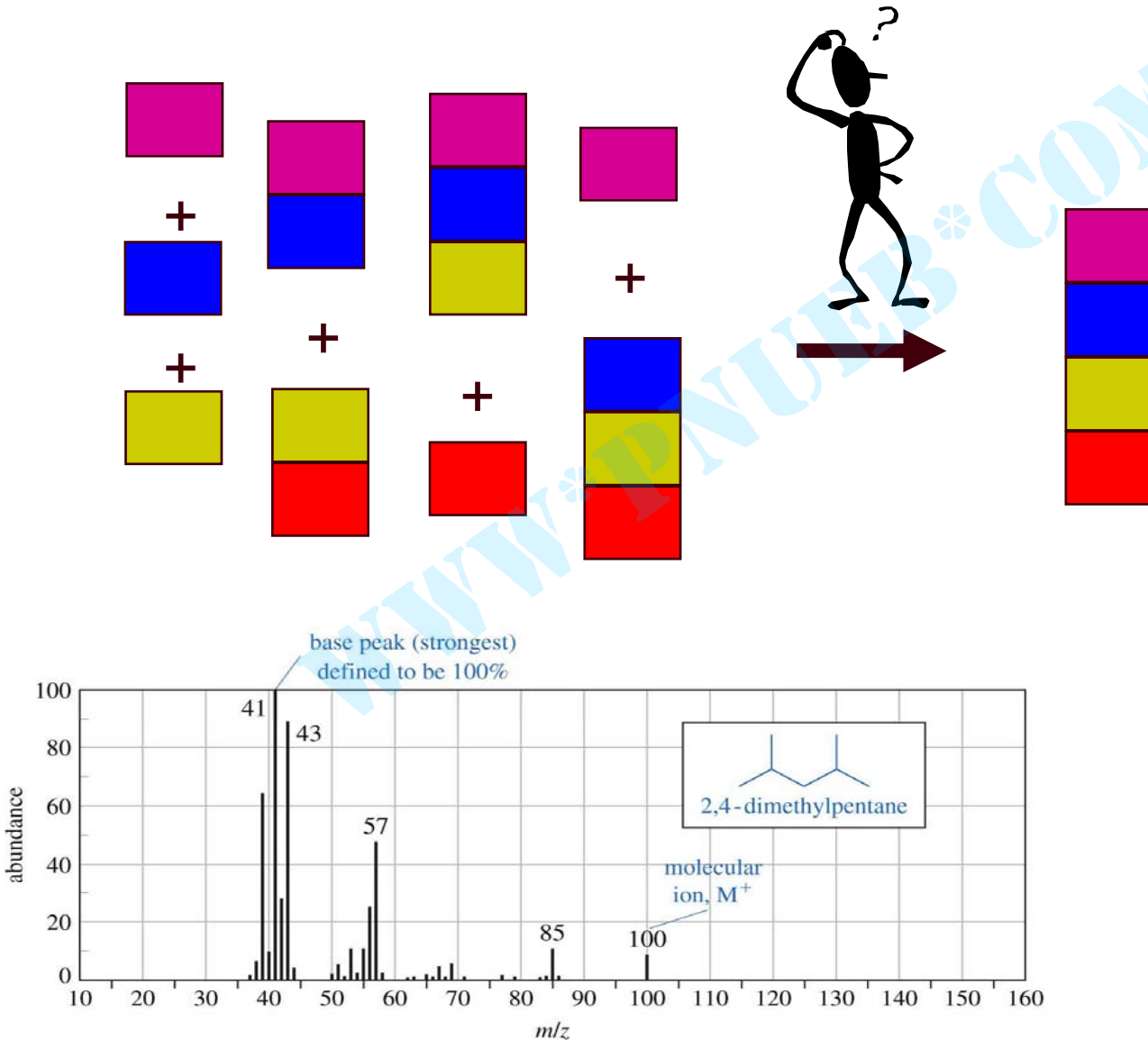
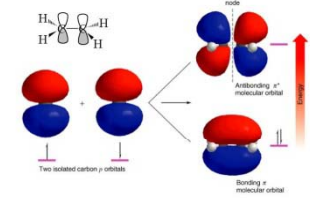
آشکارساز MCP



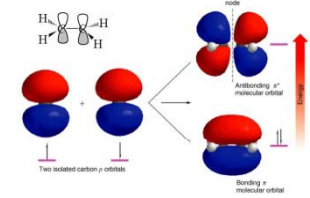
در این آشکارساز از دو صفحه کاتدی استفاده می شود . با برخورد الکترون به صفحه الکترونها به سمت صفحه کاتدی دیگر گسیل می شوند.



تفسير طیف جرمی

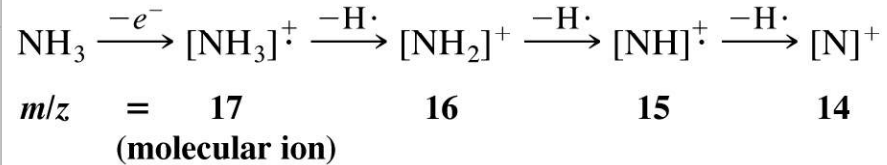
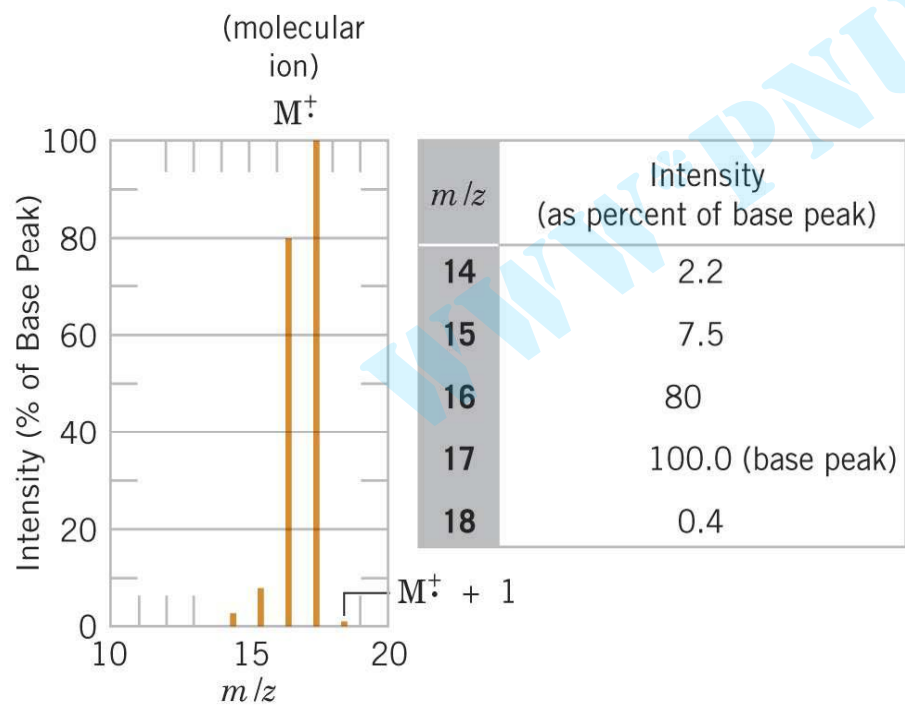


پیک پایه

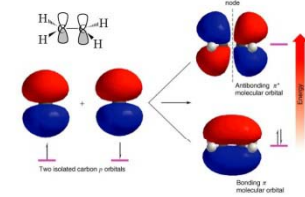


■ پیک با بیشترین شدت پیک پایه (base peak) نامیده می شود و به آن شدت ۱۰۰٪ نسبت داده می شود.

■ مثال: اجزاء مولکولی برای امونیاک به شرح زیر می باشد:



تعیین فرمول مولکولی



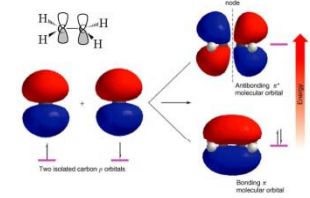
با توجه به پیک یون مولکولی و ایزوتوپها وجود ایزوتوپهایی با جرم یک یا دو واحد بیشتر موجب حضور پیکهای در $M+1$ و $M+2$ می شود.

M^+ + 1 Elements: C, H, N

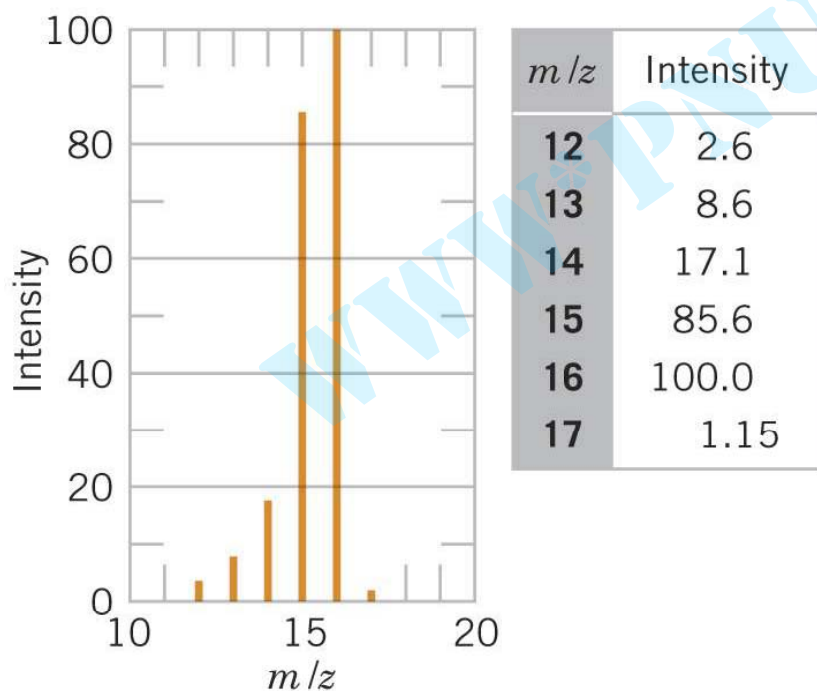
M^+ + 2 Elements: O, S, Br, Cl

شدت پیکهای $M+2$ و $M+1$ نسبت به پیک M می تواند در تعیین فرمول مولکولی کمک نماید.

تعیین فرمول مولکولی

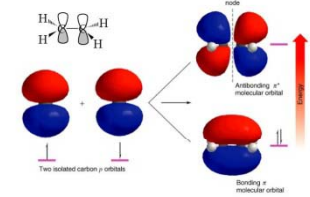


■ مثال: با توجه به فراوانی $1.11\% \text{C}^{13}$ و فراوانی $0.16\% \text{H}^2$ فراوانی $\text{M}+1$ مولکول متان به صورت زیر محاسبه می شود:



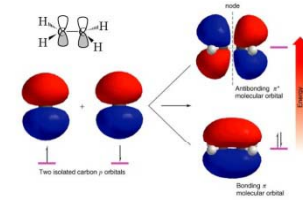
$$1.11 + 4(0.016) \approx 1.17\%$$

فراوانی ایزوتوپی

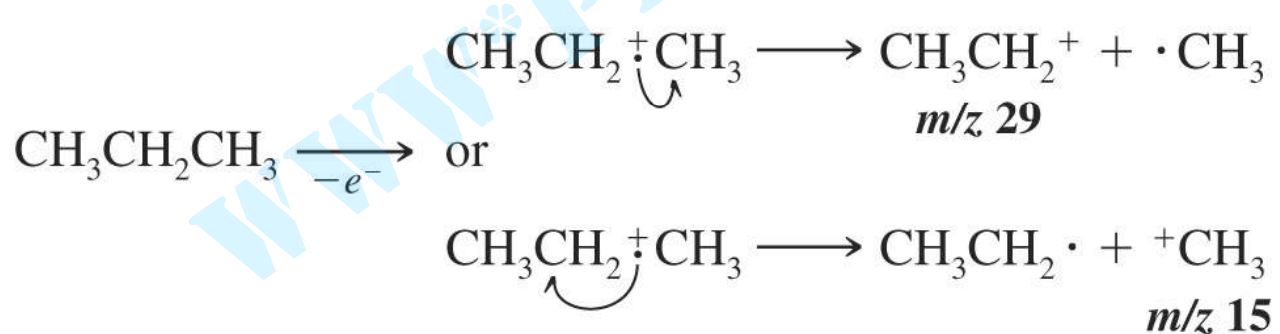


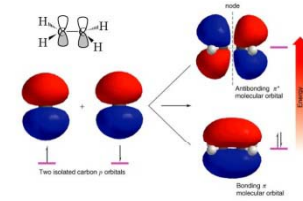
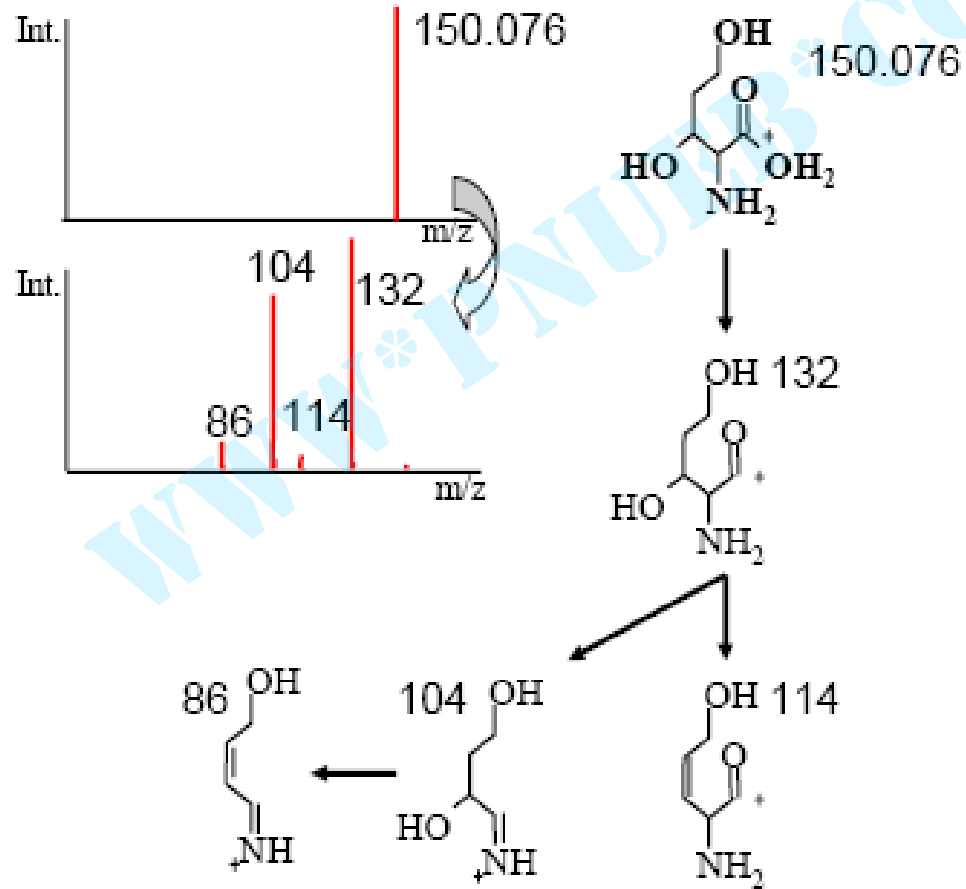
Element	Most Common Isotope	Natural Abundance of Other Isotopes (Based on 100 Atoms of Most Common Isotope)			
Carbon	^{12}C	100	^{13}C	1.11	
Hydrogen	^1H	100	^2H	0.016	
Nitrogen	^{14}N	100	^{15}N	0.38	
Oxygen	^{16}O	100	^{17}O	0.04	^{18}O 0.20
Fluorine	^{19}F	100			
Silicon	^{28}Si	100	^{29}Si	5.10	^{30}Si 3.35
Phosphorus	^{31}P	100			
Sulfur	^{32}S	100	^{33}S	0.78	^{34}S 4.40
Chlorine	^{35}Cl	100	^{37}Cl	32.5	
Bromine	^{79}Br	100	^{81}Br	98.0	
Iodine	^{127}I	100			

اجزاء یونی حاصل از شکستن پیوندها

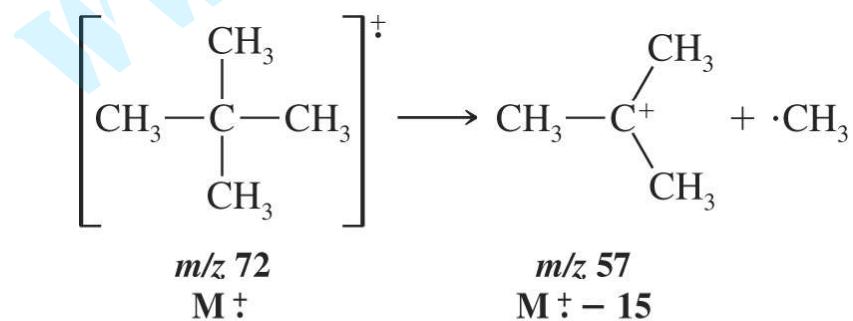
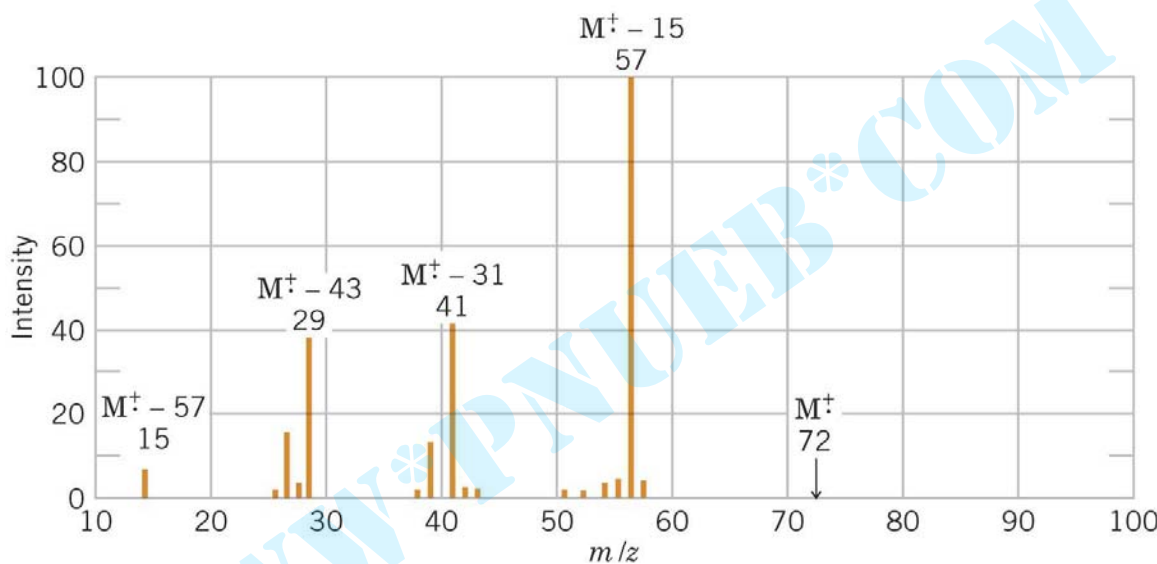
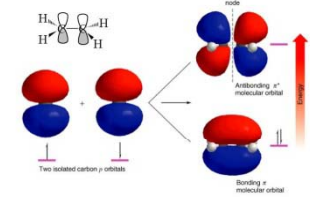


شکستن یک رادیکال کاتیون منجر به تولید یک کاتیون و یک رادیکال می شود ولی تنها کاتیون توسط آشکار می شود. MS

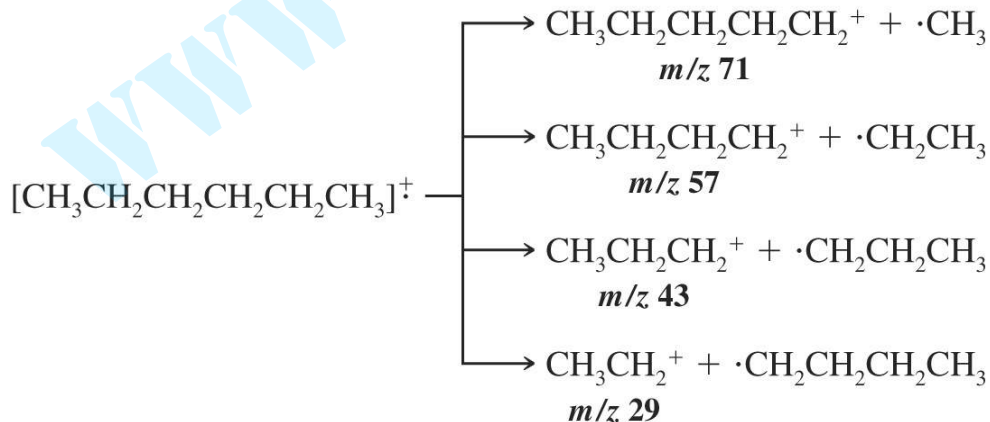
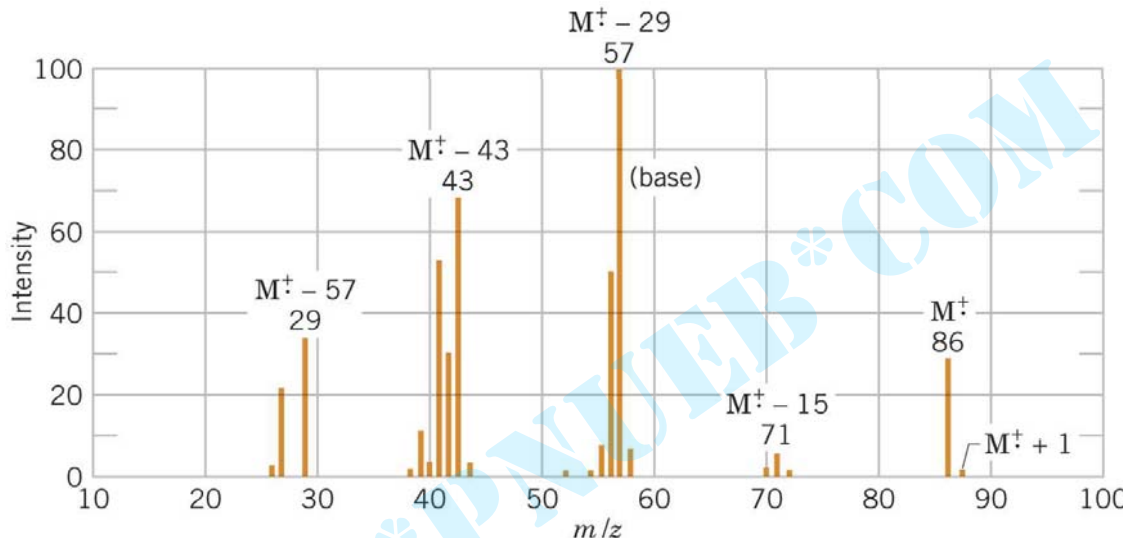
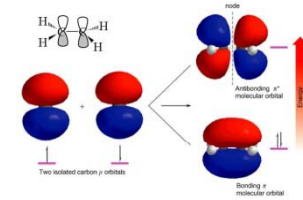




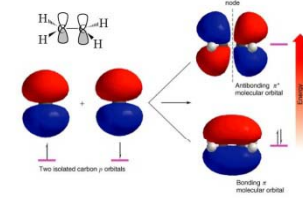
طیف نئوپنتان



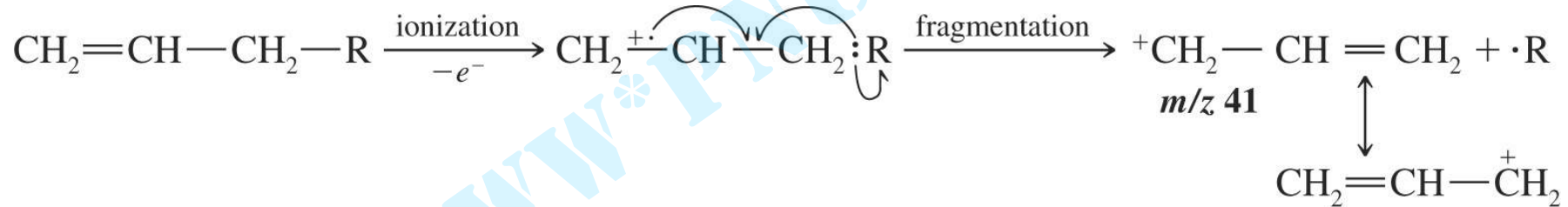
طیف جرمی هگزان



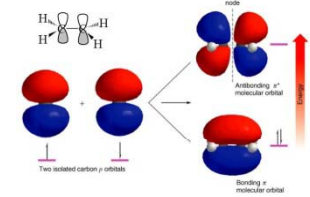
اجزاء یونی حاصل از شکستن پیوندها



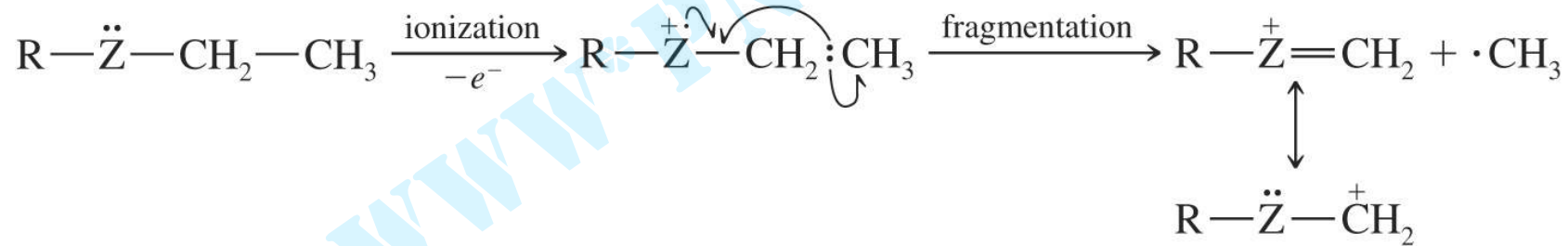
در اولفینها ، کربوکاتیونها بوسیله رزونانس پایدار می شوند.



اجزاء یونی حاصل از شکستن پیوندها

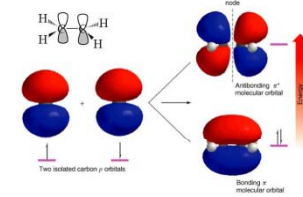


پیوند های کربن - کربن نزدیک یک اتم با جفت الکترون غیر پیوندی باعث پایداری کربوکاتیون می شوند.

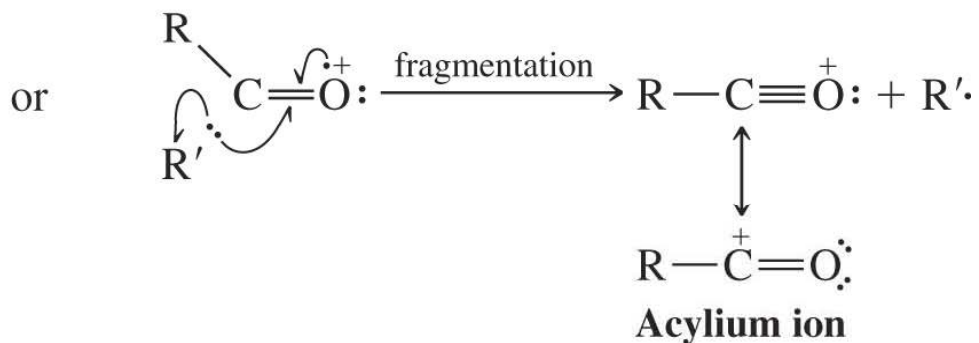
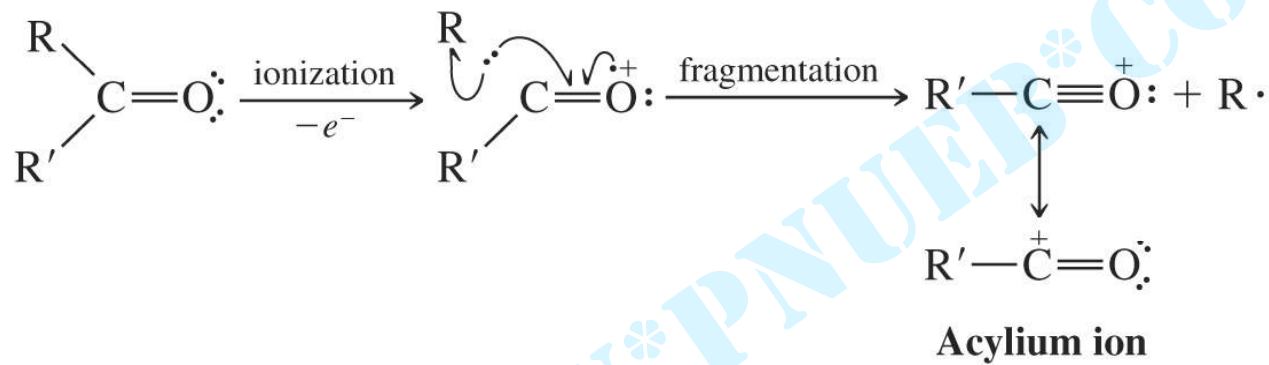


where Z = N, O, or S; R may also be H.

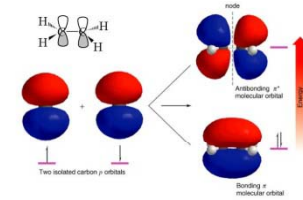
اجزاء یونی حاصل از شکستن پیوندها



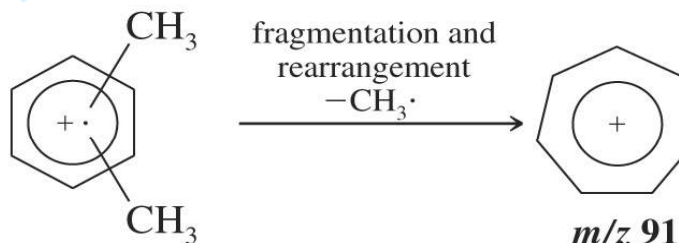
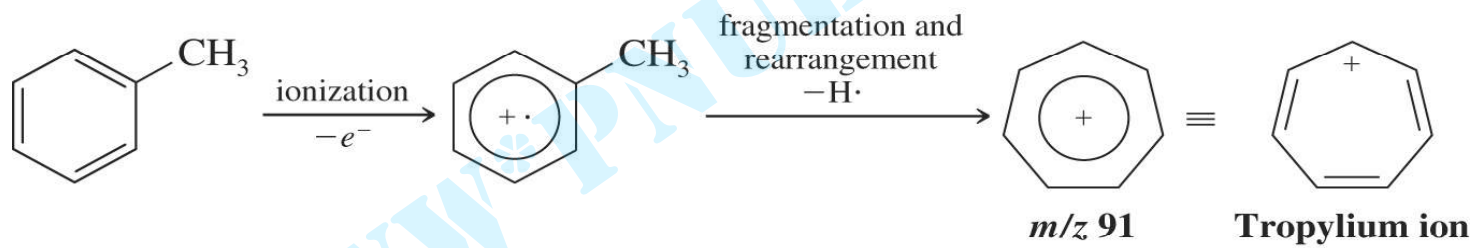
حذف گروه R در ترکیبات کربنیل دار (اسیدها، آلدئیدها، کتونها و استرها)



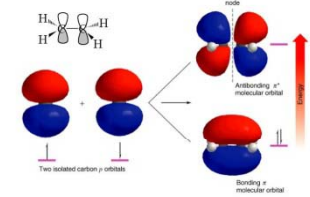
اجزاء یونی حاصل از شکستن پیوندها



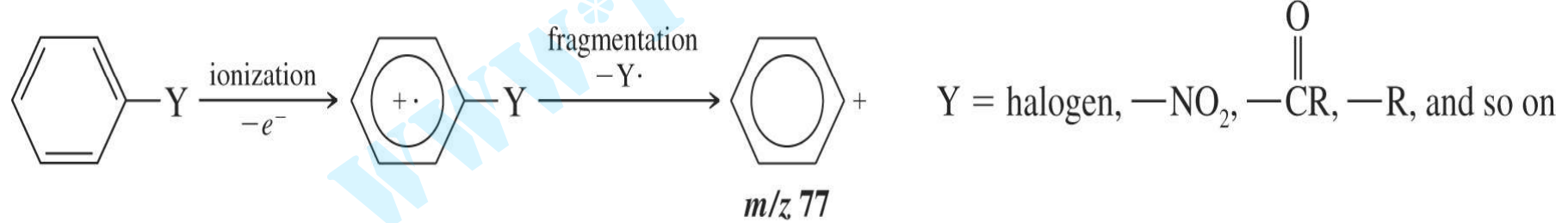
آلکیل بنزنها اغلب یک هیدروژن یا گروه آلکیل از دست می دهند تا یون پایدار تر و پیلیم بدست آید.



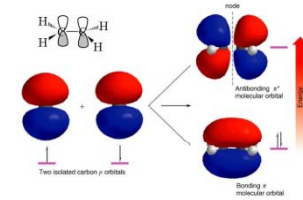
اجزاء یونی حاصل از شکستن پیوندها



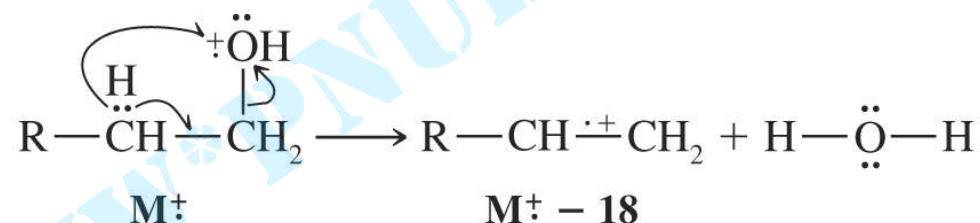
بنزنهای استخلافی ، استخلاف را از دست می دهند تا کاتیون فنیل بدست آید.



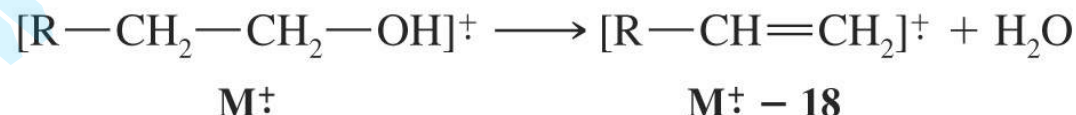
اجزاء یونی حاصل از شکستن پیوندها



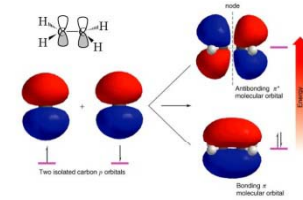
الکلها معمولاً با از دست دادن یک مولکول H_2O یک پیک در $M^{+}-18$ نشان می دهند.



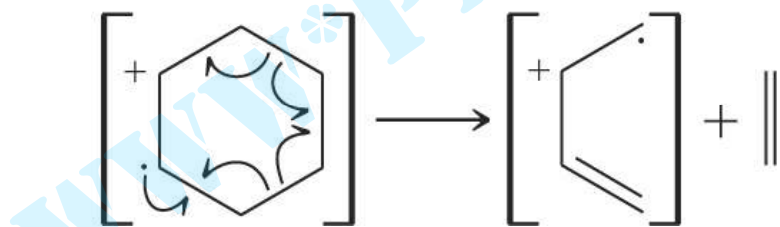
which can also be written as



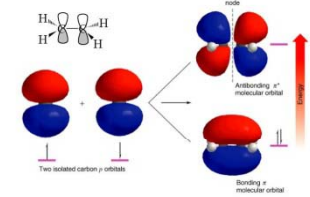
اجزاء یونی حاصل از شکستن پیوندها



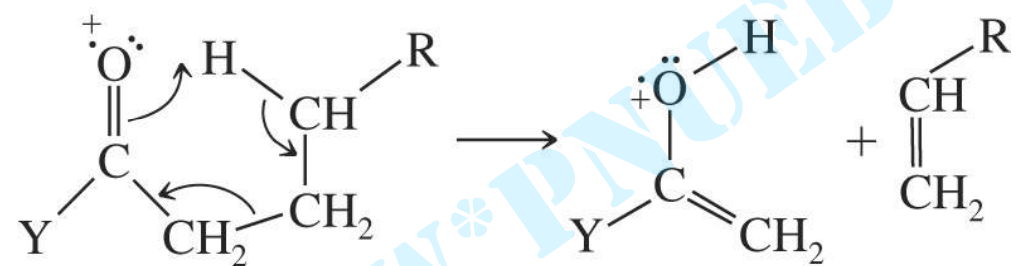
سیکلوآلکانها عکس واکنش دیلز-آلدر انجام می‌دهند.



اجزاء یونی حاصل از شکستن پیوندها



ترکیبات کربنیل نوازایی McLafferty انجام می دهند.



کاربردهای طیف سنجی جرمی

تعیین فراوانی
ایزوتوبیها

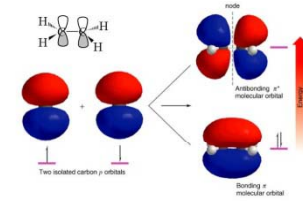
تجزیه و تحلیل
مخلوطهای نفتی

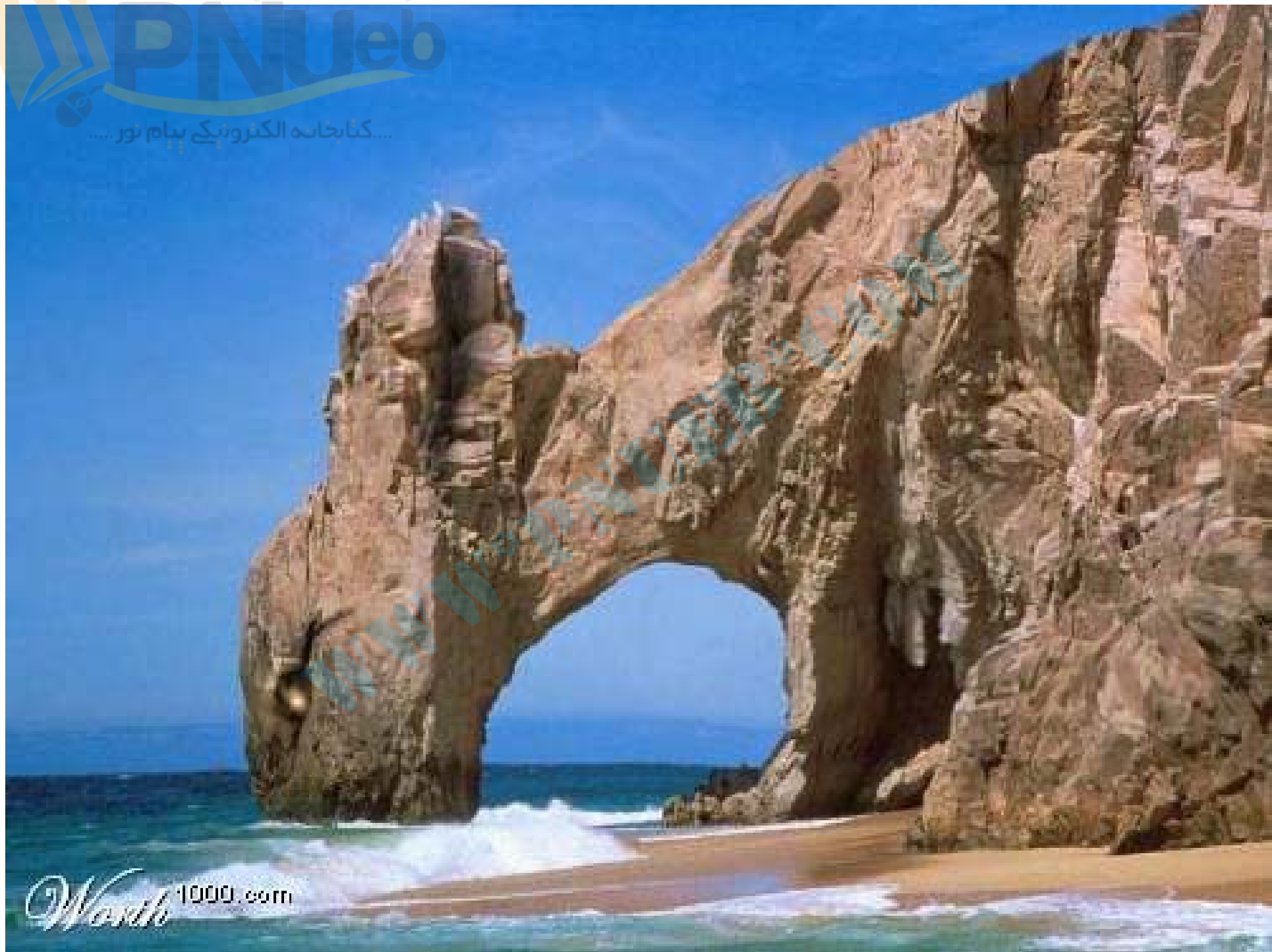
شناسایی ترکیبات

آلکالوئیدها ، ترپنهای

پروتئینها ، قندها ، آمینو اسیدها
و اسیدهای نوکلئیک

داروها
و مواد سمی

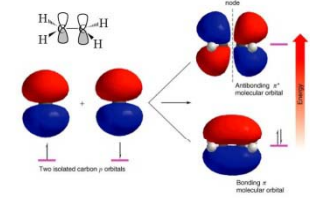




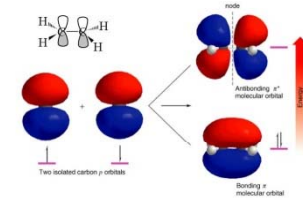
کروماتوگرافی فاز مایع و فاز جامد



هدف از این فصل



- آشنایی کامل با مبانی نظری و عملی کروماتوگرافی
- آشنایی با انواع روش‌های کروماتوگرافی فاز جامد و فاز مایع
- آشنایی با دستگاه‌های کروماتوگرافی ستونی
- کاربردهای روش کروماتوگرافی



مقدمه

اصول و مبانی

- کروماتوگرافی جذبی
- کروماتوگرافی تقسیمی
- کروماتوگرافی تعبیض یونی
- کروماتوگرافی طرد مولکولی

ارتباط تئوری و عمل

- بازداری
- کارایی ستون
- ارتفاع معادل ستون بر حسب یک سطح نظری (HETP)
- قدرت تفکیک
- گزینندگی
- ظرفیت ستون

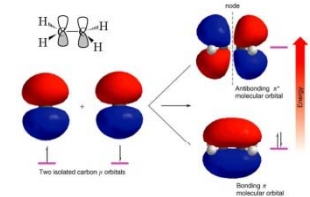
کروماتوگرافی کاغذی و لایه نازک

کروماتوگرافی با عملکرد بالا (HPLC)

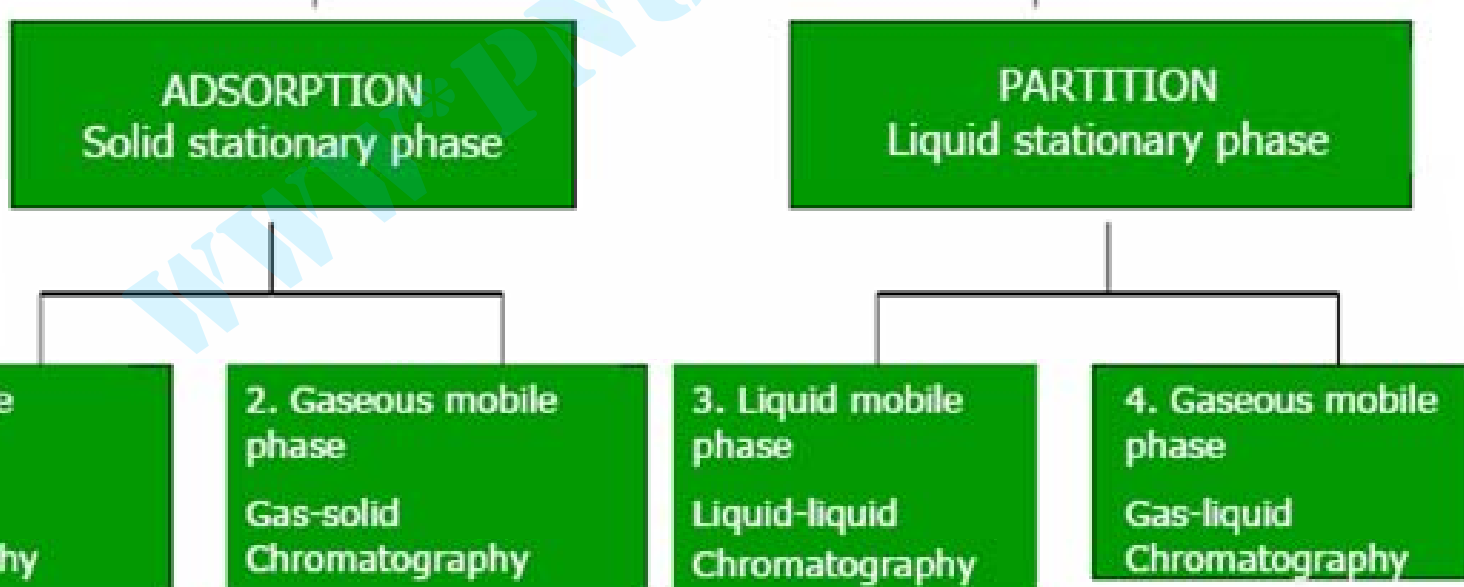
- HPLC مقدمه ای بر
- ذرات جاذب
- دستگاههایی
- ستونها
- آشکارسازها

کروماتوگرافی فاز پیونددار (BPC)

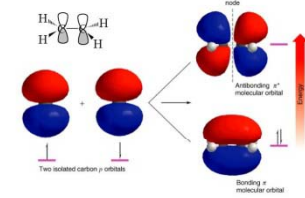
مقدمه: روش‌های کروماتوگرافی



CHROMATOGRAPHY



کروماتوگرافی جذبی

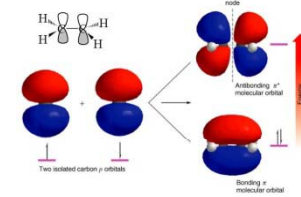


این روش بر اساس برهم کنش بین ماده حل شده و نقاط فعال ثابت بر روی ماده جاذب جامد بعنوان فاز ساکن می باشد.

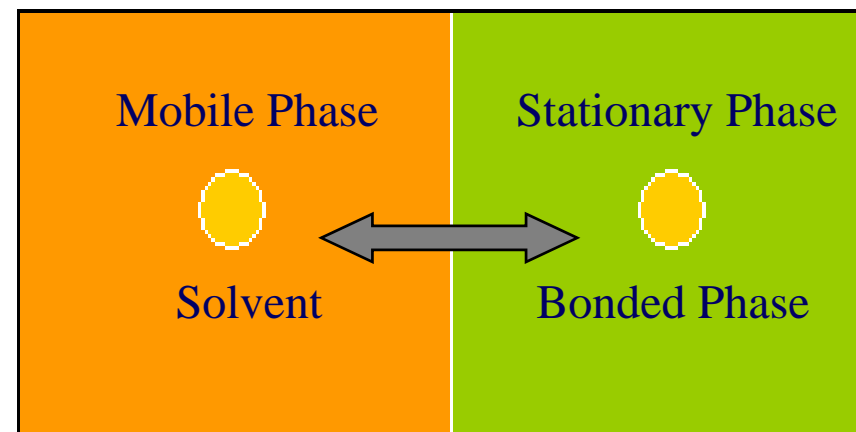
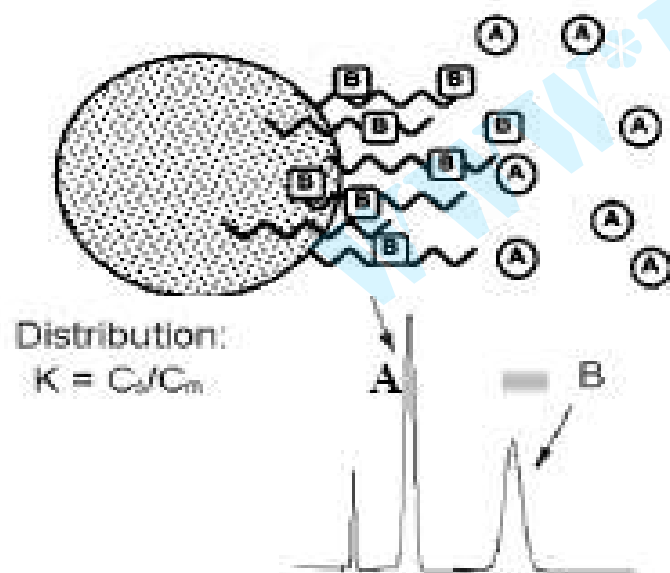
نقاط فعال: گروههای سیلانول

ماده جاذب: سیلیکاژل ، آلومین یا ذغال

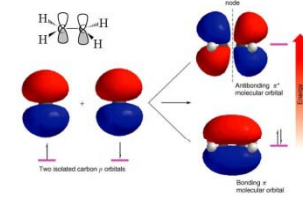
اصول و مبانی کروماتوگرافی مایع



هر یک از گونه های **A** و **B** با حرکت در طول ستون بر روی فاز ساکن به طور متفاوتی دچار جذب و واجذب می شوند و در نتیجه در زمانهای متفاوتی از ستون خارج می شوند.

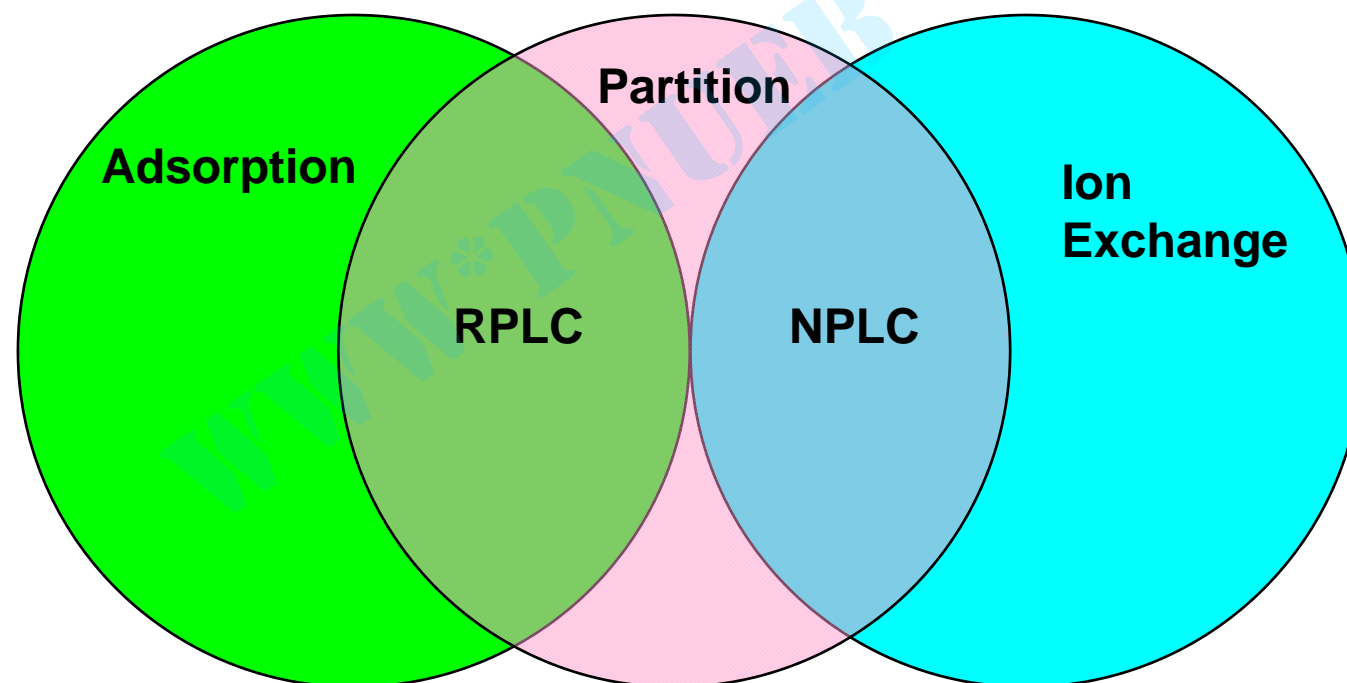
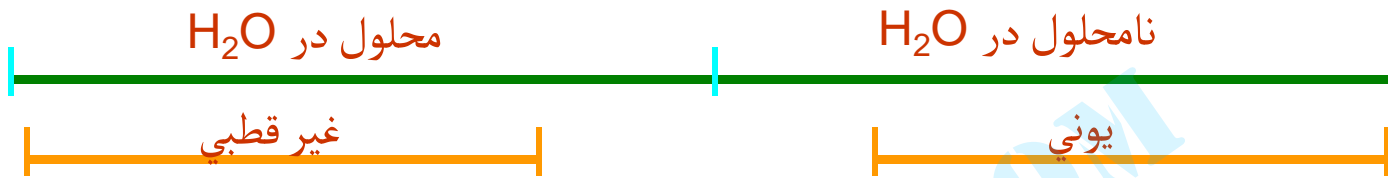
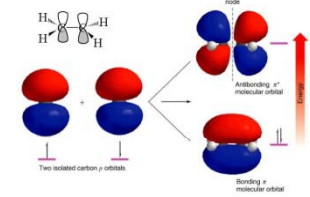


کروماتوگرافی تقسیمی (Partition (Partitio

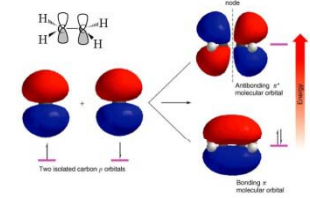


در این روش مولکولهای حل شده بر حسب قدرت اتحال خود بین دو مایع غیرقابل اختلاط که فازهای ساکن و متحرک را تشکیل می دهند توزیع می شوند.

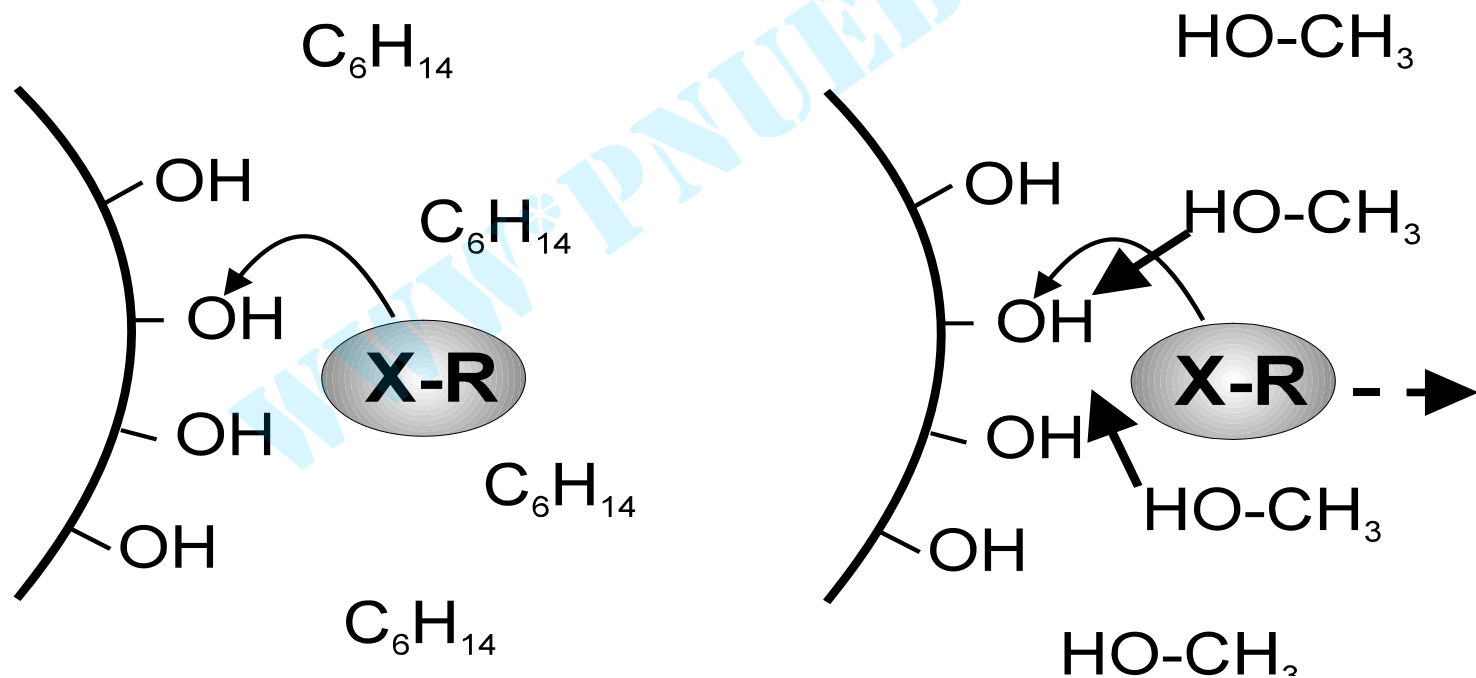
- کروماتوگرافی فاز نرمال (NPLC)
- کروماتوگرافی فاز معکوس (RPLC)



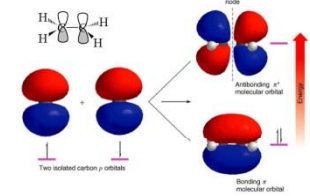
کروماتوگرافی فاز نرمال (NPLC)



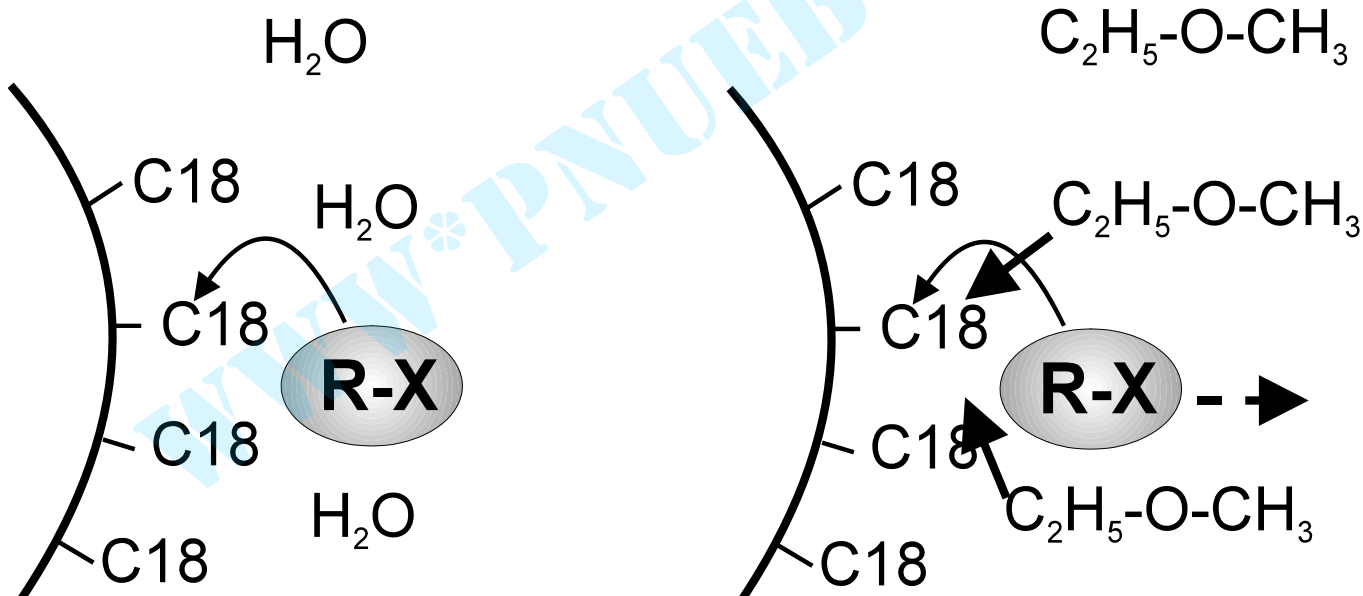
در کروماتوگرافی فاز نرمال اجزاء قطبی با شدت بیشتری نگه داشته می شوند.



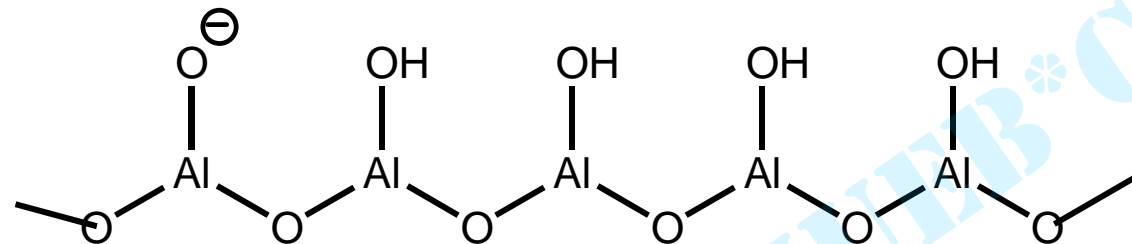
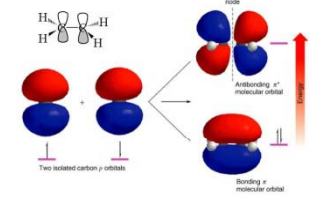
کروماتوگرافی فاز معکوس (RPLC)



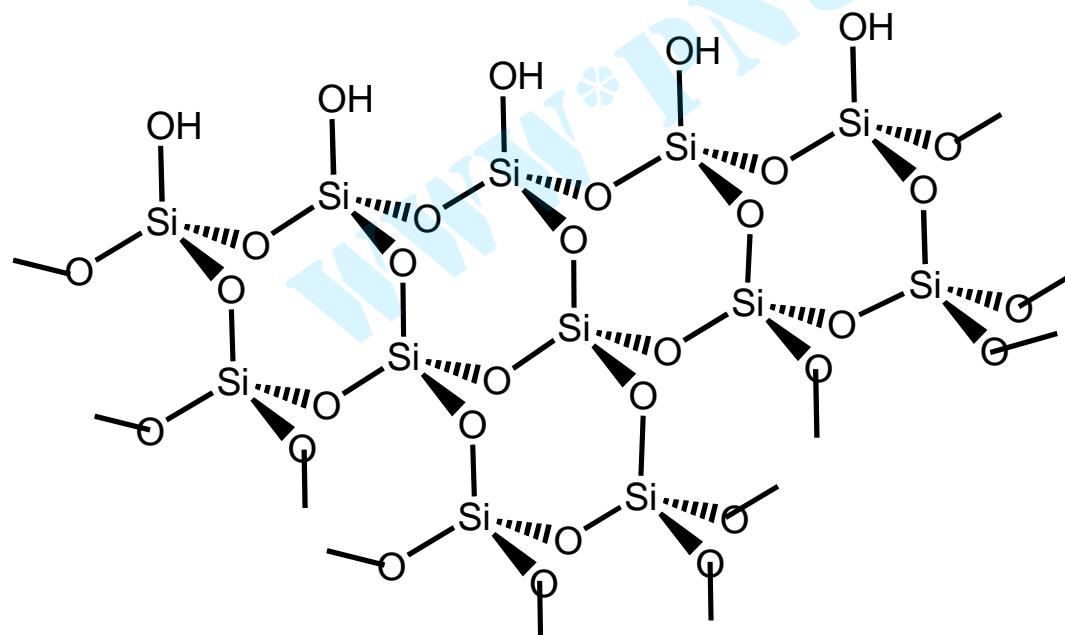
در کروماتوگرافی فاز معکوس اجزاء قطبی سریعتر حرکت می کنند.



فازهای ساکن کروماتوگرافی

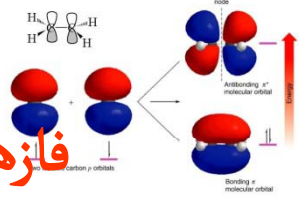


Alumina

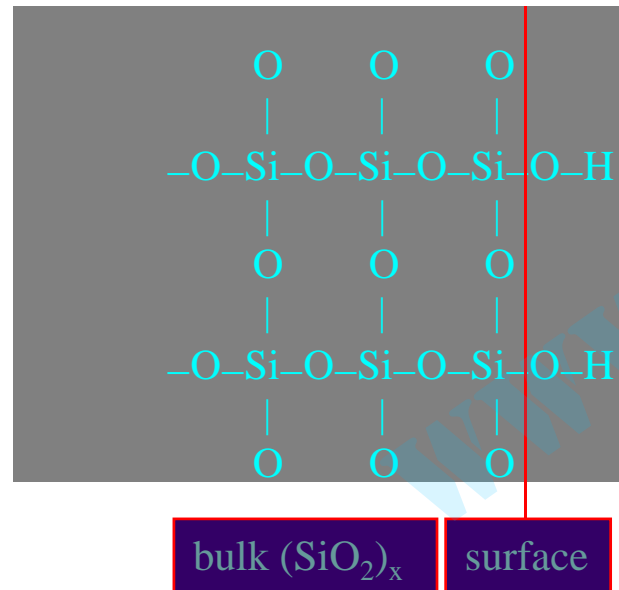


Silica (SiO_2)

فازهای ساکن کروماتوگرافی

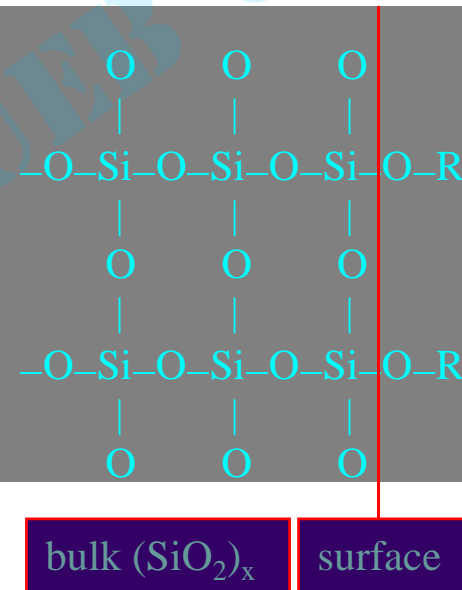


Silica Gel



“normal phase”

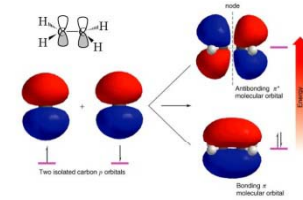
Derivatized Silica Gel



“reversed phase”

کروماتوگرافی مبادله یونی

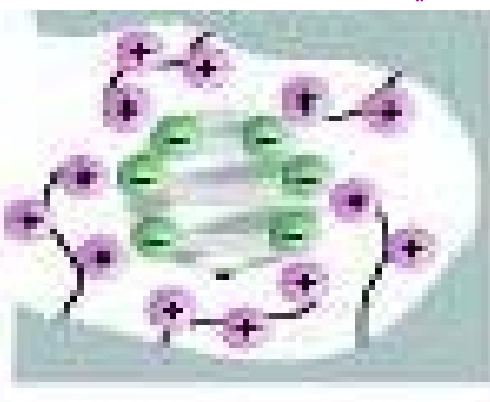
Ion Exchange Chromatography



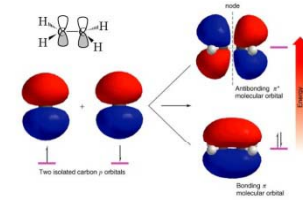
اساس جداسازی به برهمکنش بین یون های نمونه (کاتیون یا آنیون) با فاز ساکن حاوی بار مخالف مربوط می شود.



رژین های حاوی گروه های یونی که به فاز جامد متخلخل پیوند شیمیایی شده اند.



کروماتوگرافی مبادله یونی



فاز ثابت:

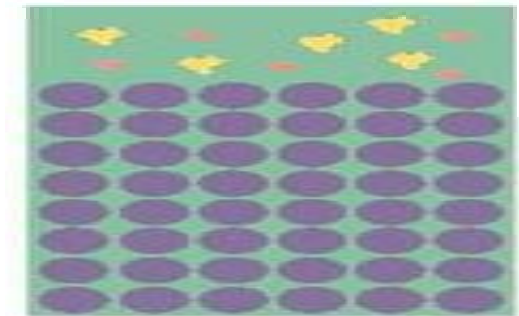
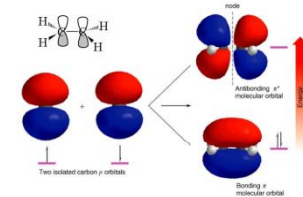
سیلیکا و پلی استیرن اصلاح شده با گروههای عاملی مانند آمین های چهارتایی (quaternary amines)

فاز متحرک:

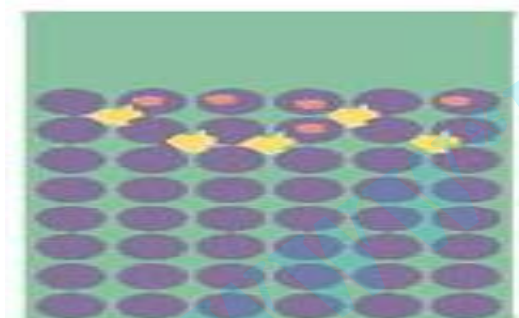
محلول بافر آبی (NaCl , MgCl_2 , K_3PO_4 , NH_4SO_4) حاوی یون مخالف با یونهای سطحی رزین.

کروماتوگرافی طرد مولکولی

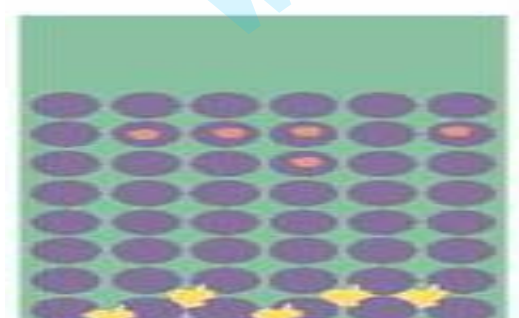
Size-exclusion chromatography



تزریق نمونه به داخل ستون

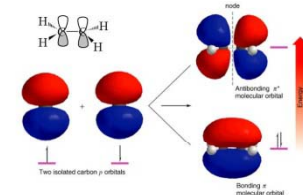


مولکولهای کوچکتر وارد کانالهای میشوند و از سرعت آنها کاسته می شود.

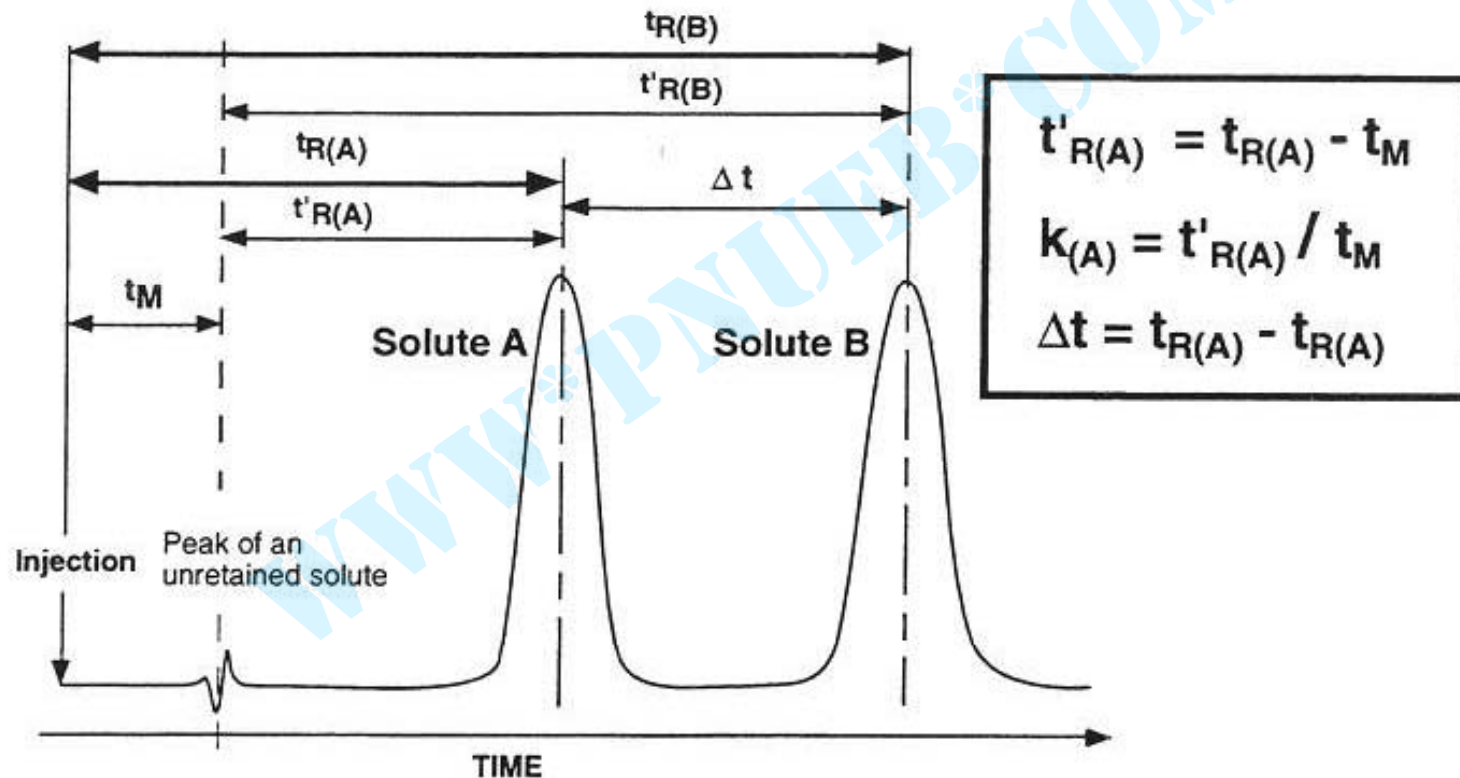


مولکولهای بزرگتر از میان فاز ساکن و حللا سریعتر عبور می کنند و زودتر از ستون خارج می شوند.

پارامترهای بازداری

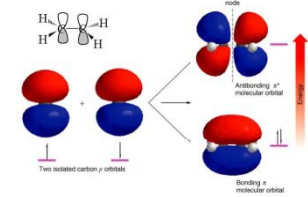


RETENTION PARAMETERS



Retention Volume

حجم بازداری

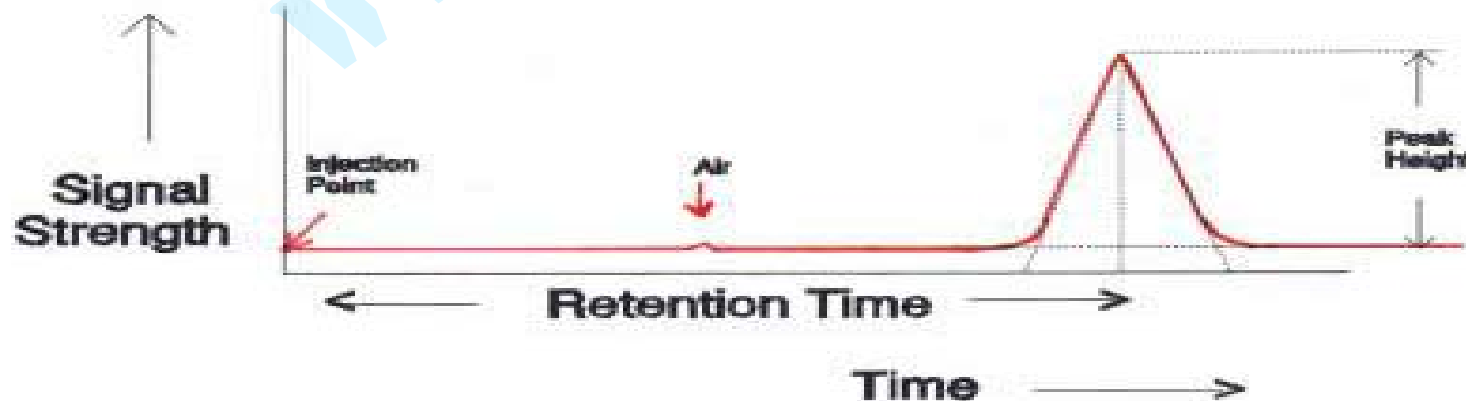


$$V_R = t_R \times F$$

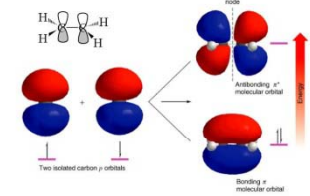
$V_R \Rightarrow$ حجم بازداری

$t_R \Rightarrow$ زمان بازداری

$F \Rightarrow$ سرعت جریان



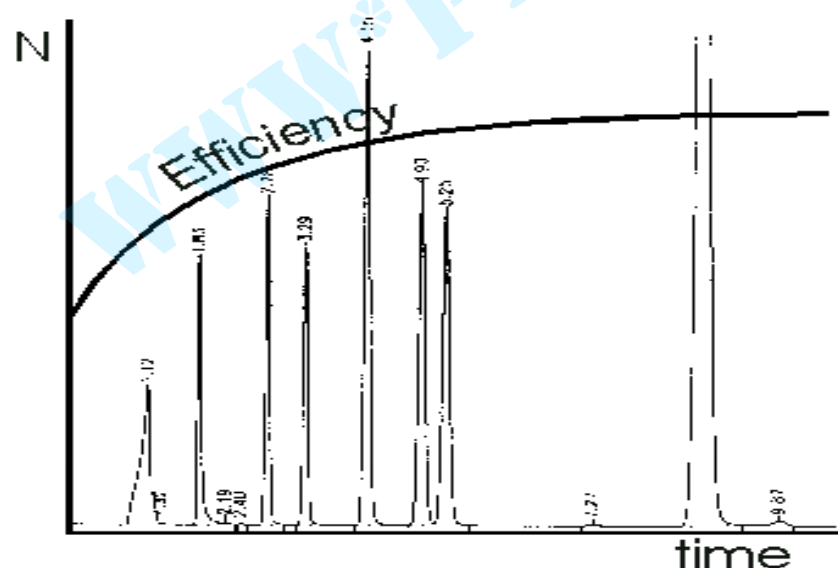
کارائی ستون



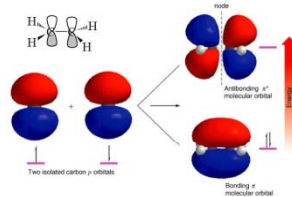
کارائی ستون به سرعت پهن شدن نوار در موقع حرکت ماده حل شده در ستون یا صفحه مربوط می شود.

$$N = \left(\frac{t_R}{\sigma_{total}} \right)^2$$

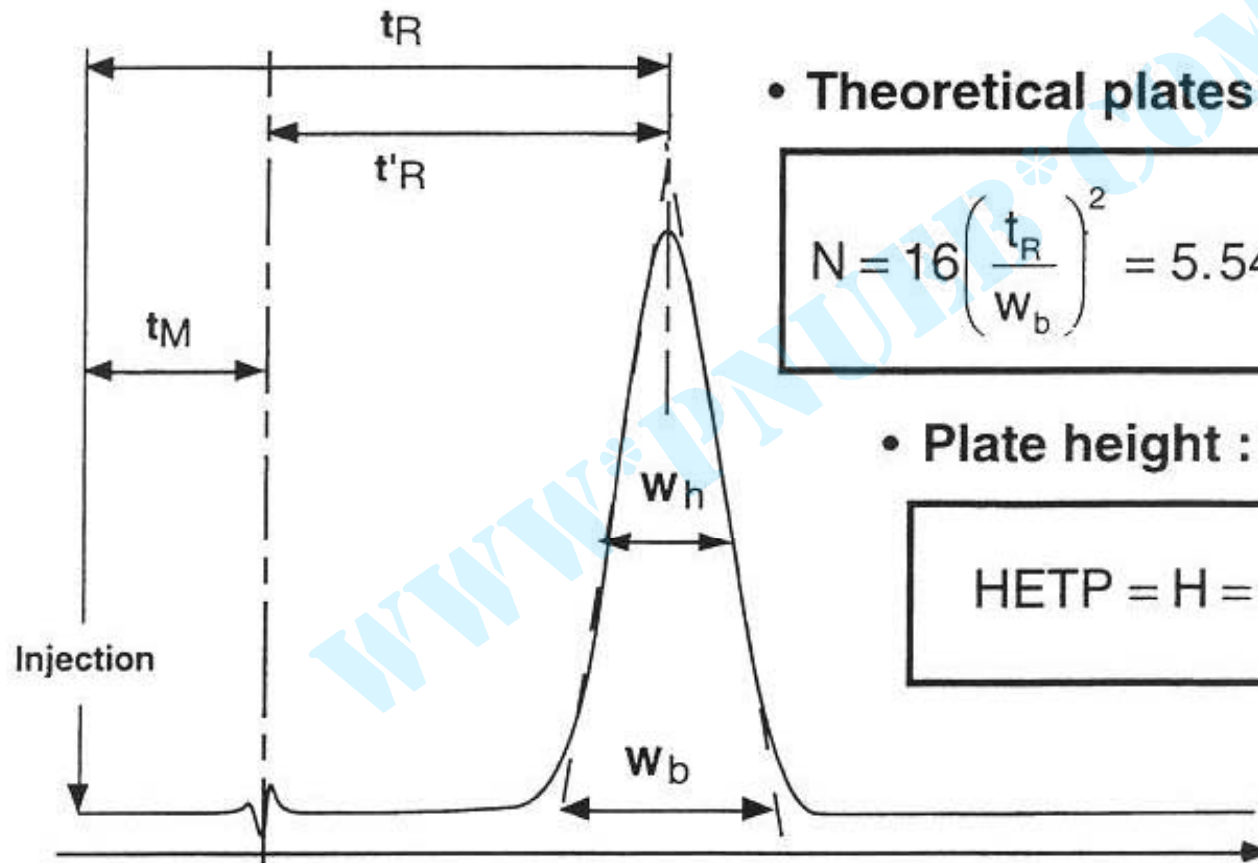
$$\sigma_{total} = \sigma_{column} + \sigma_{inject.} + \sigma_{cell} + \sigma_{connect.}$$



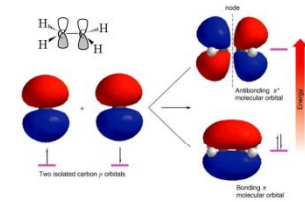
پارامترهای کارائی



EFFICIENCY PARAMETERS



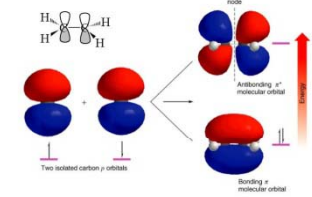
معادله ریاضی مربوط به ارتفاع بشقابکهای تئوری (H)



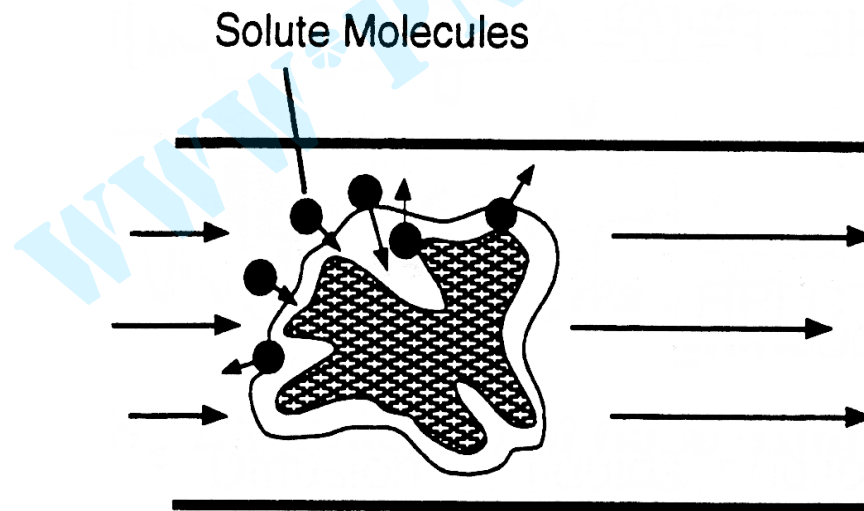
$$H = \frac{1}{(1/H_{ed} + 1/H_{mp})} + H_{ld} + H_{sm} + H_{sp}$$

Mass Transfer

انتقال جرم

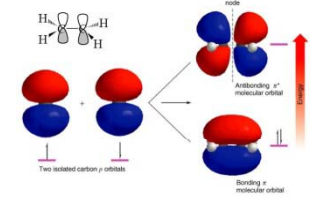


- انتقال جرم ماده حل شده به فاز ساکن (H_{sp})
- انتقال جرم ماده حل شده در فاز متحرک (H_{mp})
- مقدار ماده حل شده در فاز متحرک موجود در خلل و فرج ذرات پر کننده (H_{sm})



Eddy Diffusion

نفوذ گردابی

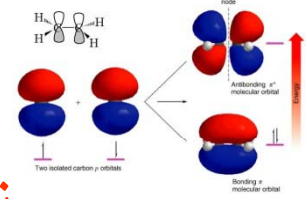


□ نفوذ گردابی (H_{ed}) ناشی از جریان نامنظم فاز متحرک از میان ذرات انباشته شده در ستون می باشد.



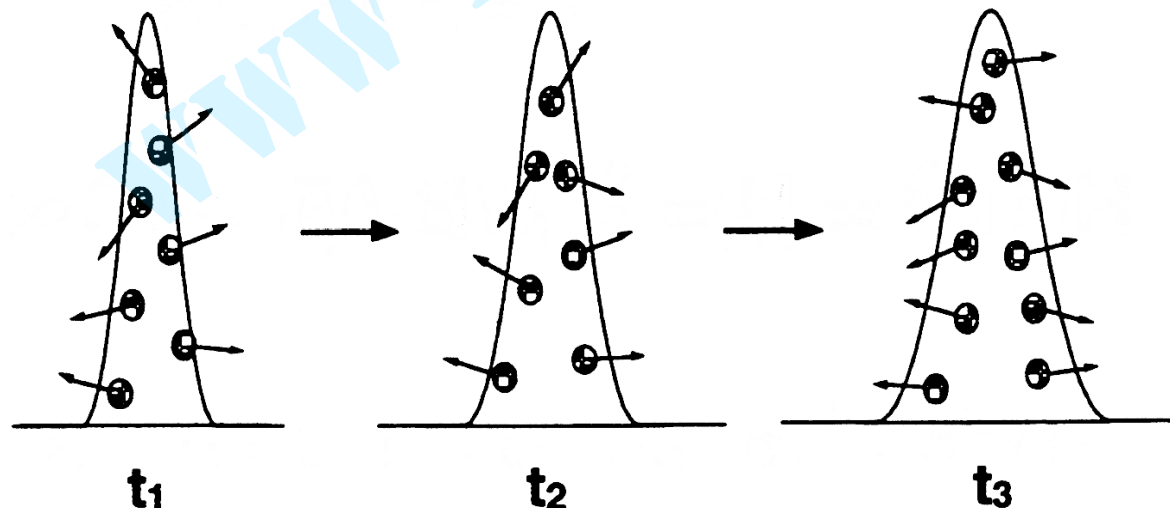
LONGITUDINAL DIFFUSION

نفوذ طولی

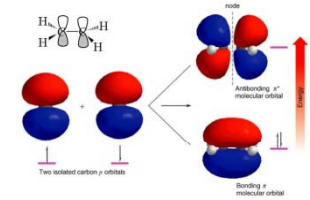


■ نفوذ طولی (H_{Id}) مربوط به نفوذ مولکولهای حل شده در جهت و خلاف جهت فاز متحرک می باشد.

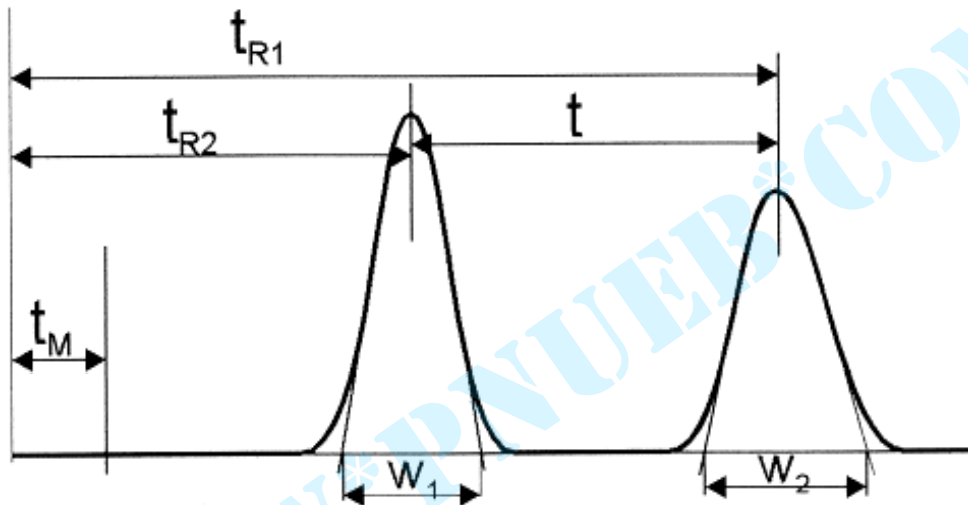
■ H_{Id} در کروماتوگرافی مایع کمترین سهم را دارد در حالی که در کروماتوگرافی گازی بیشترین سهم را دارا می باشد.



قدرت تفکیک



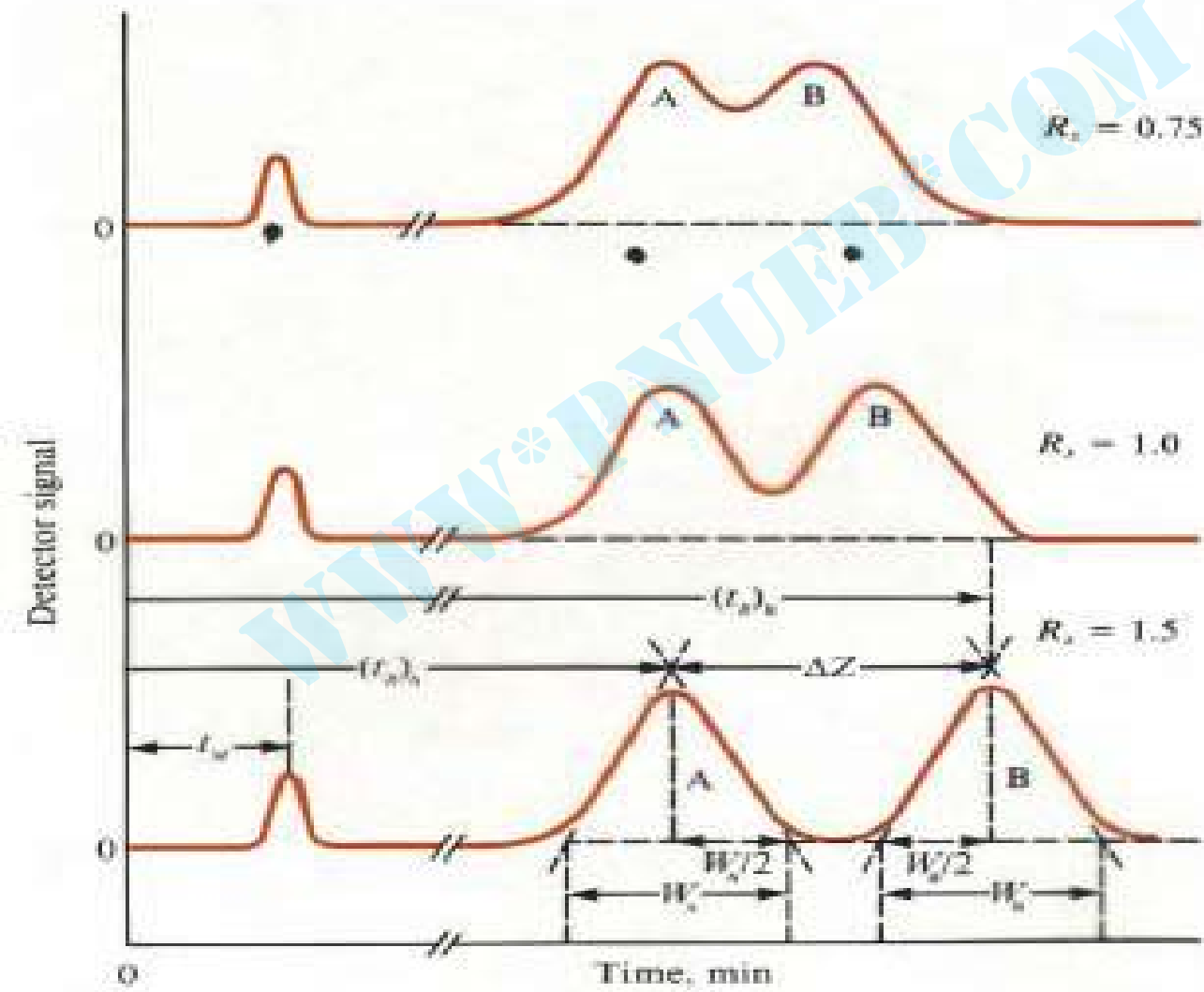
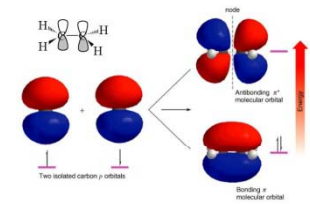
RESOLUTION



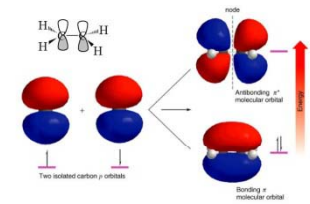
$$R = \frac{\Delta t}{\frac{1}{2}(w_1 + w_2)}$$

$$R = \left(\frac{k'}{1+k'} \right) \left(\frac{\alpha - 1}{\alpha} \right) \frac{\sqrt{N}}{4}$$

قدرت تفکیک در کروماتوگرافی



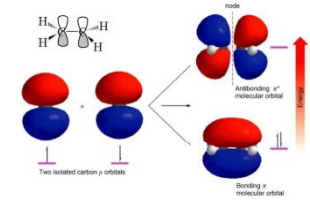
قدرت تفکیک در کروماتوگرافی



قدرت تفکیک پایین

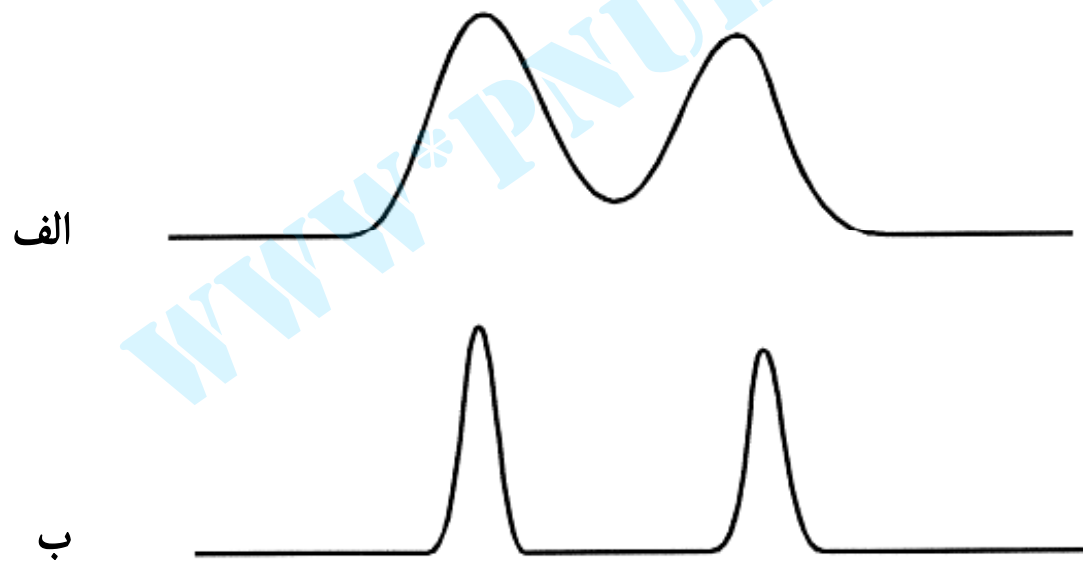
قدرت تفکیک بالا

گزینندگی

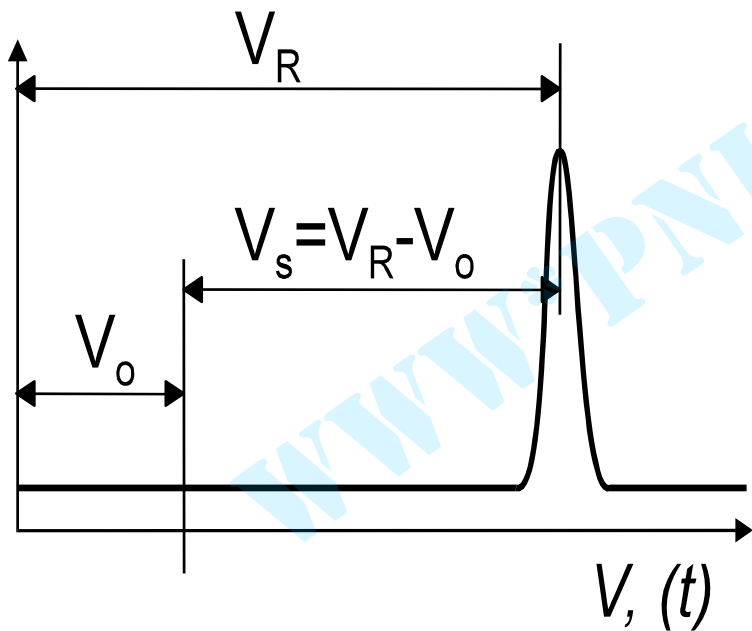


گزینندگی، توانایی یک سیستم کروماتوگرافی در تفکیک کردن دو جزء می باشد.

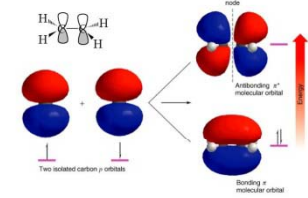
جدازی روش (ب) قدرت تفکیک بالاتری از روش (الف) دارد در حالی که گزینندگی هر دو روش یکسان است!



CAPACITY FACTOR



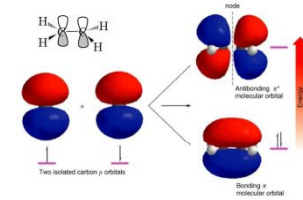
فاکتور ظرفیت



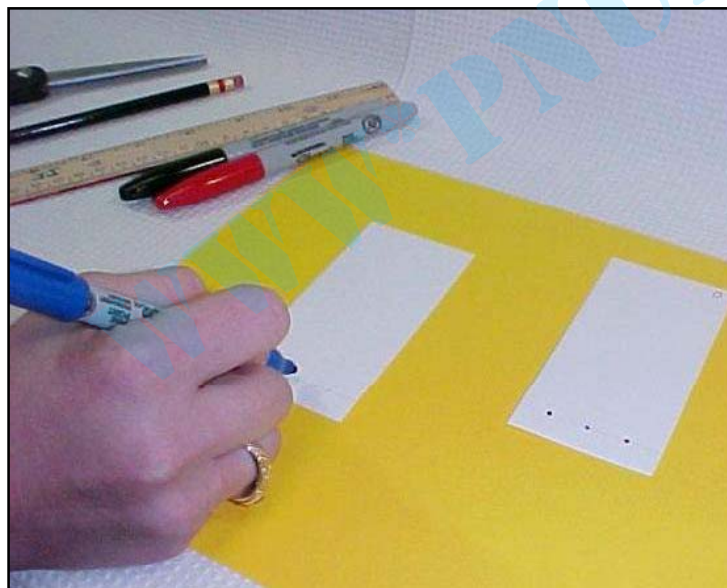
$$k' = \frac{V - V_o}{V_o} = \frac{t - t_o}{t_o}$$

$$\left[k' = \frac{t_{surf.}}{t_{liquid}} \cong K \right]$$

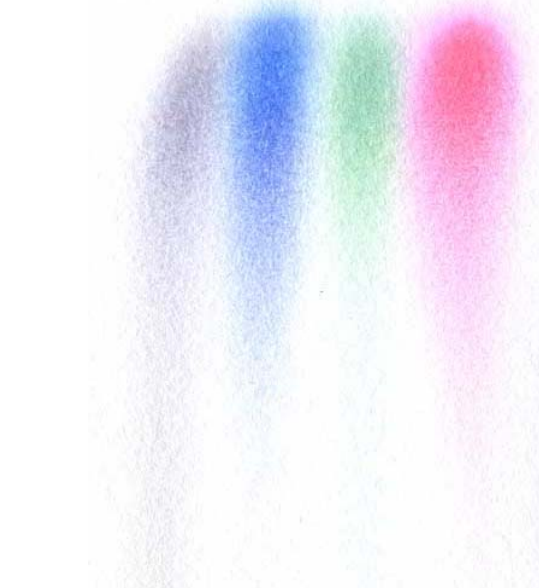
کروماتوگرافی کاغذی



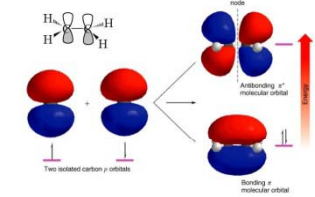
Paper Chromatography



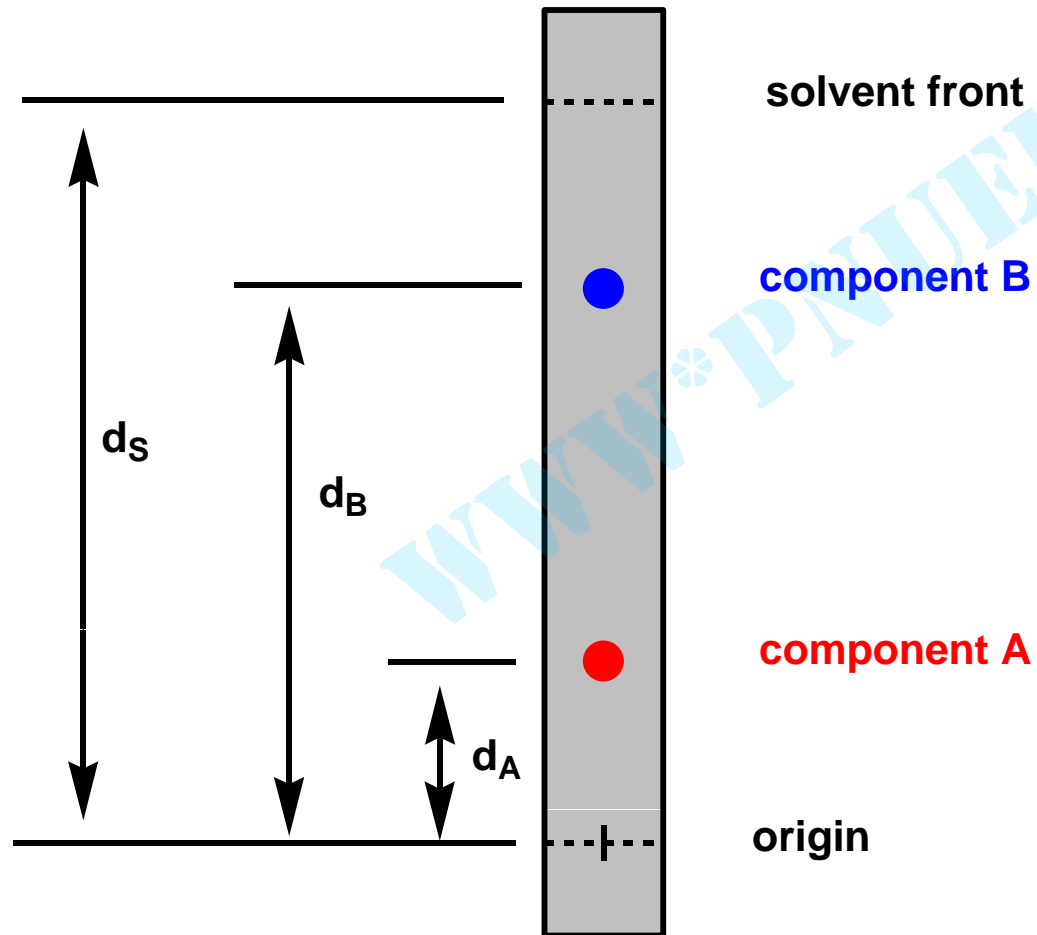
پیام نور ایونلاین ۱۰۰



کروماتوگرافی لایه نازک (TLC)



Thin-Layer Chromatography

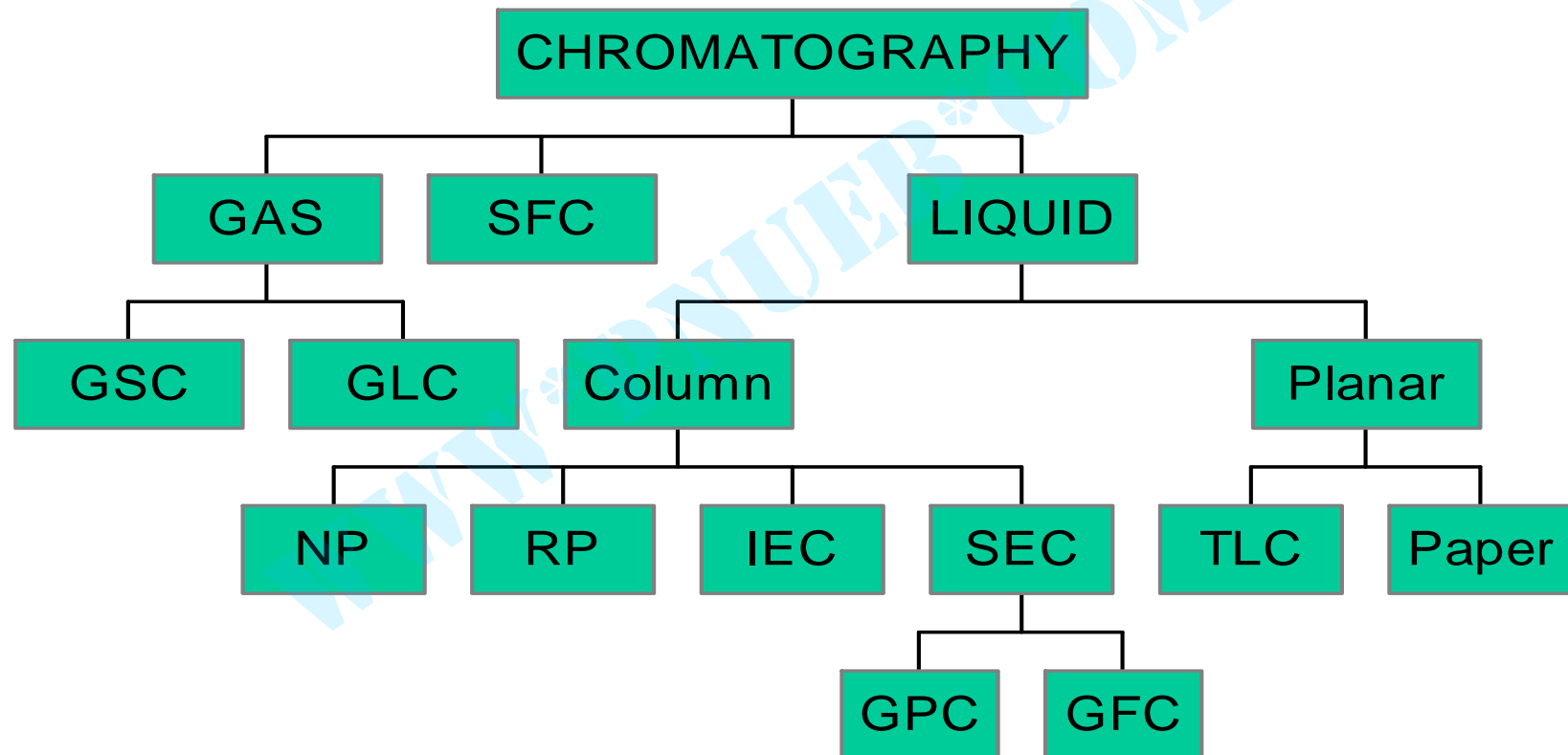
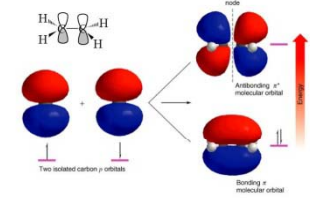


تعیین مقدار R_f

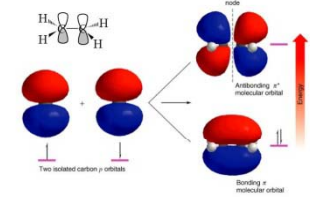
$$R_f (A) = d_A / d_s$$

$$R_f (B) = d_B / d_s$$

HPLC مقدمه ای بر



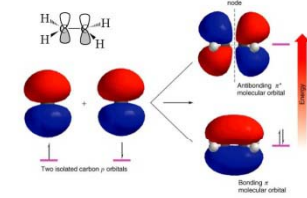
تقسیم بندی متداول روش‌های کروماتوگرافی



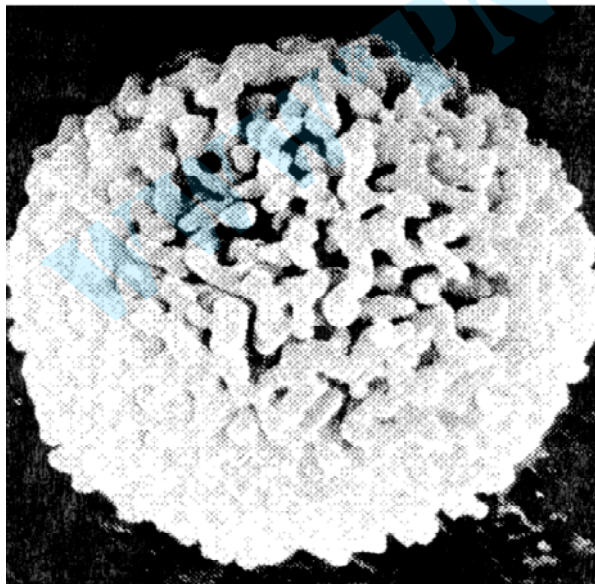
- Column chromatography
- Paper chromatography
- Thin-layer chromatography
- Gas chromatography
- High pressure liquid chromatography
- Ion-exchange chromatography
- Gel filtration chromatography
- Supercritical fluid chromatography

ADSORBENT PARTICLE

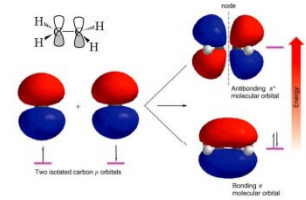
ذرات جاذب



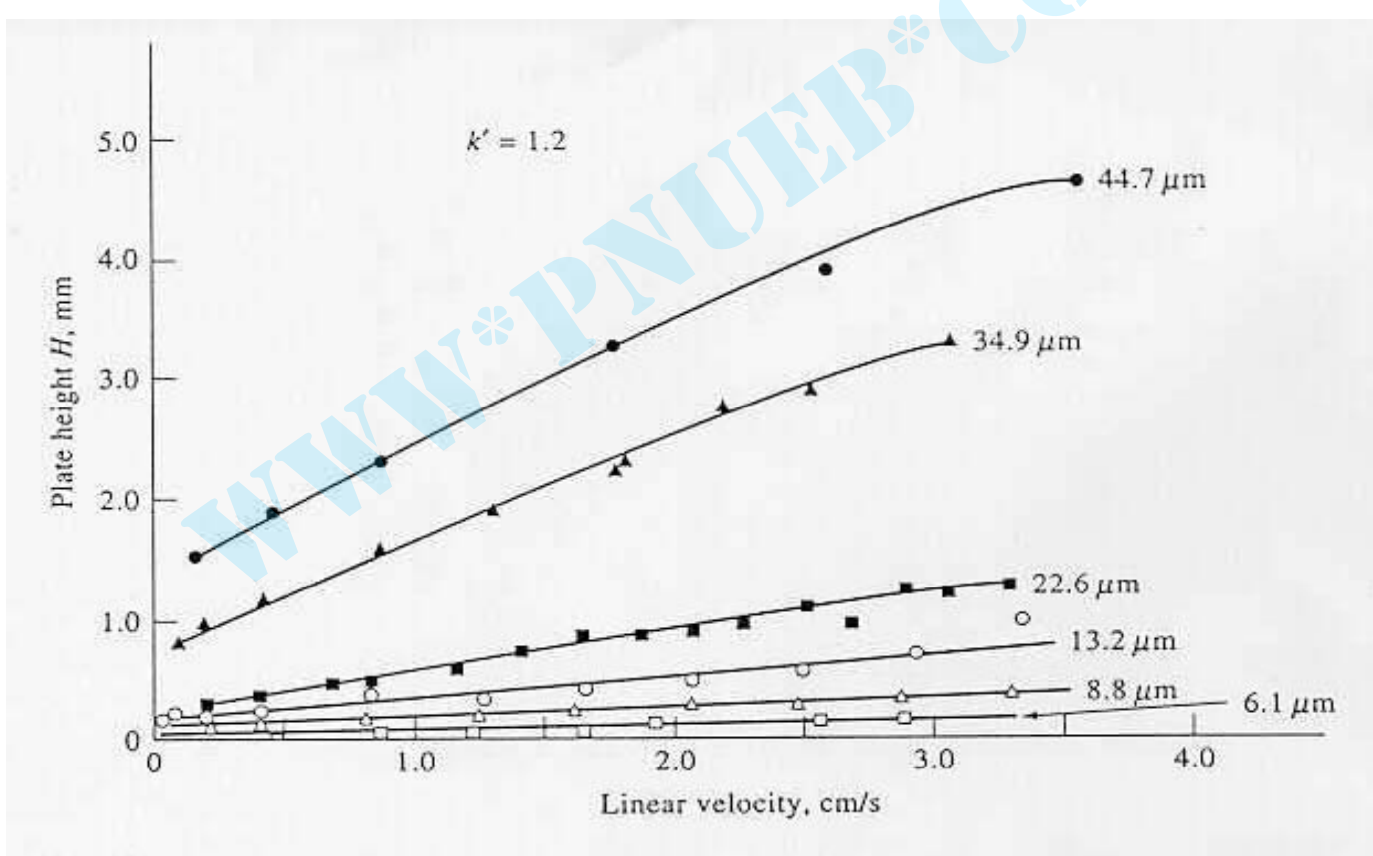
- کاهش قطر ذرات جاذب تا حد کمتر از $30 \mu\text{m}$ باعث کارایی بهتر ستون می شود.
- برای جبران فشار معکوس ایجاد شده از پمپ های پر فشار استفاده می شود.



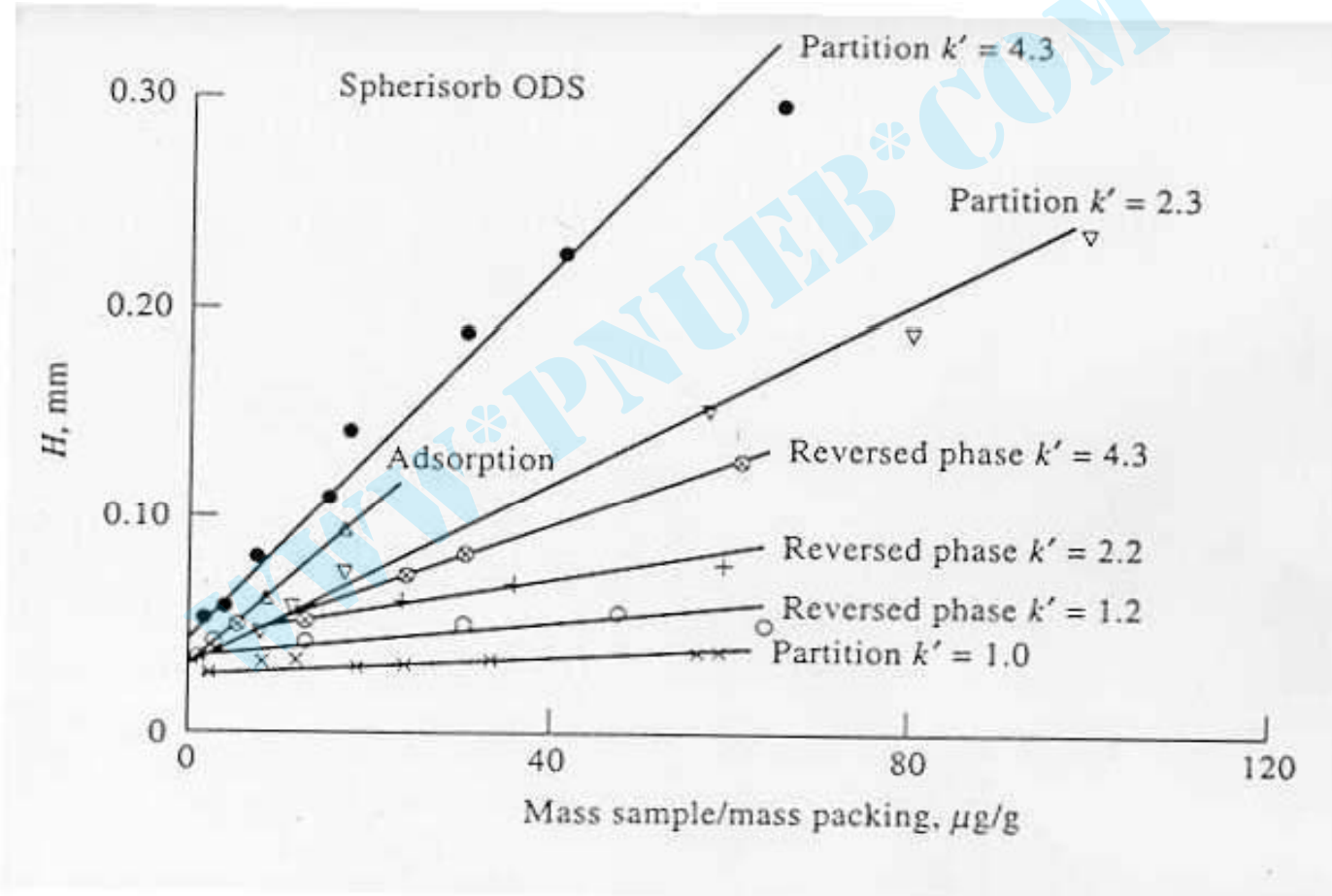
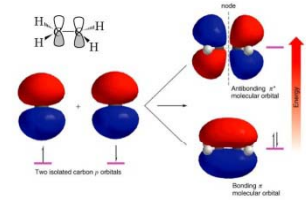
کاهش اندازه ذرات در کارائی ستون



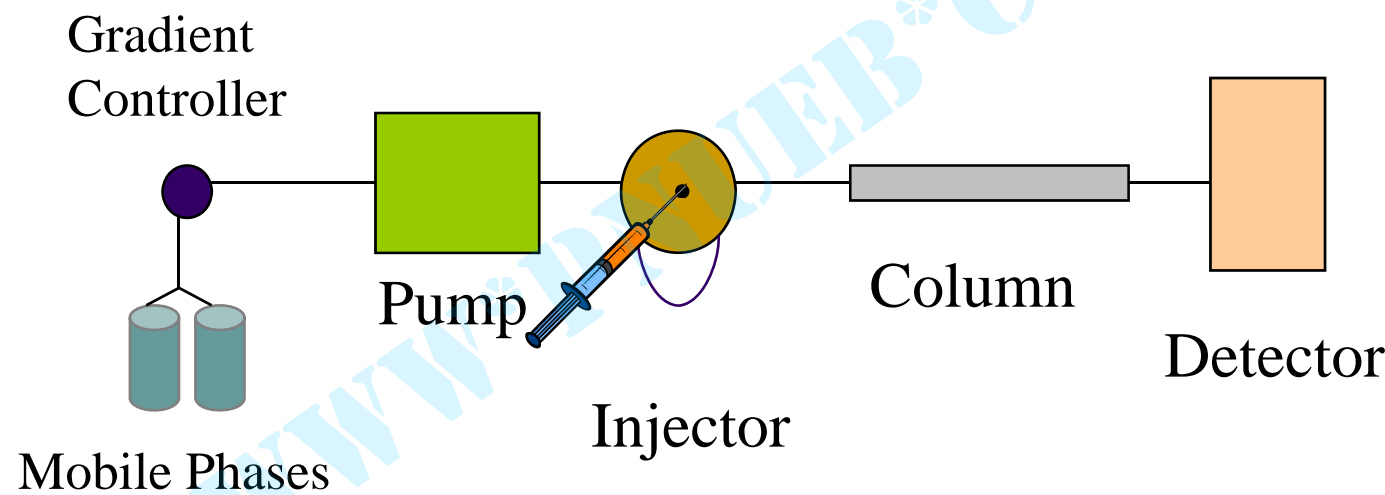
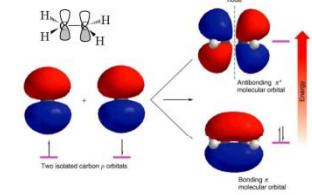
سرعت جریان بالای فاز متحرک باعث کاهش کارائی و قدرت تفکیک ستون می شود لذا بایستی از ذرات ریزتر استفاده نمود.



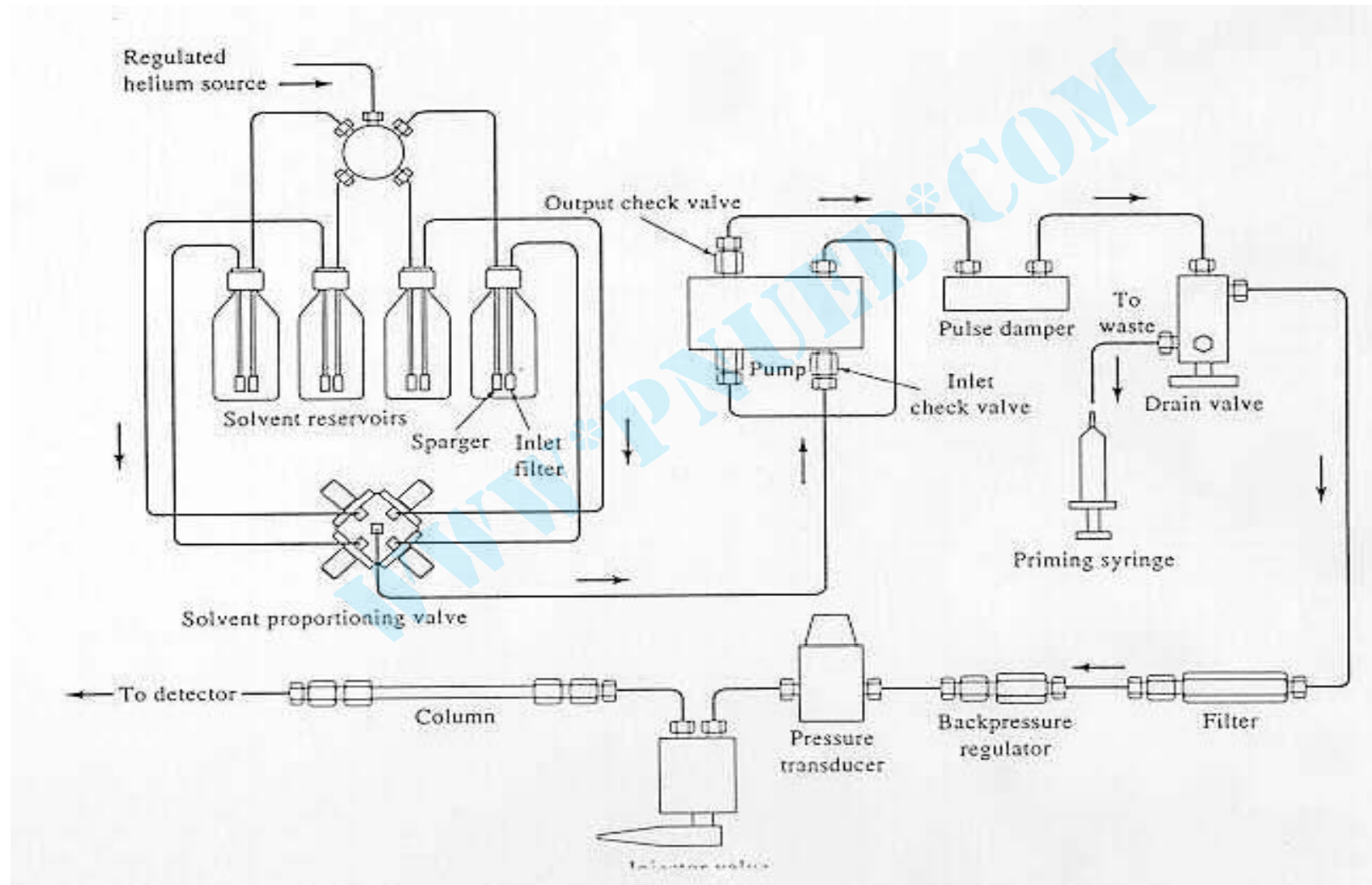
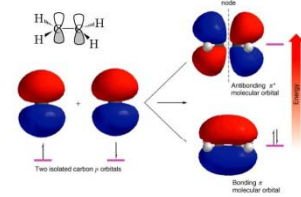
کاهش جرم نمونه در کارائی ستون



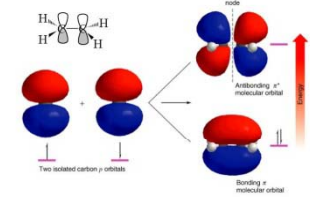
HPLC در دستگاه‌هایی



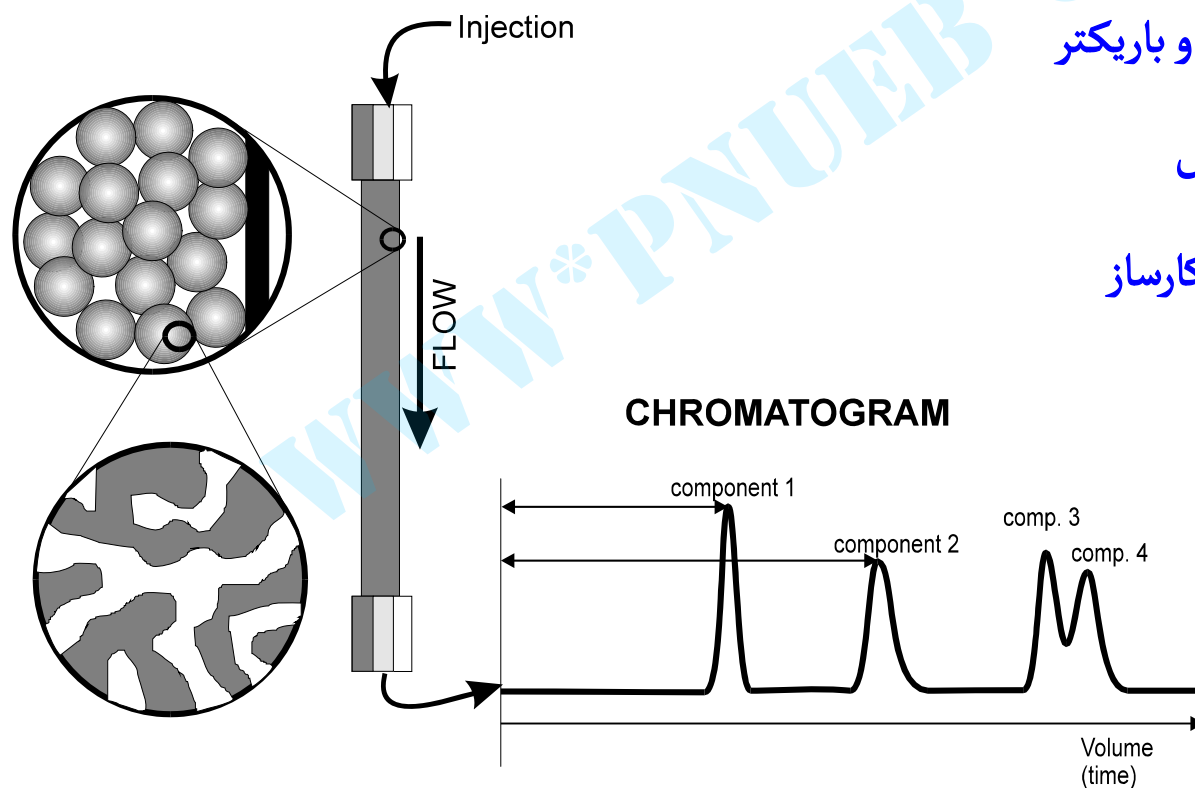
HPLC



ستونهای کروماتوگرافی

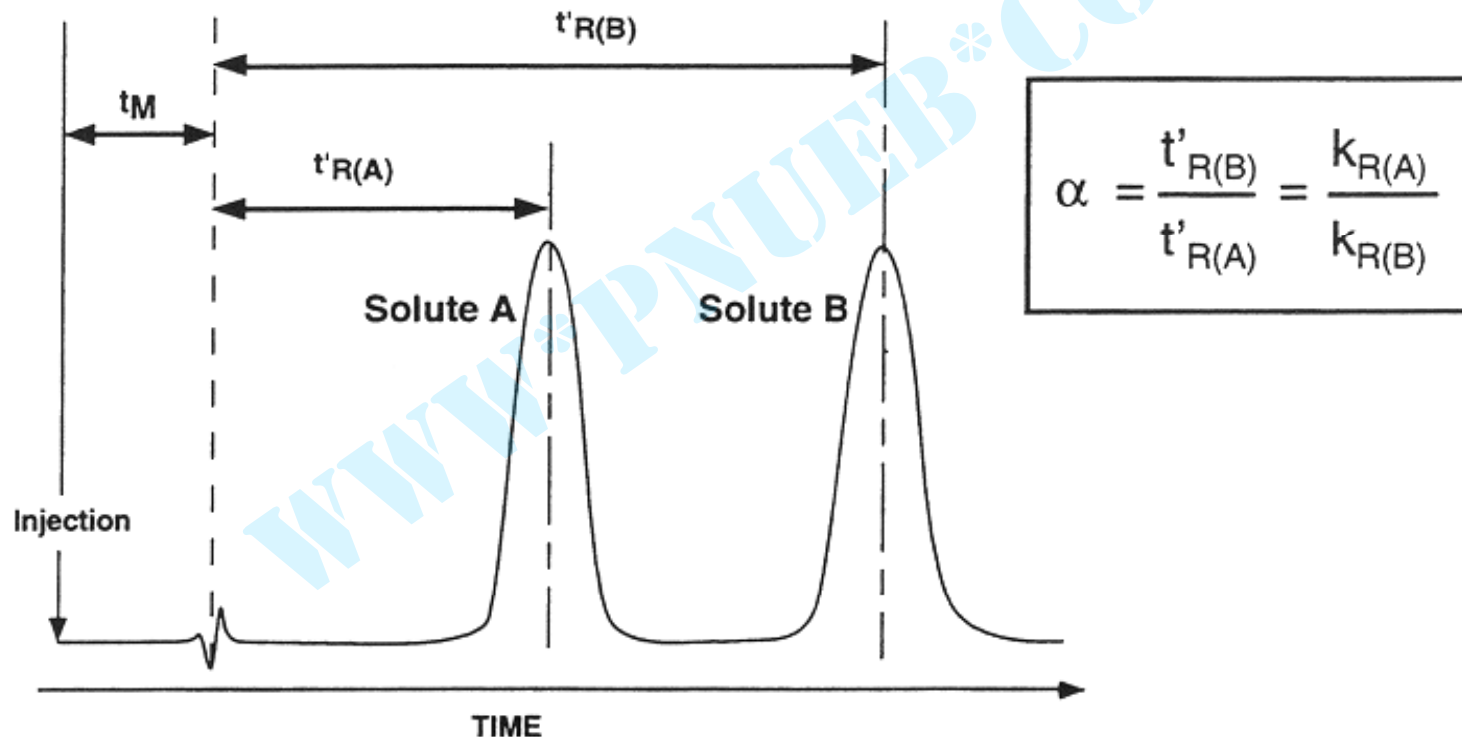
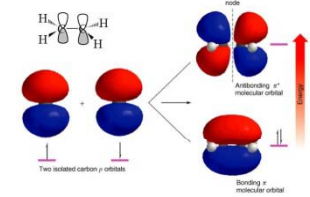


CHROMATOGRAPHIC COLUMN



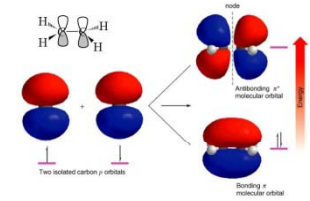
- استفاده از ستونهای باریک:
- ایجاد پیکهای تیزتر و باریکتر
- کاهش مصرف حلal
- حساسیت بهتر آشکارساز

HPLC گزینندگی در



- α larger than 1.2 is desirable

آشکارسازهای کرواتوگرافی ستونی



UV-Vis

PDA

Fluorescence

IR

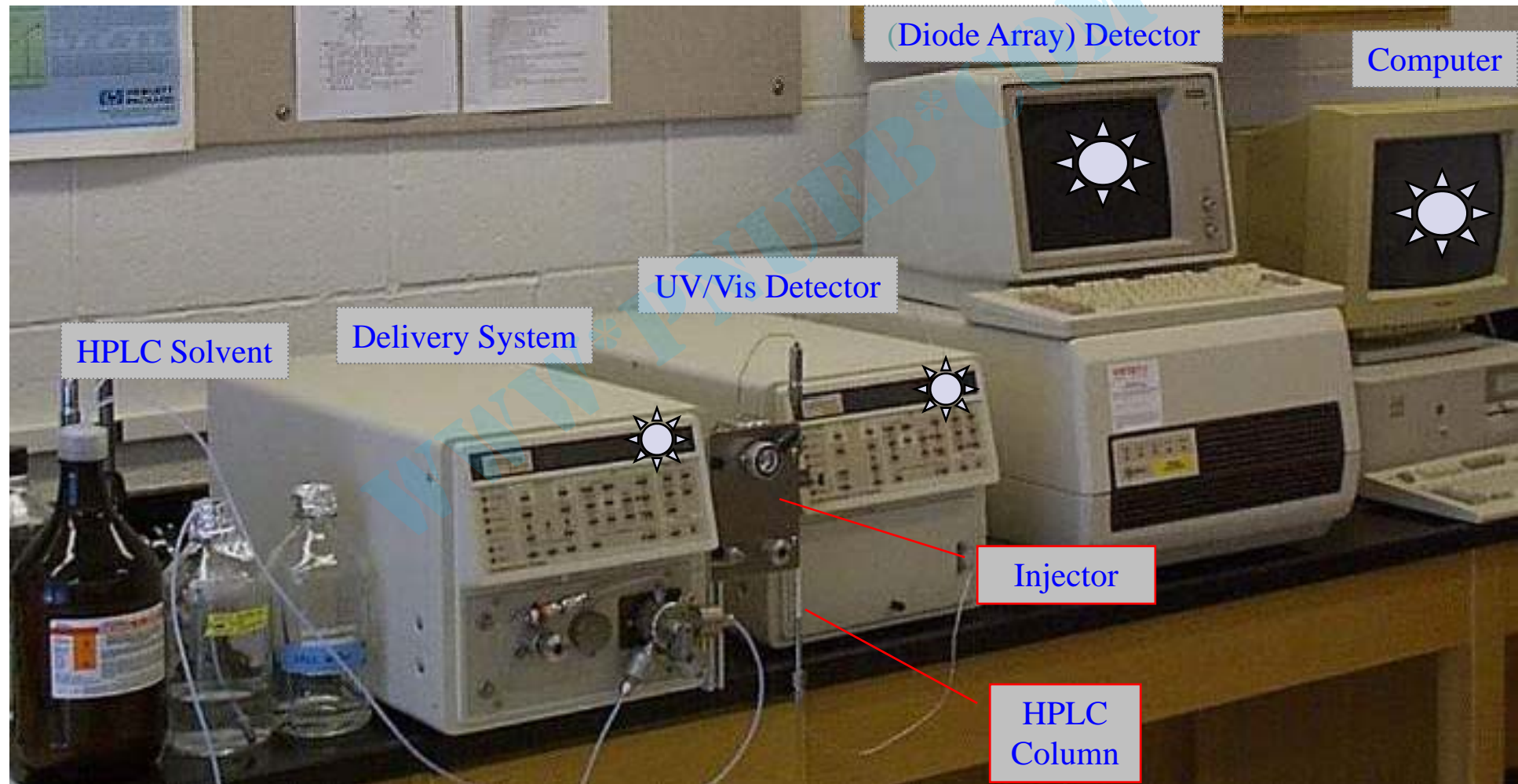
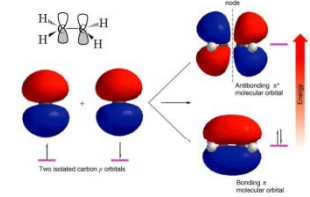
Refractive Index

Scattering

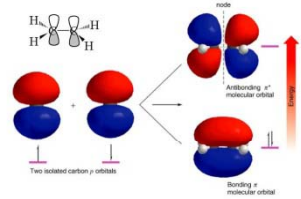
Electrochemical

Mass Spec

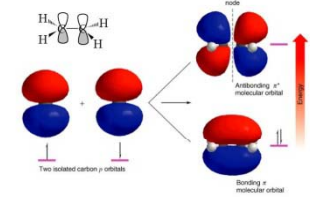
Varian HPLC System



Varian Solvent Delivery System



کروماتوگرافی فاز پیونددار (BPC)



در این روش ذرات بسیار ریز سیلیکاژل ، ماده پایه تمام فازهای دارای پیوند شیمیایی می باشد.

- | | | |
|-------------------------------|-------------------|---|
| <input type="checkbox"/> C-2 | Ethyl Silyl | $-\text{Si}-\text{CH}_2-\text{CH}_3$ |
| <input type="checkbox"/> C-8 | Octyl Silyl | $-\text{Si}-(\text{CH}_2)_7-\text{CH}_3$ |
| <input type="checkbox"/> C-18 | Octadecyl Silyl | $-\text{Si}-(\text{CH}_2)_{17}-\text{CH}_3$ |
| <input type="checkbox"/> CN | Cyanopropyl Silyl | $-\text{Si}-(\text{CH}_2)_3-\text{CN}$ |

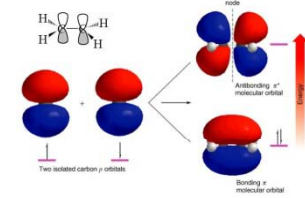


کروماتوگرافی گازی

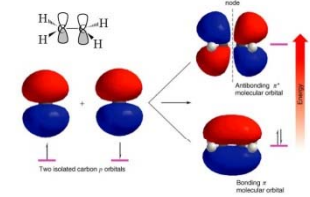
Gas Chromatography



هدف از این فصل



- آشنایی کامل با مبانی نظری و عملی کروماتوگرافی گازی
- آشنایی با دستگاه‌های کروماتوگرافی گازی
- کاربردهای کیفی و کمی کروماتوگرافی گازی



مقدمه

اصول و مبانی

ترمودینامیک کروماتوگرافی گازی

- بازداری

- اثر دما

- جداسازی

دینامیک کروماتوگرافی گازی

- ارتفاع معادل ستون بر حسب یک سطح نظری (HETP)

- قدرت تفکیک

دستگاه‌های

- ستونها

- مواد نگهدارنده

- فاز ساکن

- محل تزریق

- آشکارسازها

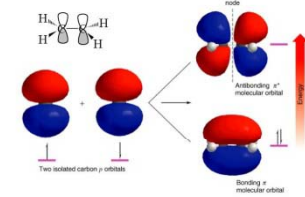
- TCD آشکارساز

- FID آشکارساز

- ECD آشکارساز

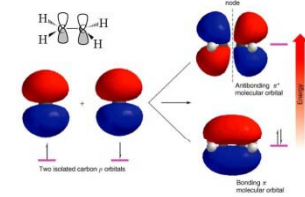
کاربردهای کروماتوگرافی گازی

تقسیم بندی متدائل روش‌های کروماتوگرافی

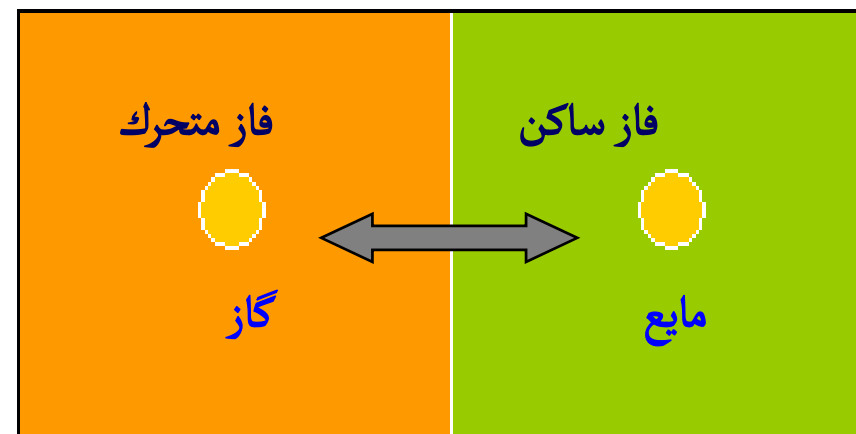
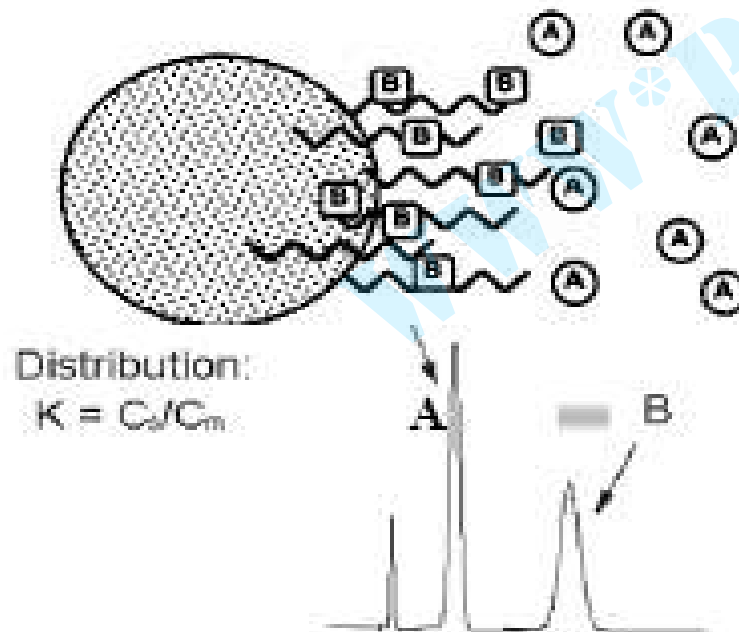


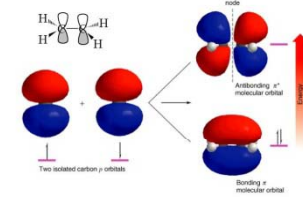
- Column chromatography
- Paper chromatography
- Thin-layer chromatography
- Gas chromatography
- High pressure liquid chromatography
- Ion-exchange chromatography
- Gel filtration chromatography
- Supercritical fluid chromatography

اصول و مبانی کروماتوگرافی گازی



هر یک از گونه های A و B با حرکت در طول ستون توسط فاز متحرک گازی بر روی فاز ساکن به طور متفاوتی دچار جذب و واجذب می شوند و در نتیجه در زمانهای متفاوتی از ستون خارج می شوند.

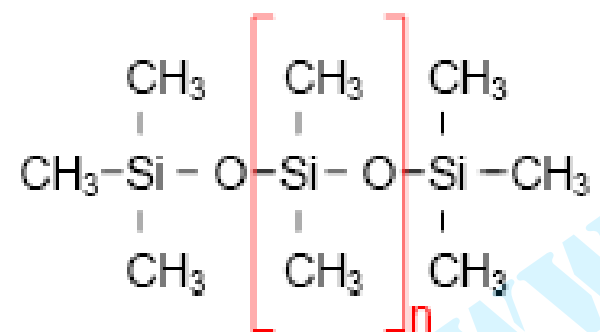




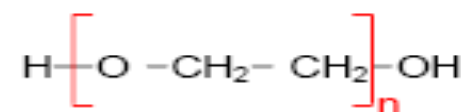
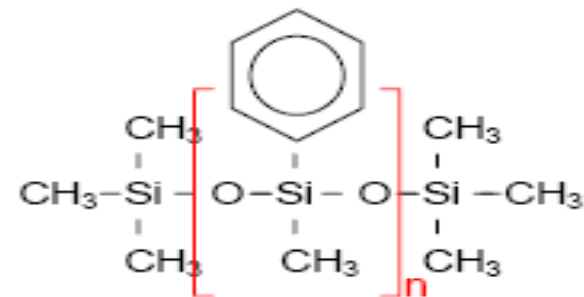
N_2 He يا Ar

فاز متحرک:

فاز ساکن:



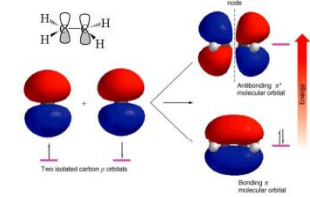
Methylsilicone



Polyethylene glycol

Retention Volume

حجم بازداری

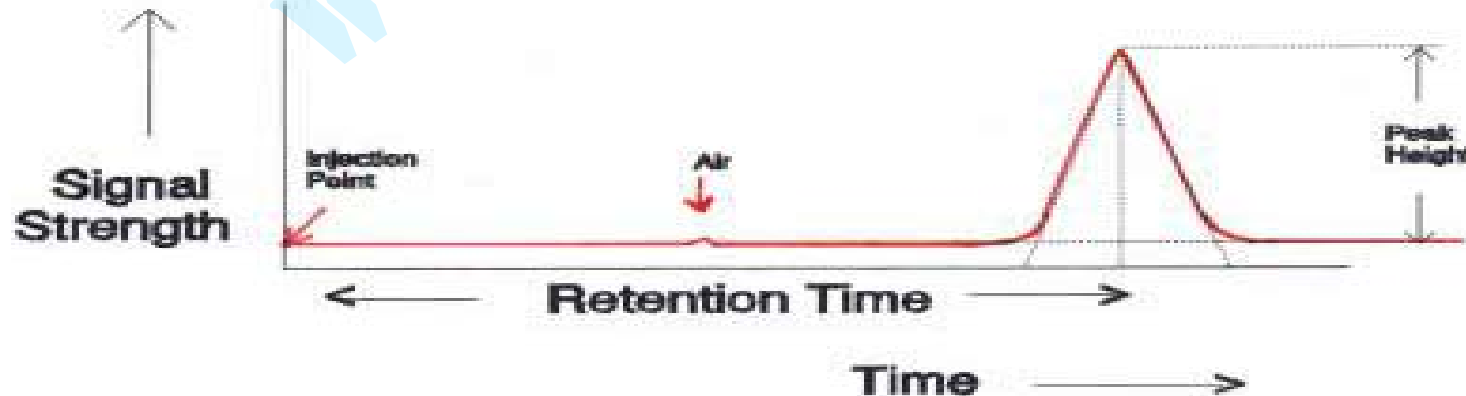


$$V_R = t_R \times F$$

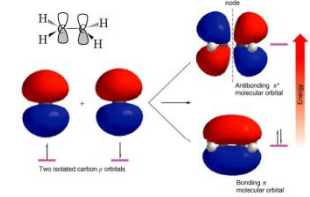
$V_R \Rightarrow$ حجم بازداری

$t_R \Rightarrow$ زمان بازداری

$F \Rightarrow$ سرعت جریان تنظیم شده گاز



حجم بازداری تصحیح شده



$$V_R^o \text{ & } V_M^o \Rightarrow \text{حجم بازداری تصحیح شده}$$

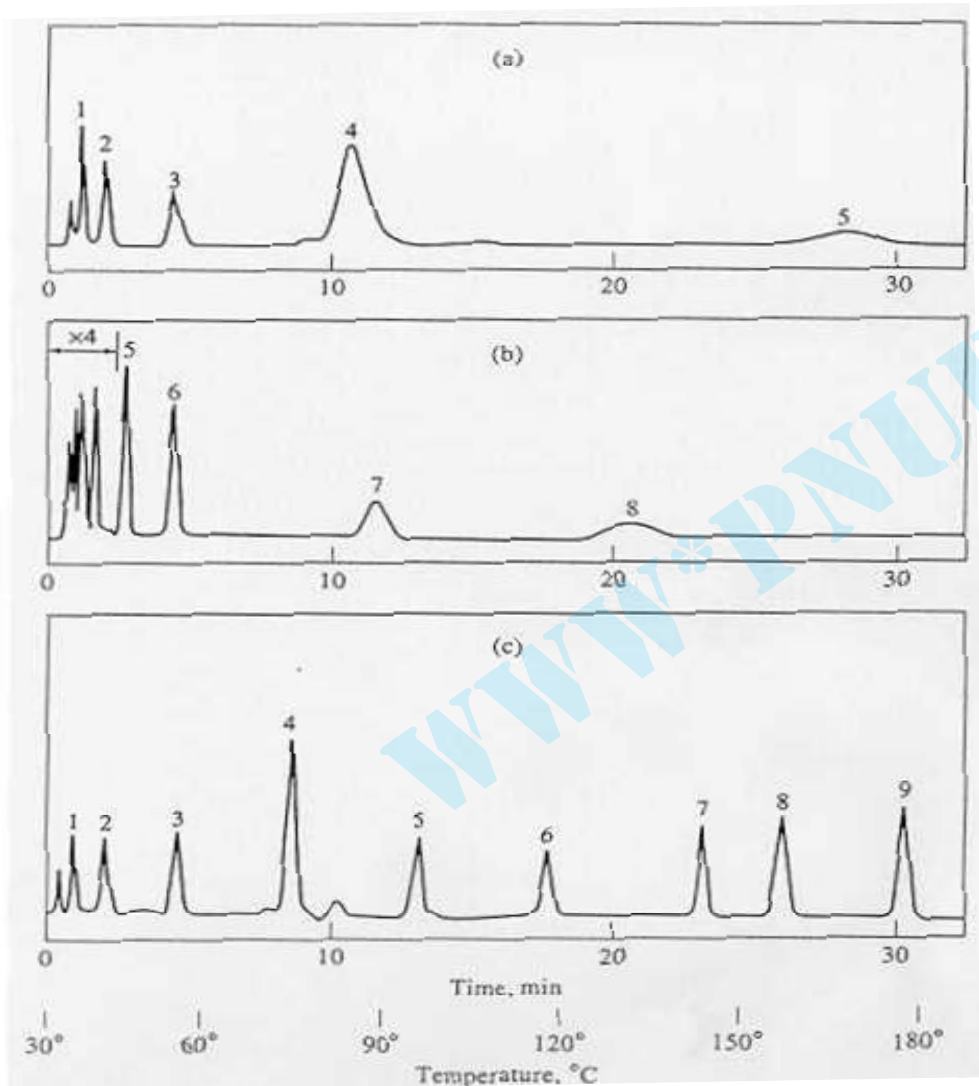
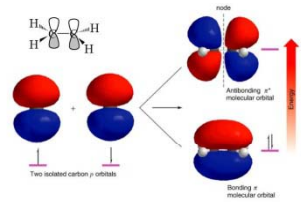
$$V_R^o = j \times t_R \times F$$

$$V_M^o = j \times t_M \times F$$

$$j = \frac{-3((p_i/p)^2 - 1)}{2((p_i/p)^3 - 1)}$$

$$p_i \Rightarrow \text{فشار اولیه در ستون}$$

اثر دما روی کروماتوگرامهای گازی

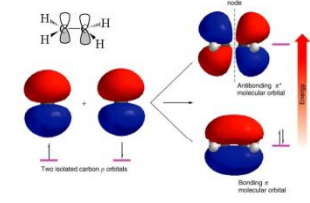


۴۵ C دمای

۱۴۵ C دمای

۳۰ C برنامه ریزی دمایی از
تا ۱۸۰ C

کارائی ستون

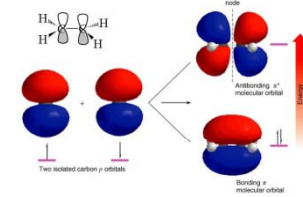


کارائی ستون به سرعت پهن شدن نوار در موقع حرکت ماده حل شده در ستون یا صفحه مربوط می شود.

$$N = \left(\frac{t_R}{\sigma_{total}} \right)^2$$

$$\sigma_{total} = \sigma_{column} + \sigma_{inject.} + \sigma_{cell} + \sigma_{connect.}$$

$$H = A + B/u + (C_{\text{lig}} + C_{\text{gas}})u$$



A •

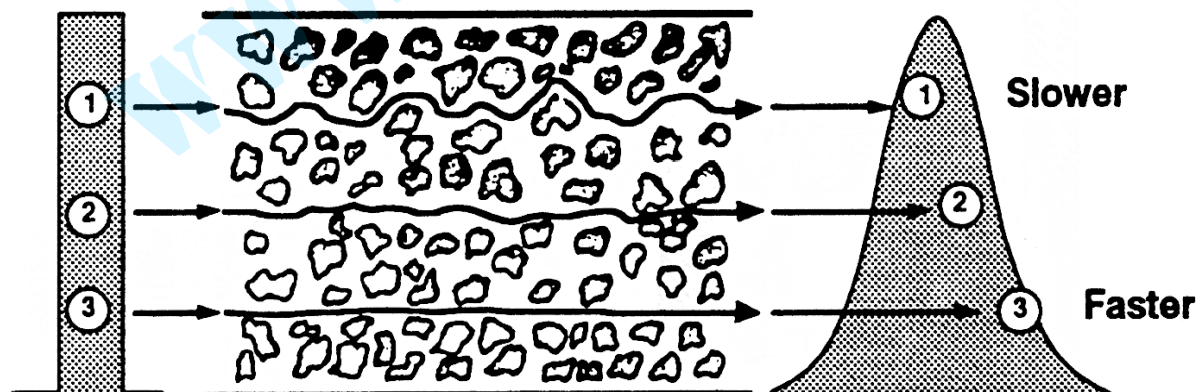
Eddy Diffusion

نفوذ چرخشی

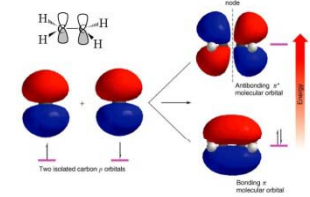
سهم پخش و نفوذ نمونه در جهت مخالف گاز حامل

$$A = 2\lambda d_p$$

λ : یکنواختی پرشدن ستون
 d_p : قطر ذرات انباسته شده



$$H = A + B/u + (C_{\text{lig}} + C_{\text{gas}})u$$



$$B = 2\gamma D_g$$

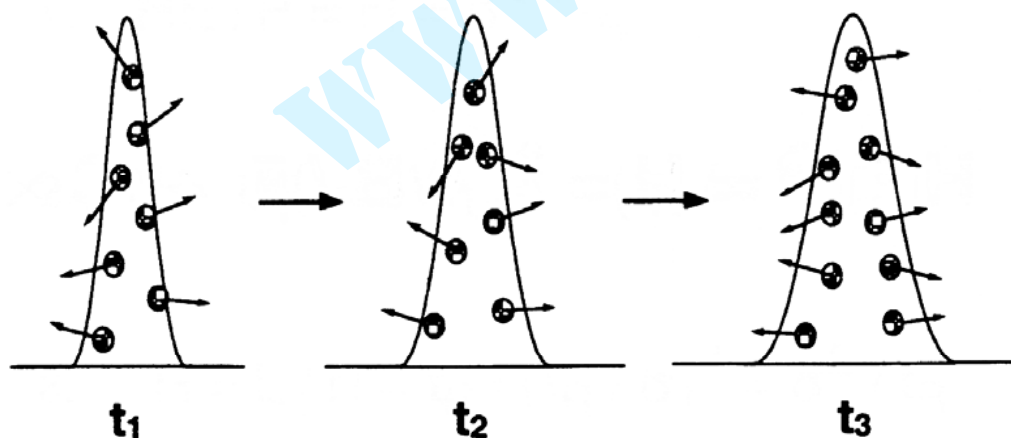
$B \cdot$

نفوذ طولی

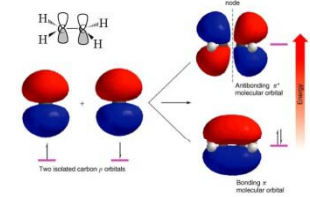
سهم نفوذ مولکولی یا نفوذ طولی

: ضریب نفوذ بخار ترکیب موردنظر در گاز حامل D_g

: ضریب تصحیح γ



$$H = A + B/u + (C_{\text{lig}} + C_{\text{gas}})u$$



C •

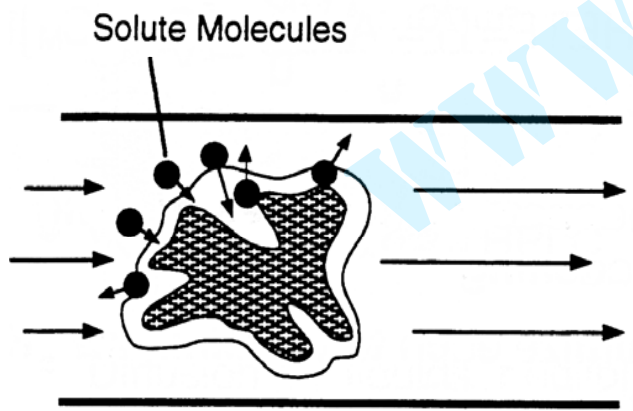
انتقال جرم

سهم انتقال جرم و بیانگر زمان کوتاهی که دو فاز به تعادل می‌رسند

k' : فاکتور ظرفیت

d_f : ضخامت لایه داخل ستون

D_1 : ضریب نفوذ ترکیب در فاز ساکن مایع



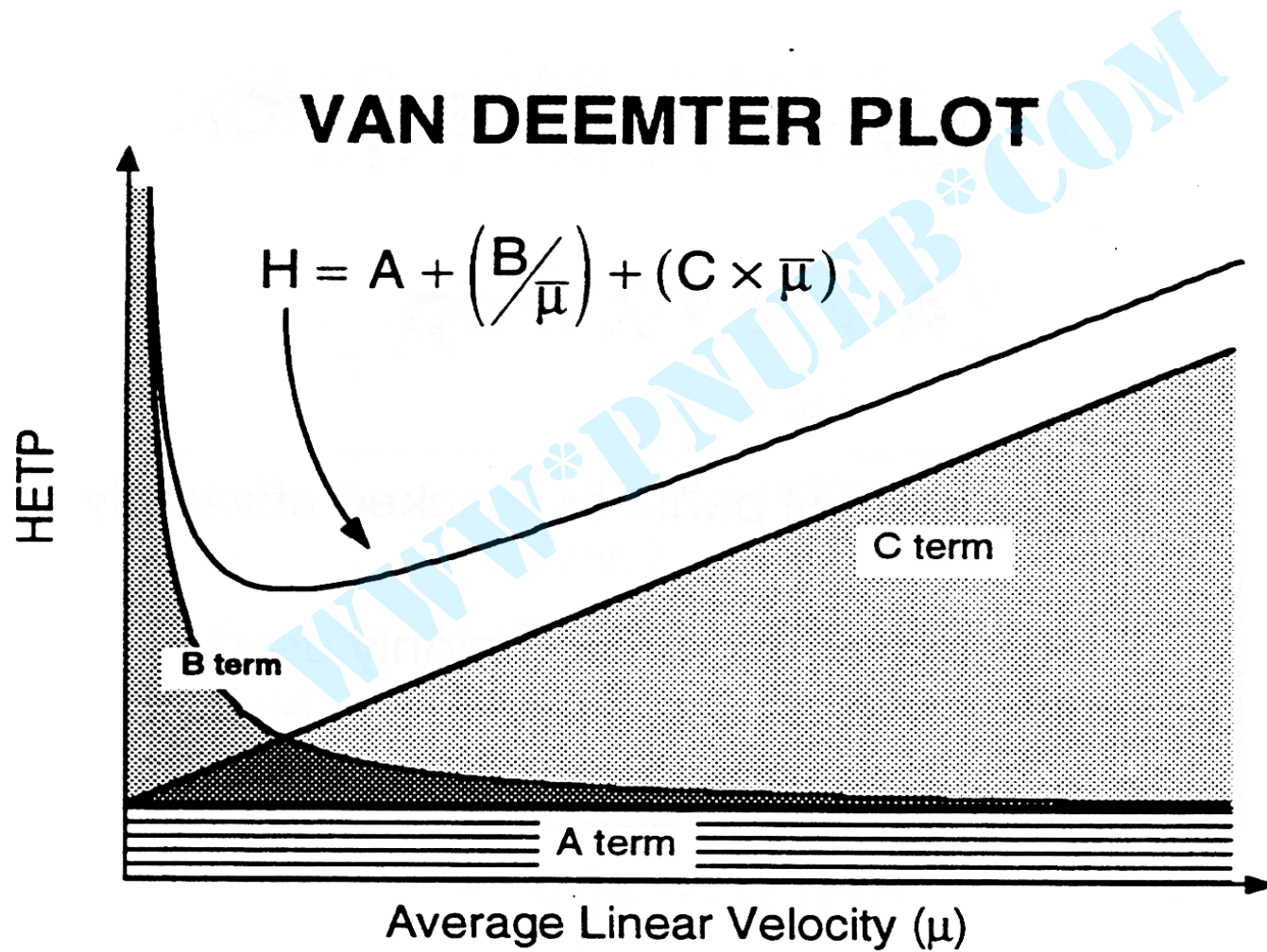
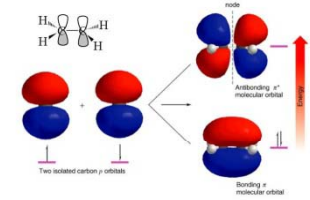
$$C_{\text{gas}} \propto \frac{d_p^2}{D_g}$$

$$C_{\text{gas}} \propto \frac{r^2}{D_g}$$

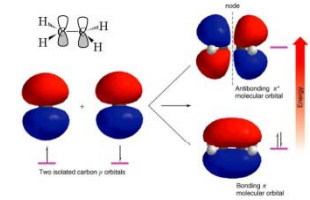
در ستونهای انباشته:

در ستونهای لوله ای باز:

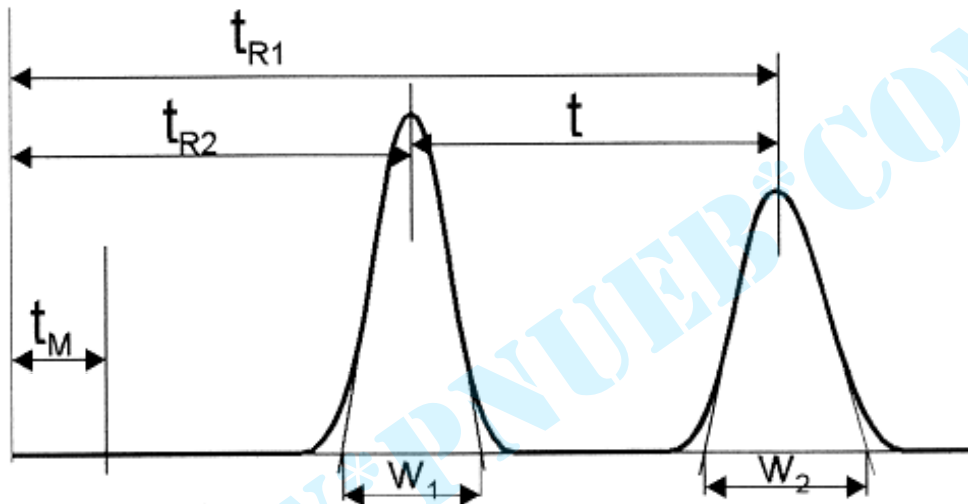
$$H = A + B/u + (C_{\text{lig}} + C_{\text{gas}})u$$



قدرت تفکیک



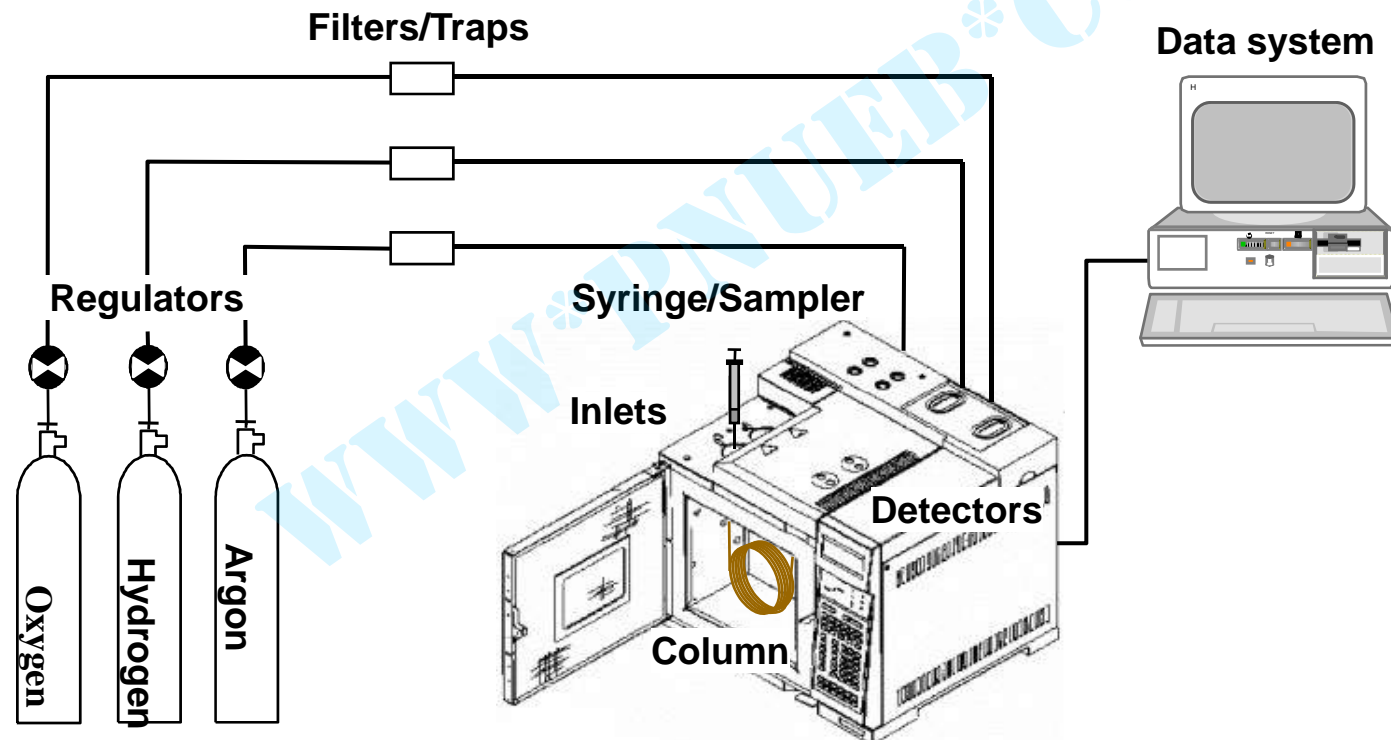
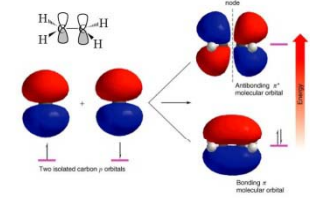
RESOLUTION



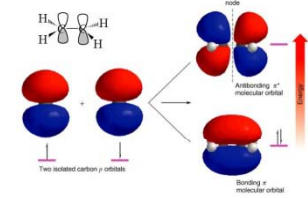
$$R = \frac{\Delta t}{\frac{1}{2}(w_1 + w_2)}$$

$$R = \left(\frac{k'}{1+k'} \right) \left(\frac{\alpha - 1}{\alpha} \right) \frac{\sqrt{N}}{4}$$

دستگاه‌های کروماتوگرافی گازی



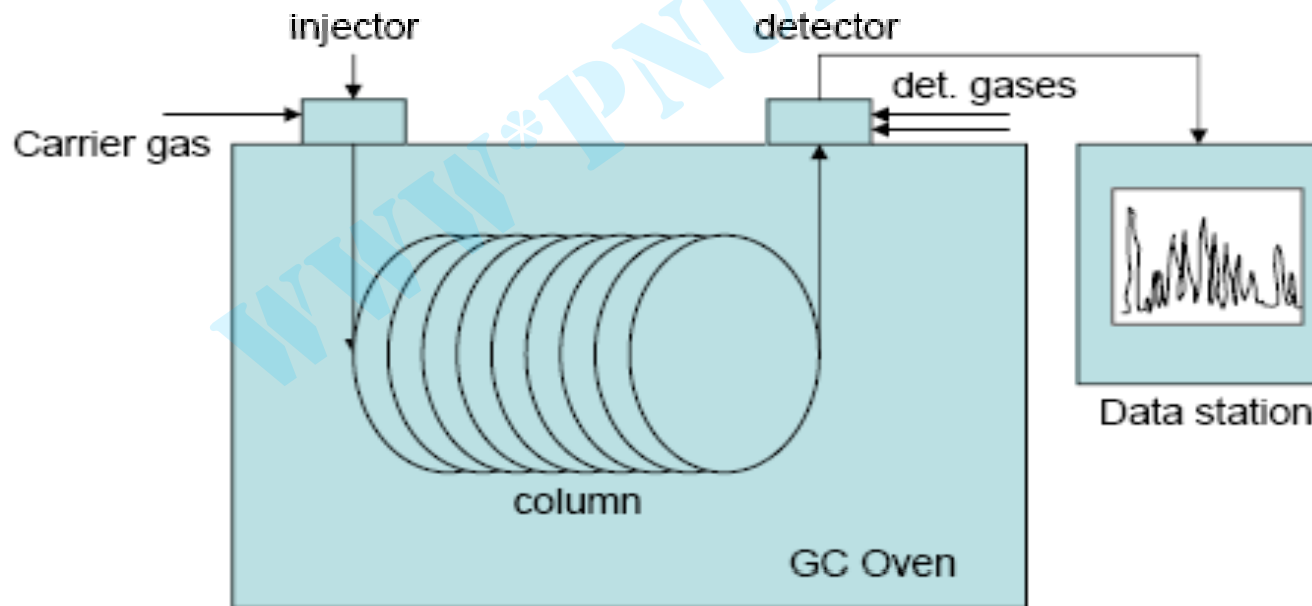
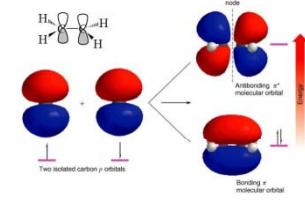
دستگاه‌های کروماتوگرافی گازی



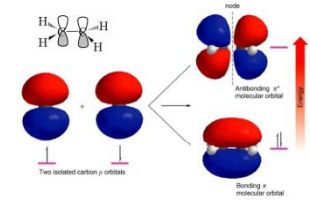
- Gas
- Flow control
- Injector
- Oven, Column
- Detector
- Eluents
- Recorder

گاز حامل:

گازهایی که از لحاظ شیمیایی بی اثر هستند (H_2 , N_2 , He) و درجه خلوص بالایی(99.9995%) دارند به عنوان گاز حامل در کروماتوگرافی استفاده می شوند.



سرعت جریان متوسط در ستون



$$F = F_m \times \frac{T_c}{T} \times \frac{P - P_{H_2O}}{P}$$

$F \Rightarrow$ سرعت جریان متوسط در ستون

$F_m \Rightarrow$ سرعت جریان در حباب سنج

$T_c \Rightarrow$ دمای ستون (K)

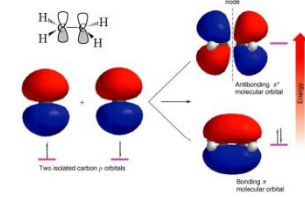
$T \Rightarrow$ دمای گاز

$p \Rightarrow$ فشار در انتهای ستون

$p_{H_2O} \Rightarrow$ فشار بخار آب

• Injector

سیستم تزریق:



- سیستم ورودی باید دمای بالایی داشته باشد تا نمونه را فورا به حالت بخار درآورد.

- نمونه به وسیله یک سرنگ میکرولیتری از طریق یک سپتوم لاستیکی تزریق می شود.

- دو نوع سیستم ورودی متداول

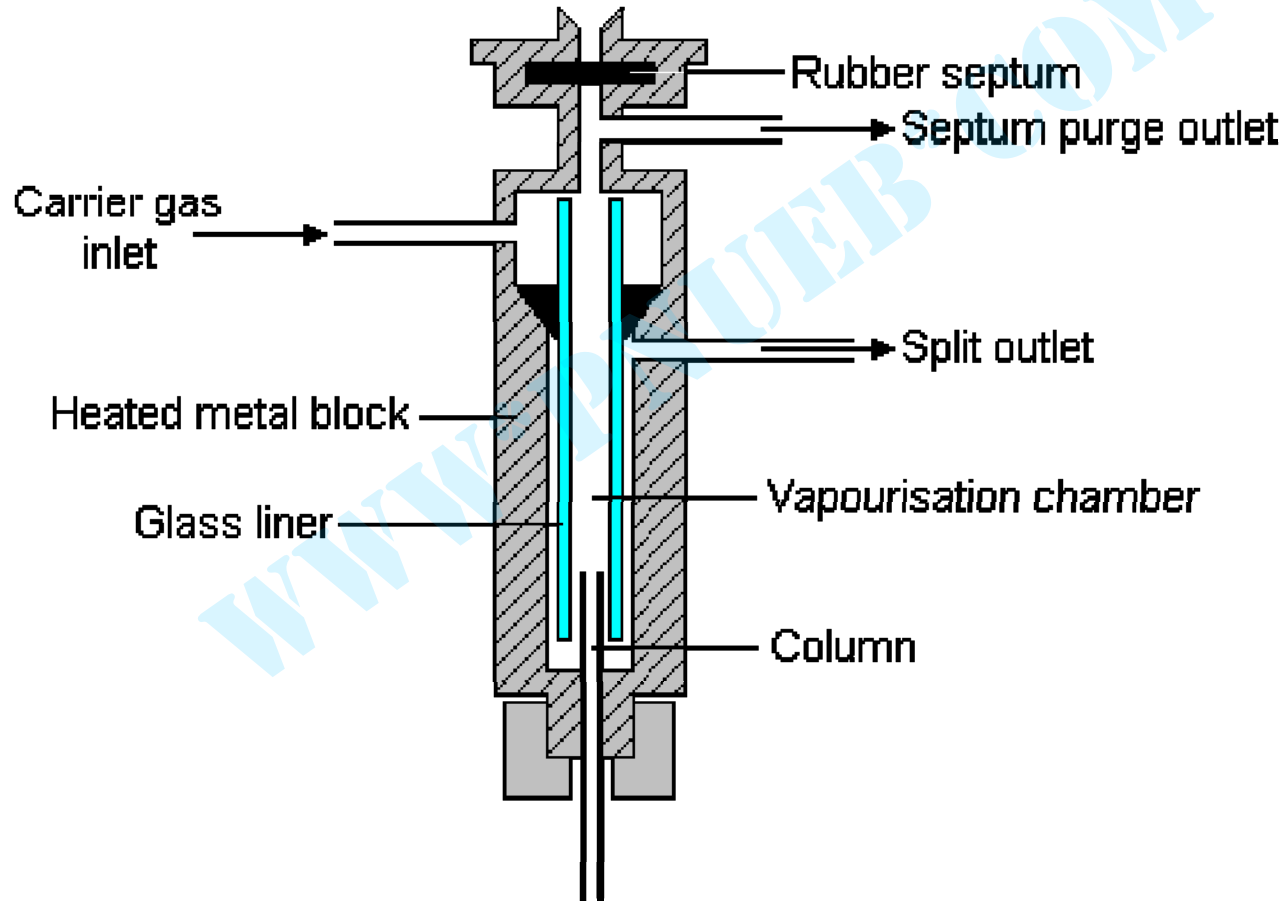
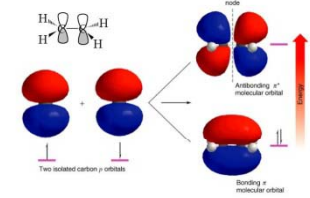
- سیستم ورودی یکجا تغیر کننده

- Flash vaporization inlet**

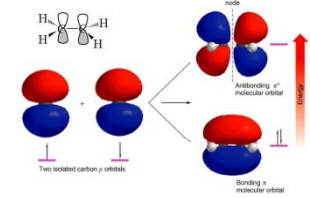
- سیستم ورودی شکافنده

- Splitter inlet**

سیستم تزریق:



ستونهای کروماتوگرافی



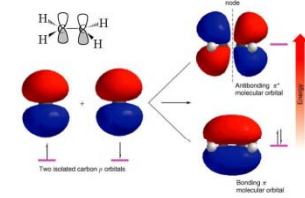
ستونهای کروماتوگرافی لوله های خمیده ای از جنس شیشه، استیل ضد زنگ ، مس یا آلومینیم هستند که از ذرات جامد آغشته شده به یک فاز ساکن مایع پوشیده اند.

■ ستونهای انباشته (Packed)

این ستونها به طول ۲۵ تا ۱۰۰ متر و قطر داخلی ۳/۰ میلیمتر بوده و از جنس استیل ضد زنگ ، شیشه یا کوارتز می باشند.

- Alumina
- Diatomaceous earth
- Chromosorb
- Firebrick

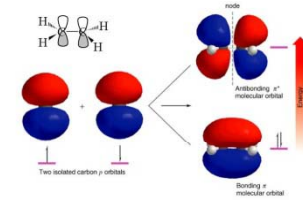
ستونهای کروماتوگرافی



■ ستونهای کاپیلاری (Capillary)

ظرفیت این ستونها کمتر از ستونهای انباشت ته می باشد. زیرا فاز ساکن آنها کمتر است. مهمترین مزیت این ستونها تعداد بیشتر صفحات قابل دسترسی با افت فشار نسبتا کم می باشد.

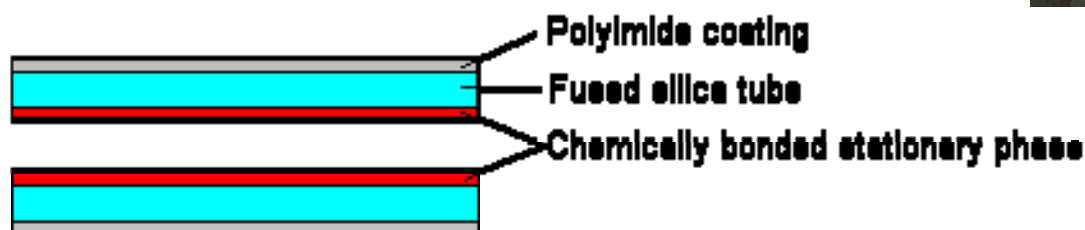
ستونهای کروماتوگرافی



ستون 30m به طول Capillary



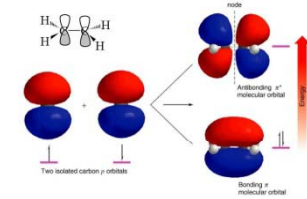
قطع عرضی یک ستون



ستون 3m به طول Packed



آشکارسازهای کروماتوگرافی گازی



آشکارساز هدایت گرمایی



Thermal Conductivity Detector (TCD)

آشکارساز یونیزاسیون شعله ای



Flame Ionization Detector (FID)

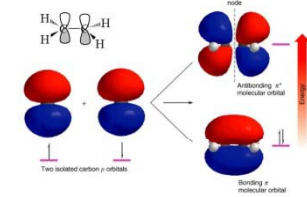
آشکارساز یونیزاسیون شعله ای



Electron Capture Detectors (ECD)

Thermal conductivity detector

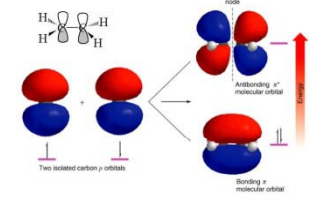
آشکار ساز هدایت گرمایی



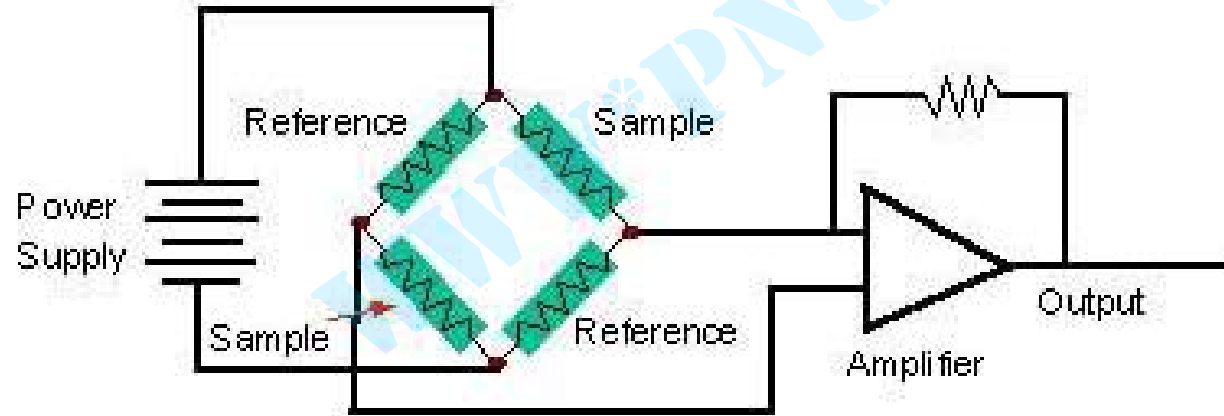
ویژگیهای آشکارساز : TCD

- آشکارساز عمومی ساده ، پرداز
- استفاده از گازهای حامل هیدروژن یا هلیوم به عنوان هدایت گرمایی بالا
- نمونه را از بین نمی برد
- حد تشخیص $5-10 \times 10^{-6} \text{ g/ml}$

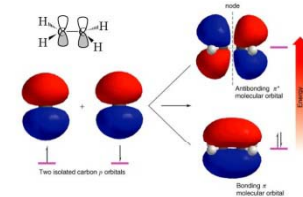
آشکار ساز هدایت گرمایی



آرایش پل در آشکارساز هدایت گرمایی



آشکارساز یونیزاسیون شعله ای

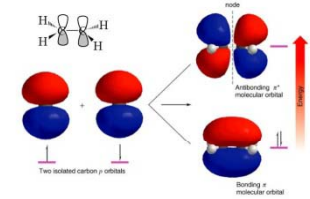


Flame ionization detector

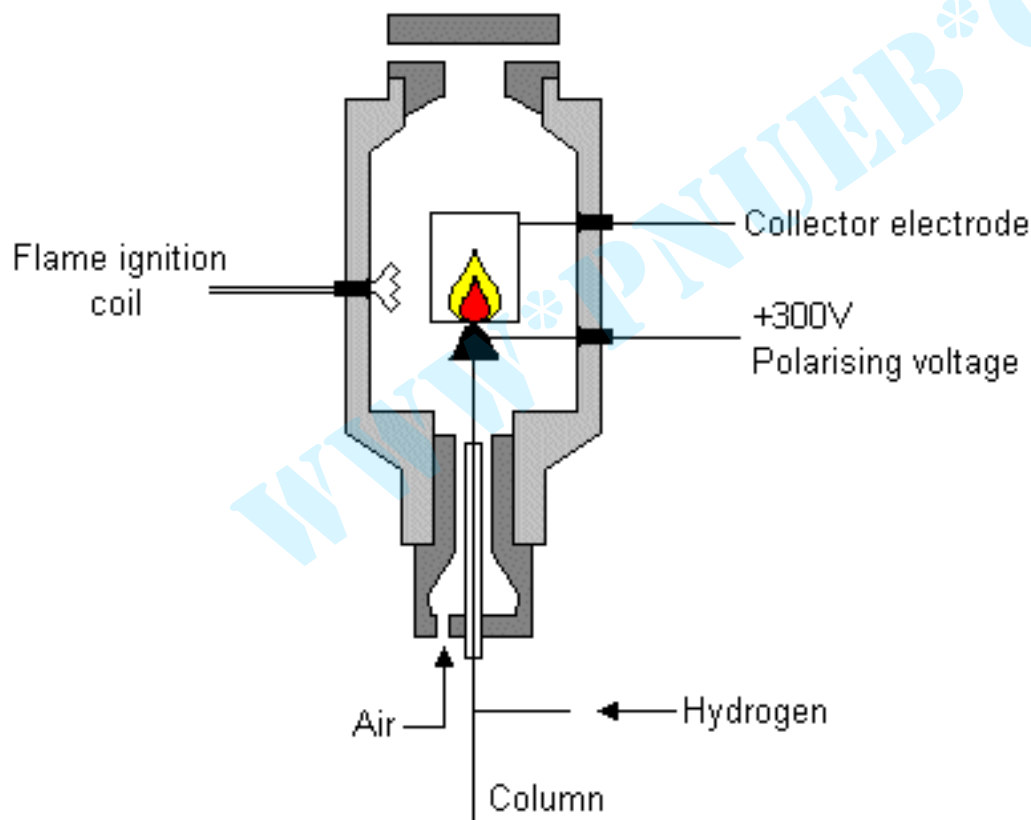
ویژگیهای آشکارساز FID:

- آشکارساز حساس و مخرب نمونه
- غیر حساس به کربنهای اکسیژن دار مانند کربونیل ، کربوکسیلیک
- غیر حساس به گازهای CO_2 ، O_2 ، N_2
- حساس به گروه های الکترون کشنده مانند هالوژن ها ، آمین ها و هیدروکسیل
- حد تشخیص $1 \times 10^{-5} \text{ g/ml}$

آشکارساز یونیزاسیون شعله ای



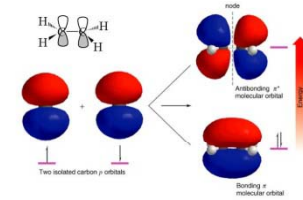
The Flame Ionisation Detector



FID آشکارساز

Electron-capture detector

آشکارساز ربایش الکترون



ویژگیهای آشکارساز ECD:

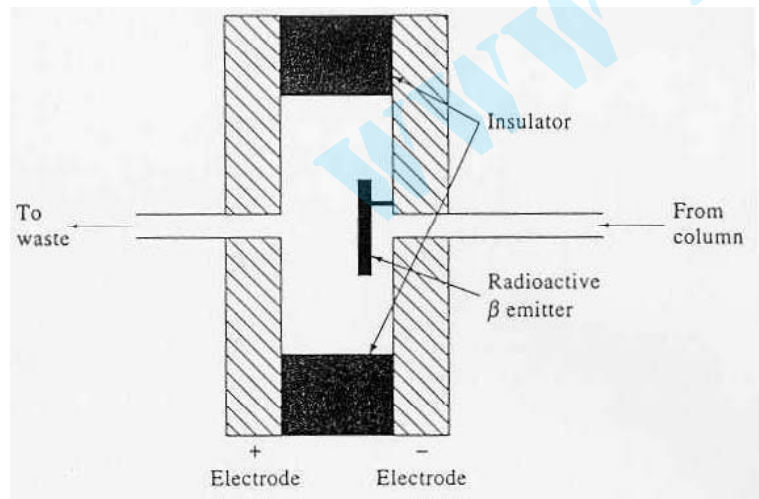
□ دارای یک منبع تولید اشعه β که گاز حامل را یونیزه می کند.

□ گزینش پذیری بالا

□ غیر حساس نسبت به آمین ها ، الکلها و هیدروکربن

□ حساس به هالوژن ها ، انیدریدها ، پروکسیدها ، کتونها و گروه های نیترو

□ حد تشخیص $1 \times 10^{-12} \text{ g/ml}$



آشکارساز ECD